

# Promenade en Informatique Graphique

## en compagnie des mathématiques

Frédéric Mora

enseignant-chercheur en informatique (graphique) à l'université de Limoges  
Membre du laboratoire XLIM (UMR CNRS 7252)  
Responsable du département Métiers du Multimédia et de l'Internet à l'IUT du Limousin

# Promenade en Informatique Graphique

## en compagnie des mathématiques

### Ce qu'on va (essayer de) faire :

- découvrir le domaine via plusieurs aspects
- montrer la diversité des maths utilisés

### Ce qu'on ne fera pas :

- un cours de math
- un cours d'informatique



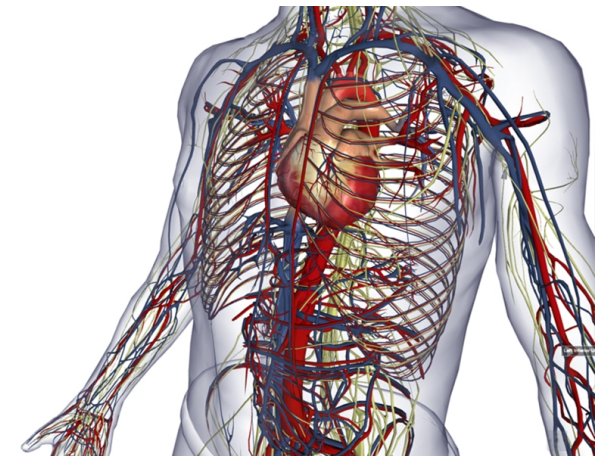
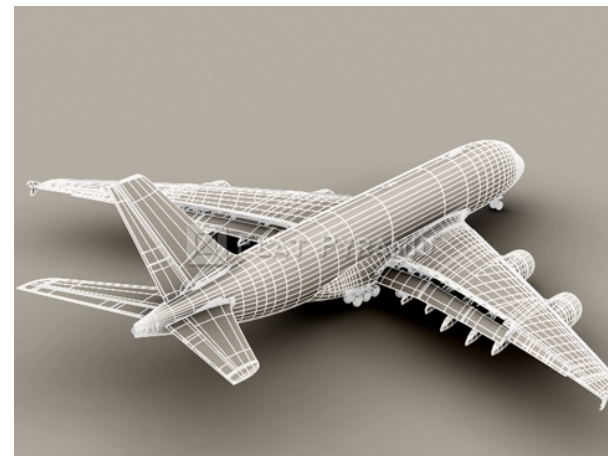
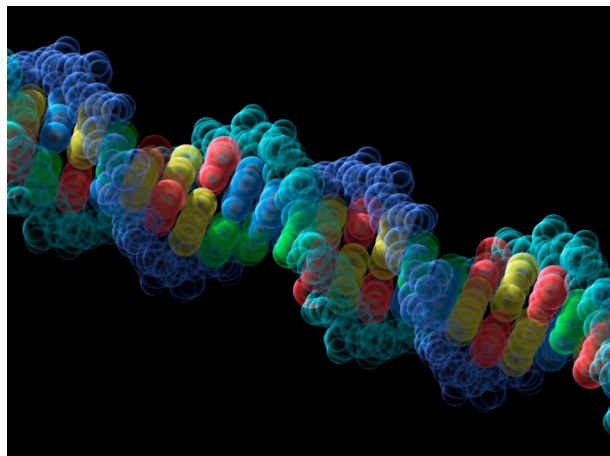
# Informatique Graphique > c'est à dire ?

Qu'est-ce ?

- un domaine de l'informatique

Ca sert à quoi ?

- créer des images et des films par ordinateur



# Informatique Graphique > c'est à dire ?

Infographie



Infographics



Information graphics

Ambigu

## M Elections législatives 2017



Toute l'actualité de la présidentielle 2017



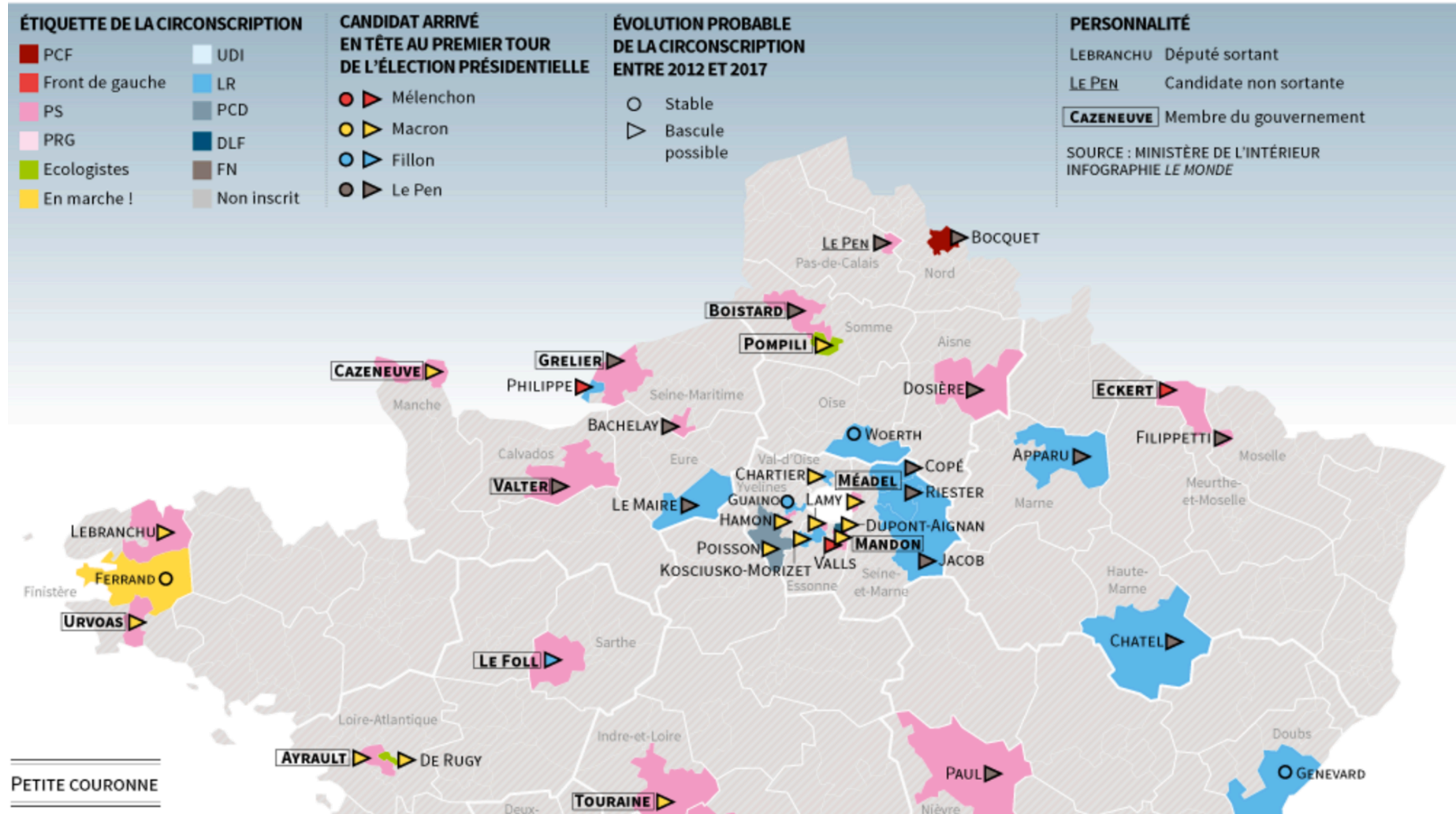
POLITIQUE ELECTIONS ELECTIONS LÉGISLATIVES 2017

### Infographie : les circonscriptions de personnalités politiques qui risquent de basculer

LE MONDE | 28.04.2017 à 11h23

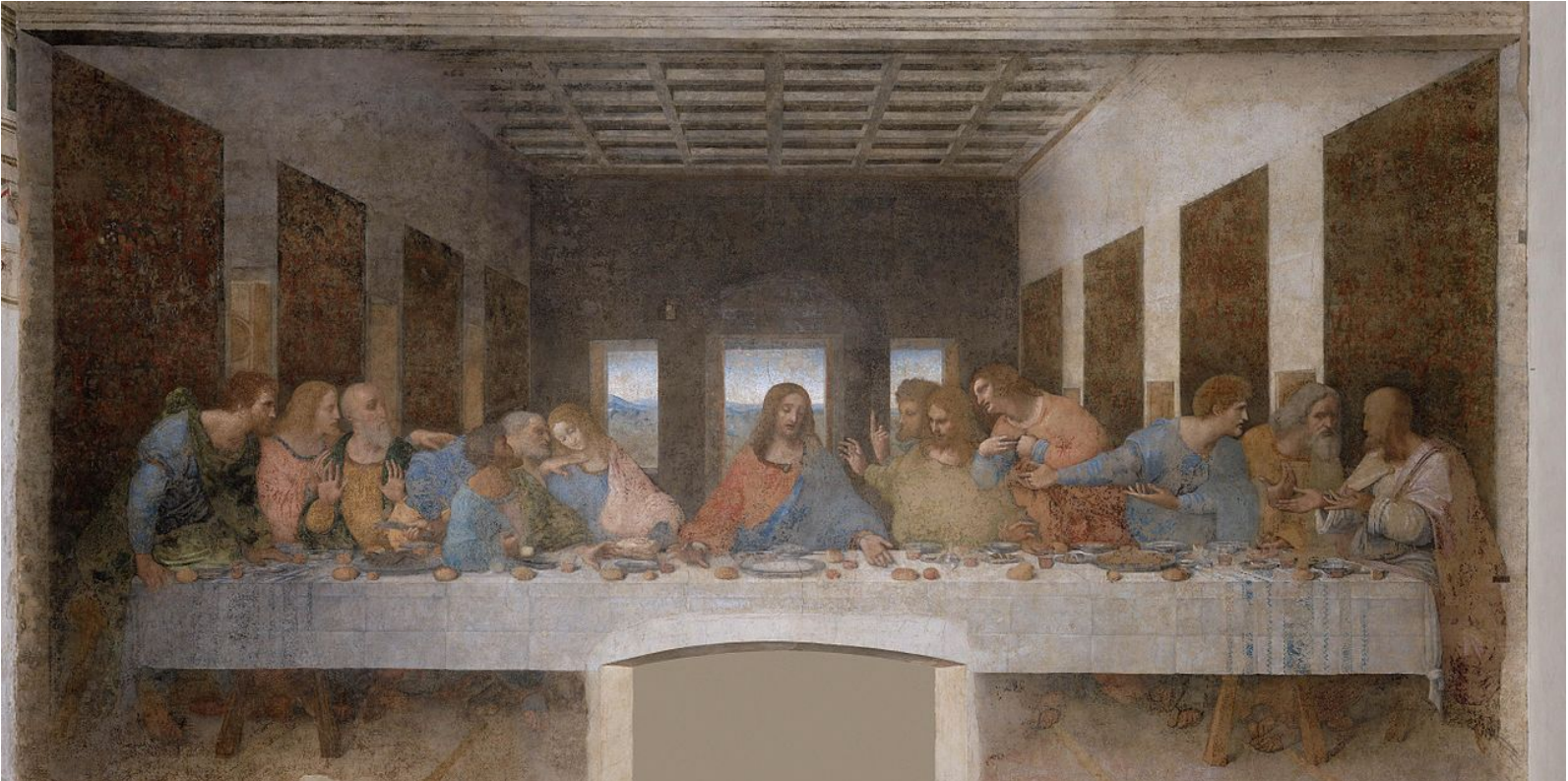
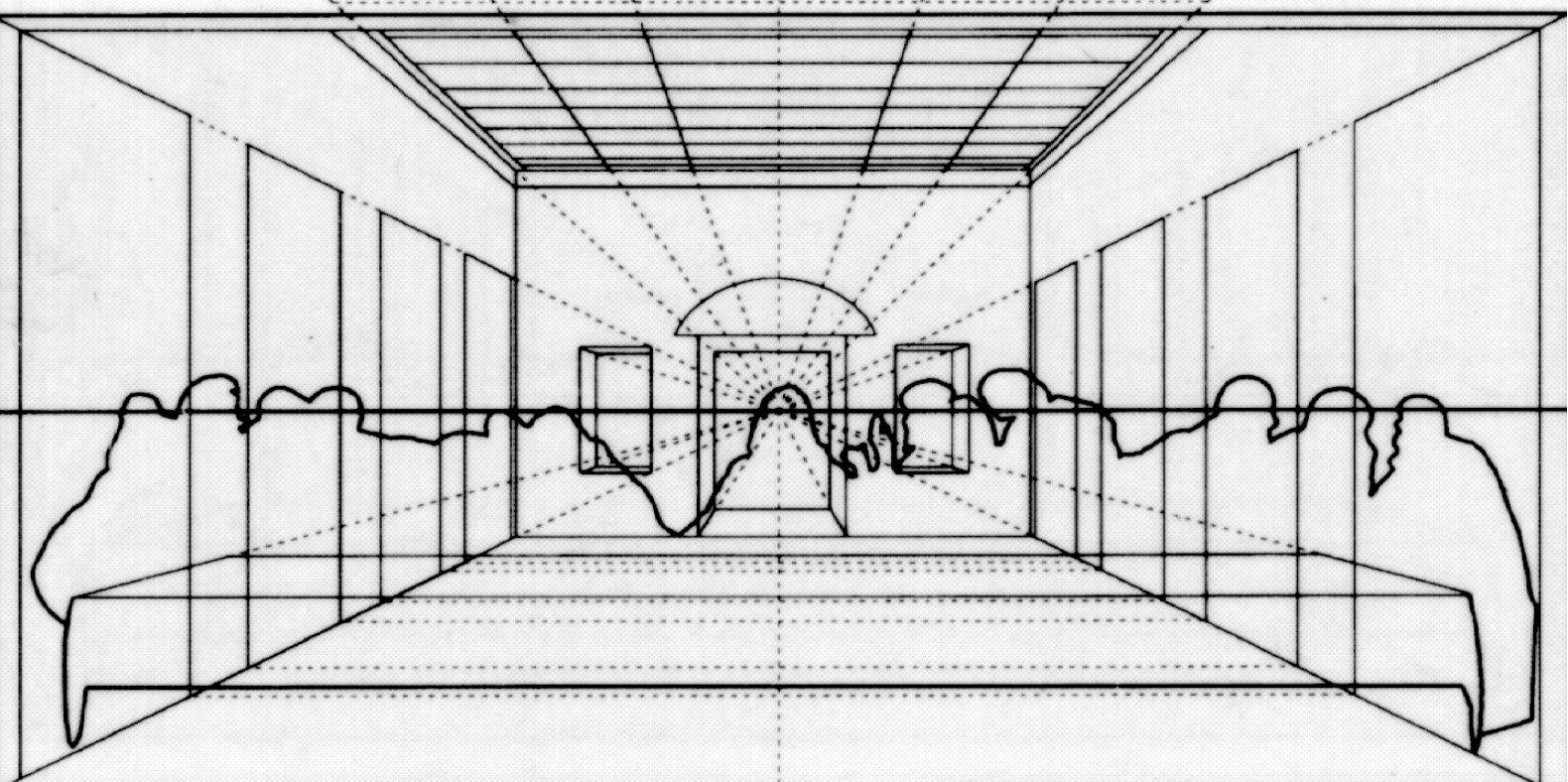
Réagir Ajouter

Partager (28) Tweeter



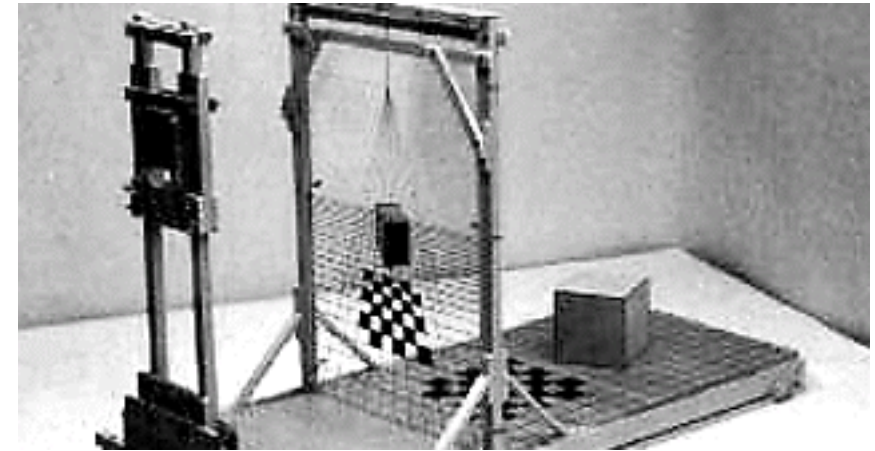
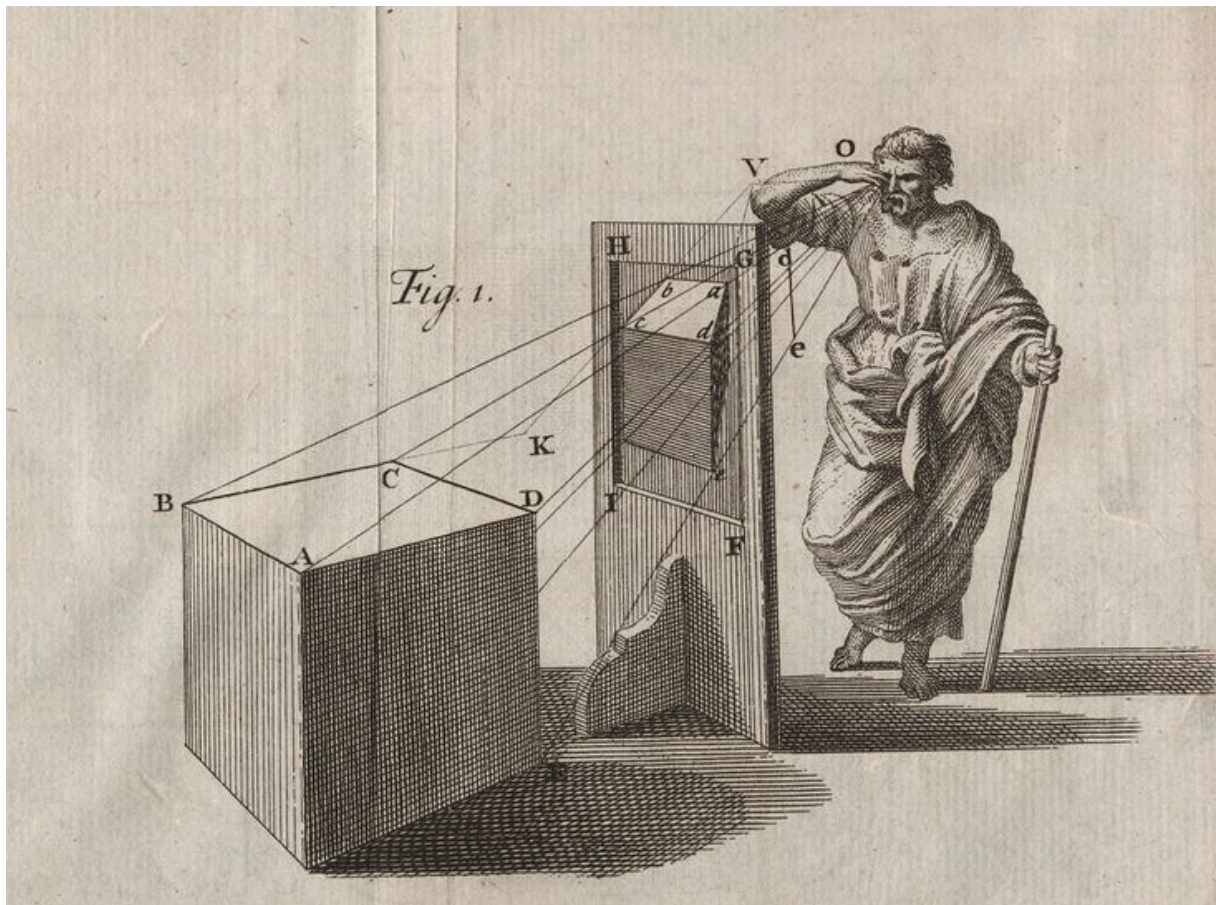


# Informatique Graphique > (très très) brève histoire de la 3D





# Informatique Graphique > (très très) brève histoire de la 3D



La première « machine » à faire de la 3D

- le perspectographe
- l'essentiel est déjà là

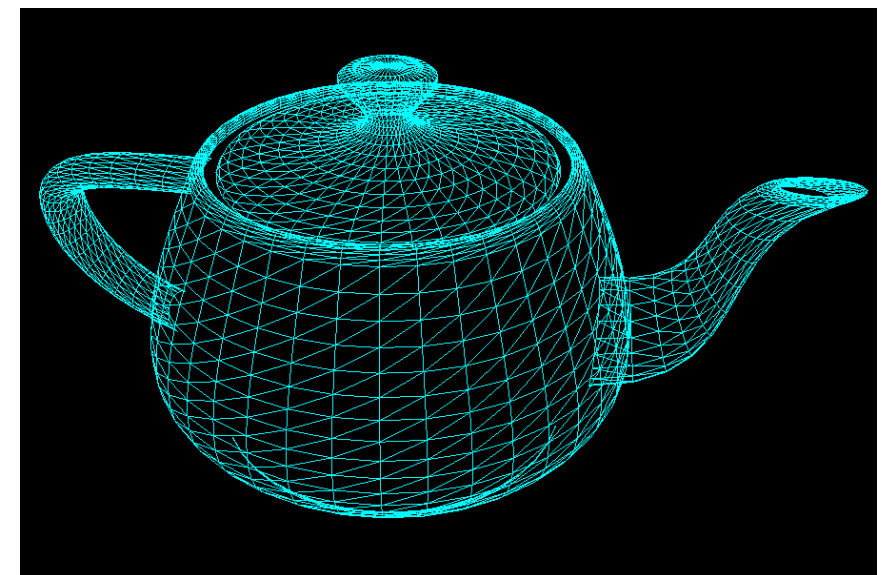
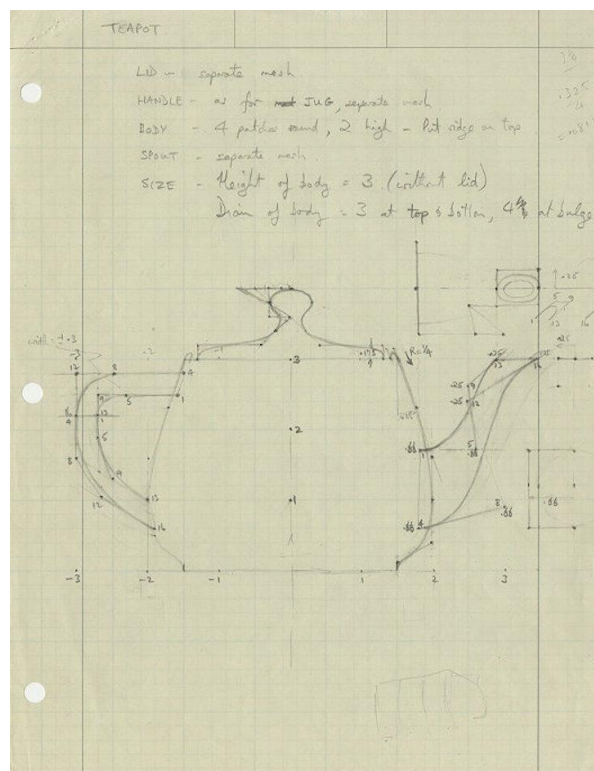




# Informatique Graphique > (très très) brève histoire de la 3D

## Naissance de la 3D moderne

- dans les années 1950, au MIT pour l'armée US (merci la guerre froide...)
- 1967, Université de l'Utah, modélisation d'objet 3D
- 1975, the Utah/Newell Teapot



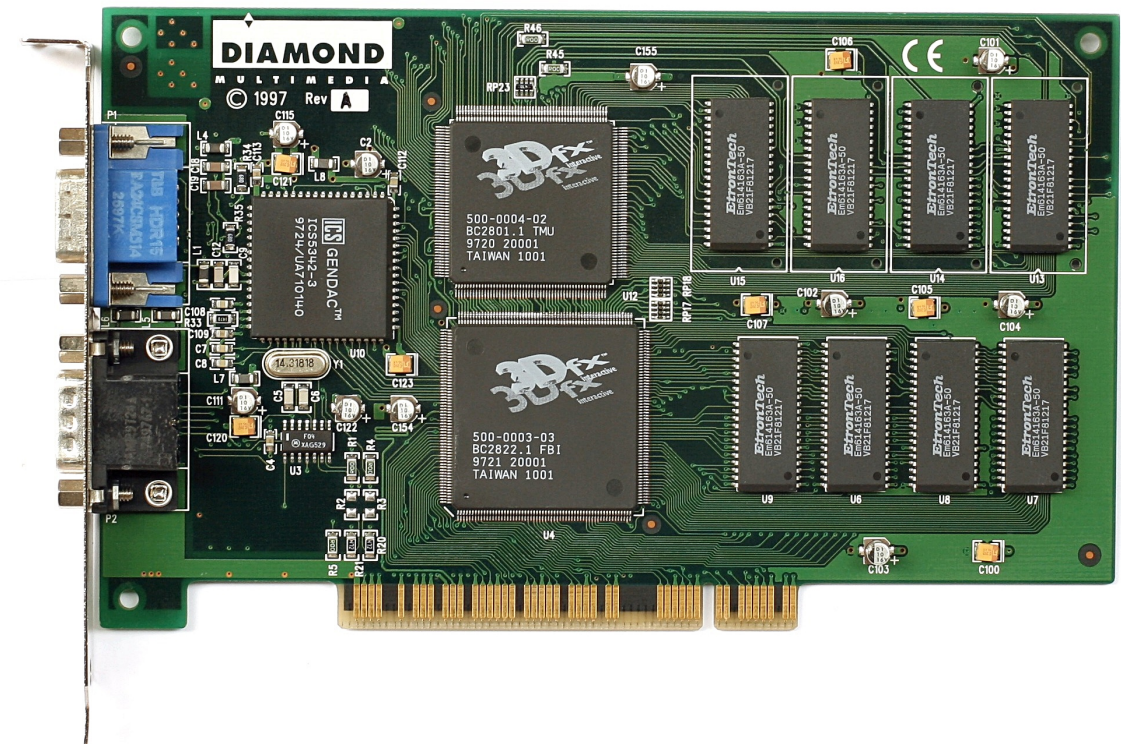
# Informatique Graphique > (très très) brève histoire de la 3D

- la 3D coûte terriblement cher, réservée à un usage industriel ou militaire)



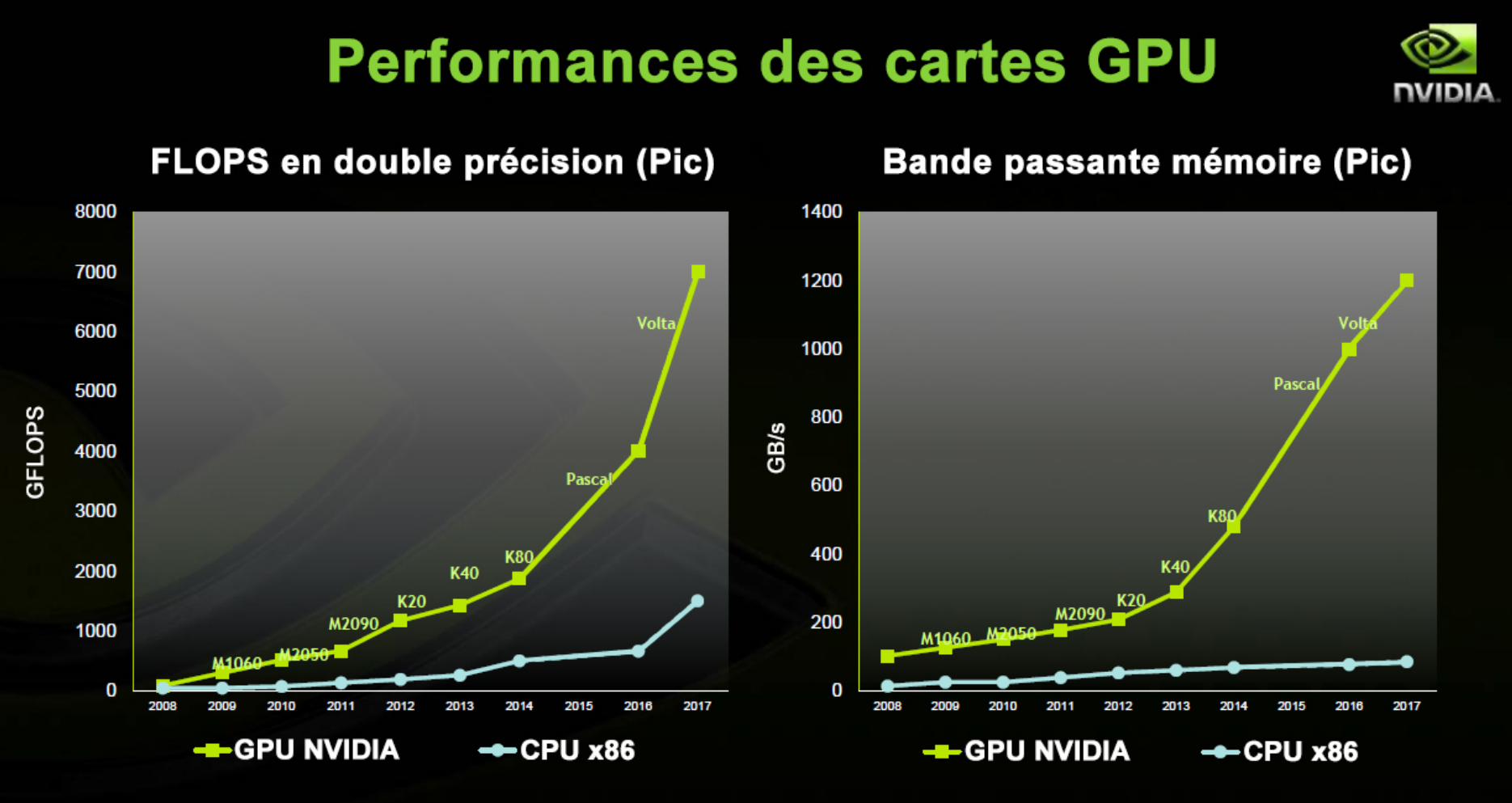
- année 1980, chute des coûts (IBM-PC, Macintosh)

- Année 1990, apparition des cartes accélératrices 3D grand public (Voodoo 3DFX, Playstation, Dreamcast...)



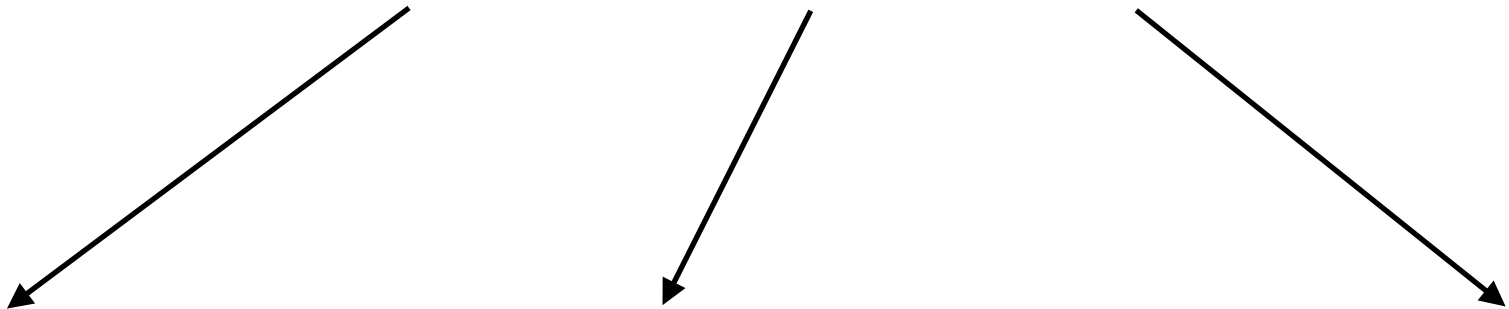


# Informatique Graphique > (très très) brève histoire de la 3D



# Informatique Graphique > domaine de recherche

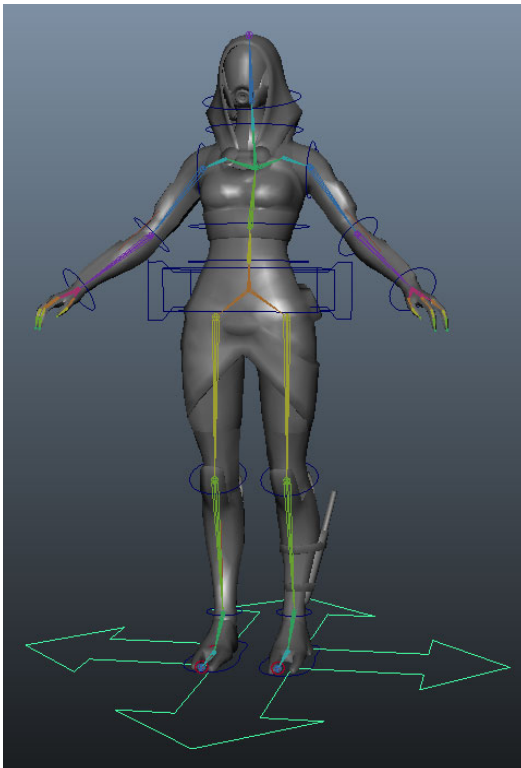
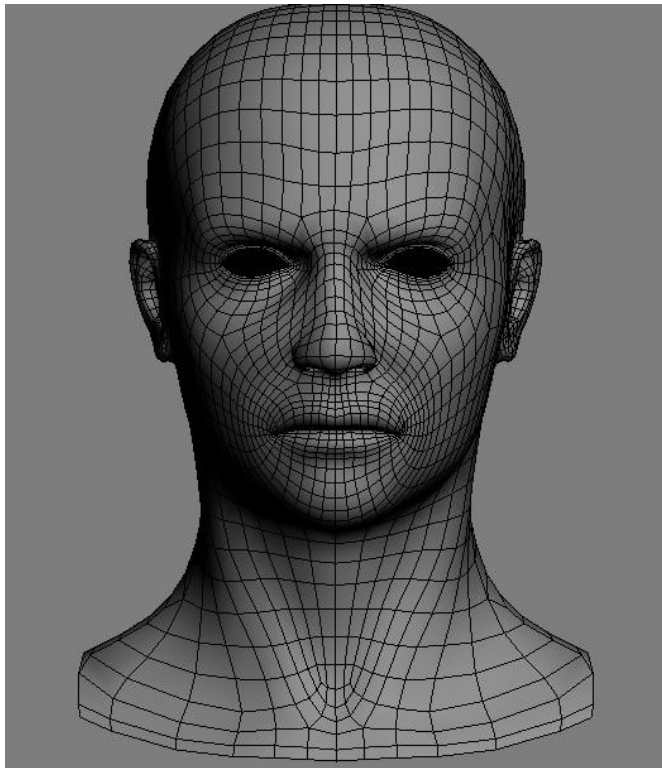
Informatique graphique



Modélisation

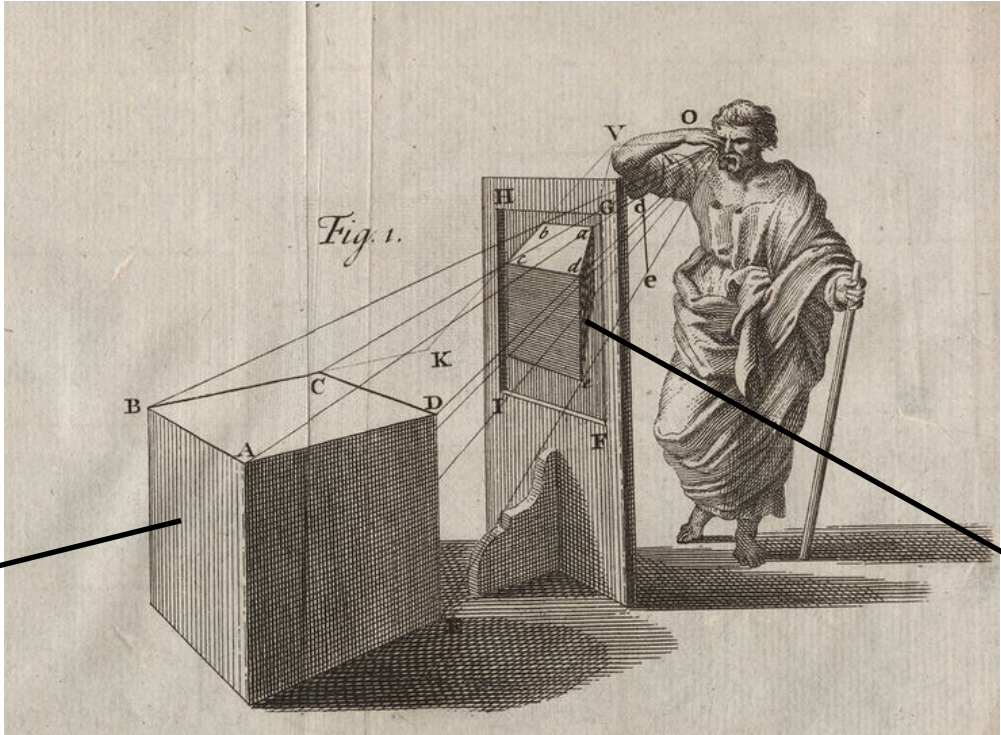
(Animation)

Rendu



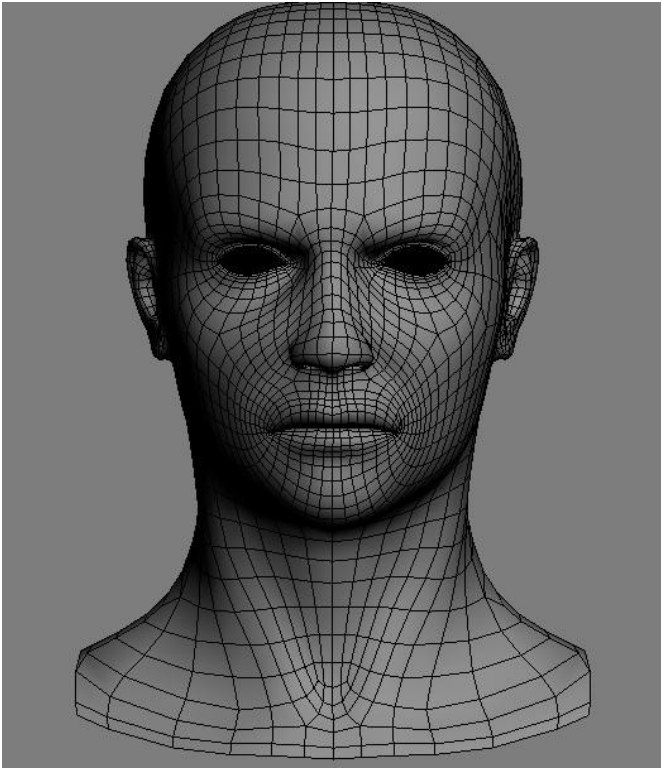


# Informatique Graphique > domaine de recherche



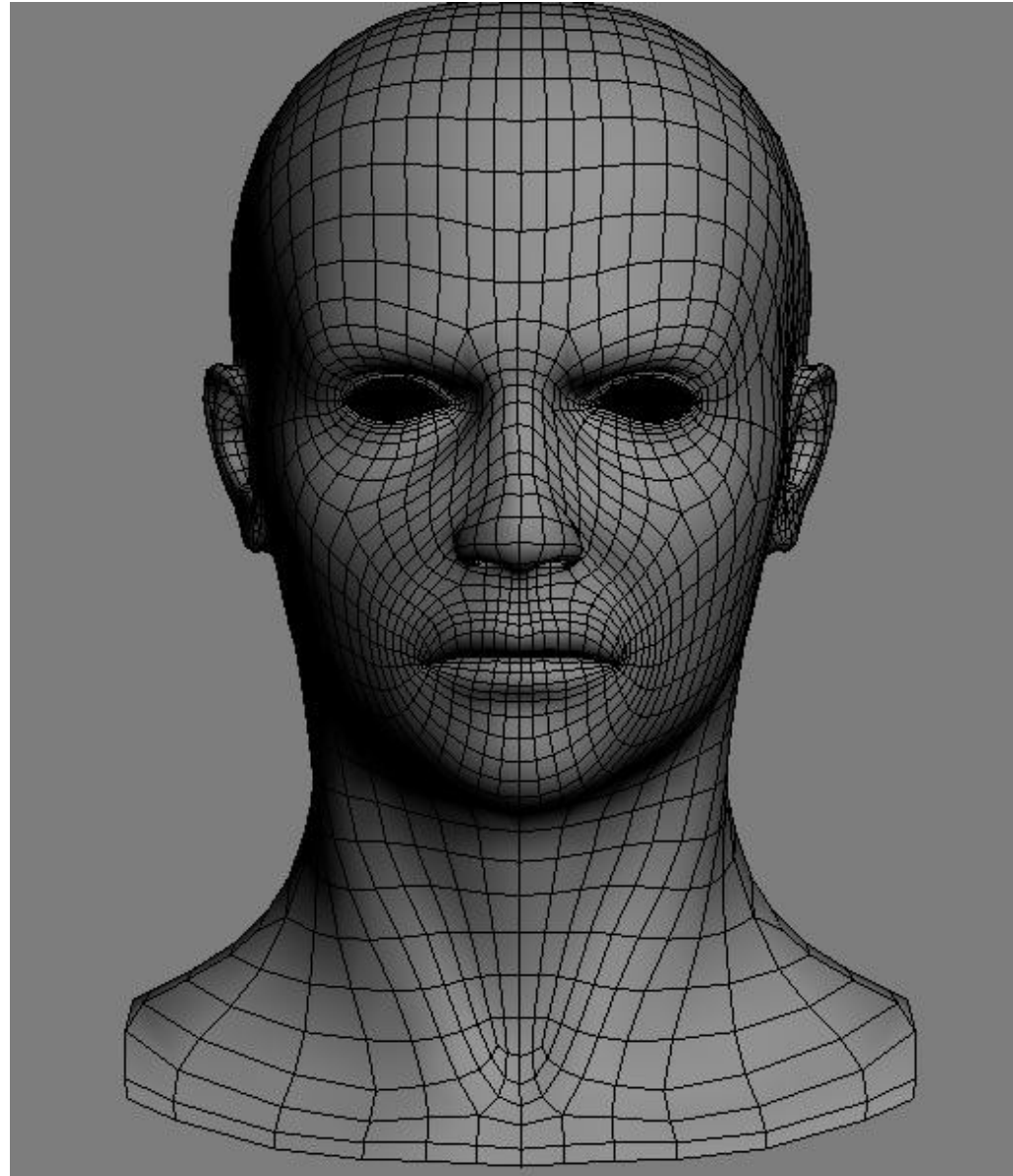
Modélisation

Rendu

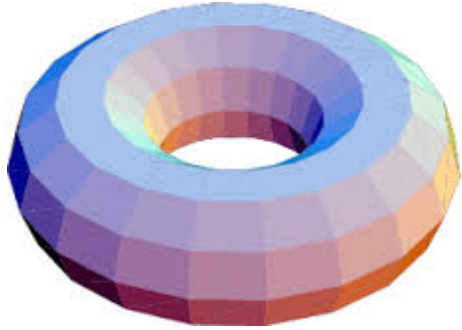
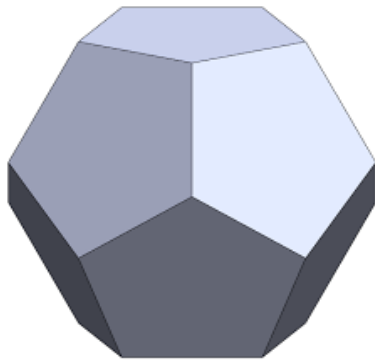
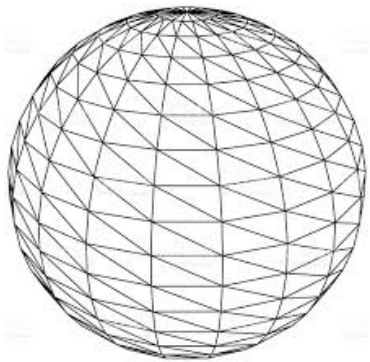
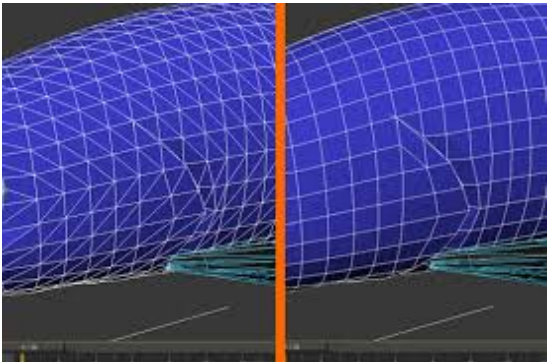


# Informatique Graphique > modélisation

---



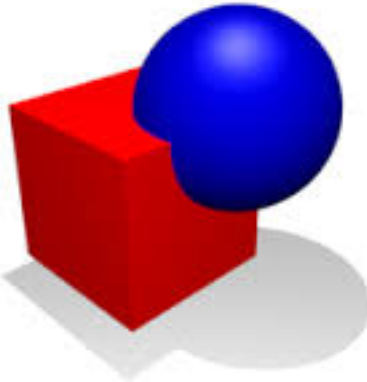
# Modélisation géométrique > quads, triangles et primitives



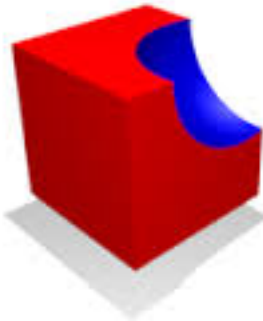
Géométrie dans l'espace



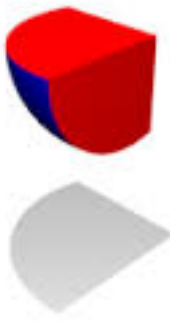
# Modélisation géométrique > opérations CSG (algèbre de Boole)



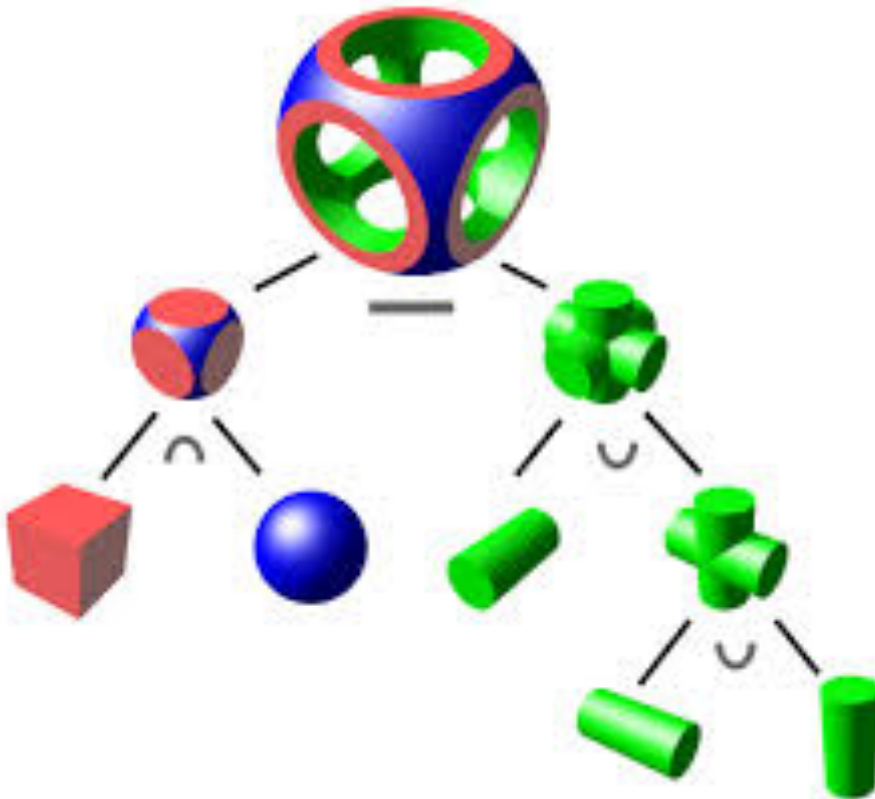
*union*



*soustraction*



*intersection*



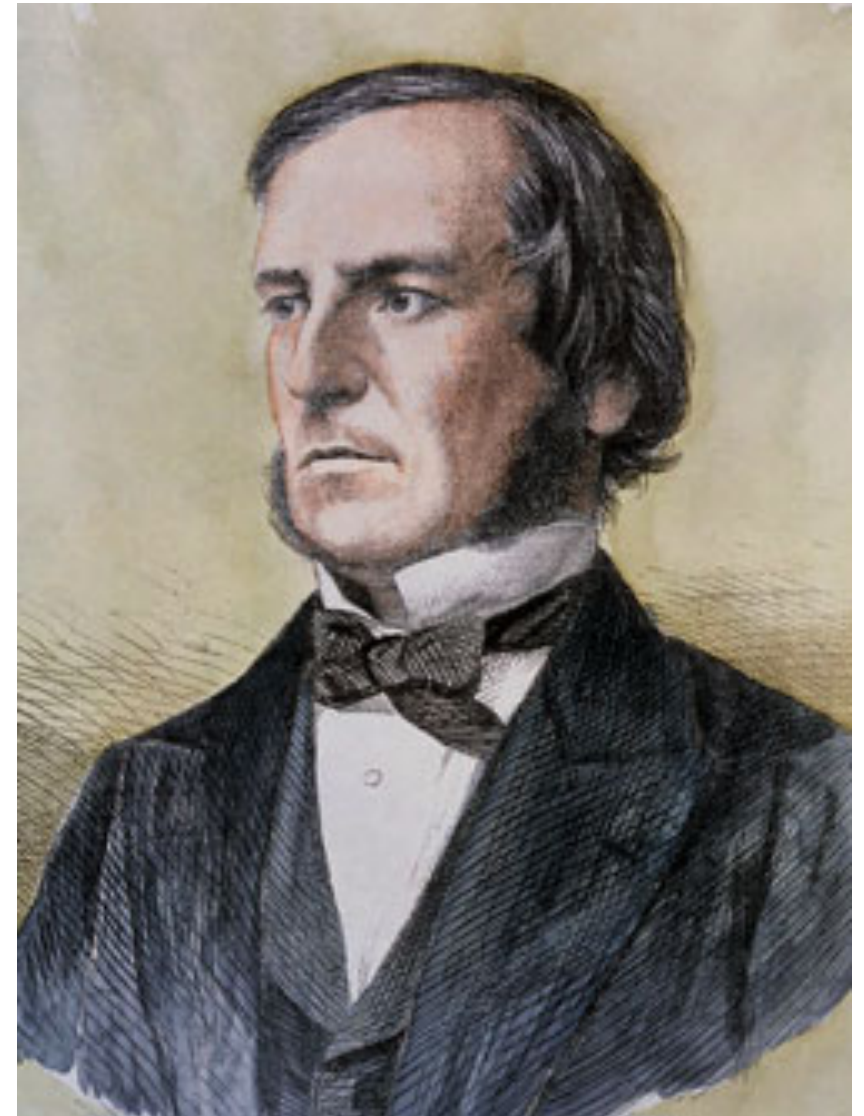
# Modélisation géométrique > George Boole

**George Boole**, né le 2 novembre 1815 à Lincoln (Royaume-Uni) et mort le 8 décembre 1864 à Ballintemple (Irlande), est un logicien, mathématicien et philosophe britannique. Il est le créateur de la logique moderne, fondée sur une structure algébrique et sémantique, que l'on appelle **algèbre de Boole** en son honneur.

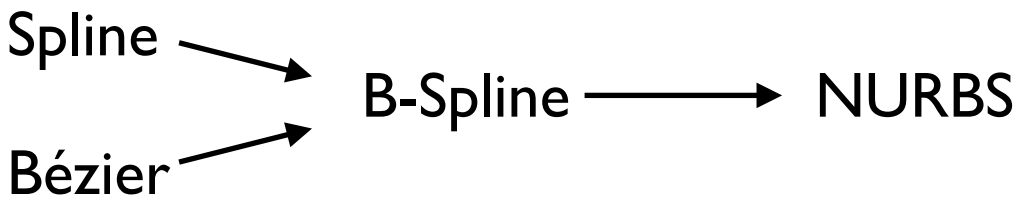
De 1844 à 1854, il crée une algèbre binaire, dite **booléenne**, n'acceptant que deux valeurs numériques : 0 et 1. Cette algèbre aura de nombreuses applications en téléphonie et en informatique, notamment grâce à **Claude Shannon** en 1938, près d'un siècle plus tard.



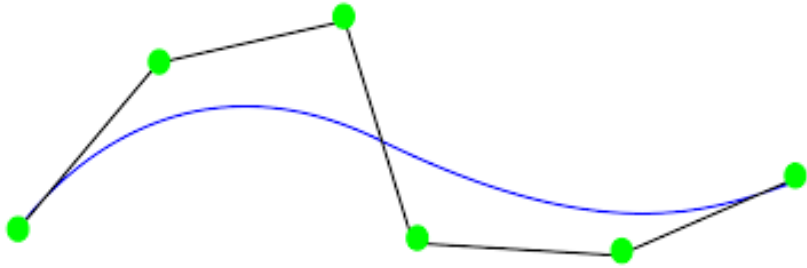
**WIKIPEDIA**  
The Free Encyclopedia



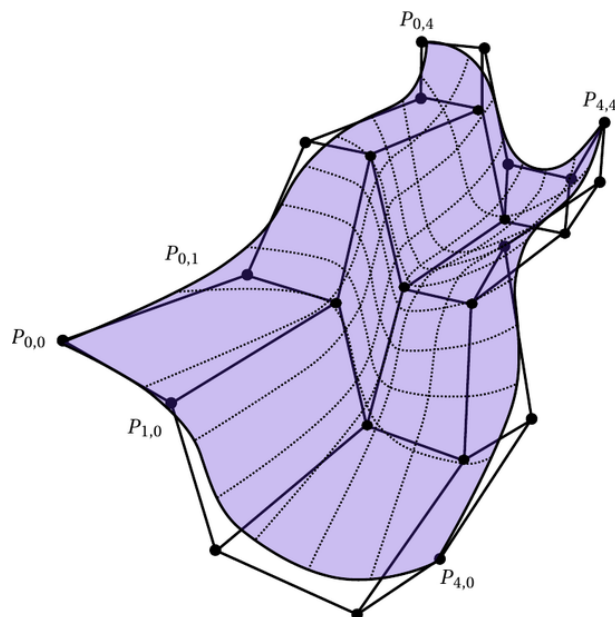
# Modélisation géométrique > Non Uniform Rational B-Splines



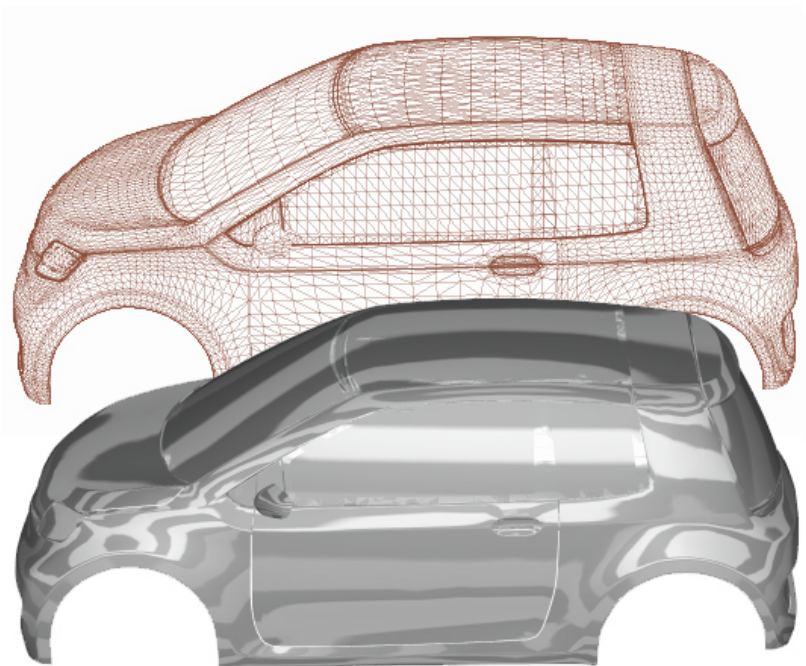
Courbe



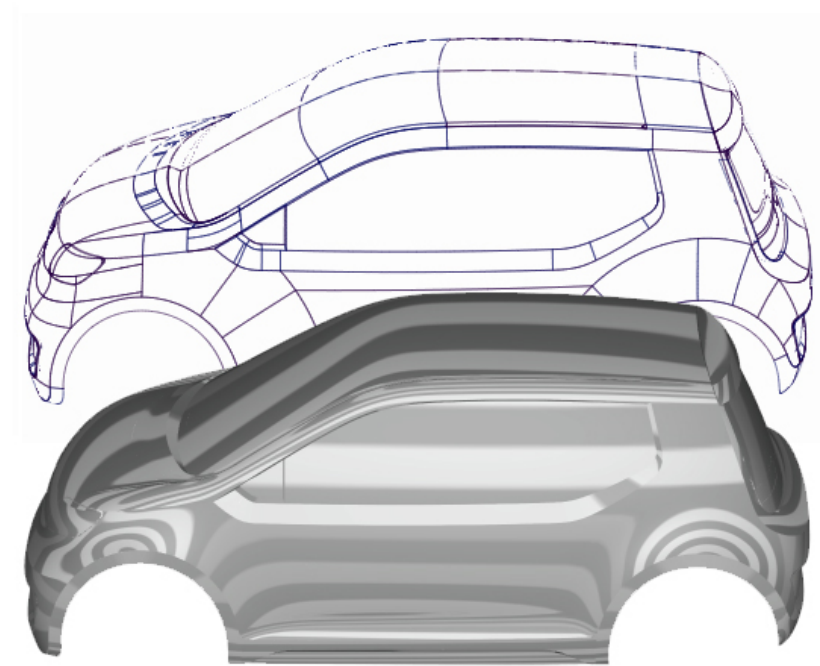
Surface



*Polygon model*



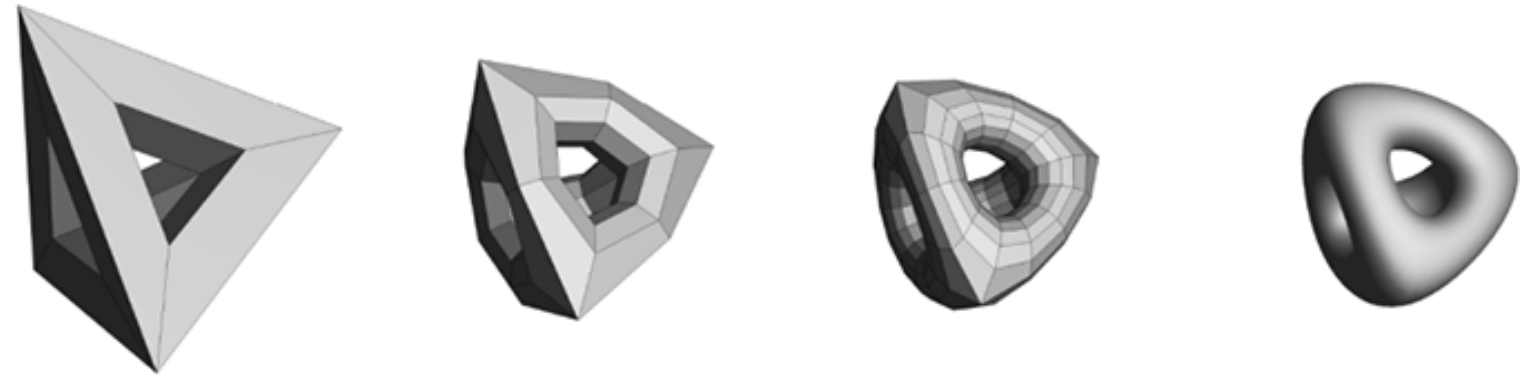
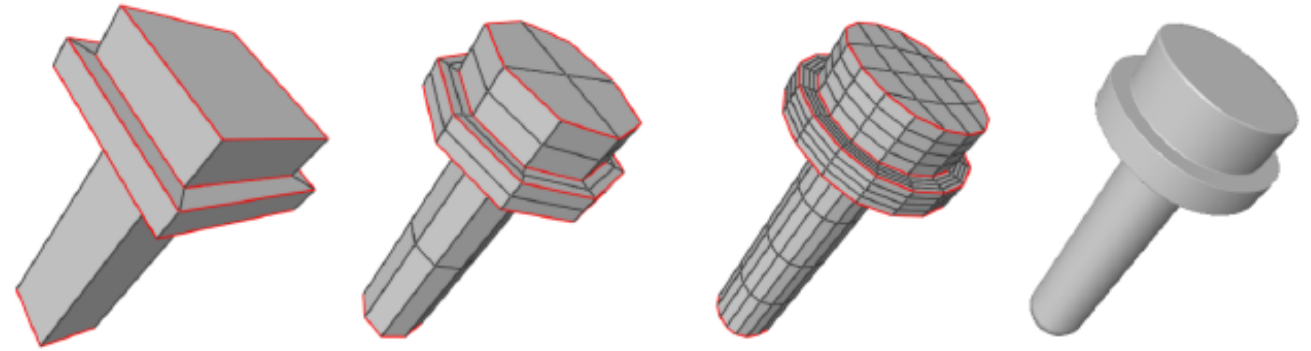
*NURBS model (dérivable)*





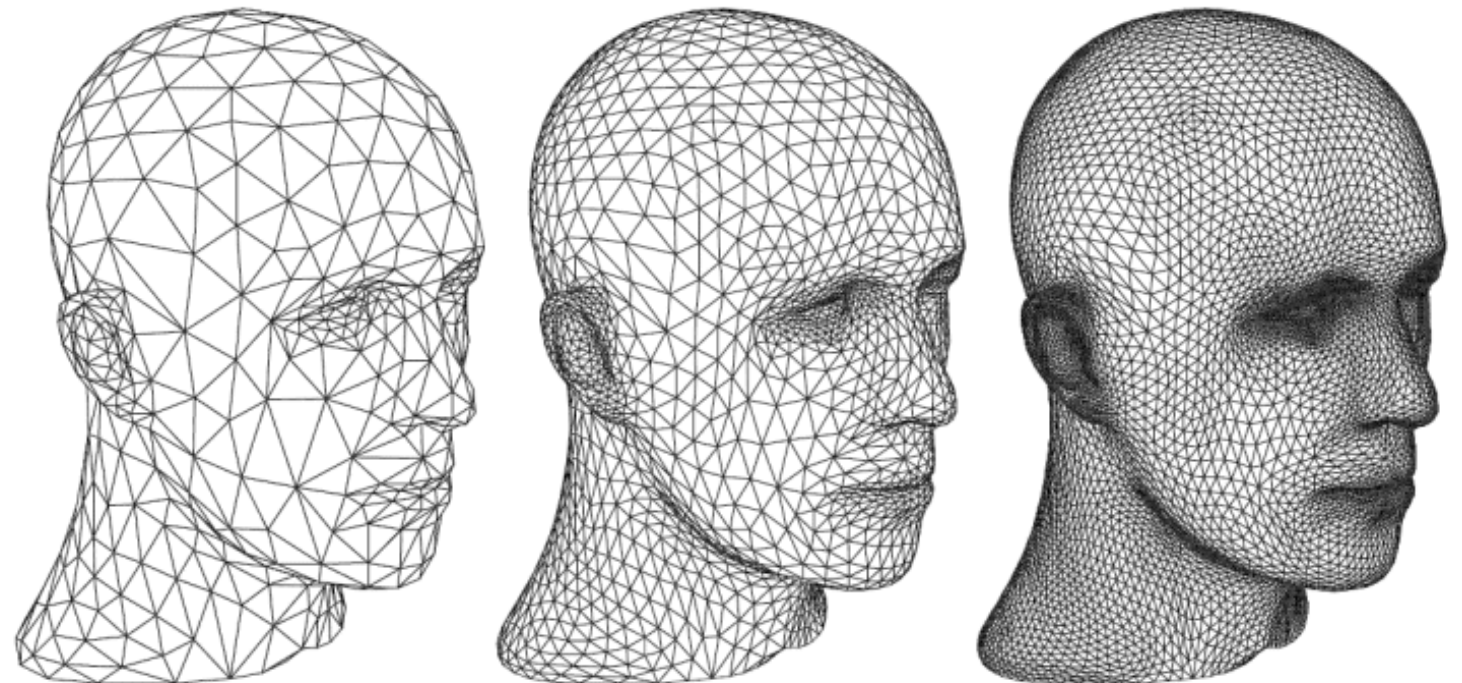
# Modélisation géométrique > surfaces de subdivision

Subdivisions itératives des surfaces par introduction de nouveaux sommets calculés par interpolation des sommets présents à la précédente itération.



Le schéma d'interpolation retenu permet d'influer sur le résultat.

Pratique pour générer n'importe quel niveau de détail.  
LOD-friendly.



# Modélisation procédurale > principe général

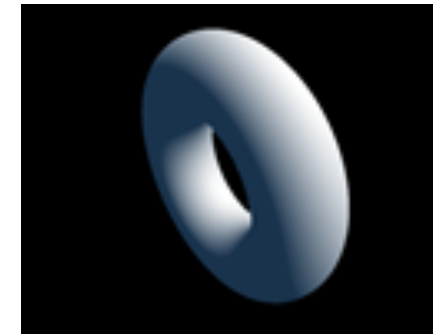
---

- Représenter « mathématiquement » les choses plutôt que géométriquement
  - *comprendre, « analytiquement »*
- Le modèle devient une formule pour calculer la distance à une forme
  - *représentation implicite versus explicite*
  - *calculs versus mémoire*
- Offre aussi quelques facilités pour différents problèmes
  - *objets « mous »*
  - *modèles très grands ou très complexes*
  - *détection de collisions (animation)*
  - *éclairage si dérivable (normale en tout point)*

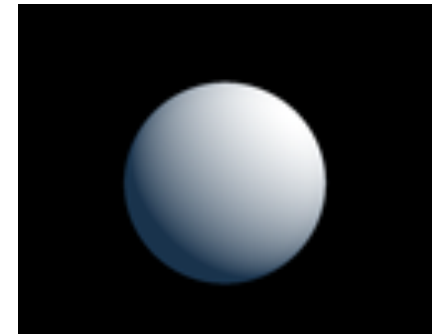
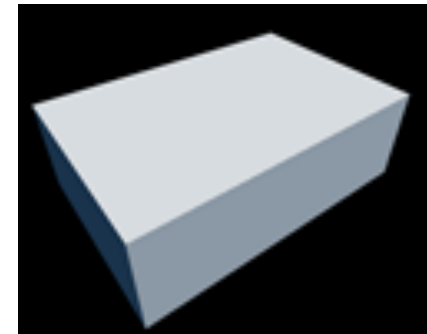


# Modélisation procédurale > quelques primitives (quiz)

```
float f1( vec3 p, float s )  
{  
    return length(p)-s;  
}
```



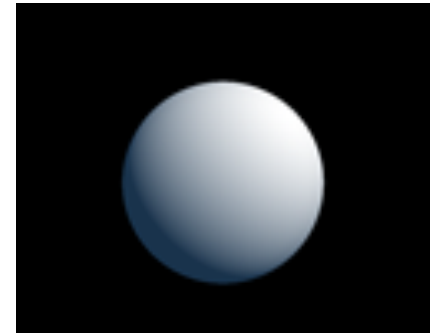
```
float f2( vec3 p, vec3 b )  
{  
    return length(max(abs(p)-b,0.0));  
}
```



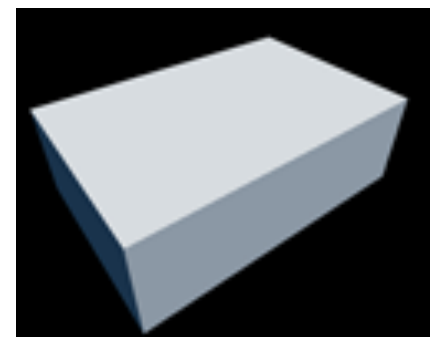
```
float f3( vec3 p, vec2 t )  
{  
    vec2 q = vec2(length(p.xz)-t.x,p.y);  
    return length(q)-t.y;  
}
```

# Modélisation procédurale > quelques primitives

```
float sdSphere( vec3 p, float s )  
{  
    return length(p)-s;  
}
```



```
float udBox( vec3 p, vec3 b )  
{  
    return length(max(abs(p)-b,0.0));  
}
```



```
float sdTorus( vec3 p, vec2 t )  
{  
    vec2 q = vec2(length(p.xz)-t.x,p.y);  
    return length(q)-t.y;  
}
```

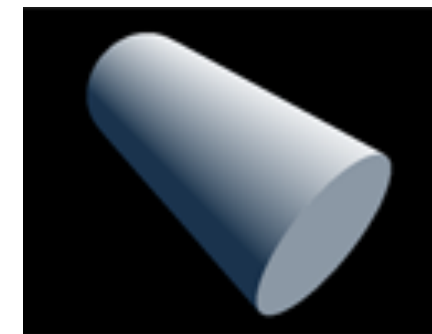
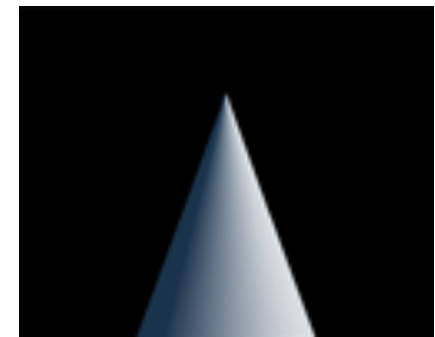
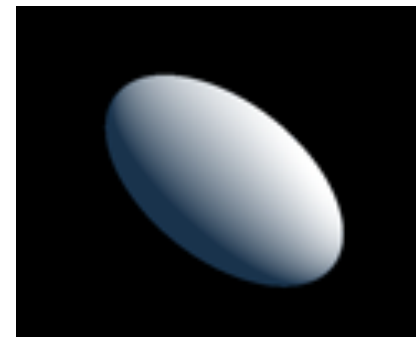


# Modélisation procédurale > quelques primitives (quiz 2)

```
float f4( vec3 p, vec3 r )
{
    return (length( p/r ) - 1.0) *
           min(min(r.x,r.y),r.z);
}
```

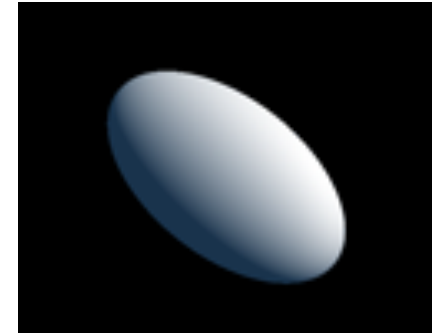
```
float f5( vec3 p, vec2 c )
{
    // c must be normalized
    float q = length(p.xy);
    return dot(c, vec2(q,p.z));
}
```

```
float f6( vec3 p, vec2 h )
{
    vec2 d = abs(vec2(length(p.xz),p.y)) - h;
    return min(max(d.x,d.y),0.0) +
           length(max(d,0.0));
}
```



# Modélisation procédurale > quelques primitives

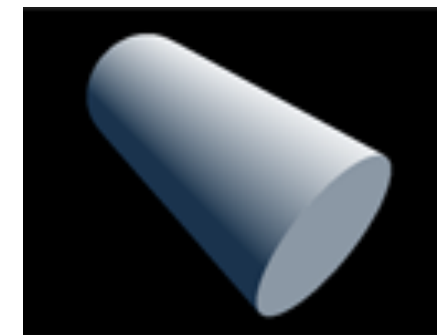
```
float sdEllipsoid( vec3 p, vec3 r )
{
    return (length( p/r ) - 1.0) *
           min(min(r.x,r.y),r.z);
}
```



```
float sdCone( vec3 p, vec2 c )
{
    // c must be normalized
    float q = length(p.xy);
    return dot(c, vec2(q,p.z));
}
```



```
float sdCappedCylinder( vec3 p, vec2 h )
{
    vec2 d = abs(vec2(length(p.xz),p.y)) - h;
    return min(max(d.x,d.y),0.0) +
           length(max(d,0.0));
}
```



# Modélisation procédurale > varier les distances

```
float sdTorus( vec3 p, vec2 t )
{
    vec2 q = vec2(length(p.xz)-t.x, p.y);
    return length(q)-t.y;
}
```



```
float sdTorus82( vec3 p, vec2 t )
{
    vec2 q = vec2(length(p.xz)-t.x, p.y);
    return length8(q)-t.y;
}
```

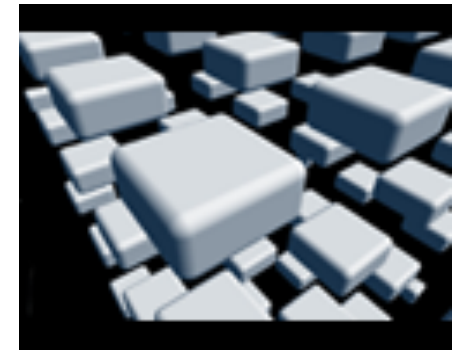


```
float sdTorus88( vec3 p, vec2 t )
{
    vec2 q = vec2(length8(p.xz)-t.x, p.y);
    return length8(q)-t.y;
}
```

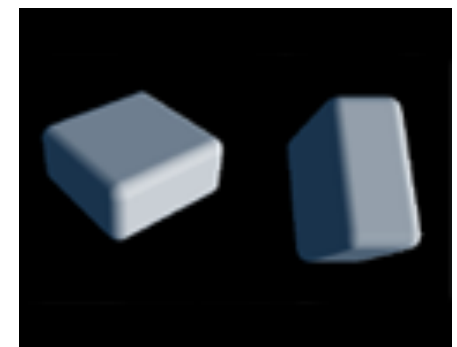


# Modélisation procédurale > opérations sur les domaines

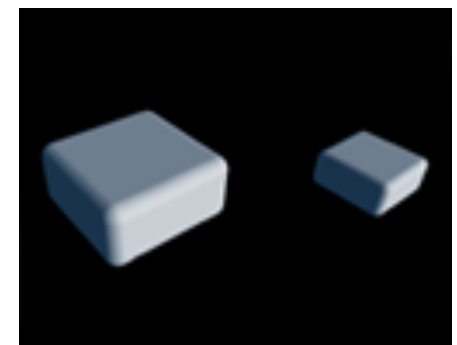
```
float opRep( vec3 p, vec3 c )  
{  
    vec3 q = mod(p,c)-0.5*c;  
    return primitive(q);  
}
```



```
vec3 opTx( vec3 p, mat4 m )  
{  
    vec3 q = invert(m)*p;  
    return primitive(q);  
}
```

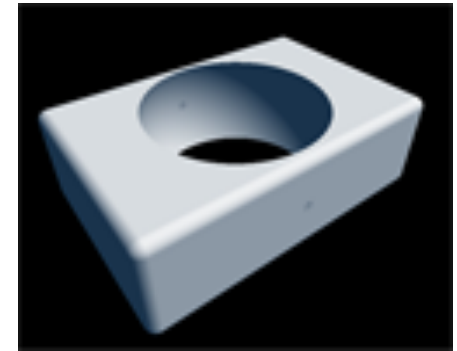


```
float opScale( vec3 p, float s )  
{  
    return primitive(p/s)*s;  
}
```

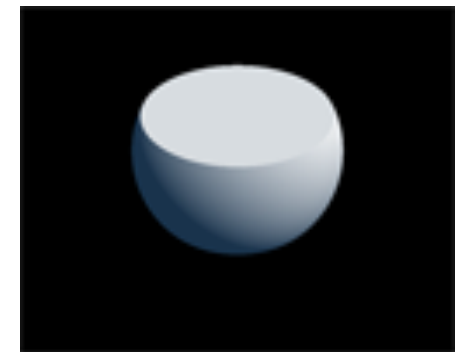
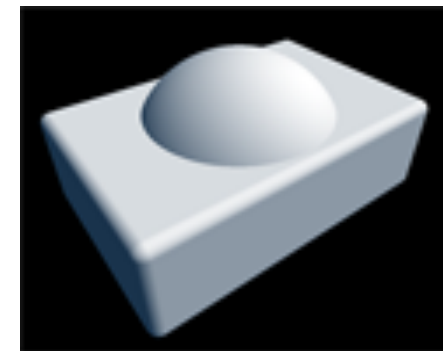


# Modélisation procédurale > opérations (quiz 3)

```
float op1( float d1, float d2 )  
{  
    return min(d1,d2);  
}
```



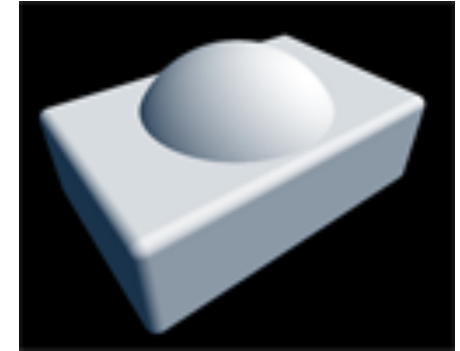
```
float op2( float d1, float d2 )  
{  
    return max(-d1,d2);  
}
```



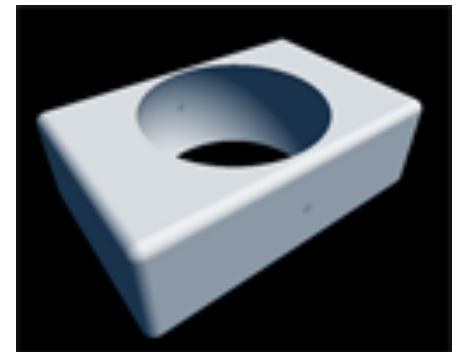
```
float op3( float d1, float d2 )  
{  
    return max(d1,d2);  
}
```

# Modélisation procédurale > opérations (quiz 3)

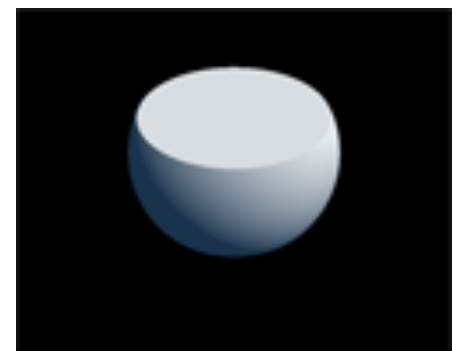
```
float opUnion( float d1, float d2 )  
{  
    return min(d1,d2);  
}
```



```
float opSubstraction( float d1, float d2 )  
{  
    return max(-d1,d2);  
}
```



```
float opIntersection( float d1, float d2 )  
{  
    return max(d1,d2);  
}
```



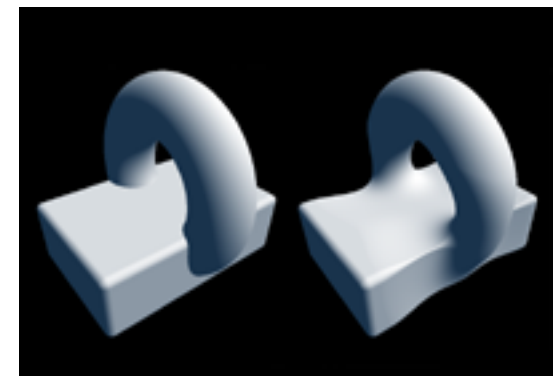
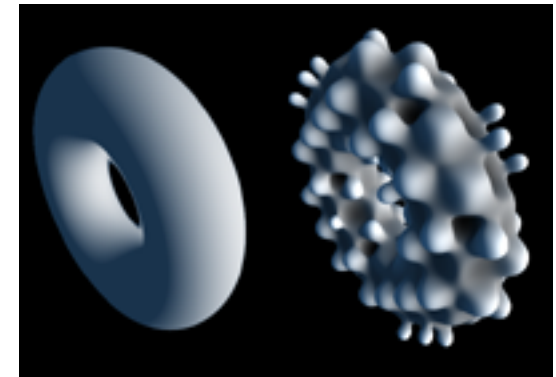


# Modélisation procédurale > déformer les distances

```
float displacement( vec3 p )  
{  
    return sin(20.0*p.x) +  
           sin(20.0*p.y) + sin(20.0*p.z);  
}
```

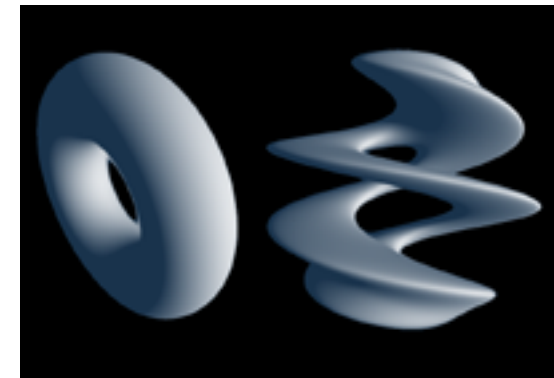
```
float opDisplace( vec3 p )  
{  
    float d1 = primitive(p);  
    float d2 = displacement(p);  
    return d1+d2;  
}
```

```
float opBlend( vec3 p )  
{  
    float d1 = primitiveA(p);  
    float d2 = primitiveB(p);  
    return smin( d1, d2 );  
}
```

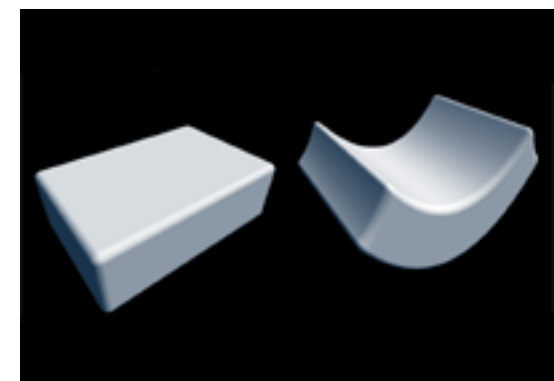


# Modélisation procédurale > déformer les domaines

```
float opTwist( vec3 p )
{
    float c = cos(20.0*p.y);
    float s = sin(20.0*p.y);
    mat2  m = mat2(c,-s,s,c);
    vec3  q = vec3(m*p.xz,p.y);
    return primitive(q);
}
```

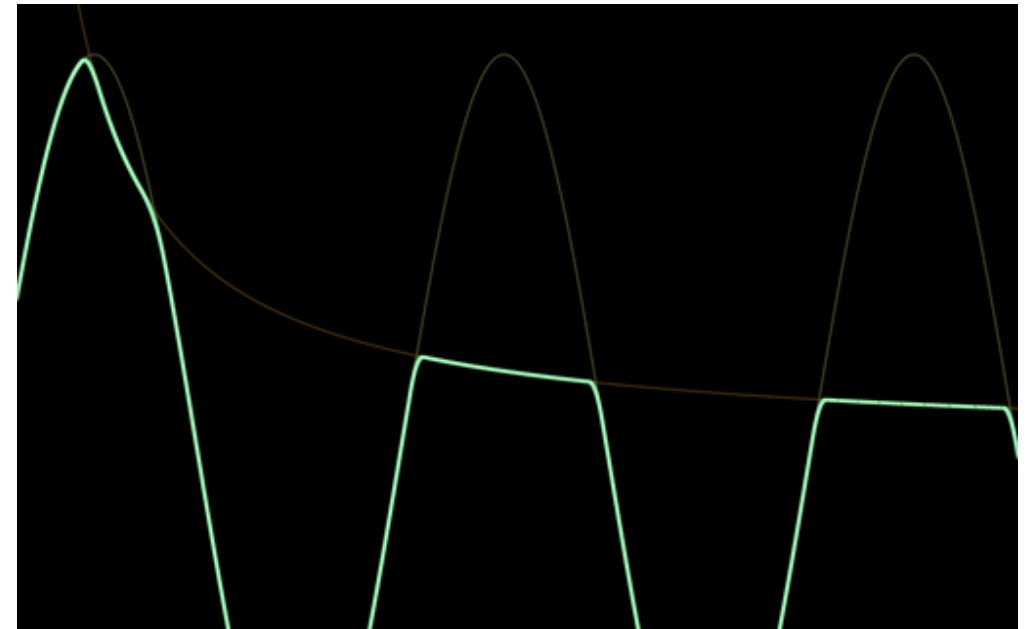
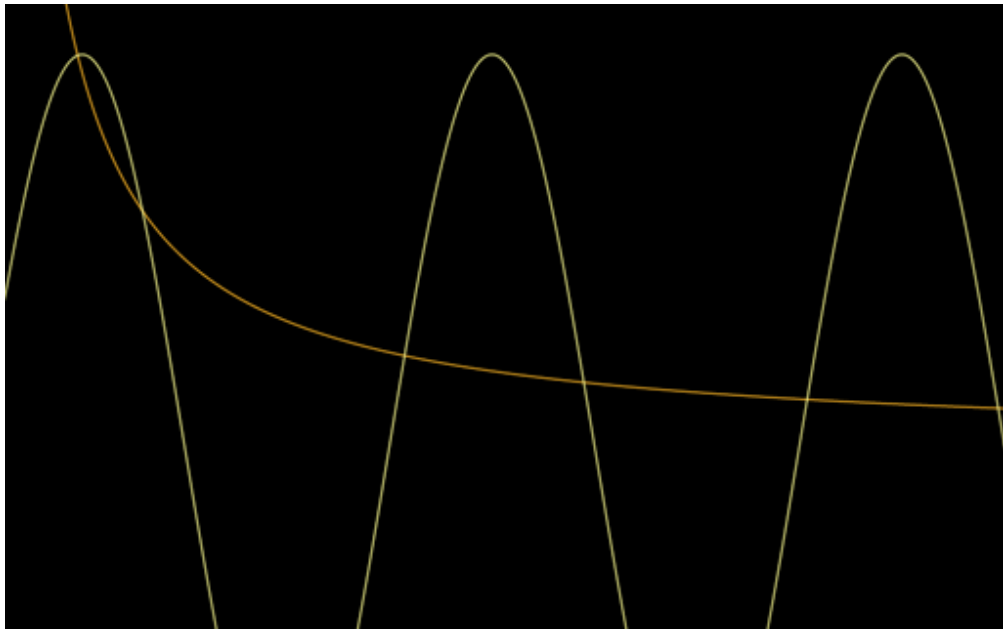


```
float opCheapBend( vec3 p )
{
    float c = cos(20.0*p.y);
    float s = sin(20.0*p.y);
    mat2  m = mat2(c,-s,s,c);
    vec3  q = vec3(m*p.xy,p.z);
    return primitive(q);
}
```





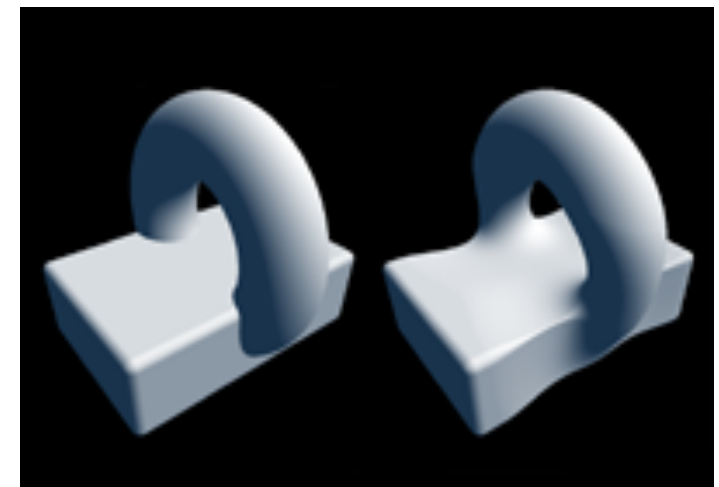
# Modélisation procédurale > « smooth minimum »



*clamp* : limiter un calcul à un intervalle donné, *mix* : interpolation linéaire

```
float smin( float a, float b, float k )  
{  
    float h = clamp( 0.5+0.5*(b-a)/k, 0.0, 1.0 );  
    return mix( b, a, h ) - k*h*(1.0-h);  
}
```

```
float opBlend( vec3 p )  
{  
    float d1 = primitiveA(p);  
    float d2 = primitiveB(p);  
    return smin( d1, d2 );  
}
```





 **LiveSlides** web content

To view

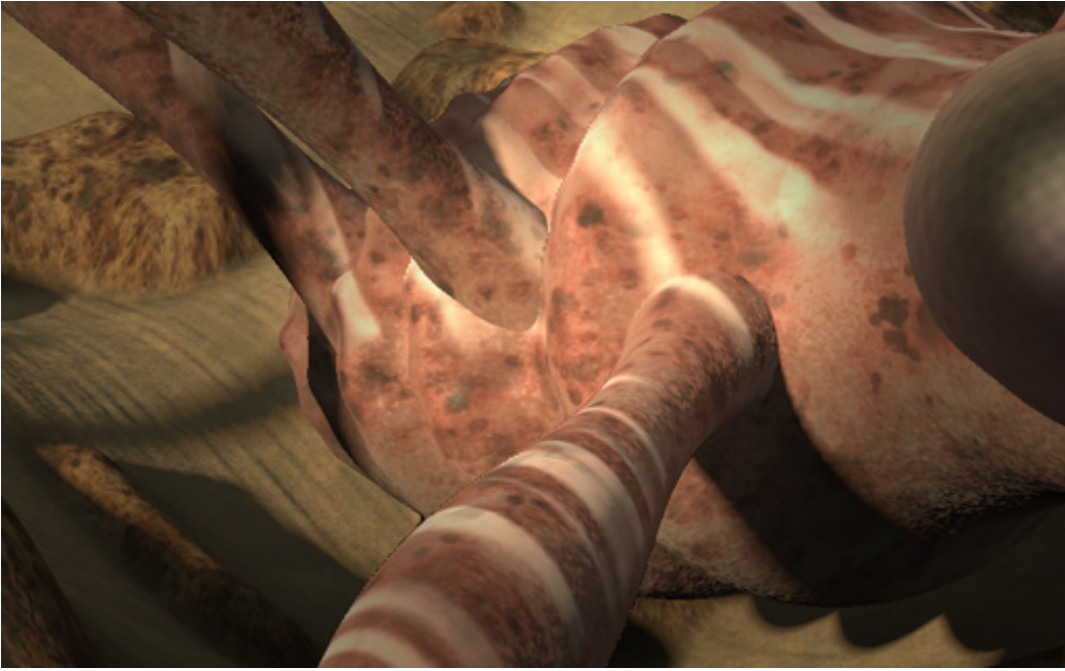
**Download the add-in.**

[liveslides.com/download](https://liveslides.com/download)

**Start the presentation.**

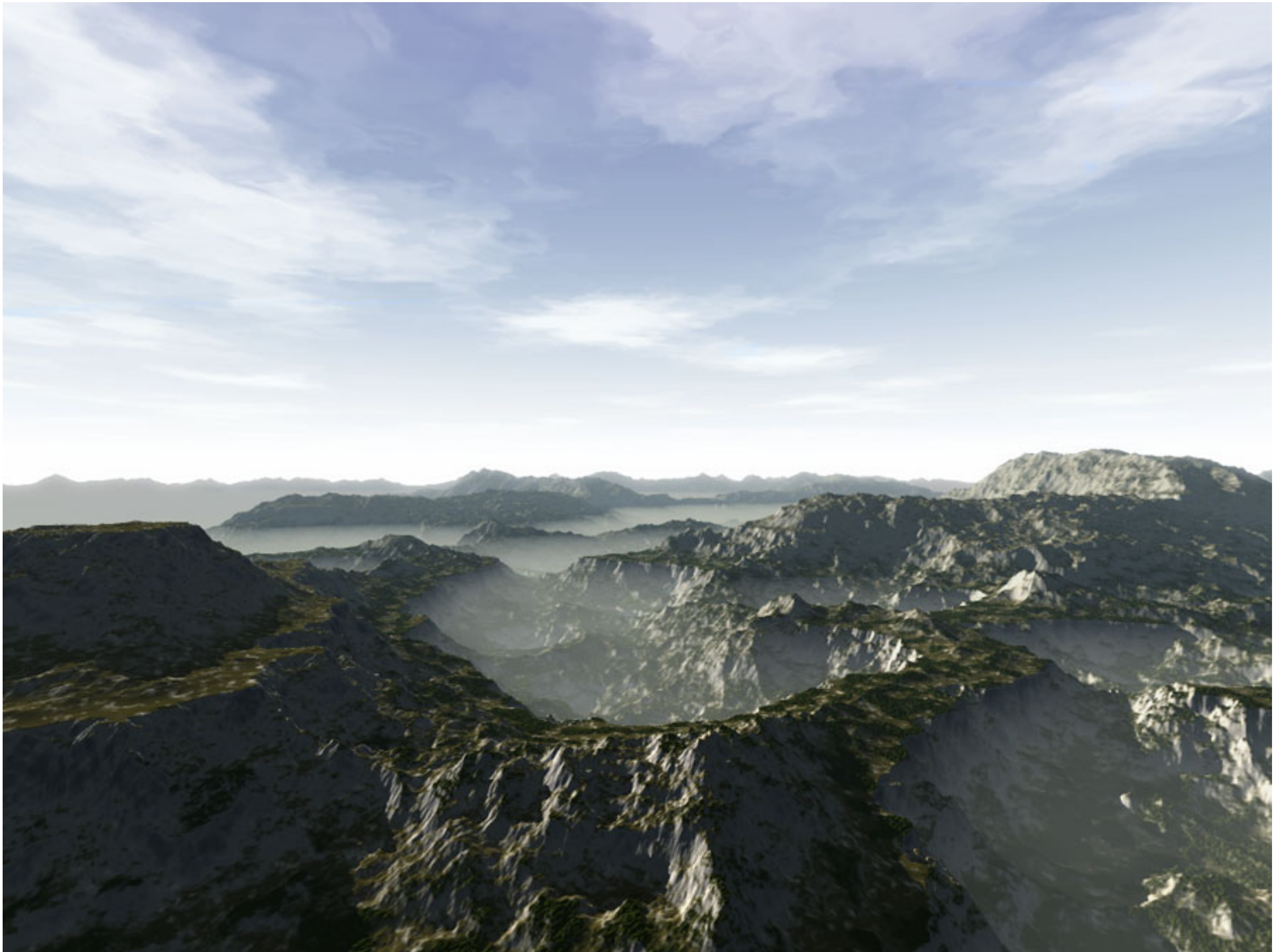


# Modélisation procédurale > exemples

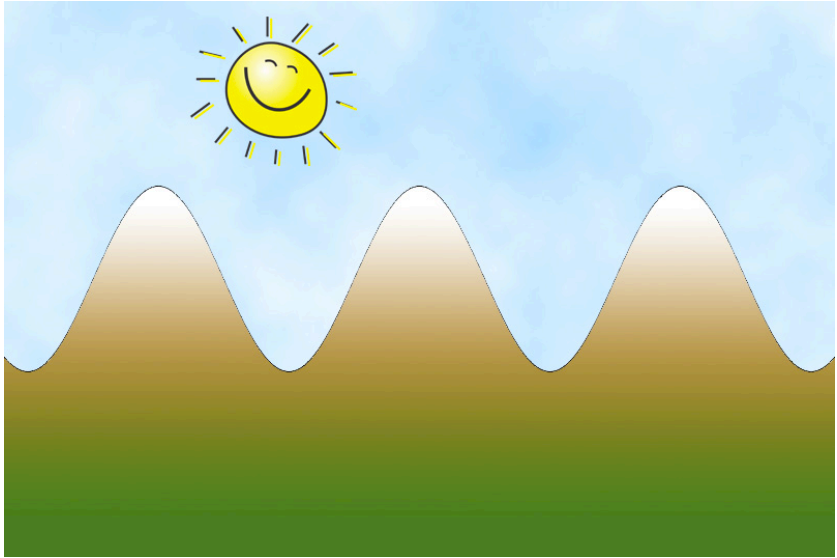
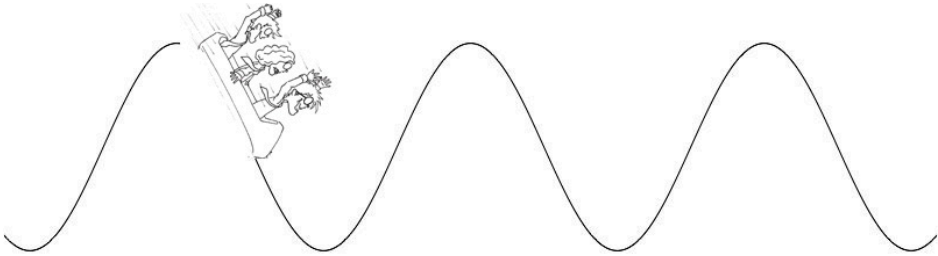
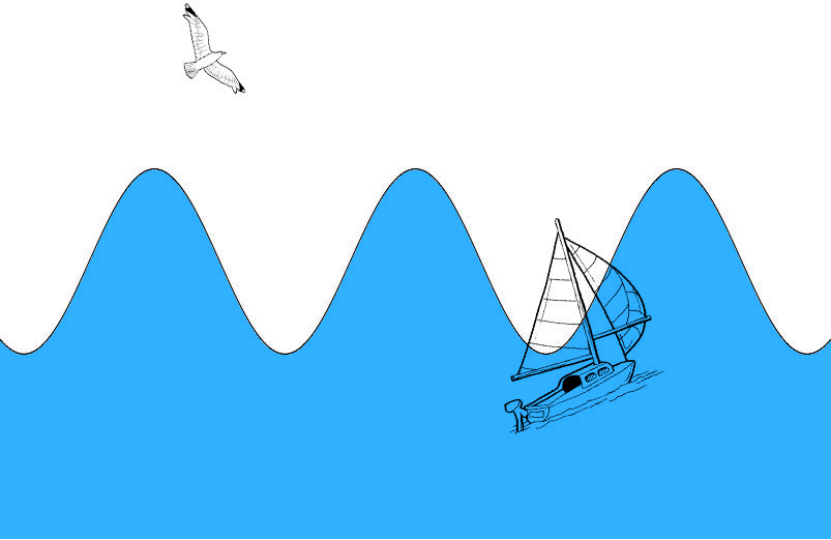
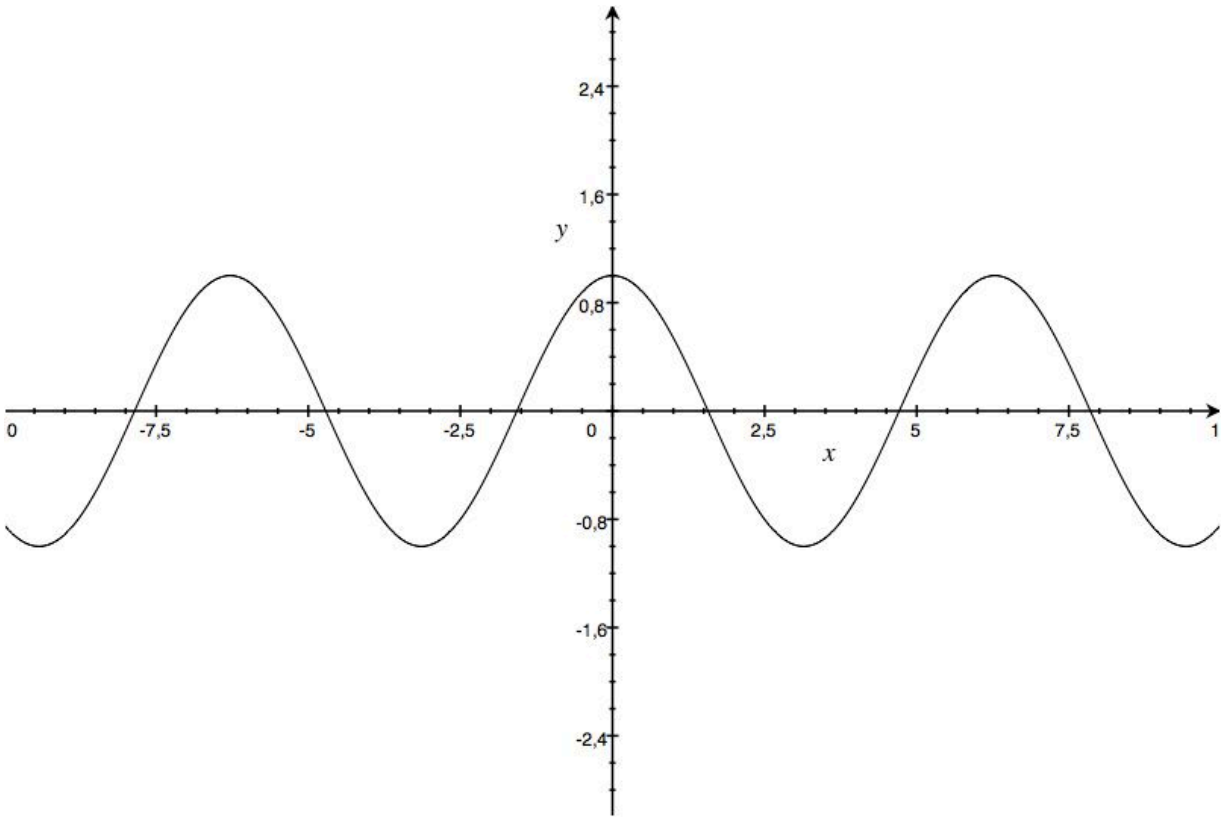




# Modélisation procédurale > techniques (plus) avancées



# Modélisation procédurale > techniques (plus) avancées





# Modélisation procédurale > techniques (plus) avancées

---

## Le syndrome du parquet stratifié



# Modélisation procédurale > fractional Brownian motion

Le **mouvement Brownien fractionnaire** (mBf) a été introduit par [Kolmogorov](#) en 1940 comme moyen d'engendrer des "spirales" gaussiennes dans des espaces de Hilbert.

[Mandelbrot](#) et Van Ness (1968) l'ont rendu célèbre en l'introduisant dans des modèles financiers et en étudiant ses propriétés. Le champ des applications du mBf est immense. En effet, il sert par exemple à recréer certains paysages naturels, notamment des montagnes, mais également en hydrologie, télécommunications, économie, physique...

Le mouvement Brownien fractionnaire d'exposant de Hurst  $\alpha \in (0, 1)$ , noté  $\{B_\alpha(t)\}_{t \in \mathbb{R}}$ , est l'unique processus Gaussien centré, nul en zéro et continu dont la covariance est donnée par:

$$\mathbb{E}(B_\alpha(s)B_\alpha(t)) = \frac{C_\alpha}{2} (|s|^{2\alpha} + |t|^{2\alpha} - |s - t|^{2\alpha}),$$

où  $C_\alpha = \text{Var}(B_\alpha(1))$  est une constante positive qui ne dépend que de  $\alpha$ , elle s'appelle indice de Hurst. Lorsque  $C_\alpha = 1$ , nous obtenons le mBf standard. Le mBf est l'une des généralisations les plus naturelles du [mouvement brownien](#). En effet,

1. Lorsque  $\alpha > 1/2$ ,  $B_\alpha$  est une primitive fractionnaire du mouvement brownien.
2. lorsque  $\alpha < 1/2$ , il est une dérivée fractionnaire du mouvement brownien.
3.  $B_{1/2}$  se réduit à un mouvement brownien.

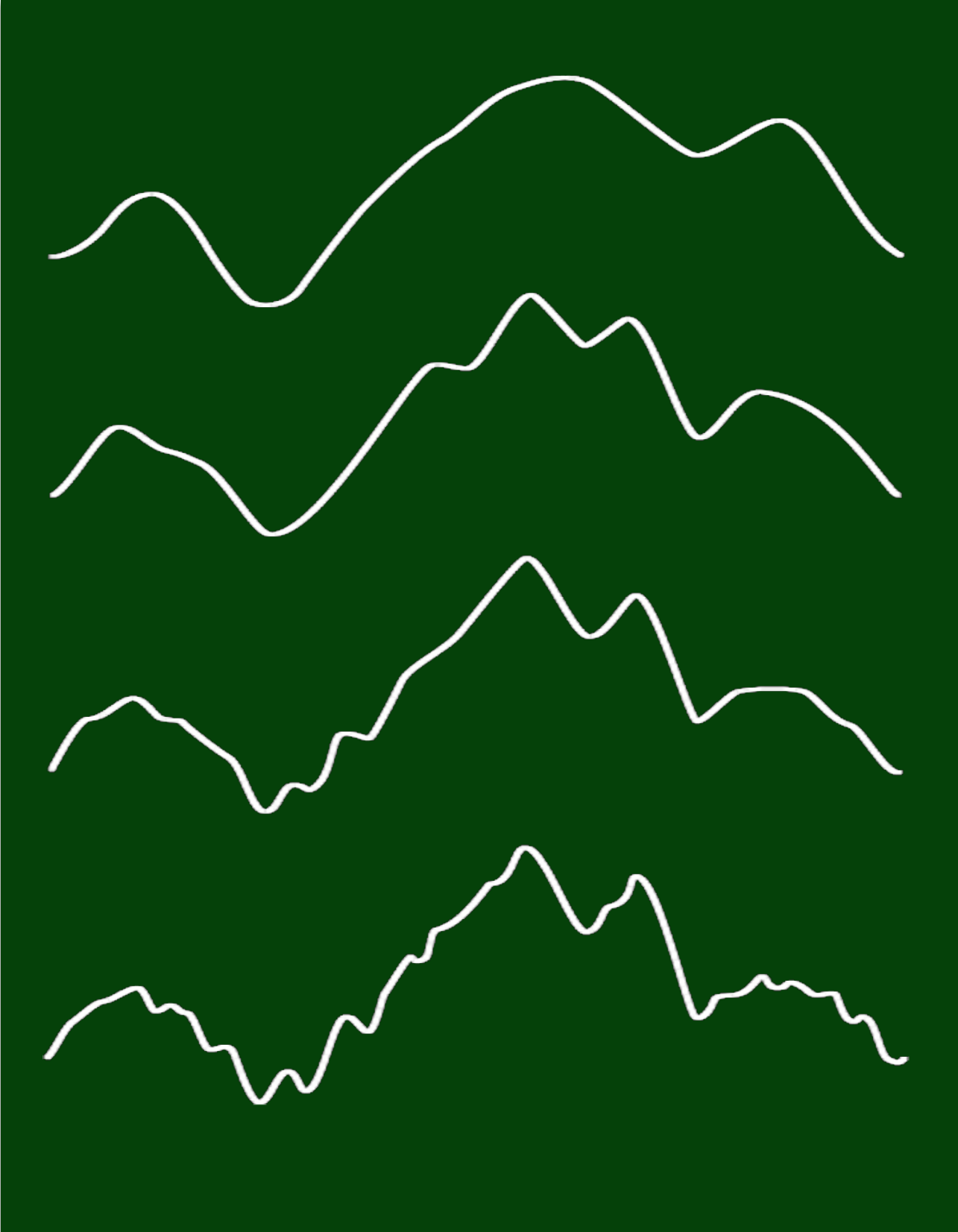
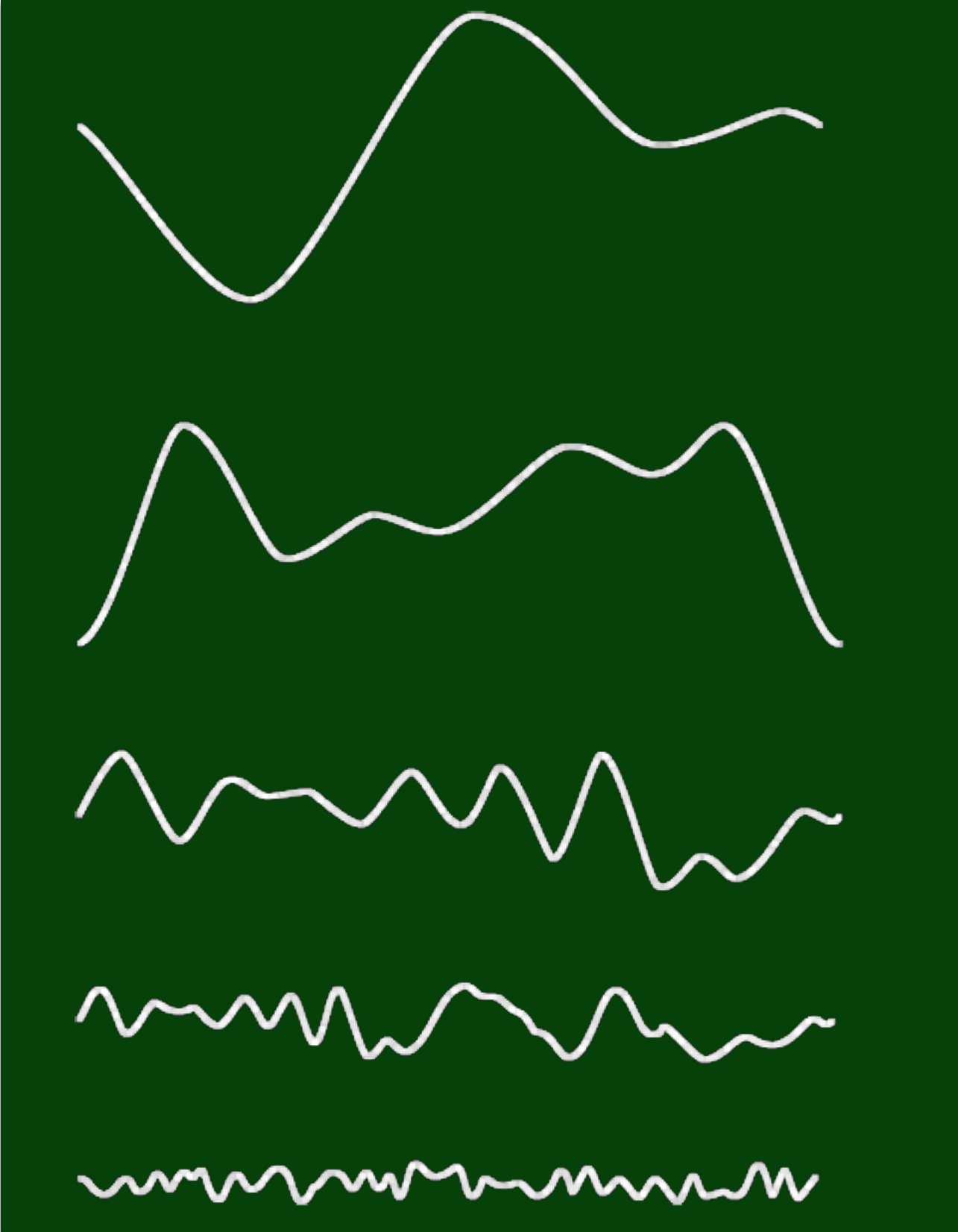


# Modélisation procédurale > fractional Brownian motion

---

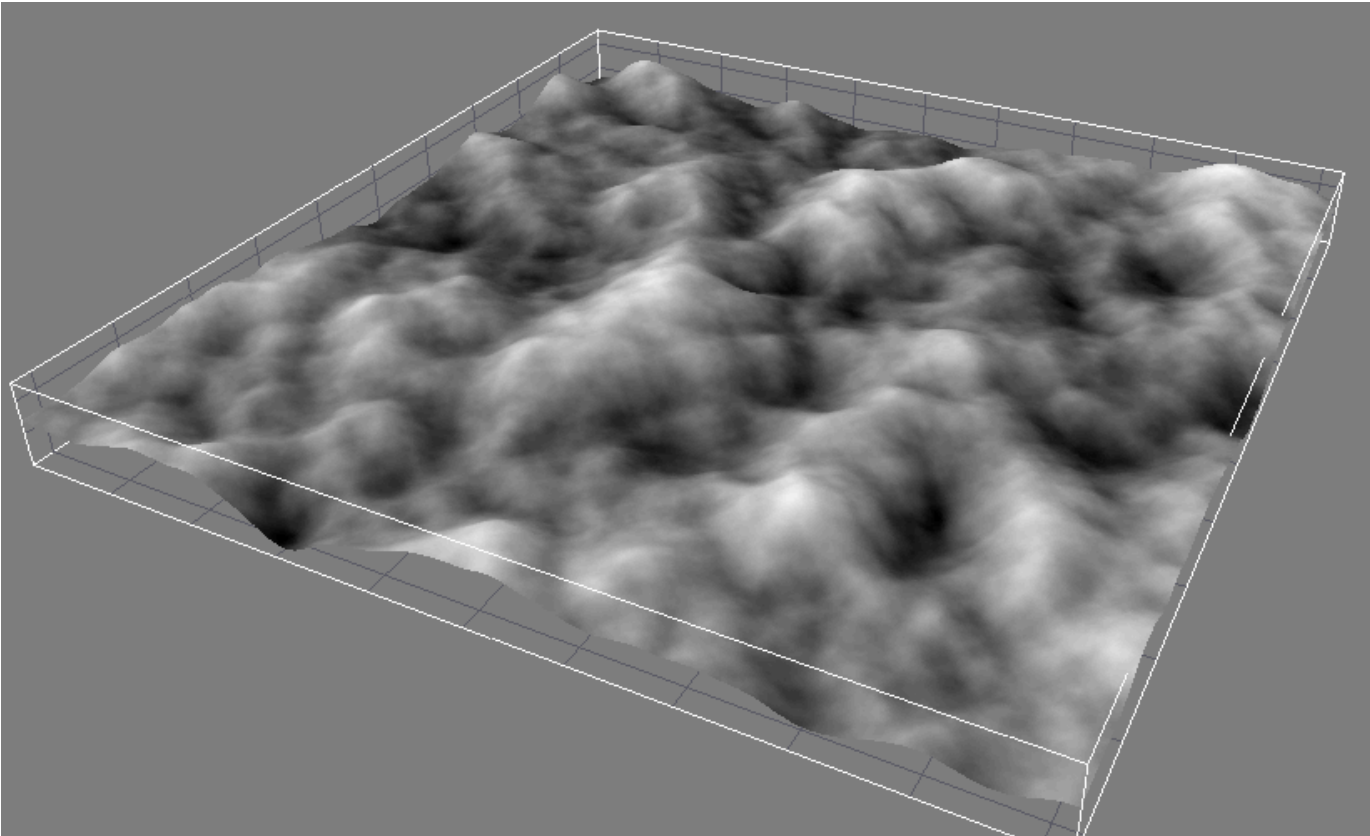
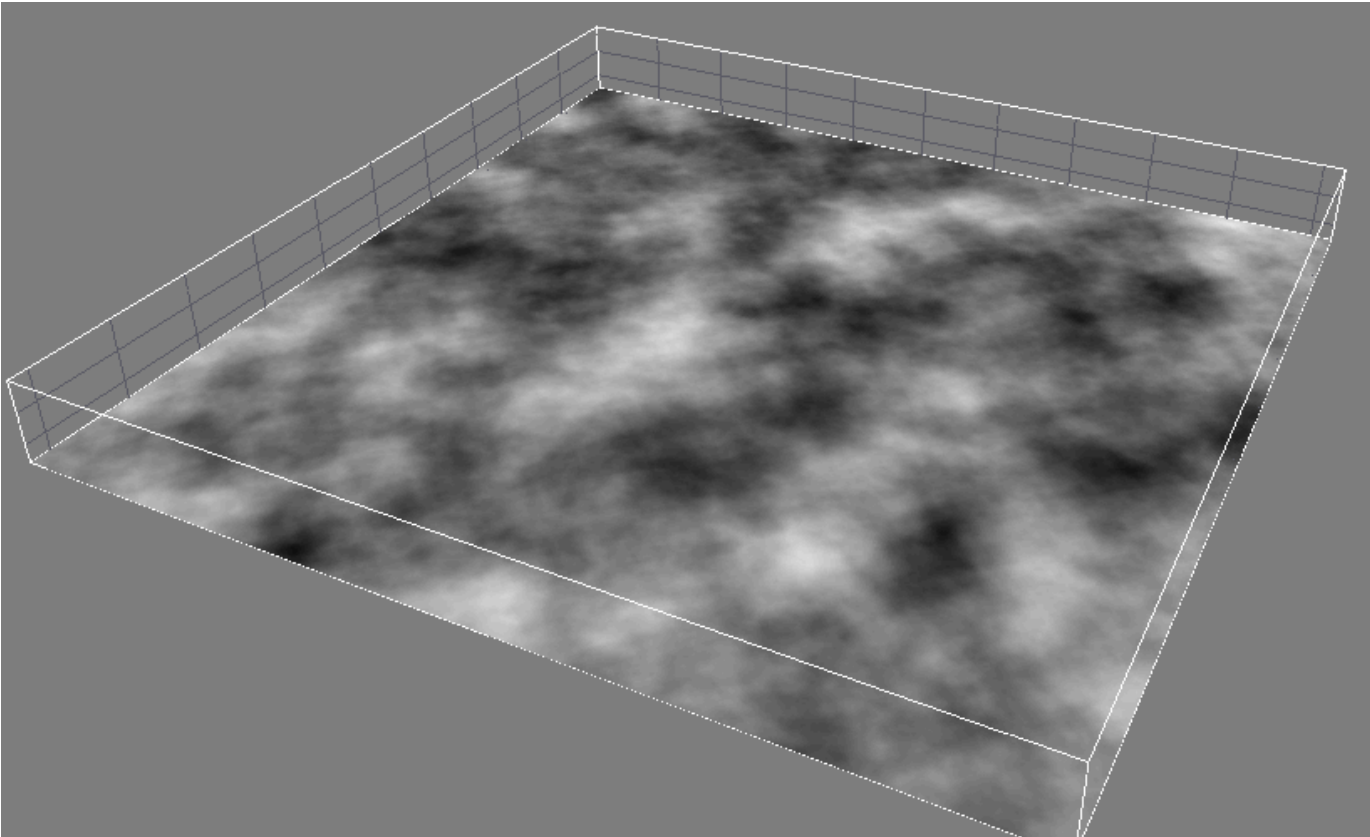
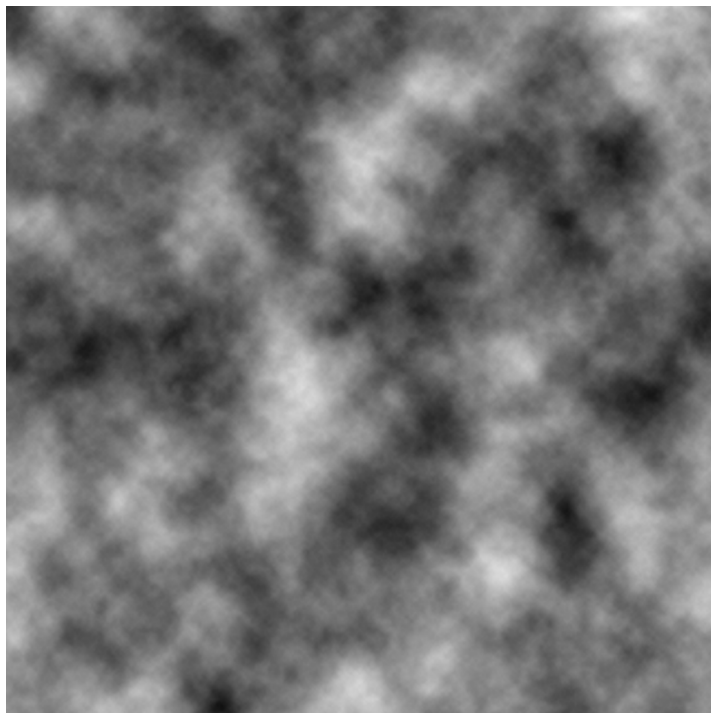
- Concrètement : une somme de fonctions de bruit (de Perlin souvent)
  - *masquer les aspects périodiques*
- fonctions de fréquences croissantes et d'amplitudes décroissantes
  - *fréquence basse, amplitude forte : forme globale*
  - *fréquence haute, amplitude faible : ajout de détails*

# Modélisation procédurale > fractional Brownian motion

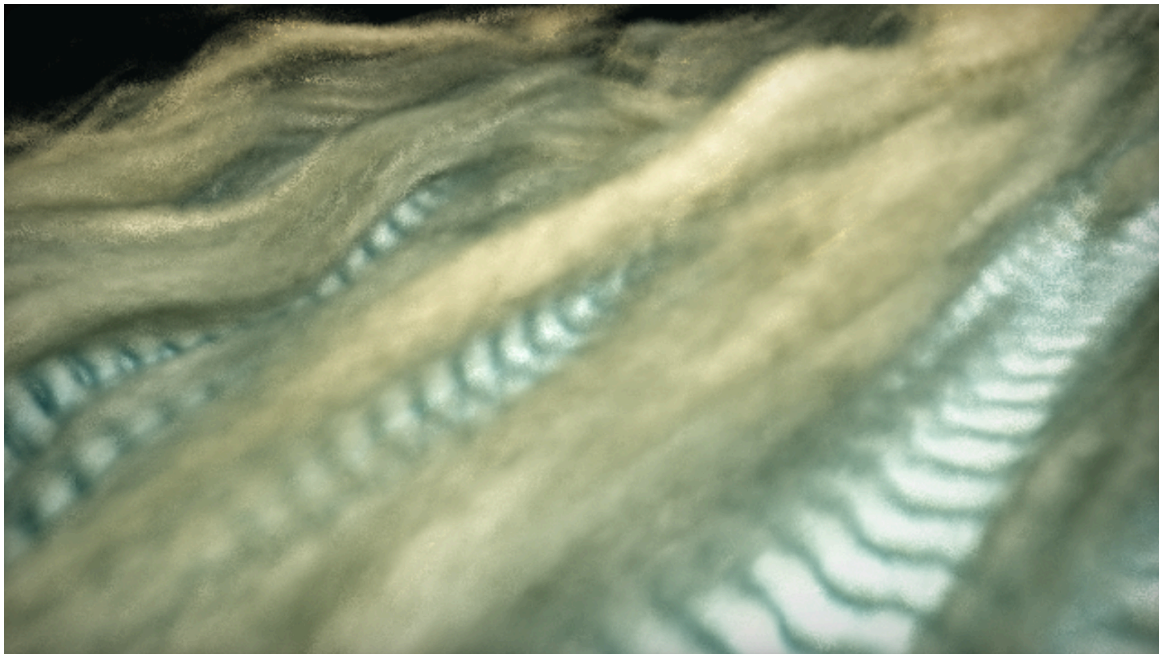
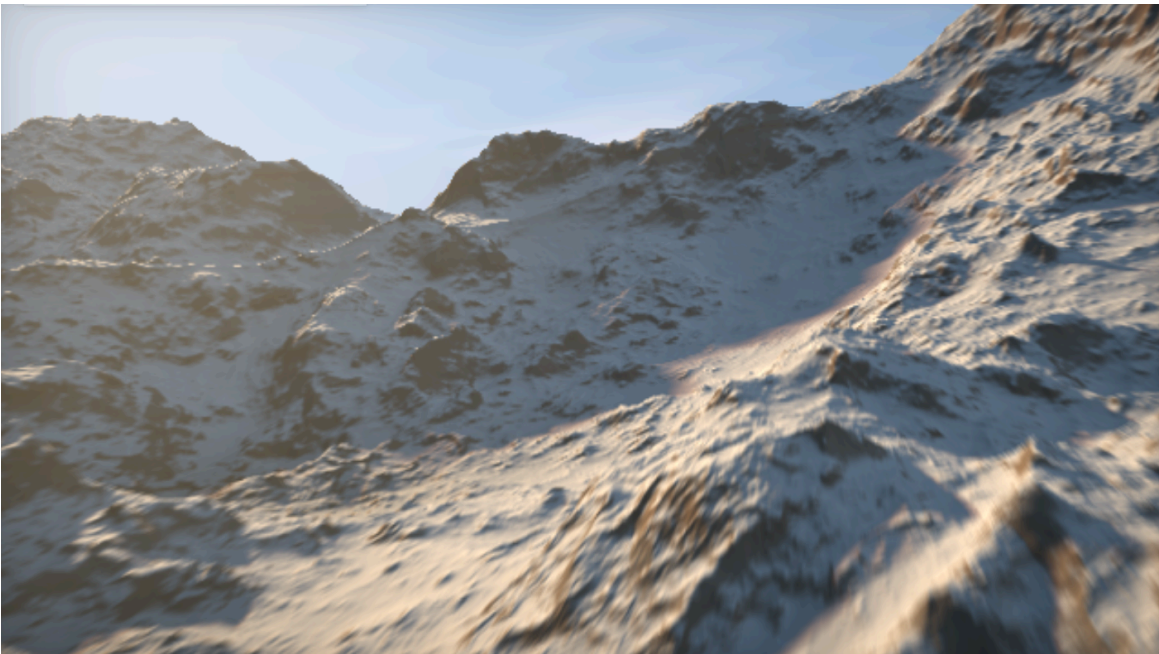




# Modélisation procédurale > fractional Brownian motion

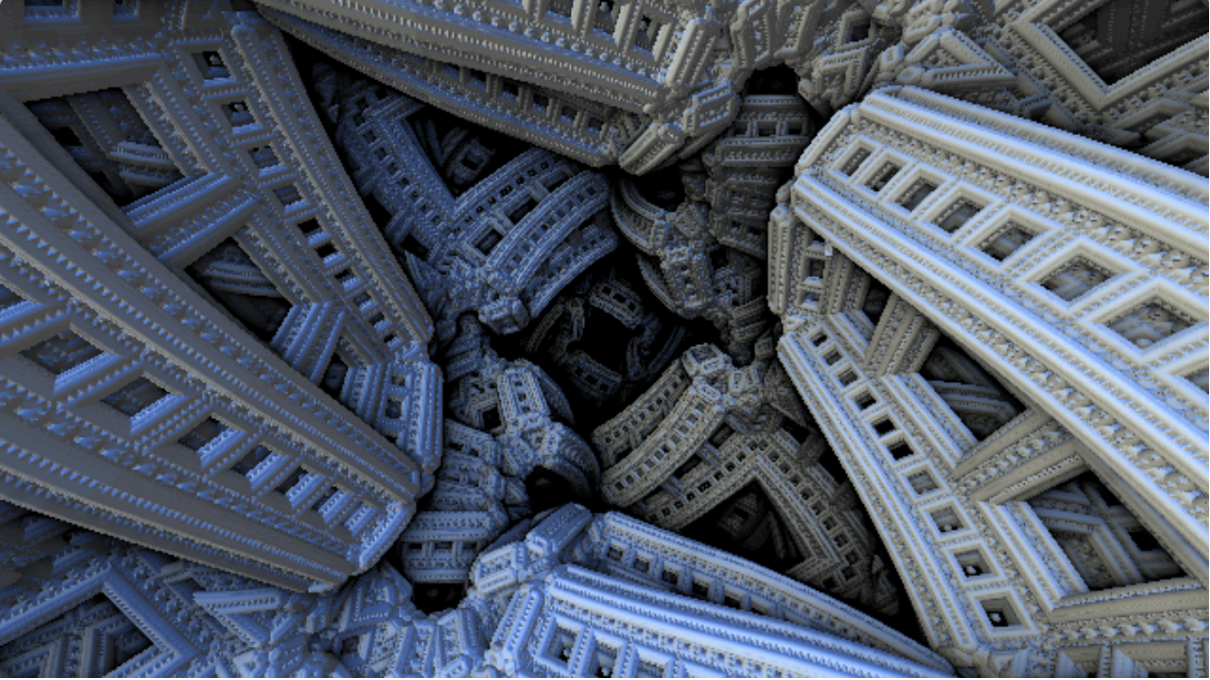
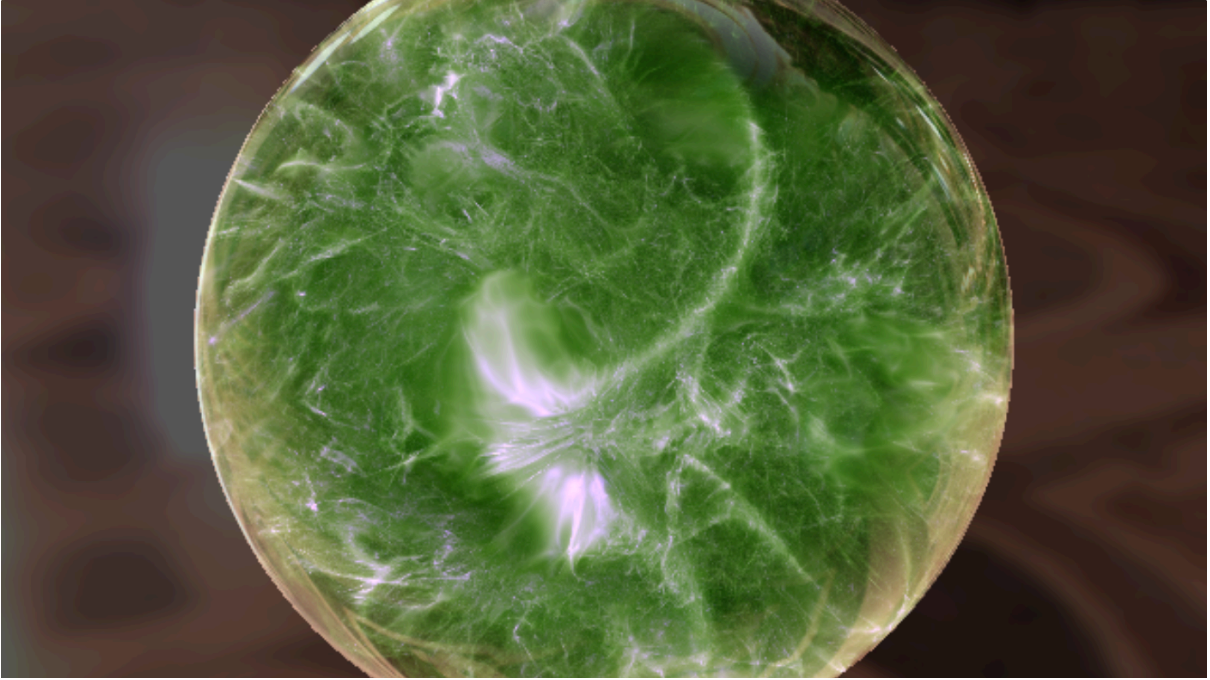
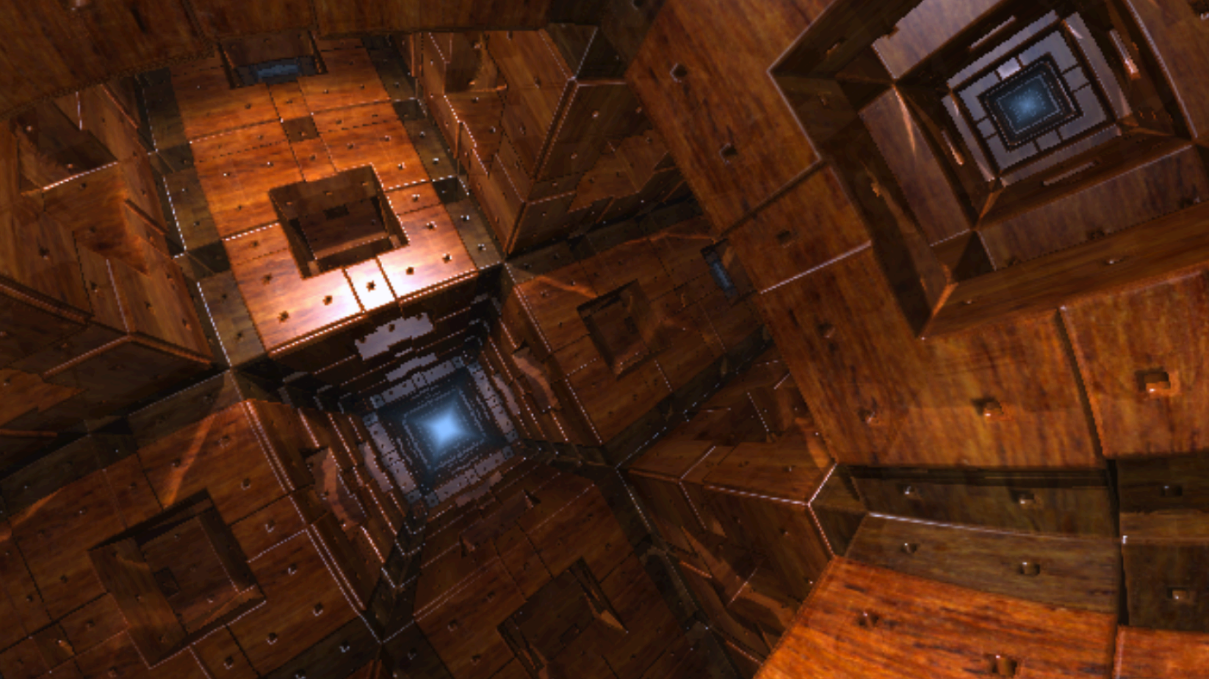
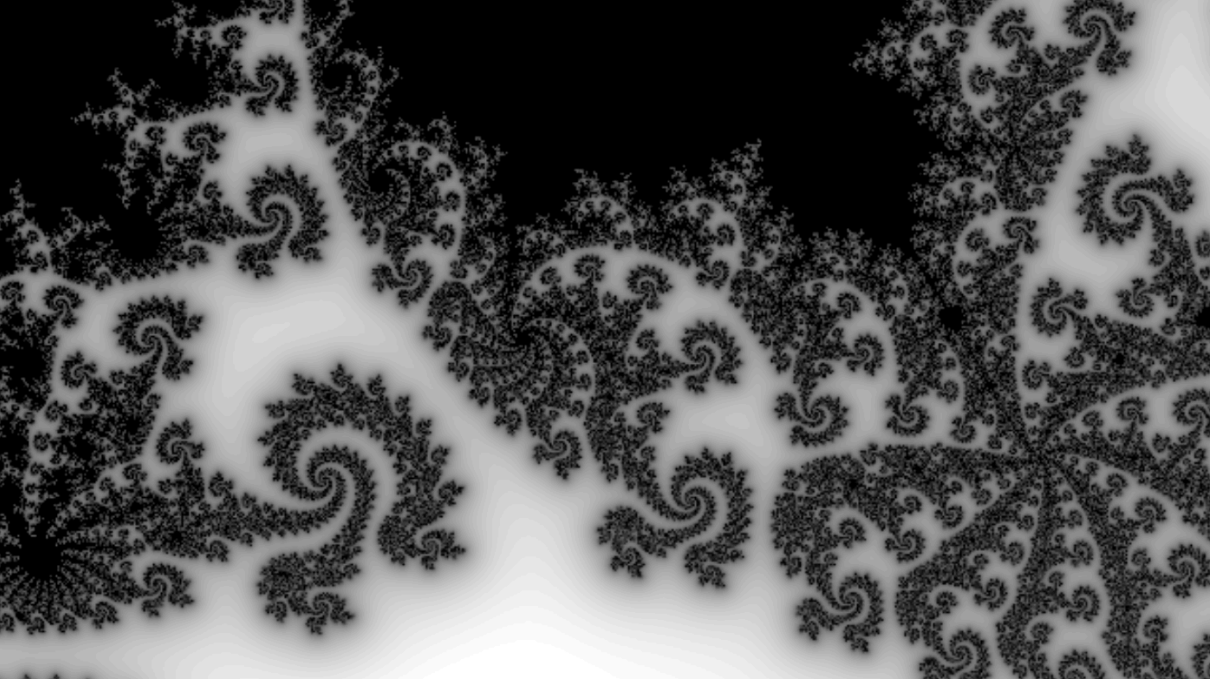


# Modélisation procédurale > fractional Brownian motion





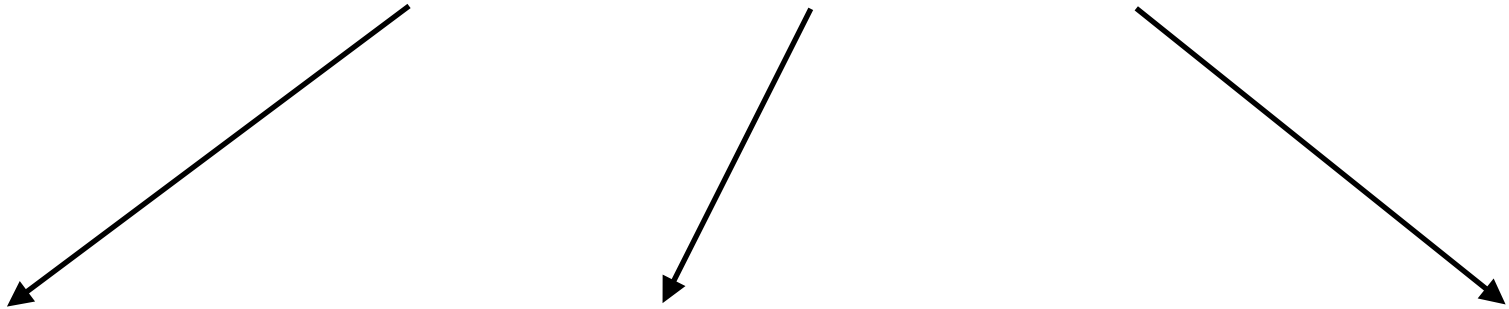
# Modélisation procédurale > bonus : les fractales





# Informatique Graphique > rendu

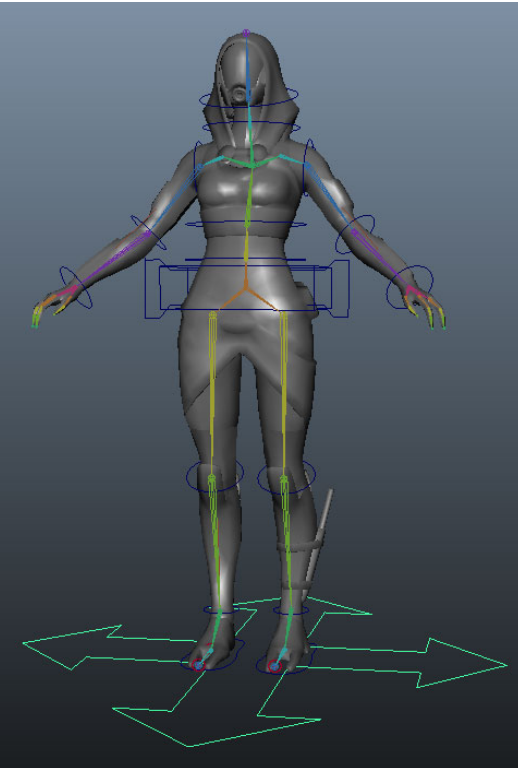
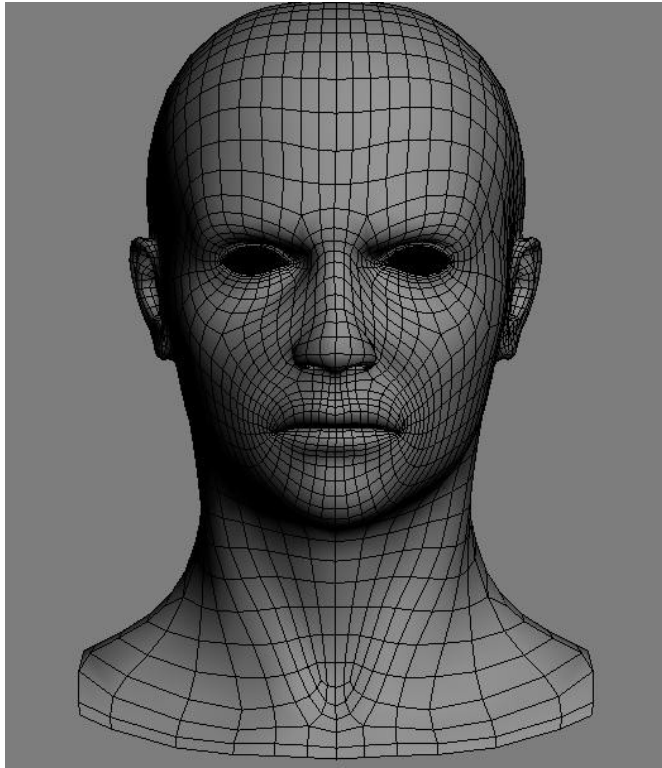
Informatique graphique



Modélisation

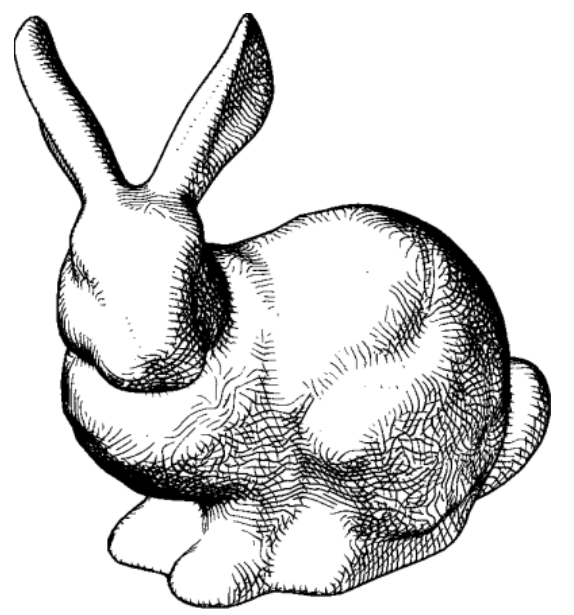
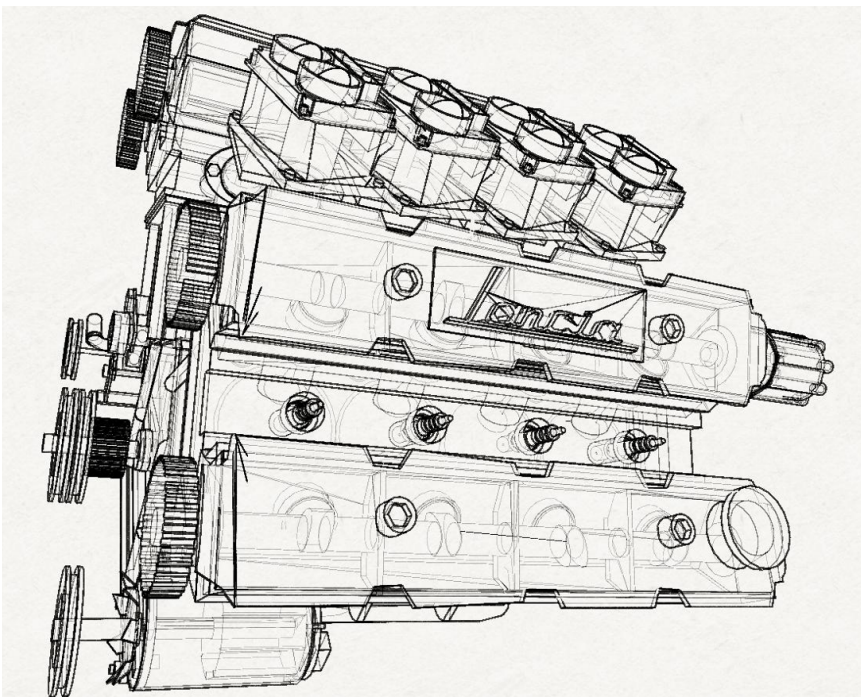
(Animation)

Rendu



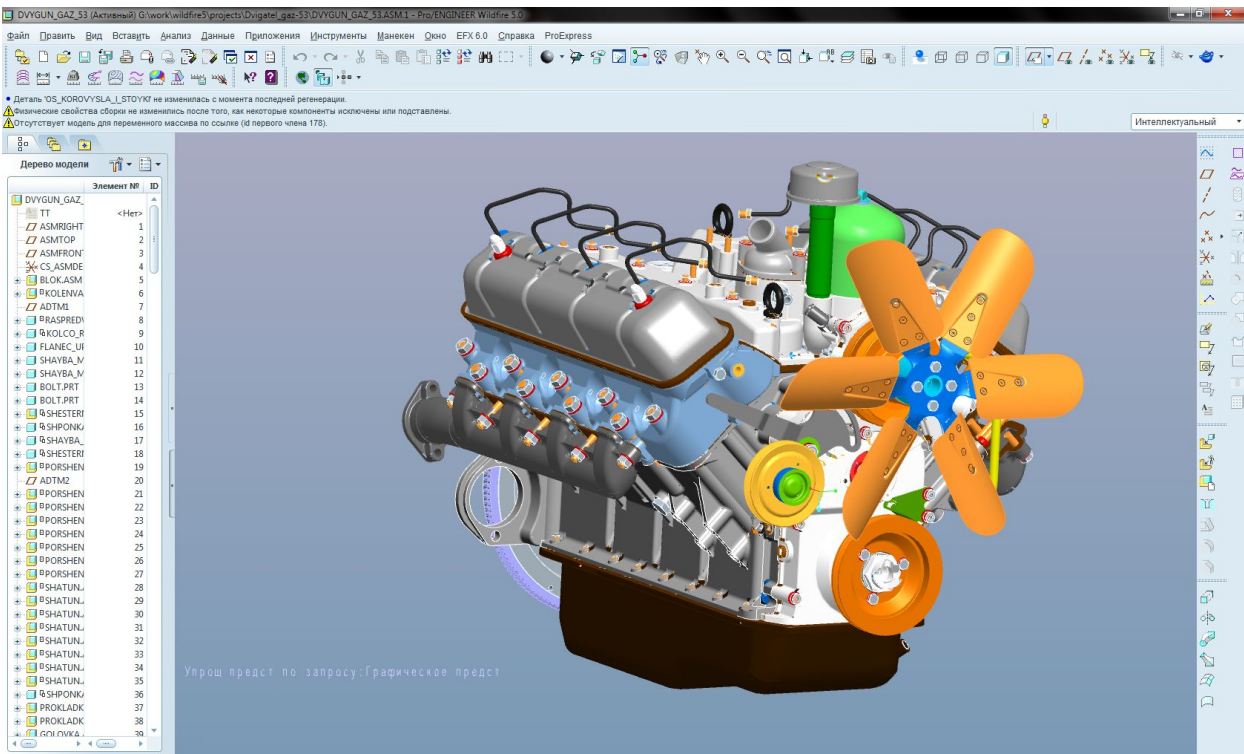


# Rendu > Non Photo-Réaliste (NPR)





# Rendu > Temps réel ( 60 images par seconde, 0.016s par image...)





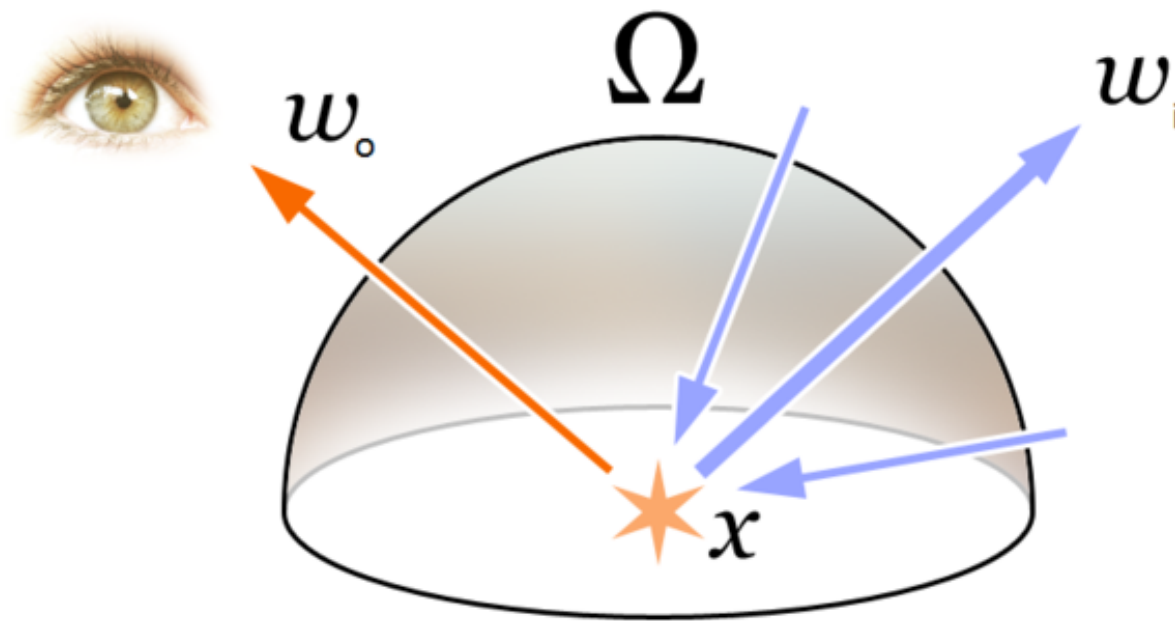
# Rendu > Réaliste (à base physique)





# Rendu réaliste > l'équation de rendu [Kajiya 1986]

- Un résultat inspiré de la thermique
- Décrit le comportement de la lumière dans un environnement 3D



outgoing/observed radiance

emitted radiance (e.g., light source)

angle between incoming direction and normal

incoming radiance

point of interest

direction of interest

all directions in hemisphere

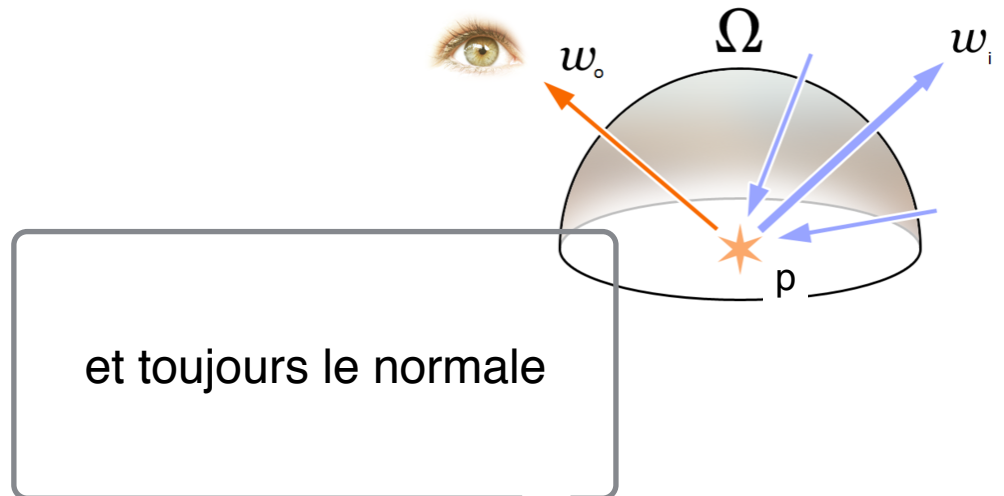
scattering function

incoming direction

$$L_o(\mathbf{p}, \omega_o) = L_e(\mathbf{p}, \omega_o) + \int_{\mathcal{H}^2} f_r(\mathbf{p}, \omega_i \rightarrow \omega_o) L_i(\mathbf{p}, \omega_i) \cos \theta d\omega_i$$

# Rendu réaliste > l'équation de rendu [Kajiya 1986]

0 si ce n'est pas une source



et toujours le normale

angle between incoming direction and normal

outgoing/observed radiance

emitted radiance (e.g., light source)

incoming radiance

incoming direction

point of interest

direction of interest

all directions in hemisphere

scattering function

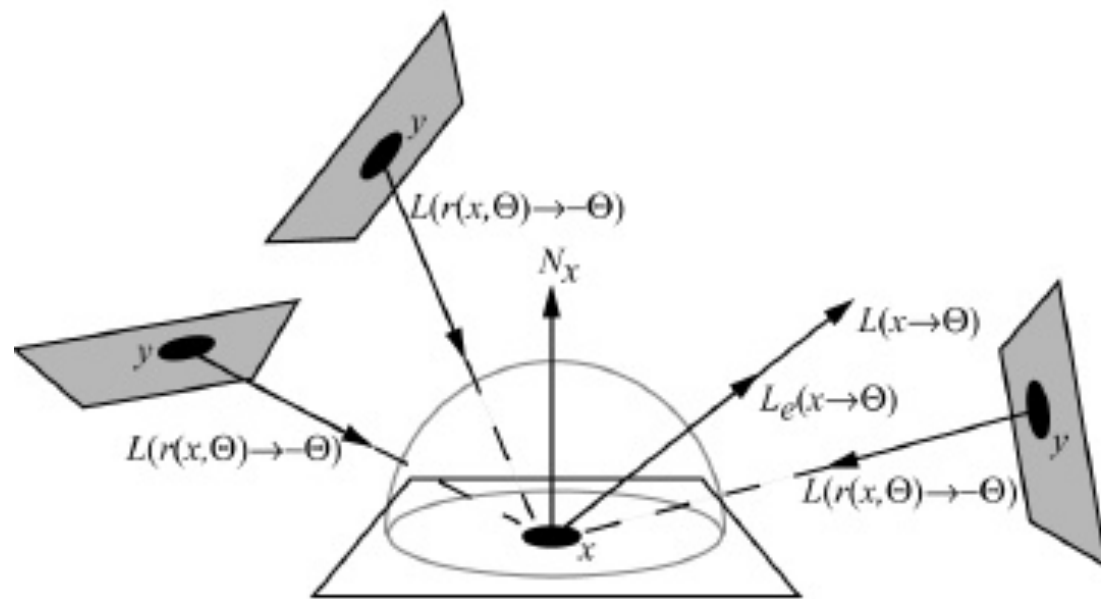
$$L_o(\mathbf{p}, \omega_o) = L_e(\mathbf{p}, \omega_o) + \int_{\mathcal{H}^2} f_r(\mathbf{p}, \omega_i \rightarrow \omega_o) L_i(\mathbf{p}, \omega_i) \cos \theta d\omega_i$$

BRDF : Bidirectional Reflectance Distribution Function

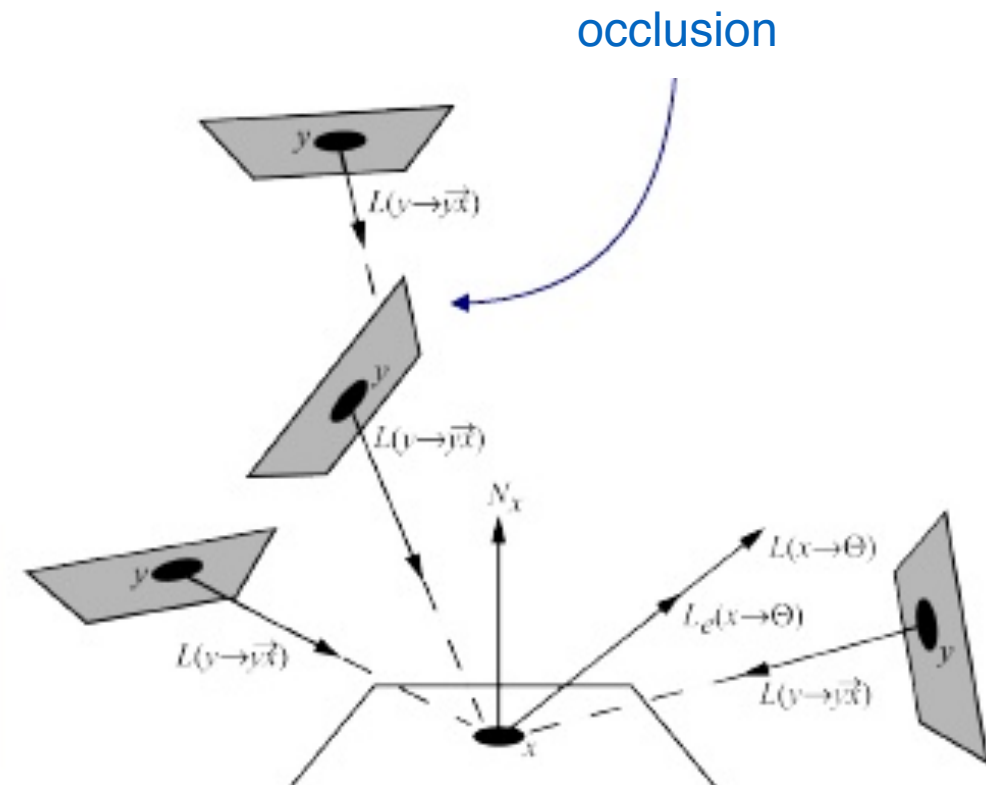
Equation récursive !

# Rendu réaliste > l'équation de rendu [Kajiya 1986]

Deux façons de voir la même chose :



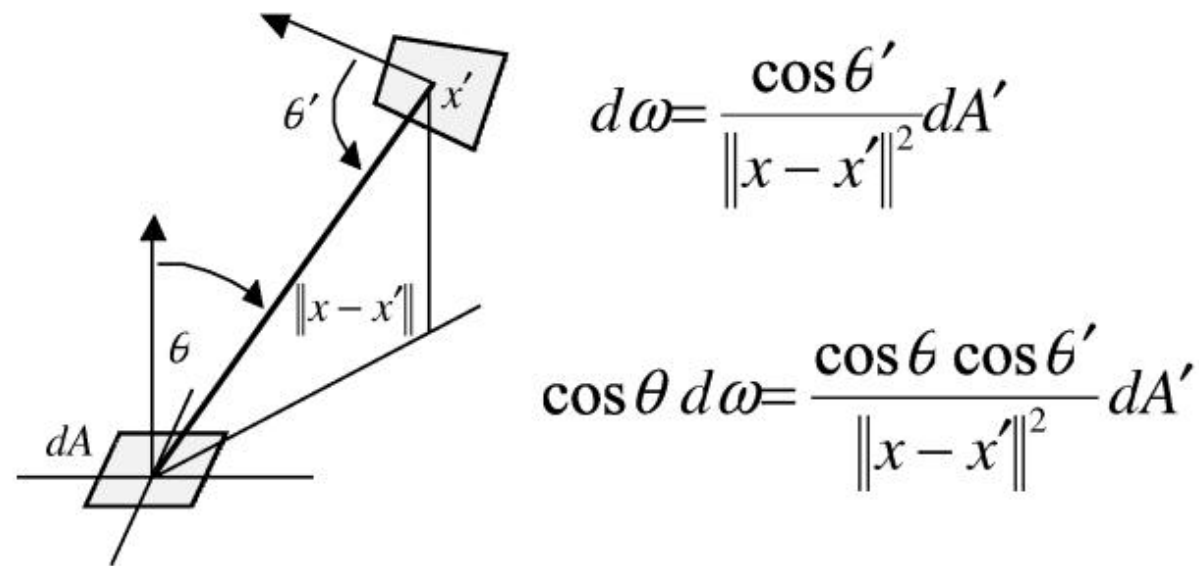
Intégration sur l'hémisphère



Intégration sur les surfaces



# Rendu réaliste > l'équation de rendu [Kajiya 1986]



$$d\omega = \frac{\cos \theta'}{\|x - x'\|^2} dA'$$

$$\cos \theta d\omega = \frac{\cos \theta \cos \theta'}{\|x - x'\|^2} dA'$$

$$L_o(x, \omega_o) = L_e(x, \omega_o) + \int_{M^2} f_r(x, \omega_i(x - x') \rightarrow \omega_o) G(x, x') L_o(x', \omega'_o(x - x')) dA'$$

**Integrate over  
All surfaces**



**Geometry term**

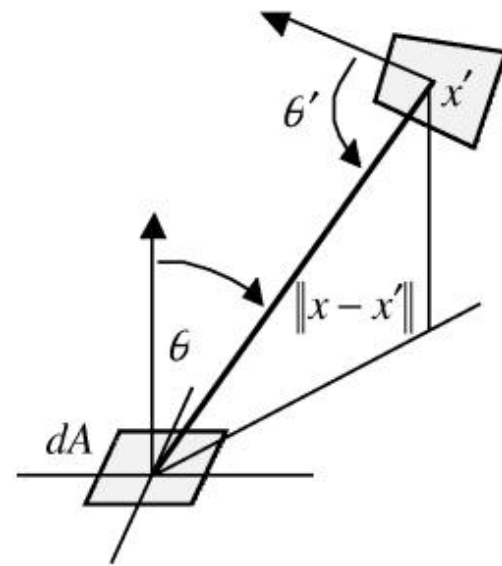
$$G(x, x') = \frac{\cos \theta_i \cos \theta'_o}{\|x - x'\|^2} V(x, x')$$



**Visibility term**

$$V(x, x') = \begin{cases} 1 & \text{visible} \\ 0 & \text{not visible} \end{cases}$$

# Rendu réaliste > l'équation de rendu [Kajiya 1986]



$$d\omega = \frac{\cos \theta'}{\|x - x'\|^2} dA'$$

$$\cos \theta d\omega = \frac{\cos \theta \cos \theta'}{\|x - x'\|^2} dA'$$

$$L_o(x, \omega_o) = L_e(x, \omega_o) + \int_{M^2} f_r(x, \omega_i(x - x') \rightarrow \omega_o) G(x, x') L_o(x', \omega'_o(x - x')) dA'$$

**Integrate over  
All surfaces**



**Geometry term**

$$G(x, x') = \frac{\cos \theta_i \cos \theta'_o}{\|x - x'\|^2} V(x, x')$$

$$V(x, x') = \begin{cases} 1 & \text{visible} \\ 0 & \text{not visible} \end{cases}$$



**Visibility term**

# Rendu réaliste > résoudre l'équation de rendu

---

## Les algorithmes d'illumination globale

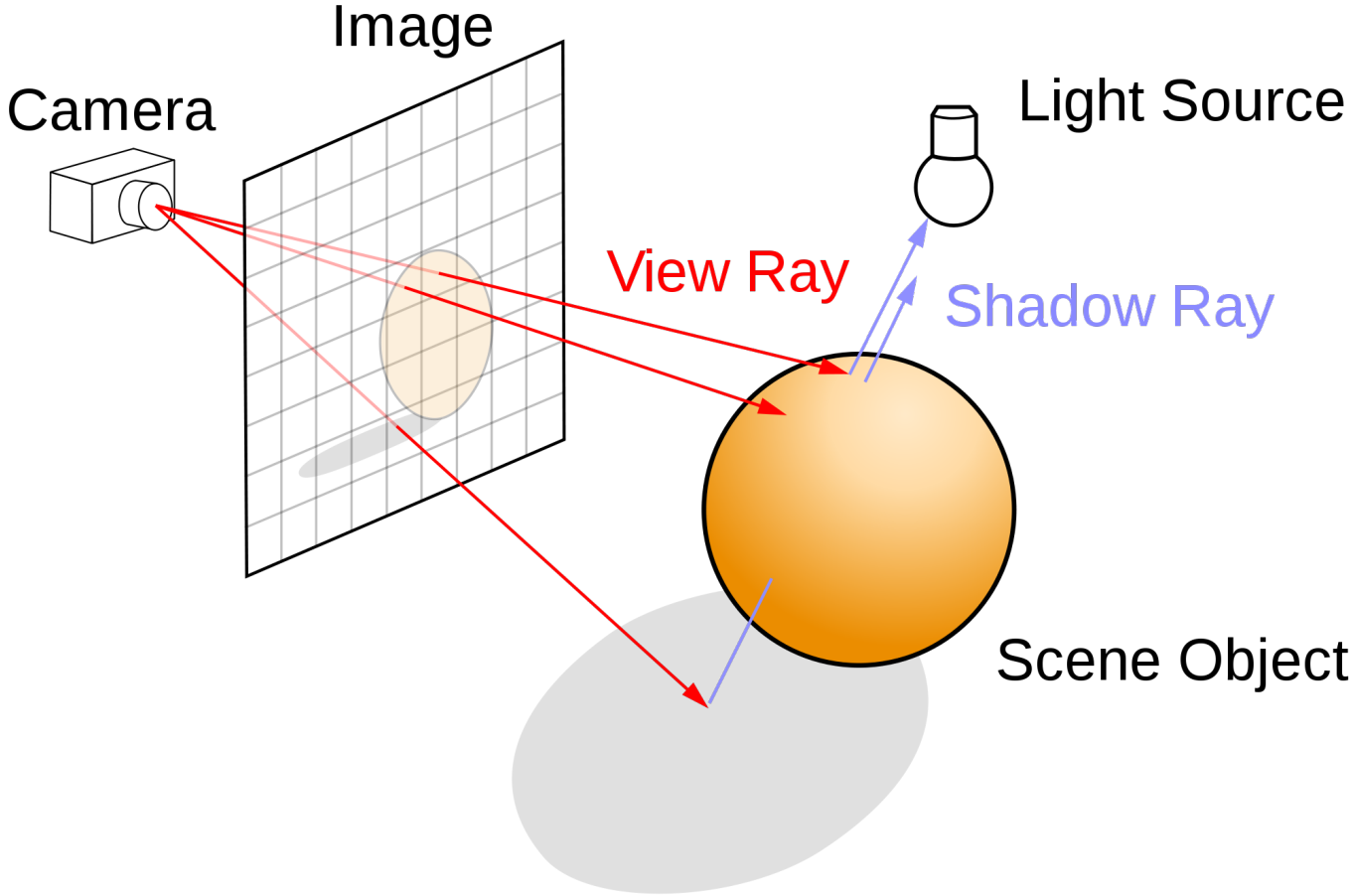
Algorithmes basés **éléments finis** (subdivision de la géométrie en patches)

- Exemple : Radiosité

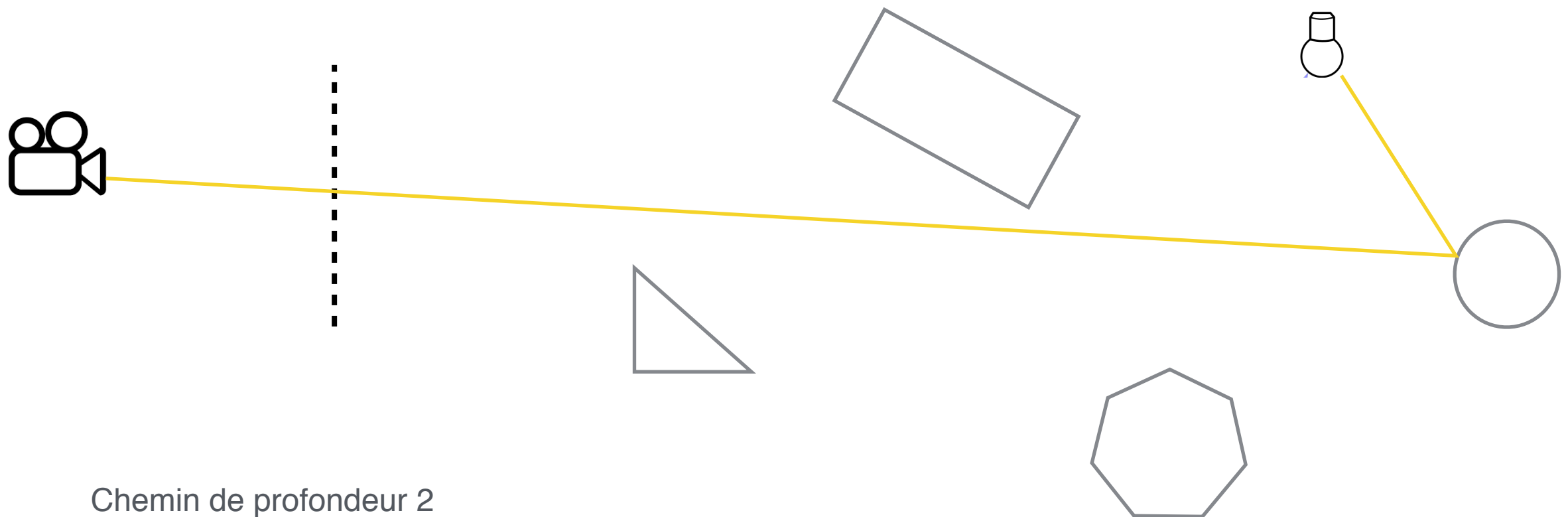
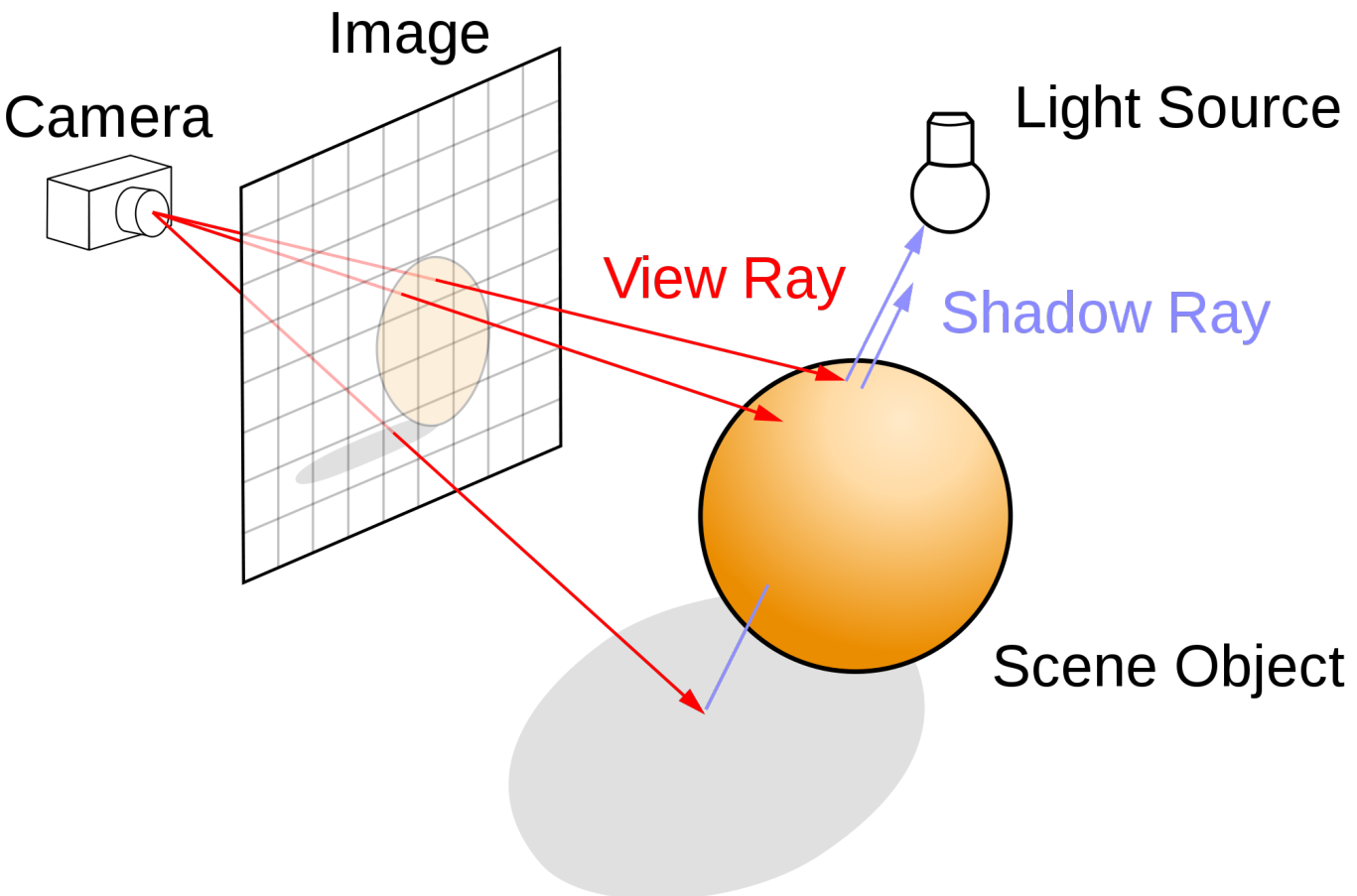
Algorithme basé **Monte Carlo**, échantillonnage et transformation de l'intégrale en somme de contributions point à point

- Exemples biaisés : Photon Mapping
- Exemples non biaisés : Path Tracing, Bidirectional Path Tracing, Metropolis Light Transport

# Rendu réaliste > résoudre l'équation de rendu



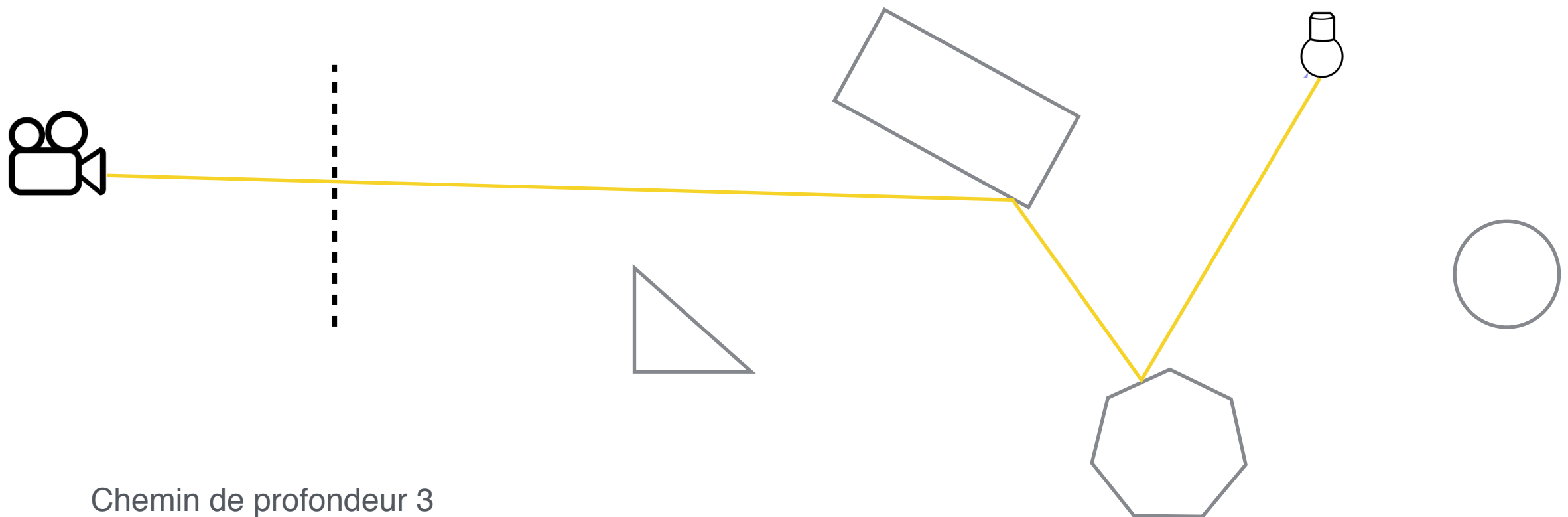
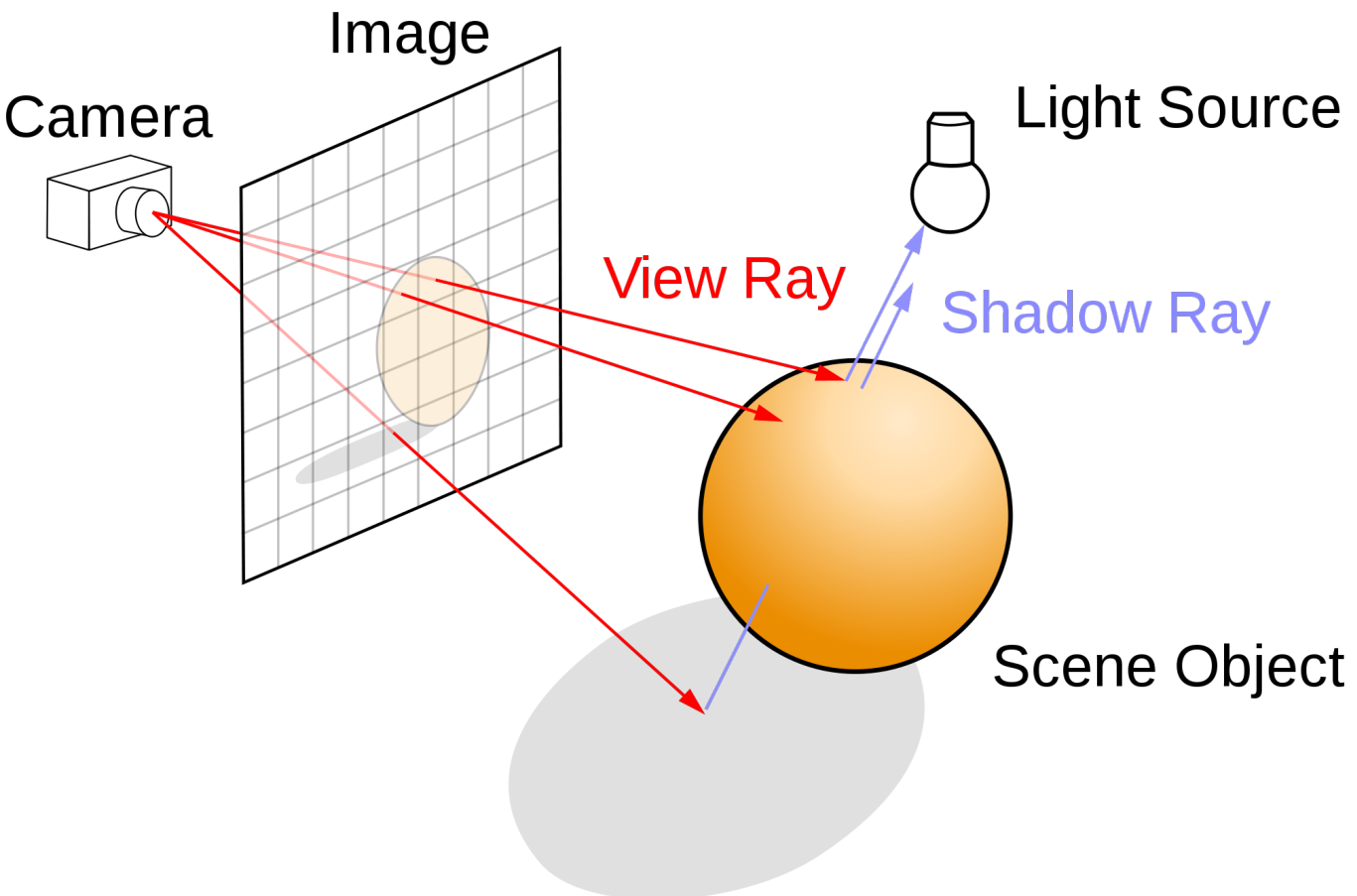
# Rendu réaliste > résoudre l'équation de rendu



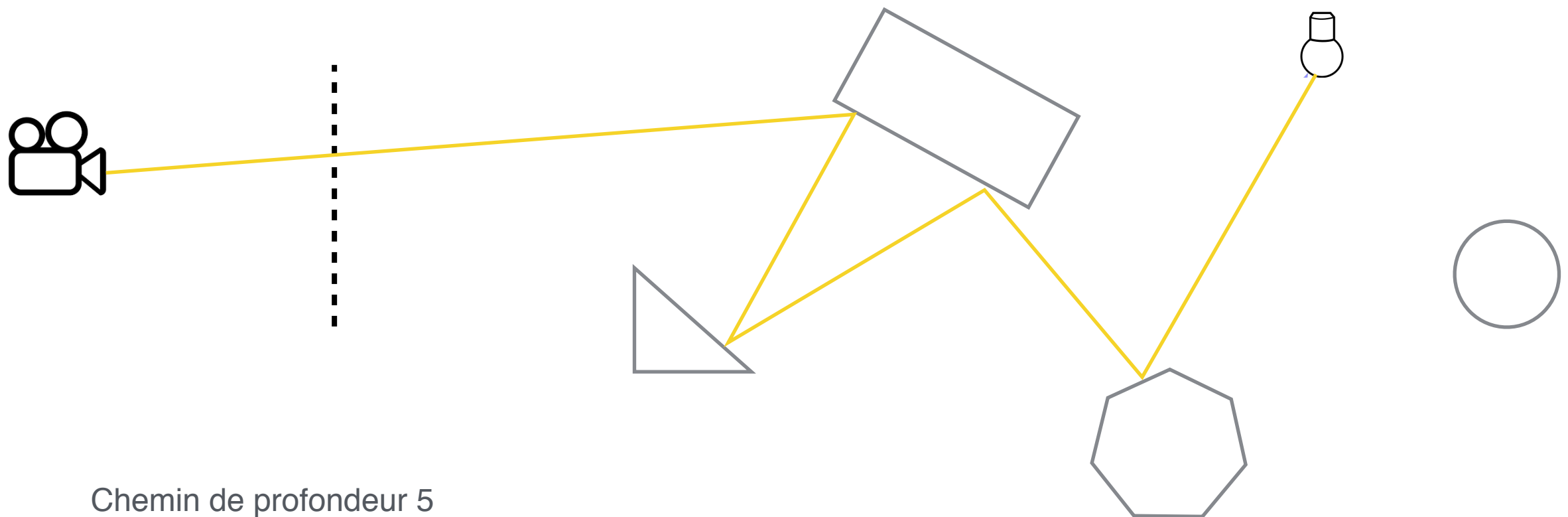
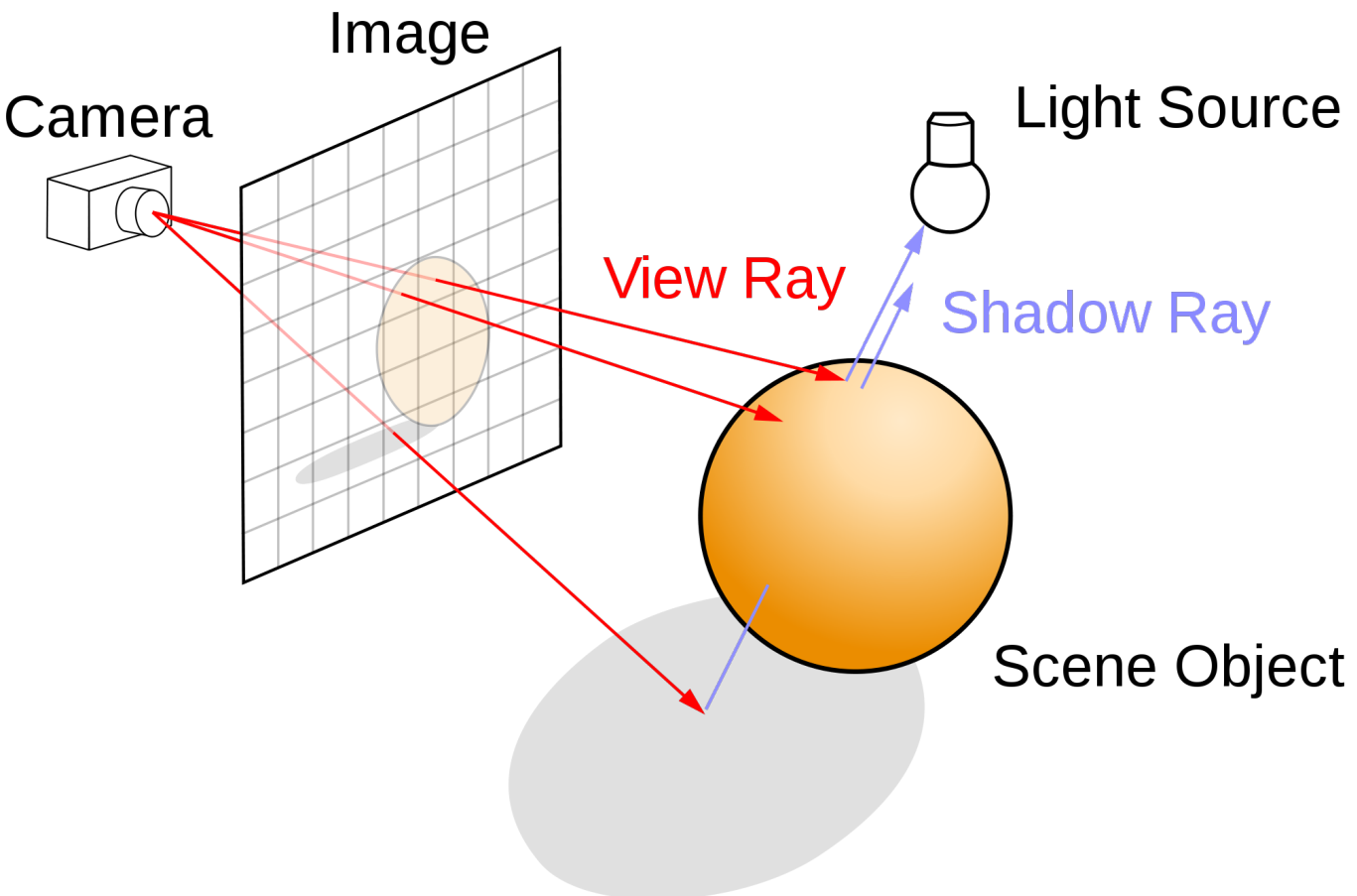
Chemin de profondeur 2



# Rendu réaliste > résoudre l'équation de rendu



# Rendu réaliste > résoudre l'équation de rendu



Chemin de profondeur 5

# Rendu réaliste > résoudre l'équation de rendu

---

- Il faut beaucoup d'échantillons (de chemins) pour que la somme converge vers l'intégrale
- Certains phénomènes (réflexions spéculaires, caustiques...) sont plus difficiles à échantillonner.
- Beaucoup de travaux d'un point de vue statistique et probabiliste pour améliorer les stratégies d'échantillonnage et donc la convergence du résultat
- Un sous-échantillonnage engendre du bruit dans l'image

Démo (Mitsuba)



# Rendu réaliste > tout vient à point à qui sait attendre (longtemps)

$$L_o(x, \omega_o) = L_e(x, \omega_o) + \int_{M^2} f_r(x, \omega_i(x-x') \rightarrow \omega_o) G(x, x') L_o(x', \omega'_o(x-x')) dA'$$

**Integrate over  
All surfaces**



**Geometry term**

$$G(x, x') = \frac{\cos \theta_i \cos \theta'_o}{\|x - x'\|^2} V(x, x')$$

$$V(x, x') = \begin{cases} 1 & \text{visible} \\ 0 & \text{not visible} \end{cases}$$

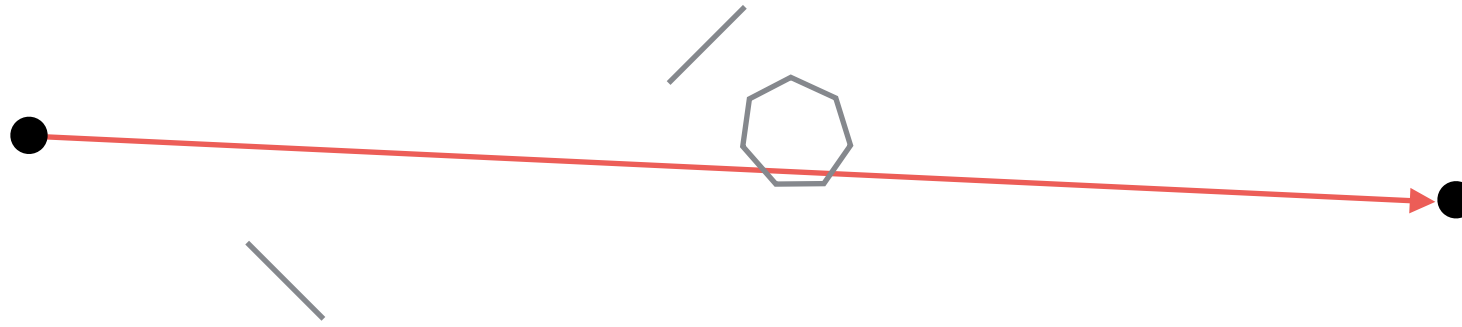


**Visibility term**

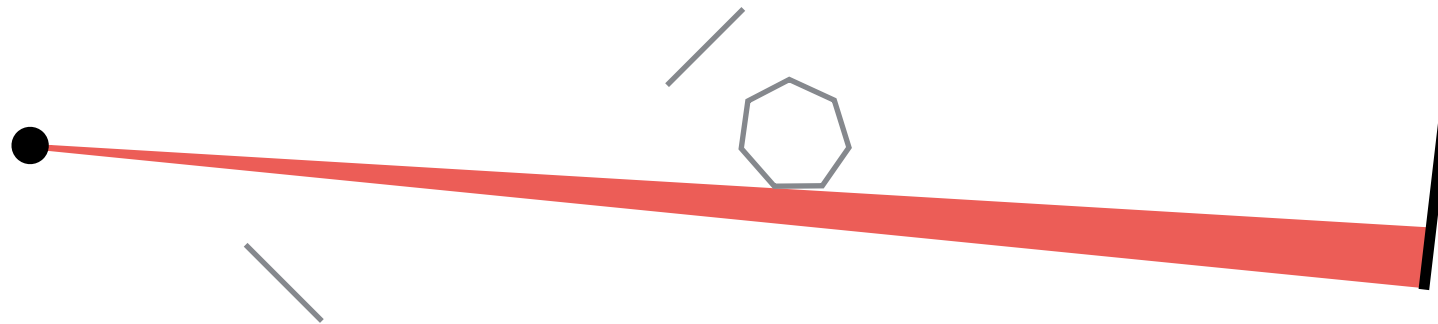
- plus de 90% des temps de calculs sont imputables au terme V...
- le Graal : faire du rendu réaliste en temps réel (0.016s par image...) [Brigade \(youtube\)](#)

# Visibilité > un enjeu, plusieurs niveaux de complexité

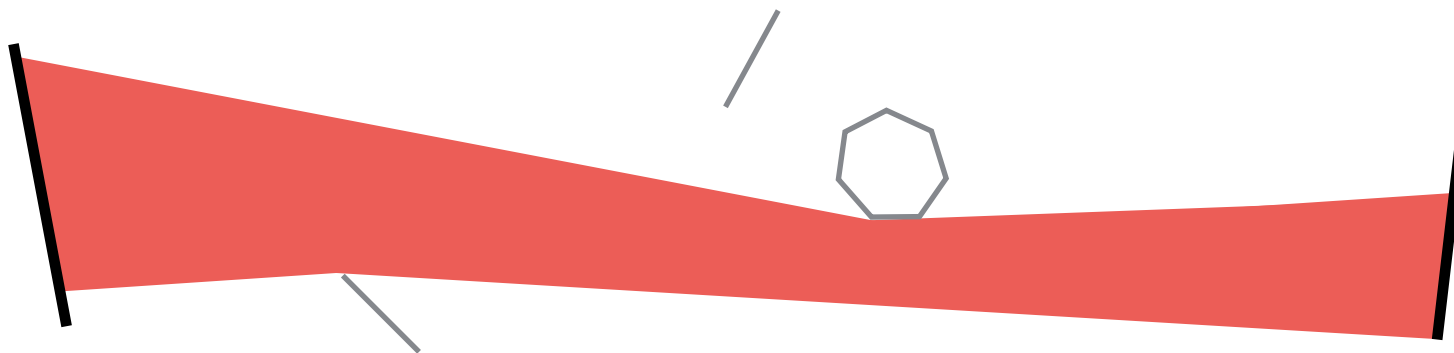
- visibilité point à point (le long d'un segment de droite)



- visibilité point à segment/polygone (ou depuis un point)



- visibilité segment à segment ou polygone à polygone

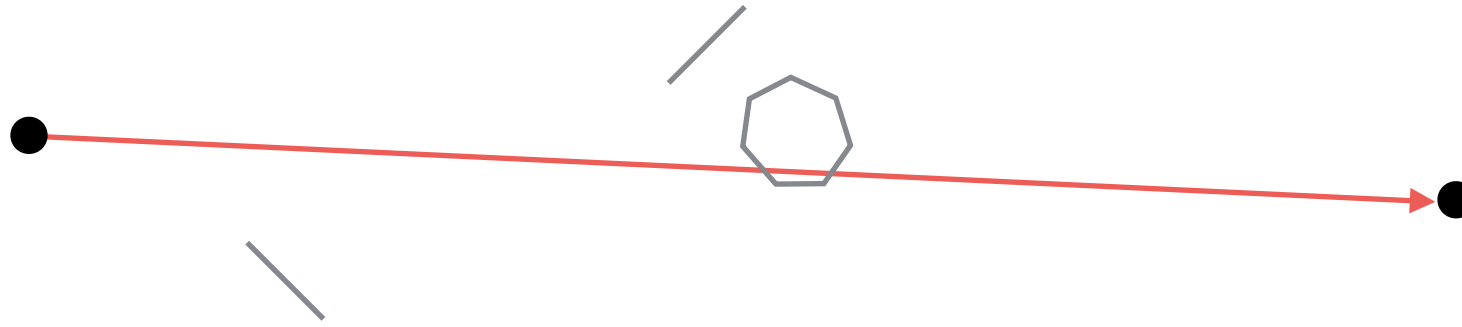


# Visibilité > un enjeu, plusieurs niveaux de complexité

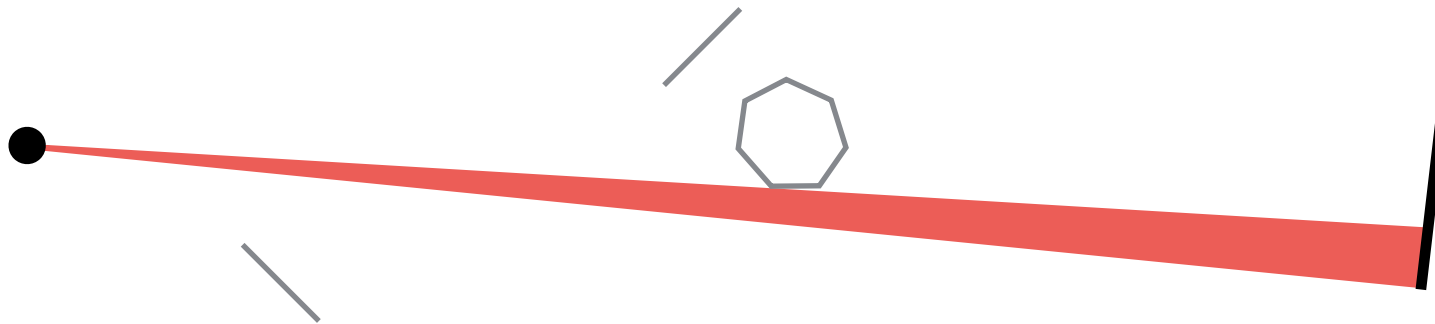
- visibilité point à point (le long d'un segment de droite)

2D

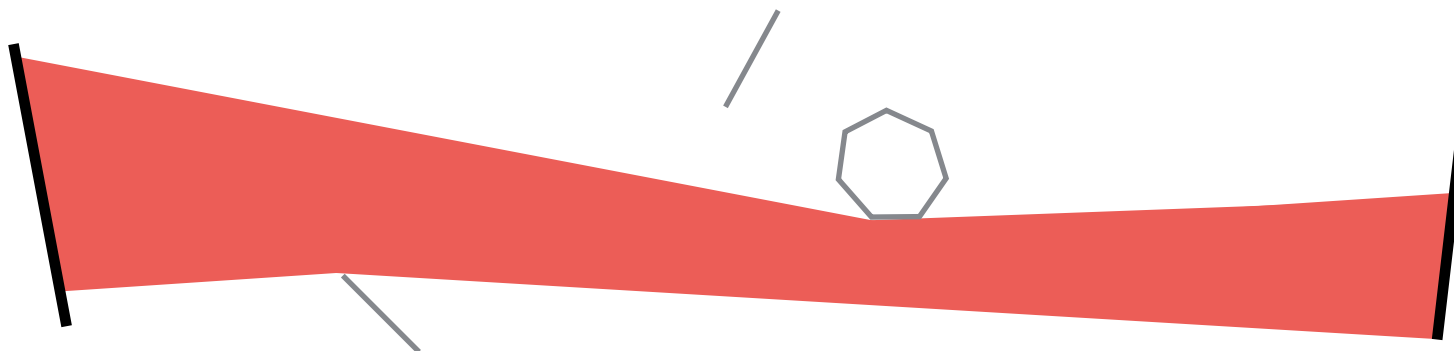
3D



- visibilité point à segment/polygone (ou depuis un point)



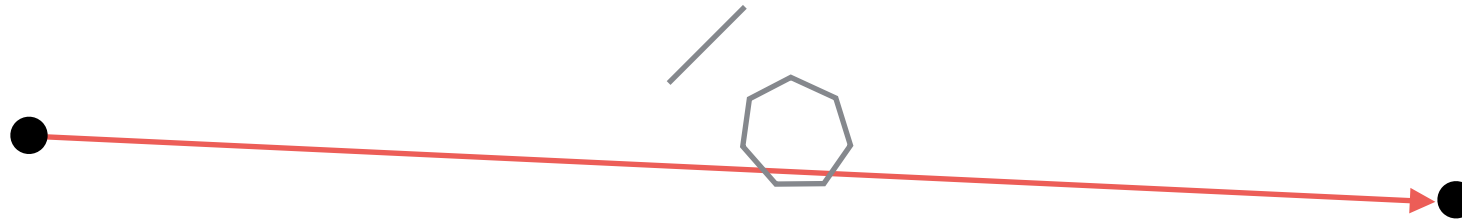
- visibilité segment à segment ou polygone à polygone





# Visibilité > un enjeu, plusieurs niveaux de complexité

- visibilité point à point (le long d'un segment de droite)



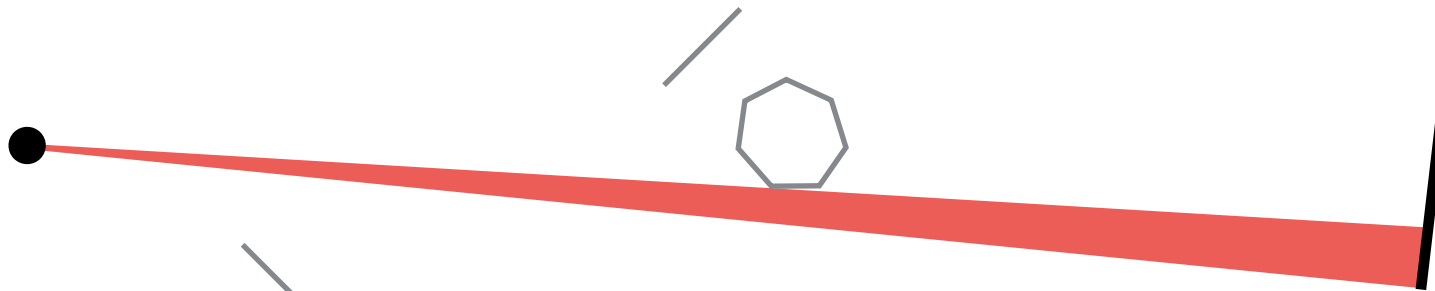
2D

3D

0D

0D

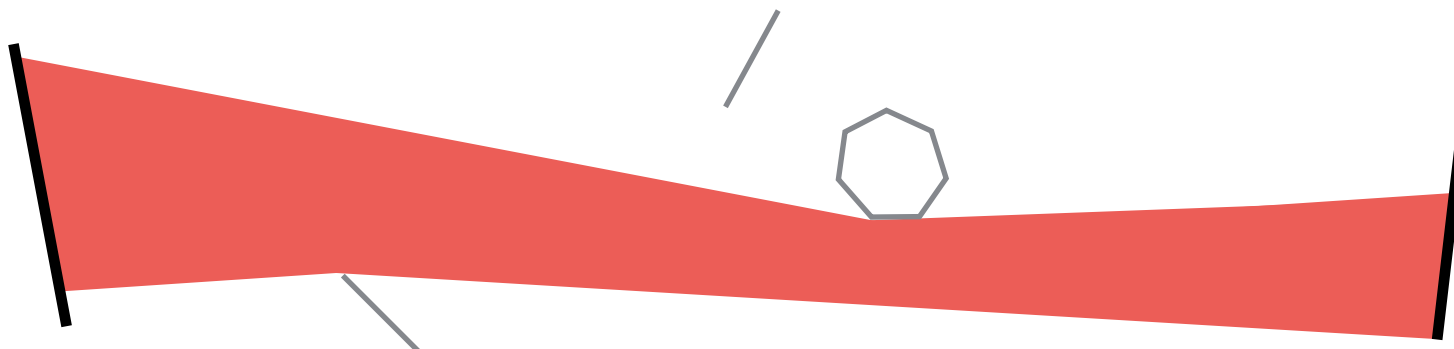
- visibilité point à segment/polygone (ou depuis un point)



1D

2D

- visibilité segment à segment ou polygone à polygone

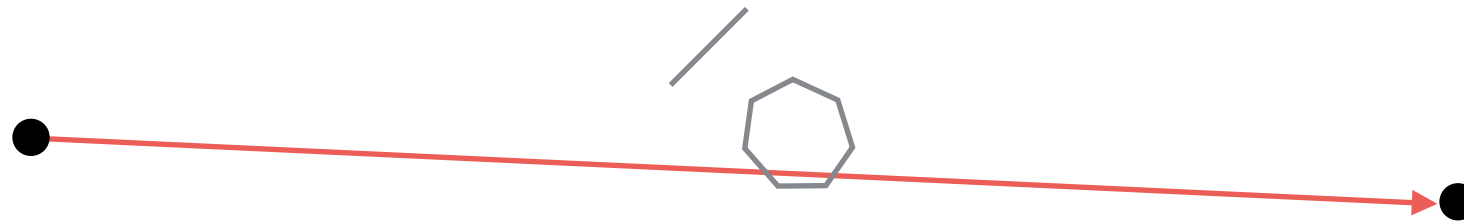


2D

4D

# Visibilité > un enjeu, plusieurs niveaux de complexité

- visibilité point à point (le long d'un segment de droite)



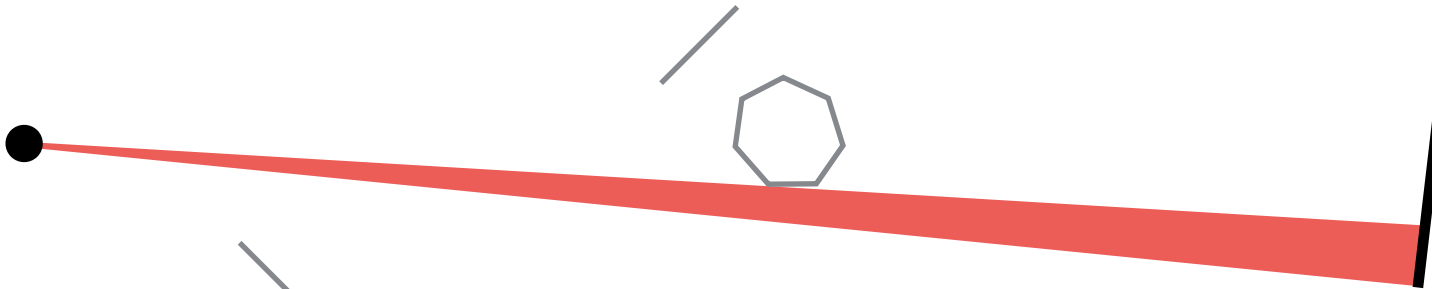
2D

3D

0D

0D

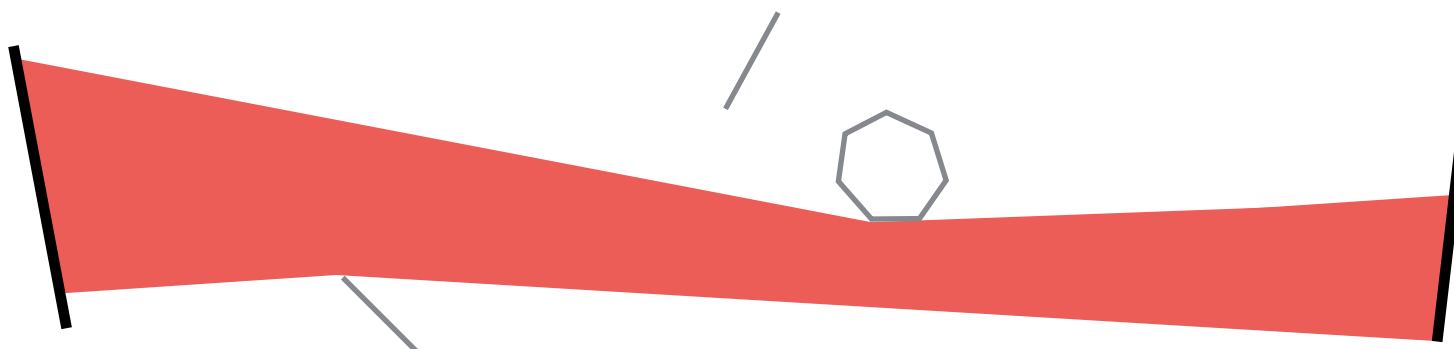
- visibilité point à segment/polygone (ou depuis un point)



1D

2D

- visibilité segment à segment ou polygone à polygone



2D

4D



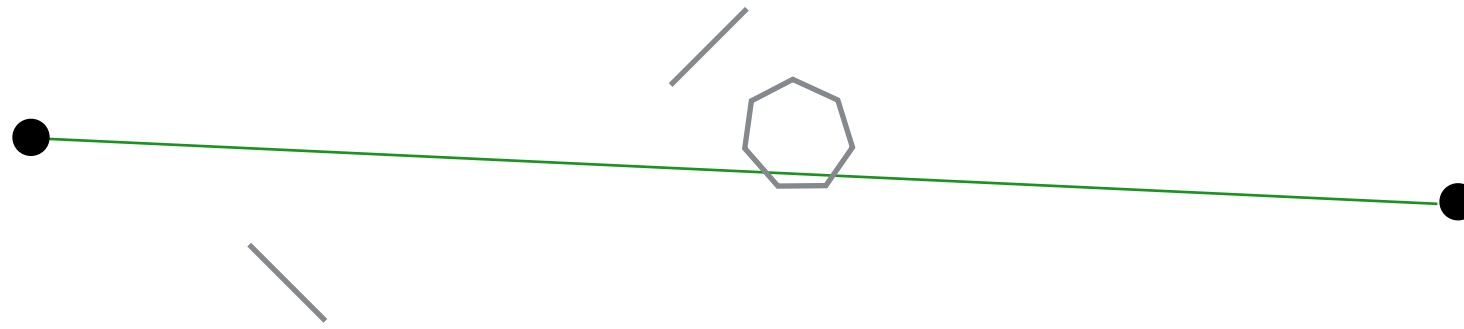
# Visibilité > un enjeu, plusieurs niveaux de complexité

---

- La complexité d'un problème de visibilité peut s'apprécier à la dimension de l'ensemble de droites sous-jacent
- En 3D, il existe un saut de complexité lorsqu'on passe de la visibilité depuis un point à la visibilité depuis une surface
- Appréhender un problème 4D par nature... pas forcément intuitif

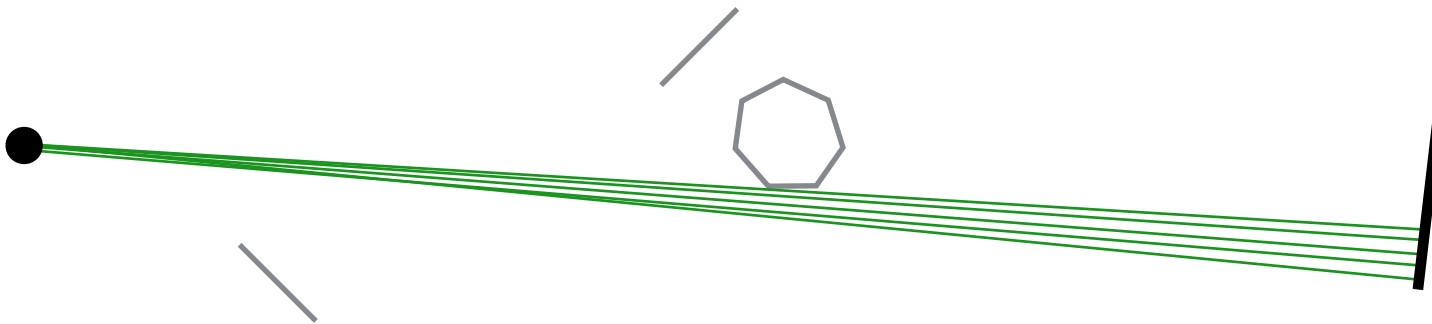
# Visibilité > solution (?) à tout faire : sampling

- visibilité point à point (le long d'un segment de droite)



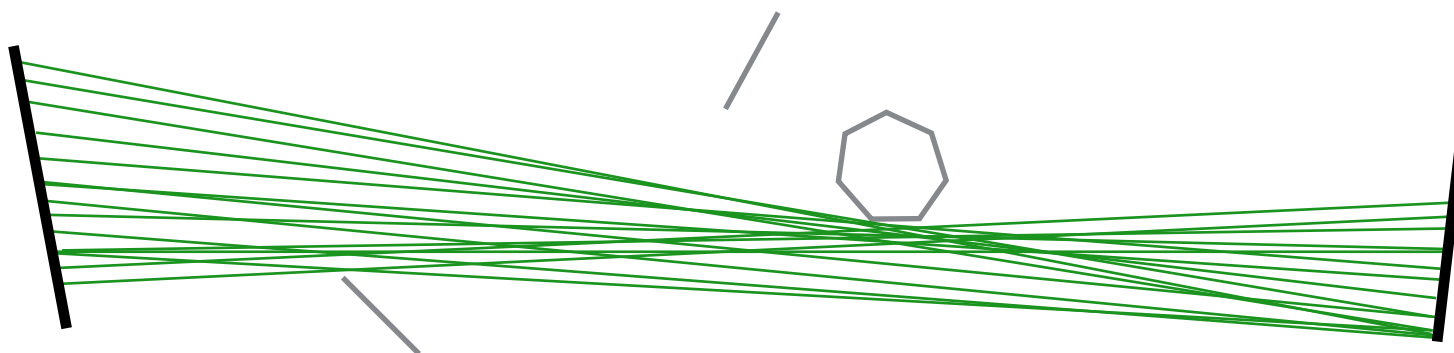
0D

- visibilité point à polygone (ou depuis un point)



2D

- visibilité polygone à polygone



4D





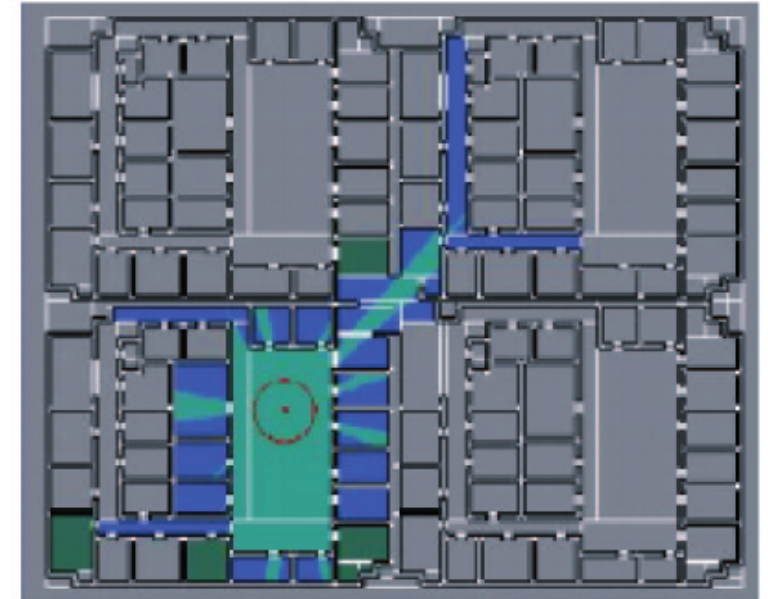
# Visibilité > solution (?) à tout faire : sampling

---

- Principe de base : linéariser un problème complexe
  - ici échantillonner un ensemble 4D en n problèmes 0D
- Mais, n'est pas forcément synonyme de rapidité
  - cf, la démo Mitsuba et les méthodes de rendu basées Monte Carlo
- Mais, introduit la problématique du sous-échantillonnage (bruit)
- N'est pas une solution à tout faire, ne peut résoudre certains problèmes
  - échantillonner à coups de rayons/droites, c'est explorer une pièce noire avec un pointeur laser

# Visibilité > limites du sampling

- Example : prouver que deux polygones sont visibles, ou invisibles
  - combien d'échantillons par garantir une réponse ? Une infinité...
  - Application pratique : Potentially Visible Sets

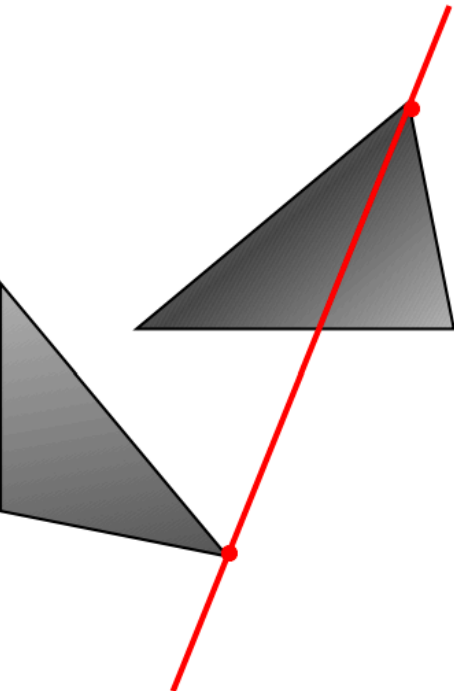


- Example : est-ce que la vue change au voisinage d'un point ?
  - comprendre, si l'on se déplace d'un epsilon (ou plus), est-ce que des objets apparaissent ou disparaissent ?
  - ou plus simplement, si je perturbe un rayon d'un epsilon, est-ce que sa visibilité change ?
  - introduit la notion de cohérence visuelle

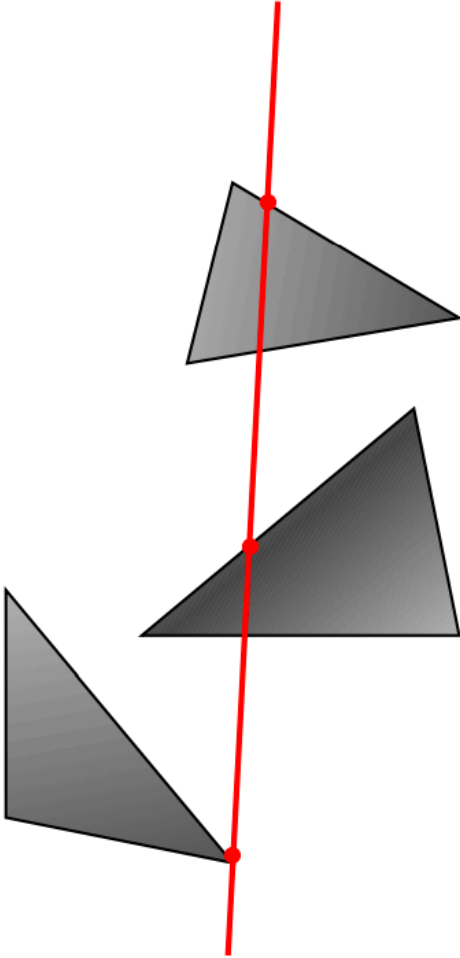
Besoin d'une caractérisation analytique de la visibilité

# Visibilité > visibilité analytique, étude en 3D

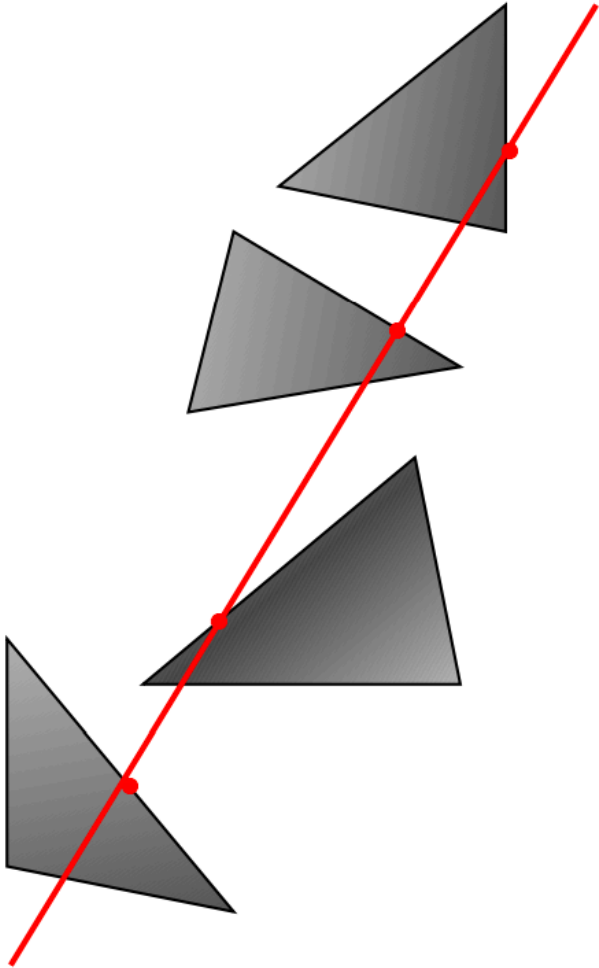
- [Durand99], étude des discontinuités dans visibilité



(vv)



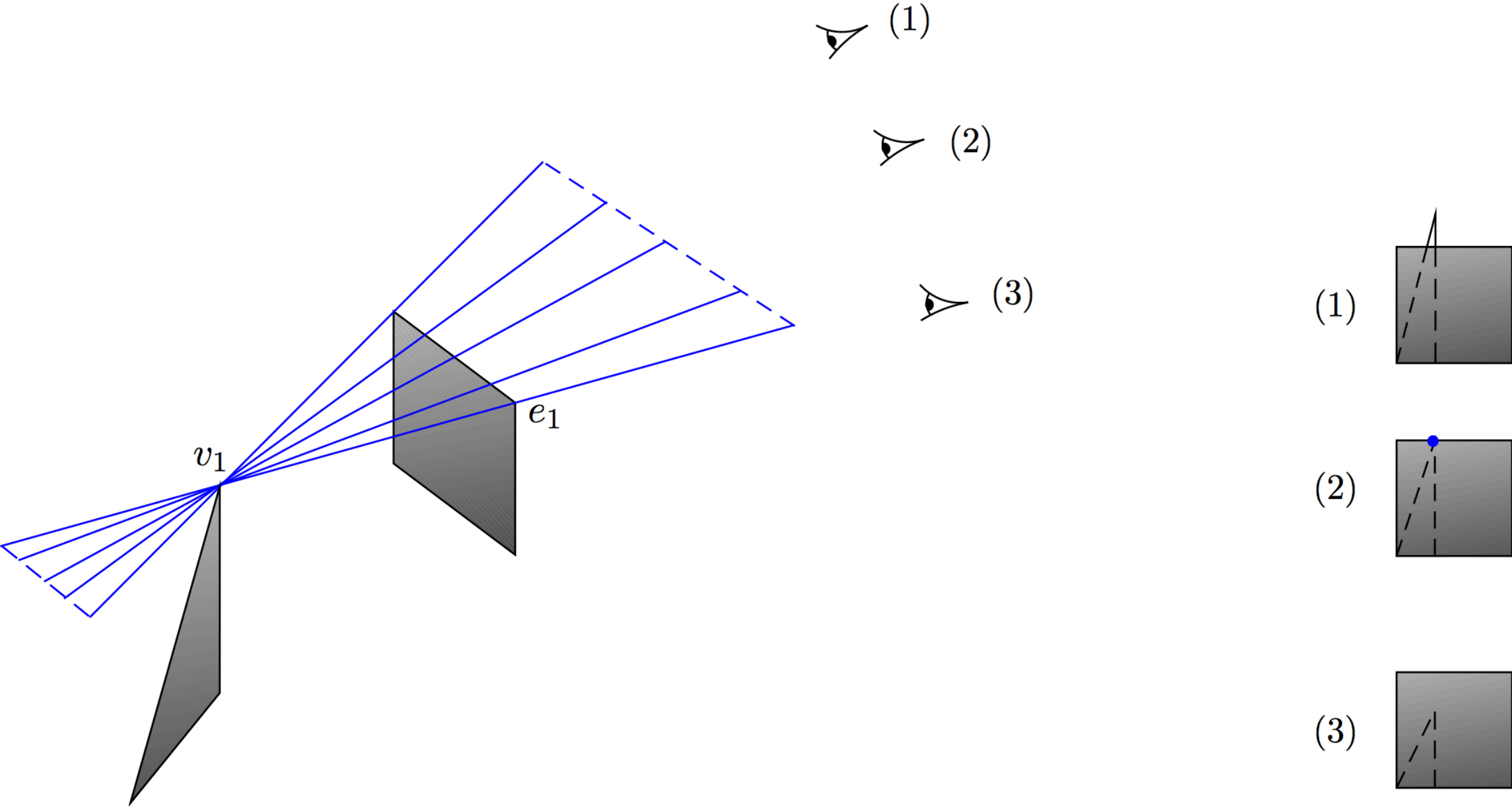
(vee)



(eeee)

# Visibilité > visibilité analytique, étude en 3D

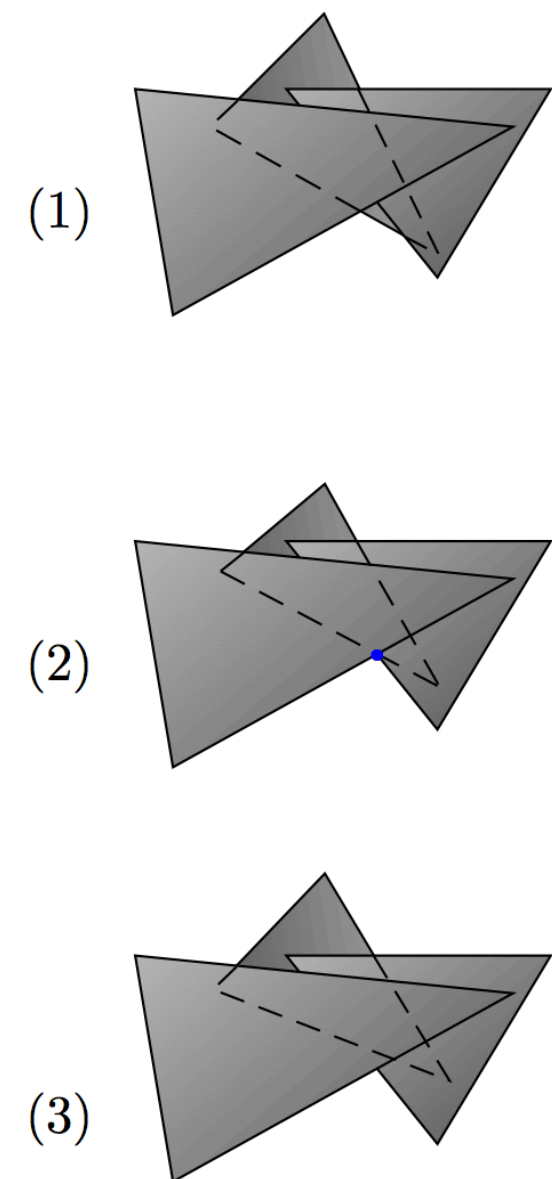
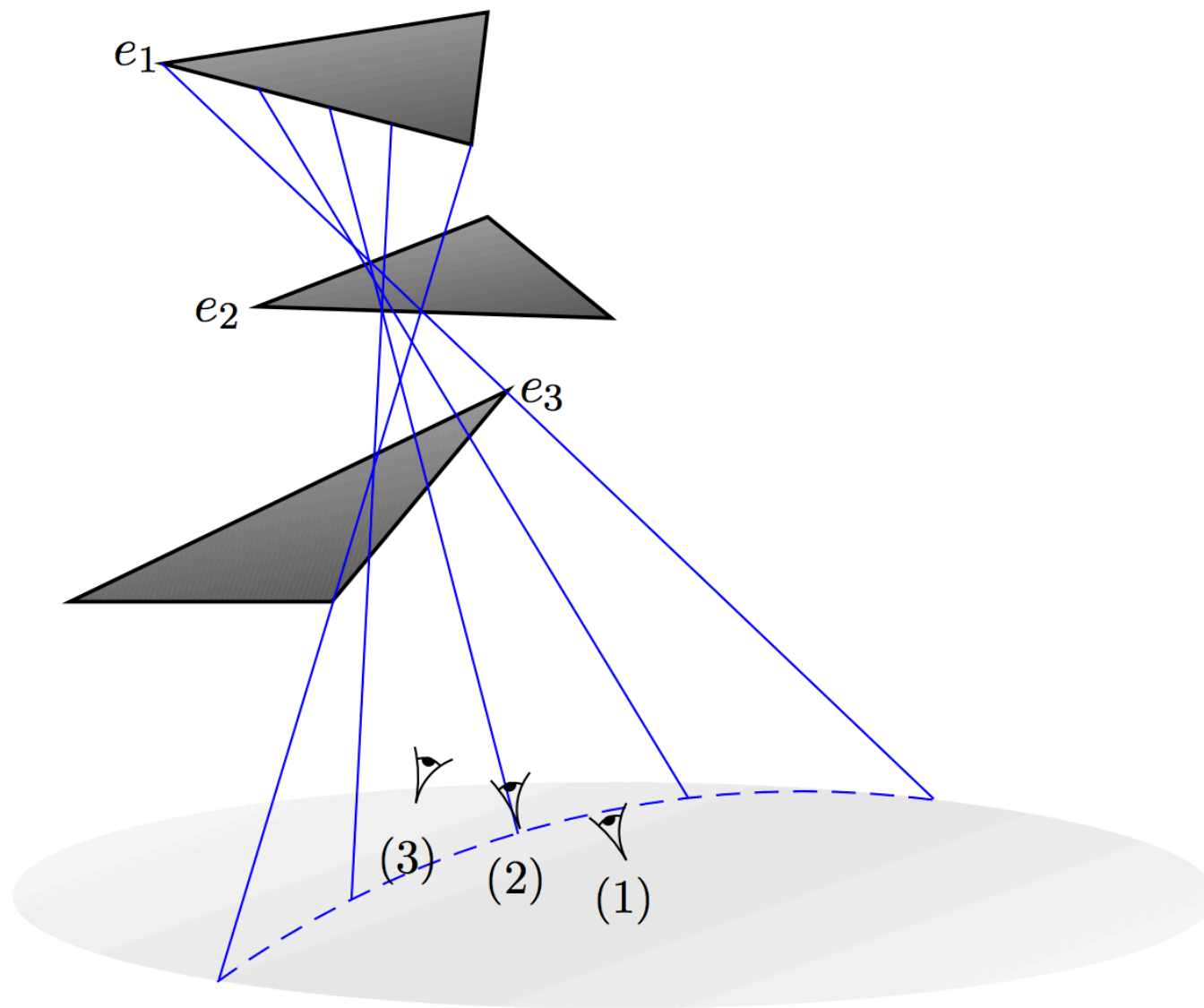
- [Durand99], étude des discontinuités dans visibilité (ev)





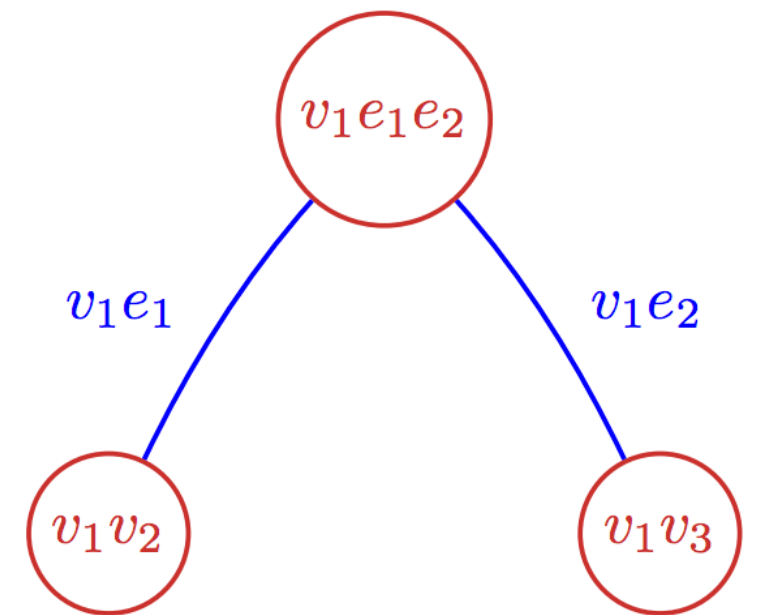
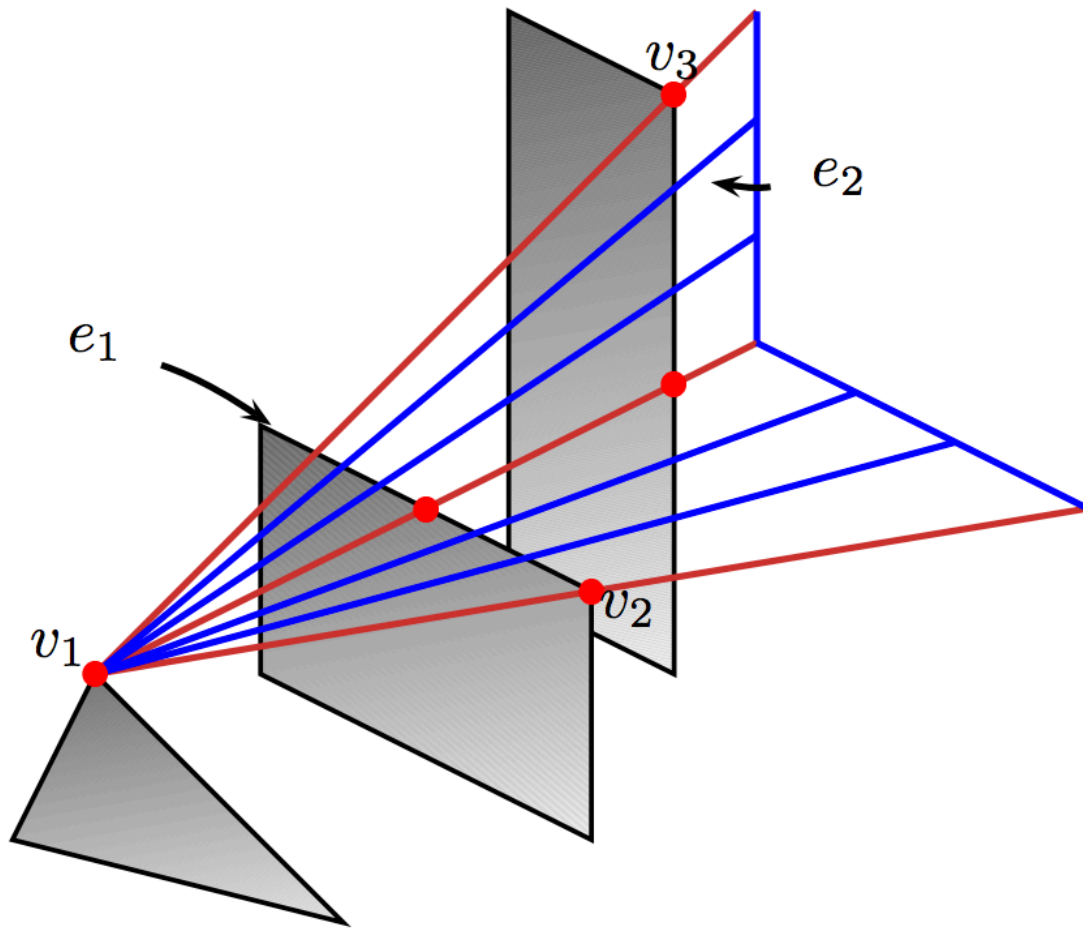
# Visibilité > visibilité analytique, étude en 3D

- [Durand99], étude des discontinuités dans visibilité (eee)



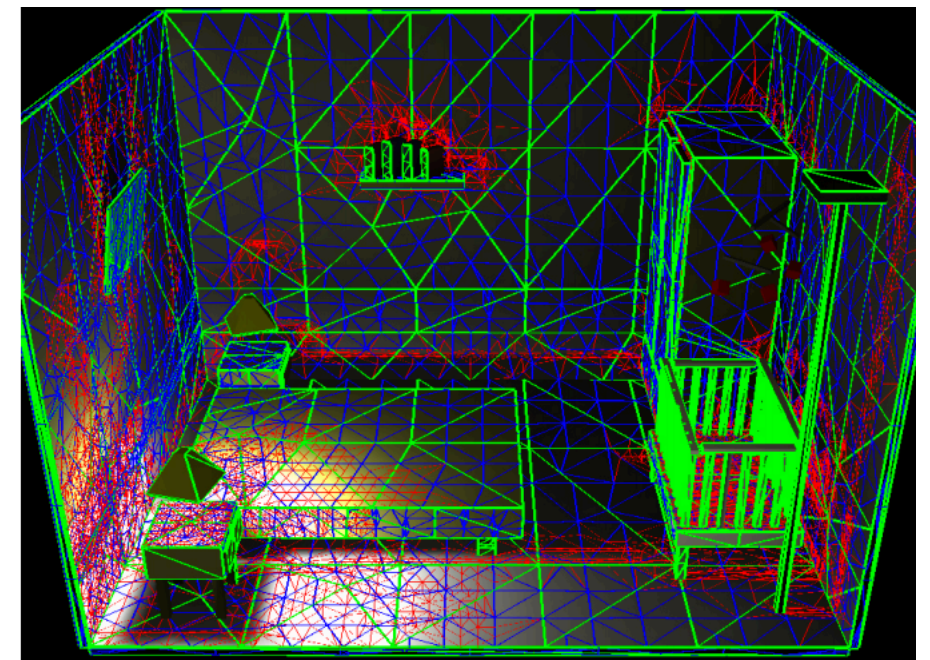
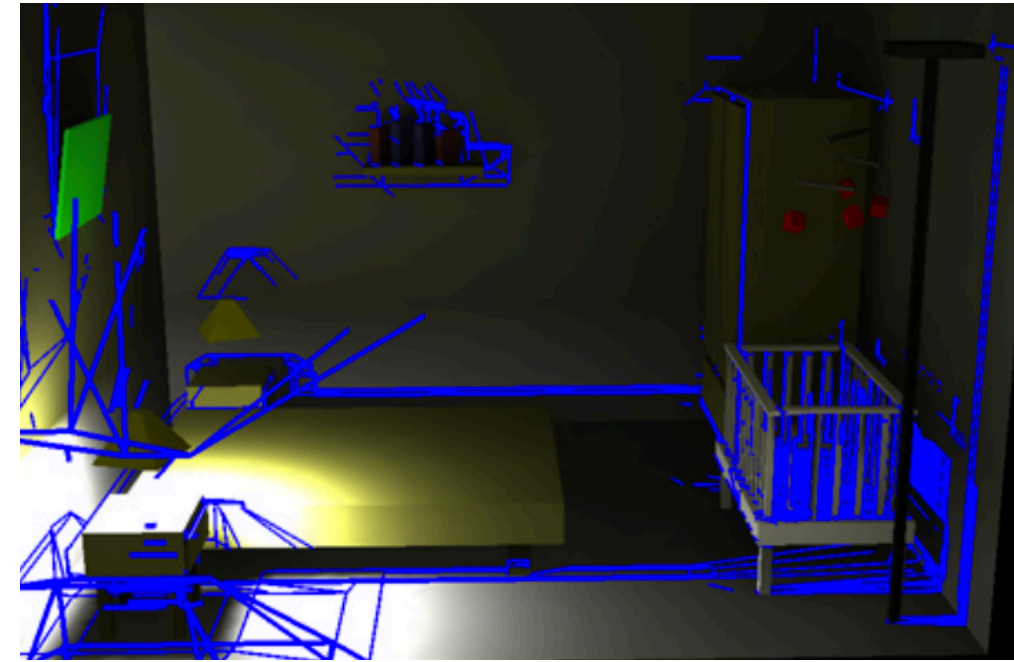
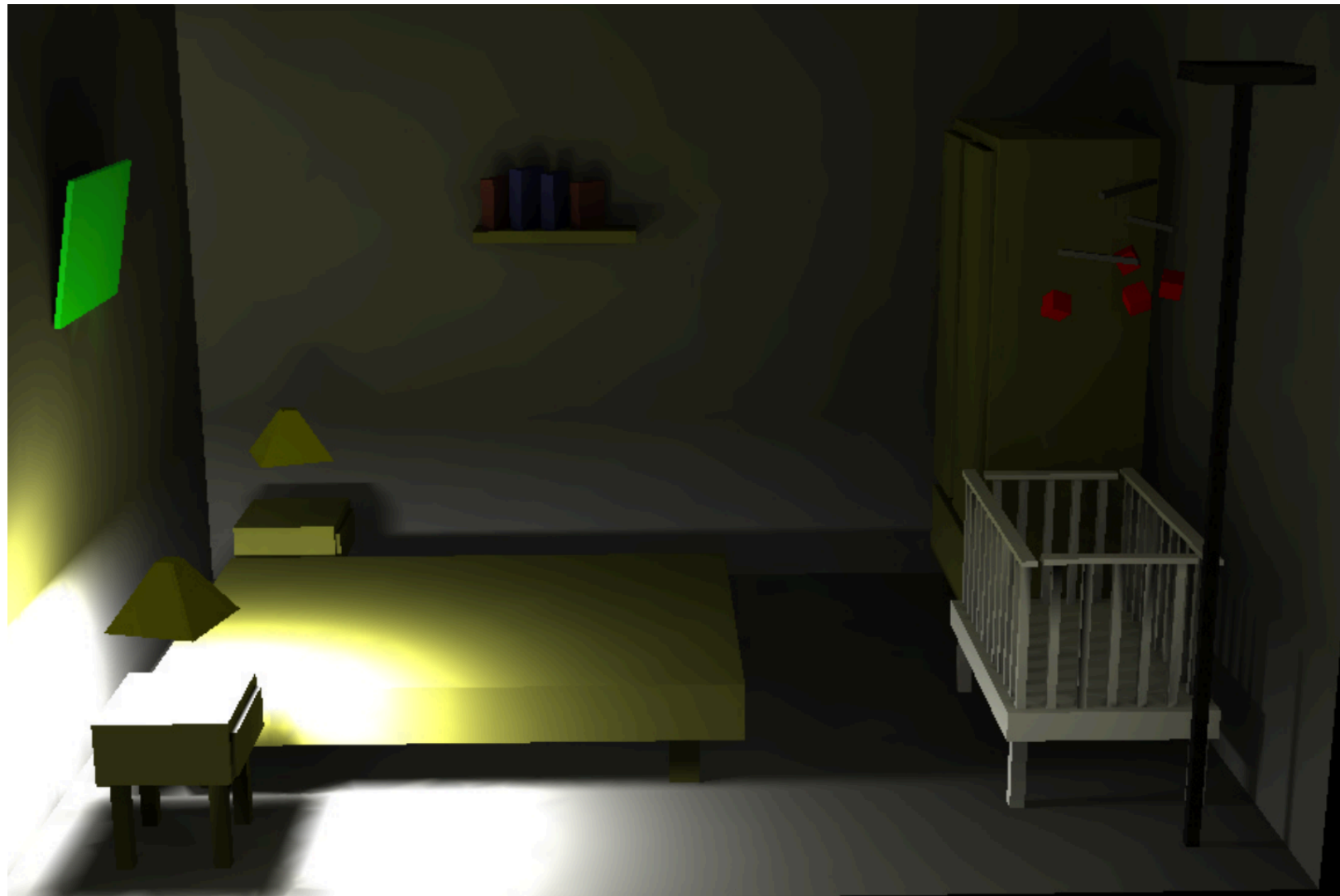
# Visibilité > visibilité analytique, étude en 3D

- [Durand99], construction d'un graphe dont les noeuds sont des événements visuels



# Visibilité > visibilité analytique, étude en 3D

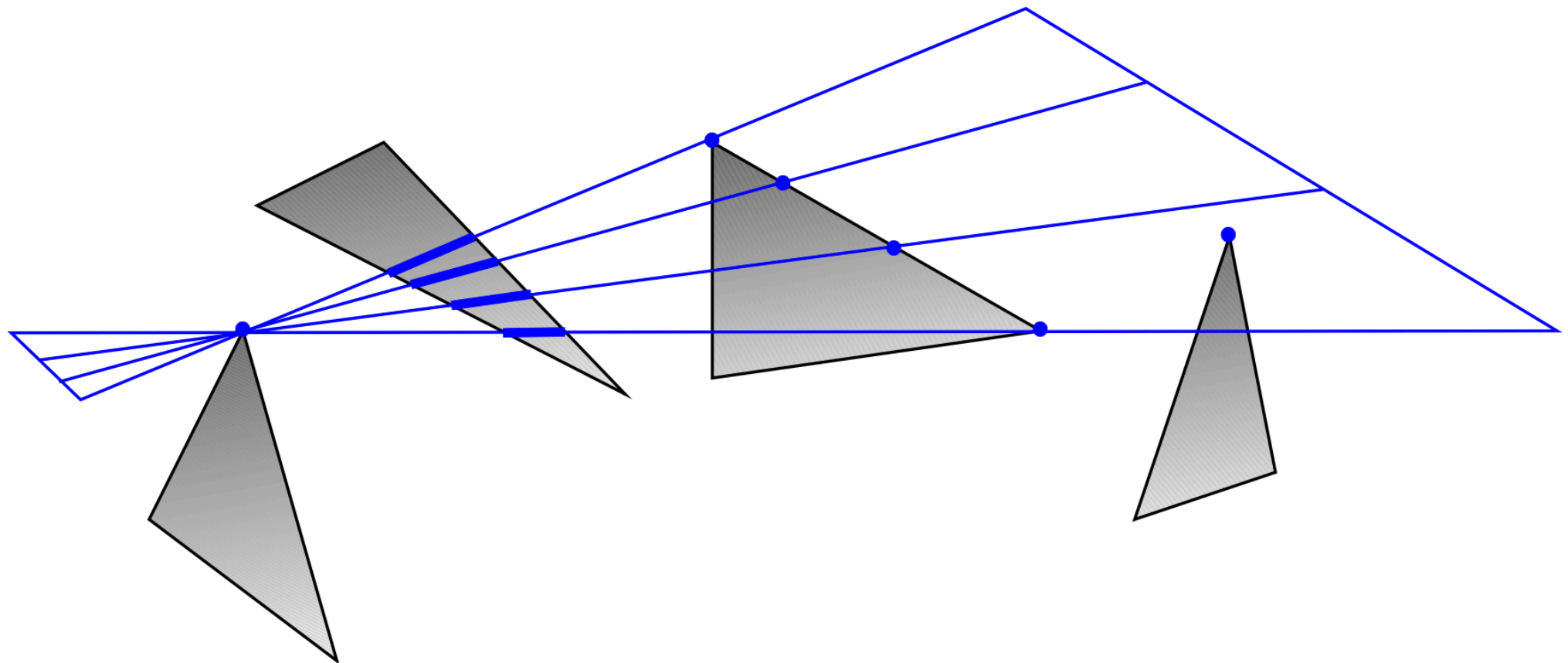
- [Durand99], application en radiosité (discontinuity meshing)





# Visibilité > visibilité analytique, étude en 3D

- [Durand99], impossible de gérer tous les cas « dégénérés »



- Il faut monter en dimension, aller dans un espace au moins égale à la dimension du problème

# Espace de Plucker > Julius Plucker

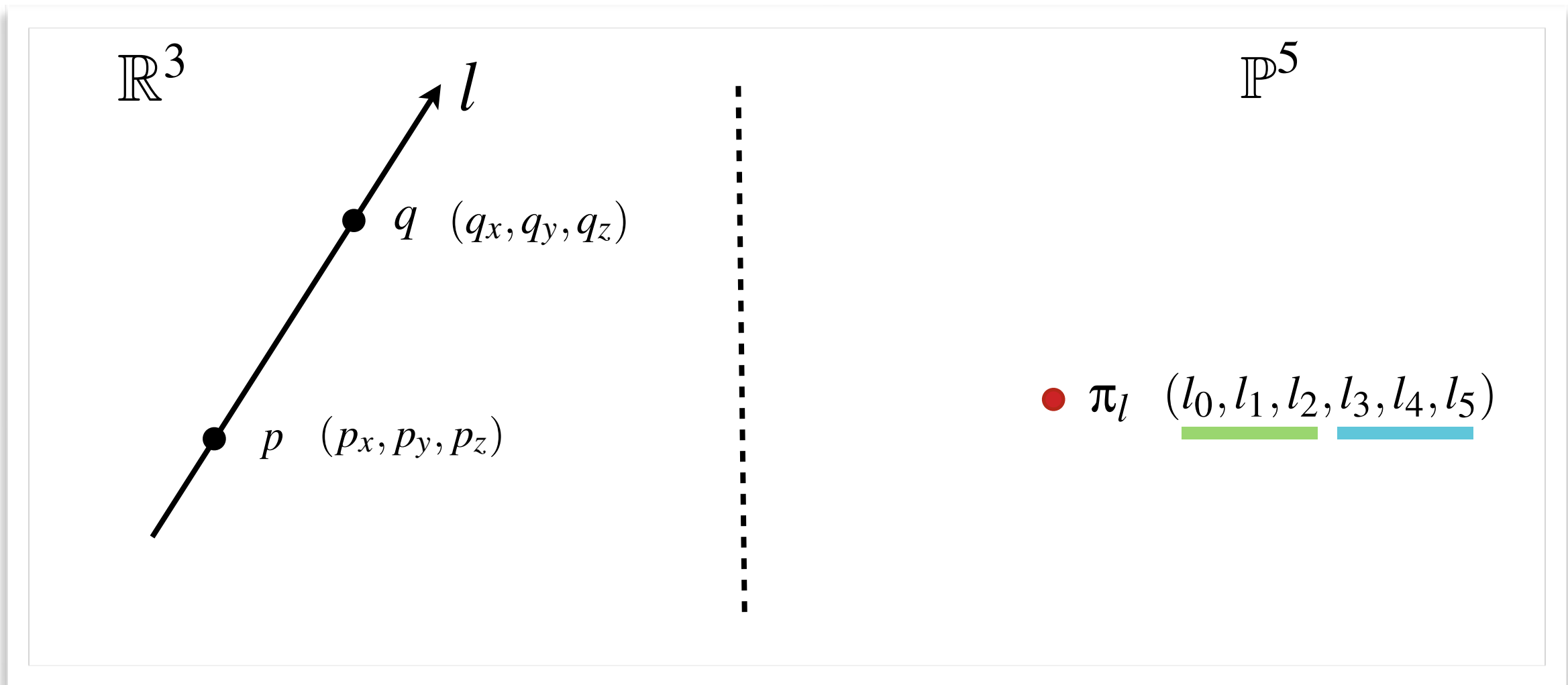
**Julius Plücker** (16 juin ou 16 juillet 1801 à Elberfeld, Saint-Empire romain germanique - 22 mai 1868 à Bonn, Prusse) est un mathématicien et un physicien allemand. Il a obtenu des résultats fondamentaux en géométrie analytique et fut un pionnier dans les recherches sur les rayons cathodiques qui aboutirent à la découverte de l'électron. Il a aussi beaucoup travaillé sur les courbes de Lamé.



**WIKIPEDIA**  
The Free Encyclopedia



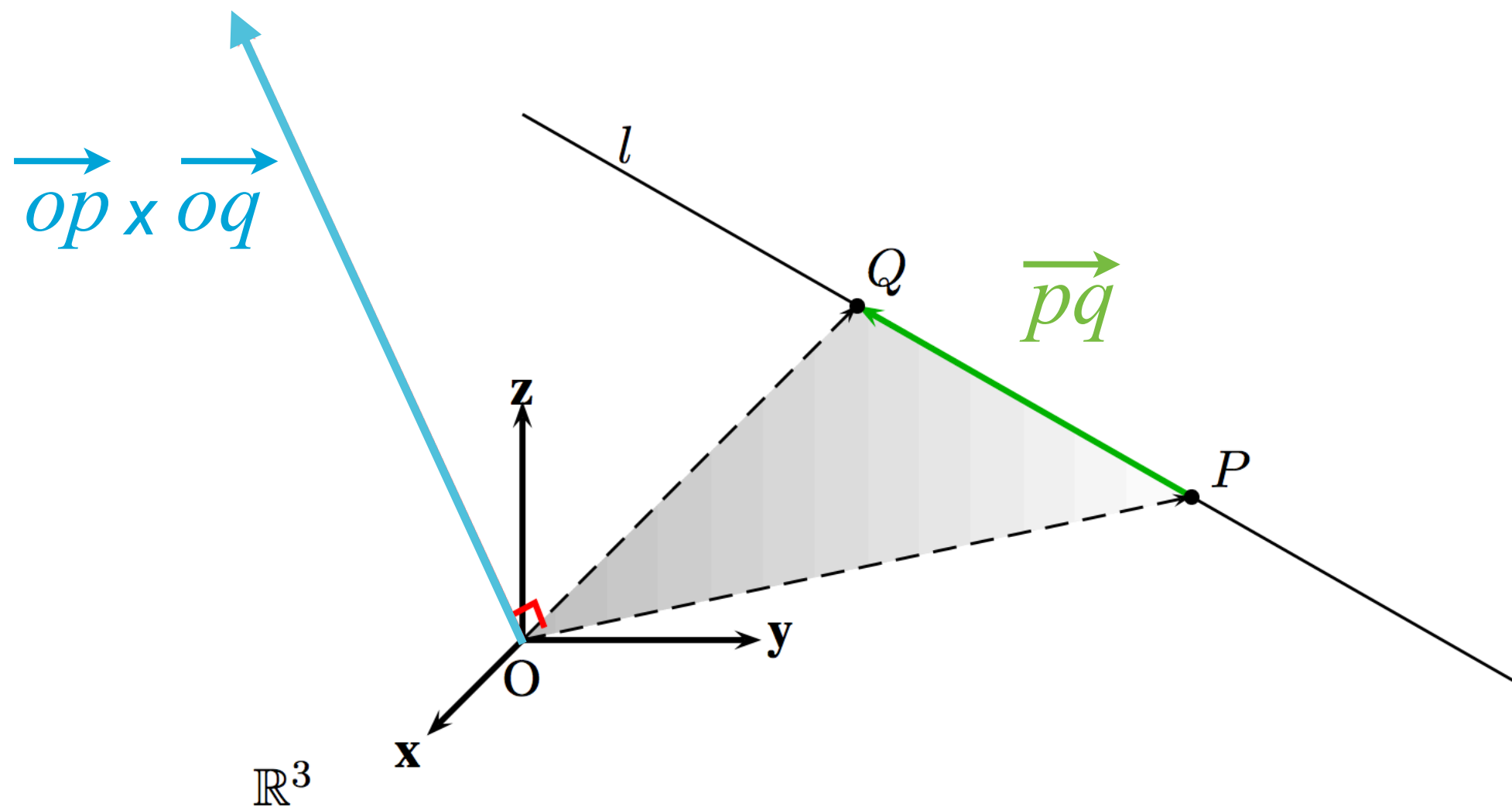
# Espace de Plucker > paramétrisation des droites de $\mathbb{R}^3$



$$\begin{array}{c}
 \xrightarrow{\text{green}} \\
 \overrightarrow{pq} \\
 \curvearrowright
 \end{array}
 \left| \begin{array}{l}
 l_0 = q_x - p_x \\
 l_1 = q_y - p_y \\
 l_2 = q_z - p_z
 \end{array} \right|
 \left| \begin{array}{l}
 l_3 = q_z p_y - q_y p_z \\
 l_4 = q_x p_z - q_z p_x \\
 l_5 = q_y p_x - q_x p_y
 \end{array} \right|
 \begin{array}{c}
 \xrightarrow{\text{blue}} \\
 \overrightarrow{op} \times \overrightarrow{oq} \\
 \curvearrowleft
 \end{array}$$

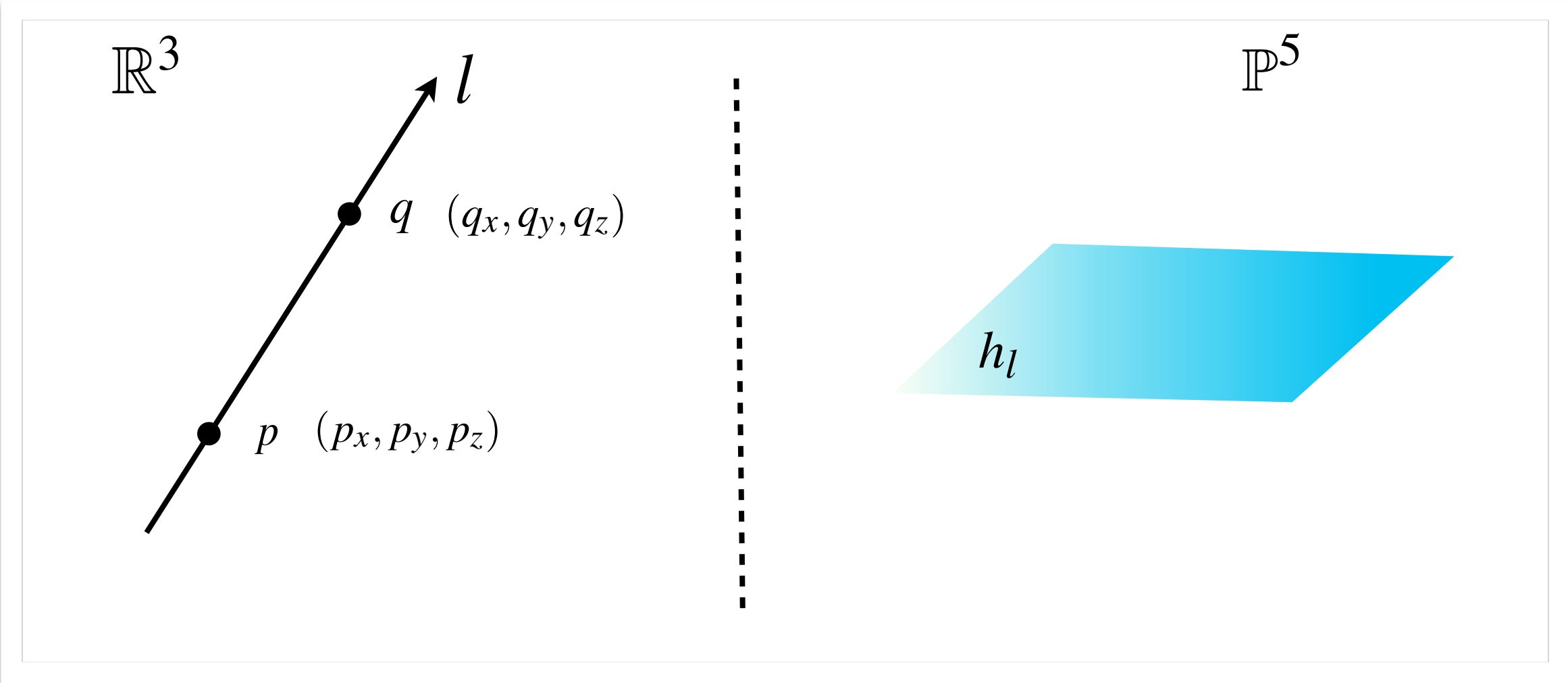


# Espace de Plucker > paramétrisation des droites de $\mathbb{R}^3$



$$\begin{array}{c}
 \vec{PQ} \\
 \curvearrowright
 \end{array}
 \left| \begin{array}{l}
 l_0 = q_x - p_x \\
 l_1 = q_y - p_y \\
 l_2 = q_z - p_z
 \end{array} \right|
 \left| \begin{array}{l}
 l_3 = q_z p_y - q_y p_z \\
 l_4 = q_x p_z - q_z p_x \\
 l_5 = q_y p_x - q_x p_y
 \end{array} \right|
 \begin{array}{c}
 \vec{OP} \times \vec{OQ} \\
 \curvearrowleft
 \end{array}$$

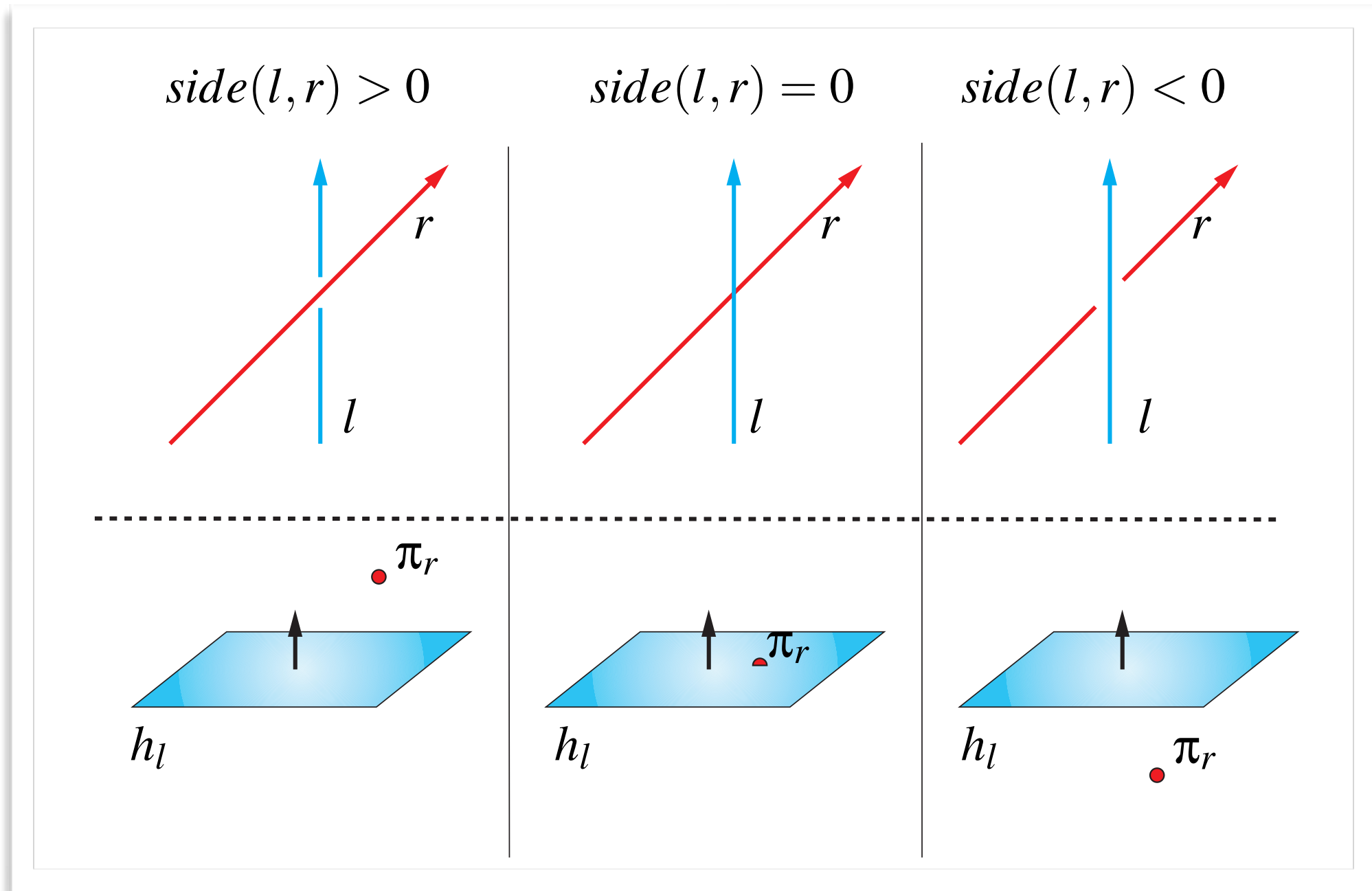
# Espace de Plucker > dualité point - hyperplan



●  $\pi_l (l_0, l_1, l_2, l_3, l_4, l_5)$

▮  $h_l(x) = l_3x_0 + l_4x_1 + l_5x_2 + l_0x_3 + l_1x_4 + l_2x_5 = 0$

# Espace de Plucker > orientation relative de 2 droites



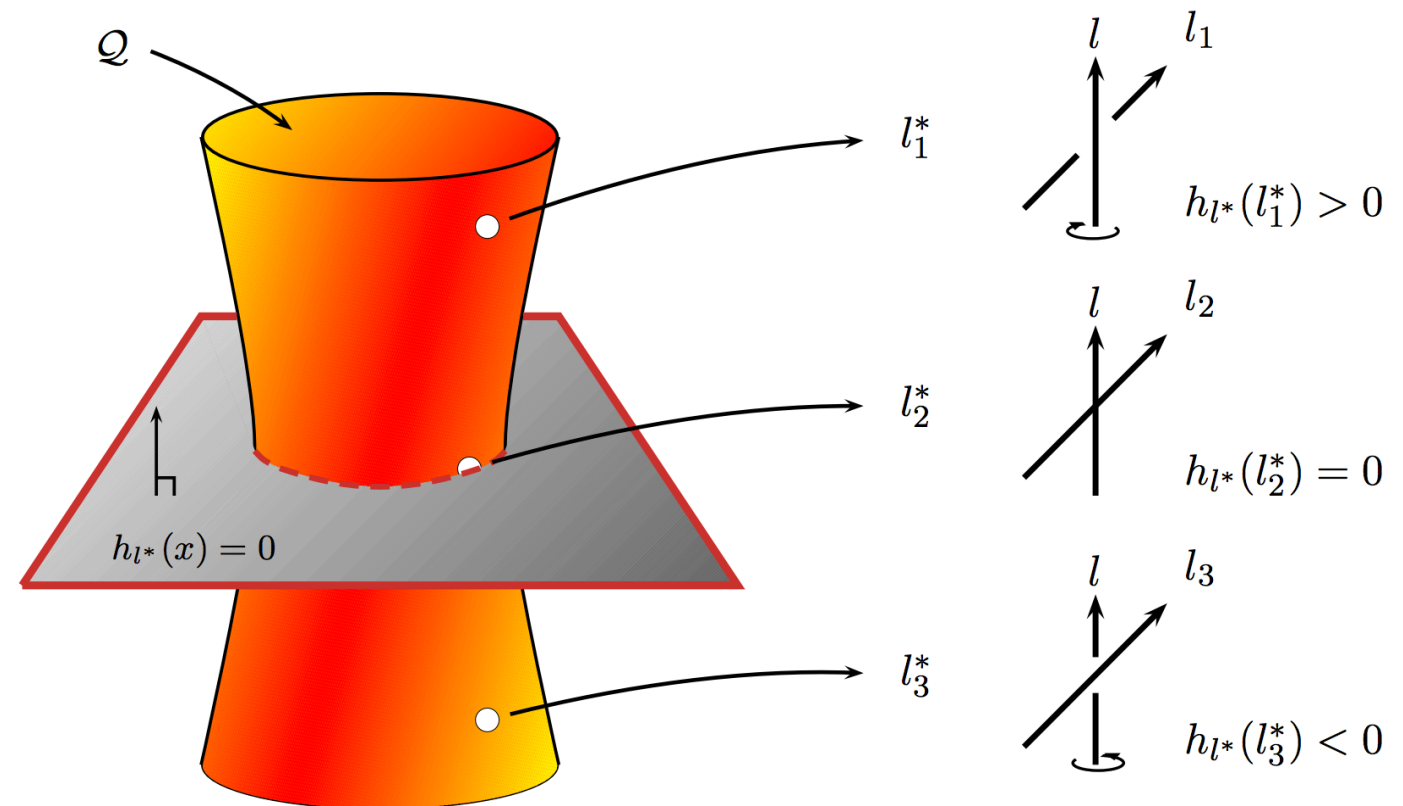
$$\begin{aligned}
 side(l, r) &= l_3 r_0 + l_4 r_1 + l_5 r_2 + l_0 r_3 + l_1 r_4 + l_2 r_5 \\
 &= h_l(\pi_r)
 \end{aligned}$$



# Espace de Plucker > Quadrique de Plucker

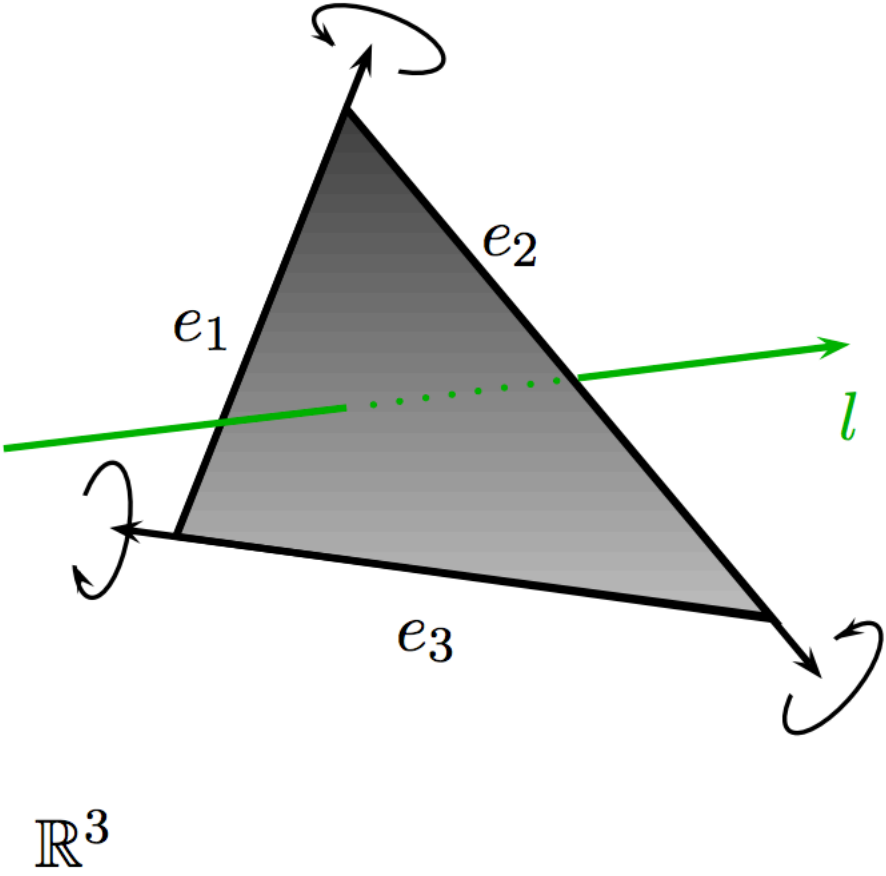
- la paramétrisation des droites réelles est injective
- Dans l'espace de Plucker, l'ensemble des droites réelles forme une quadrique de dimension 4 appelée *hypersurface de Plucker* ou parfois *variété de Grassmann*. Elle est caractérisable comme suit :

$$Q = \{x \in \mathbb{P}^5 \mid h_x(x) = 0\} \setminus \{0\}$$

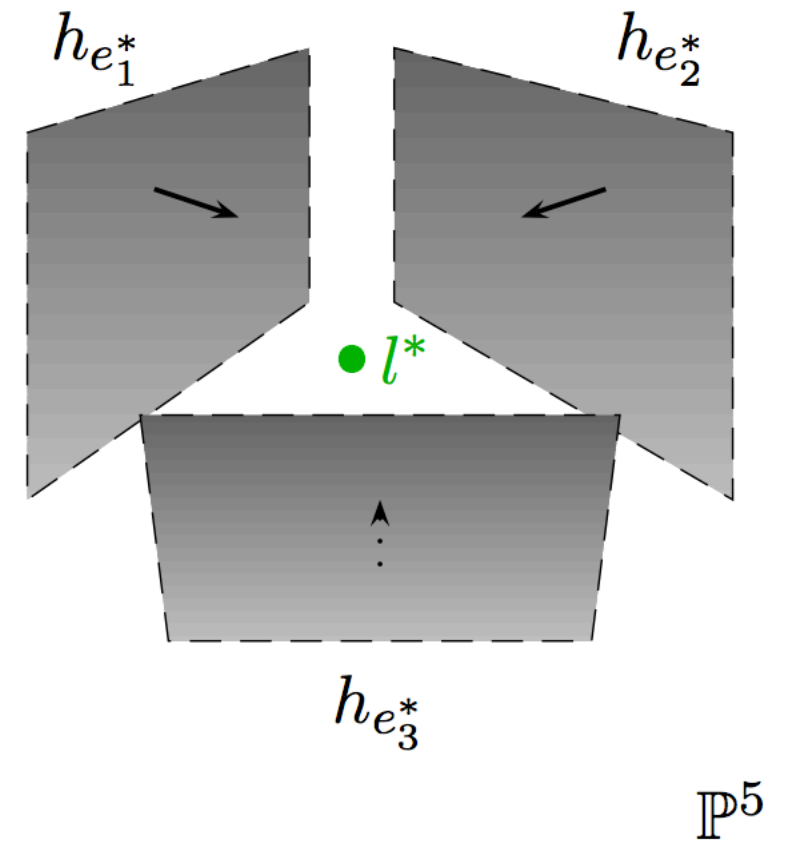
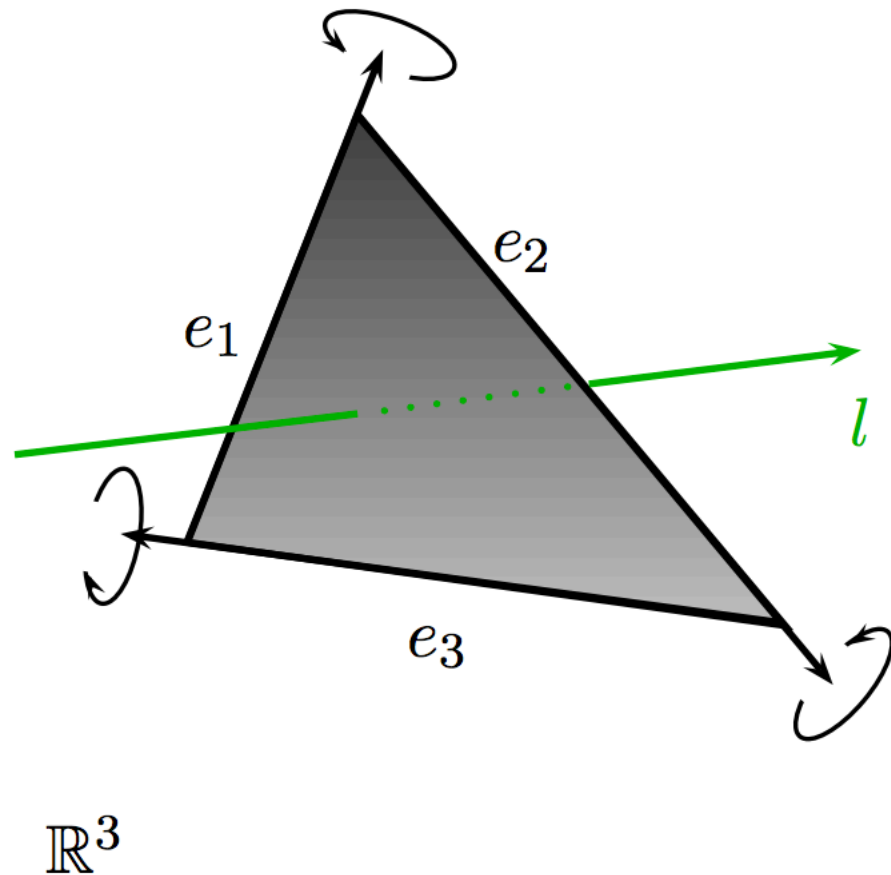


- Et donc on retrouve bien la dimension 4 de notre problème de visibilité

# Espace de Plucker > droites intersectant un triangle



# Espace de Plucker > droites intersectant un triangle

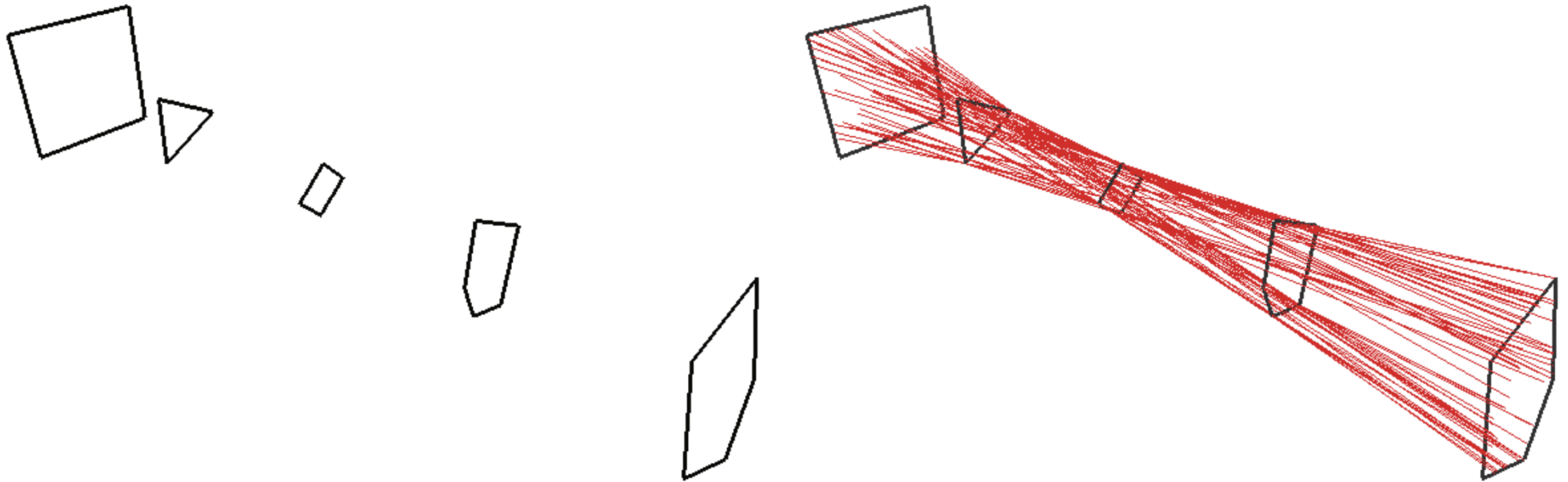


- $l$  a une orientation homogène avec les droites supports des arêtes du triangle
- c'est le cas pour toute droite incluse dans l'intersection des 3 demis espaces dans  $\mathbb{P}^5$



# Espace de Plucker > quiz

- Comment prouver qu'il existe des visibilité à travers une séquence d'ouvertures ?



# Espace de Plucker > de quoi parle-t-on ?

---

- considérant les hp issus des arêtes de polygones
- une droite intersectant la séquence a son point de Plucker du côté + de tous les hp
- l'intersection des demis espaces hp+ contient toutes les droites intersectant la séquence

$$l^* \in \bigcap_{j=1}^n h_{e_i^*}^+$$

- l'intersection de demis espaces, c'est un polyèdre convexe, un polytope si fermé
- il existe des droites intersectant la sequence de polygones si :

$$\bigcap_{j=1}^n h_{e_i^*}^+ \neq \emptyset$$

# Polytope ? > Alicia Boole Stott

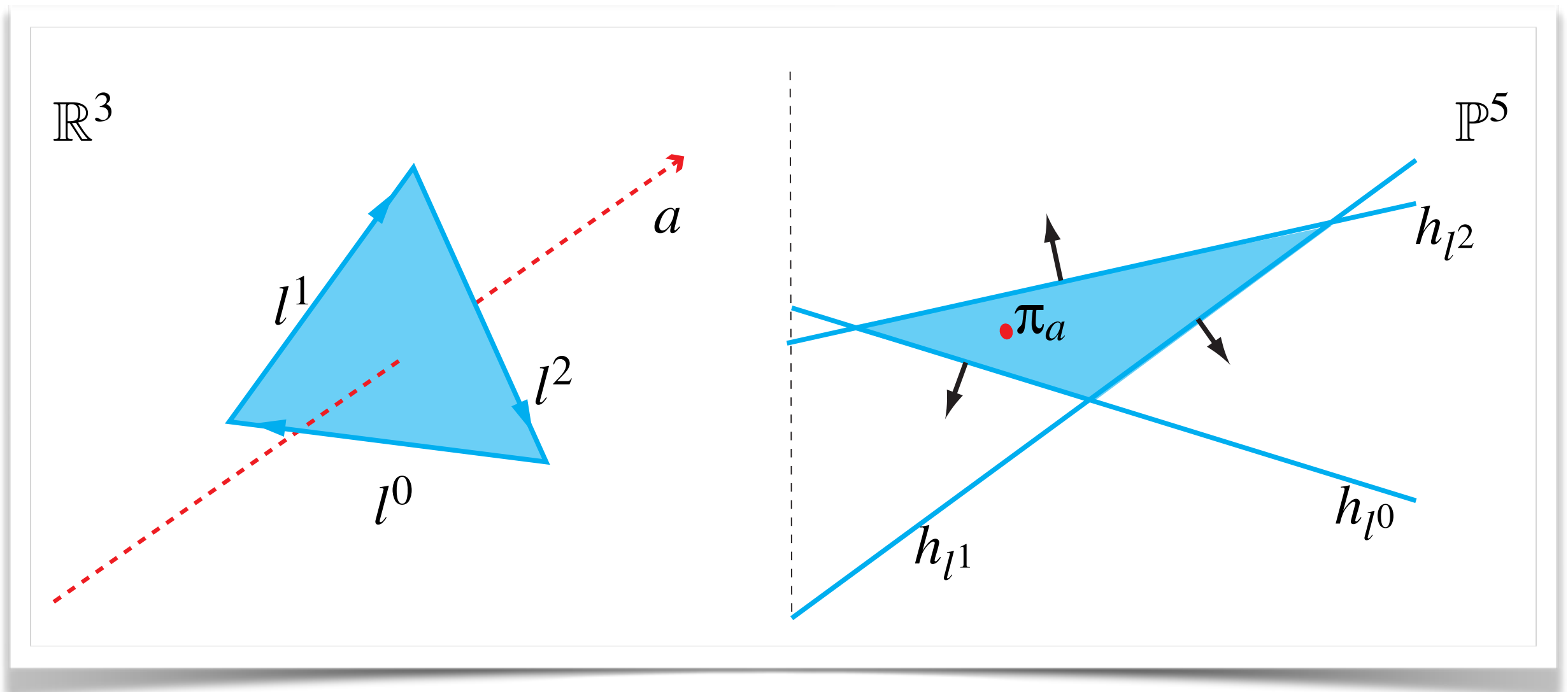
**Alicia Boole Stott** (June 8, 1860 – December 17, 1940) was an Irish-English mathematician. Despite never holding an academic position, she made a number of valuable contributions to the field, receiving an honorary doctorate from University of Groningen. She is best known for coining the term "[polytope](#)" for a convex solid in four (or more) dimensions, and having an impressive grasp of [four-dimensional geometry](#) from a very early age. Alicia Boole was born in [Cork, Ireland](#), the third daughter of mathematician and logician [George Boole](#) and [Mary Everest Boole](#)



**WIKIPEDIA**  
The Free Encyclopedia



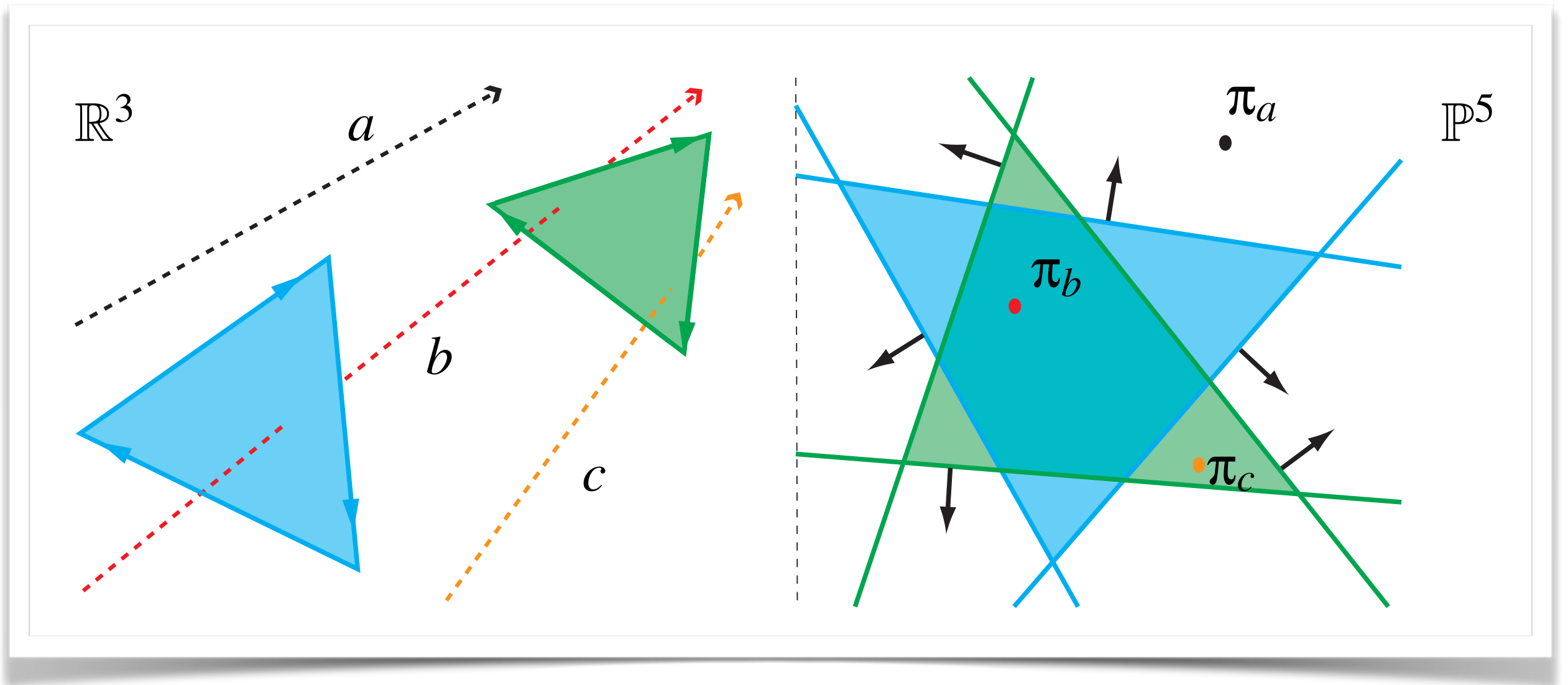
# Espace de Plucker > généralisation



- repartons avec un seul triangle et une représentation simplifiée

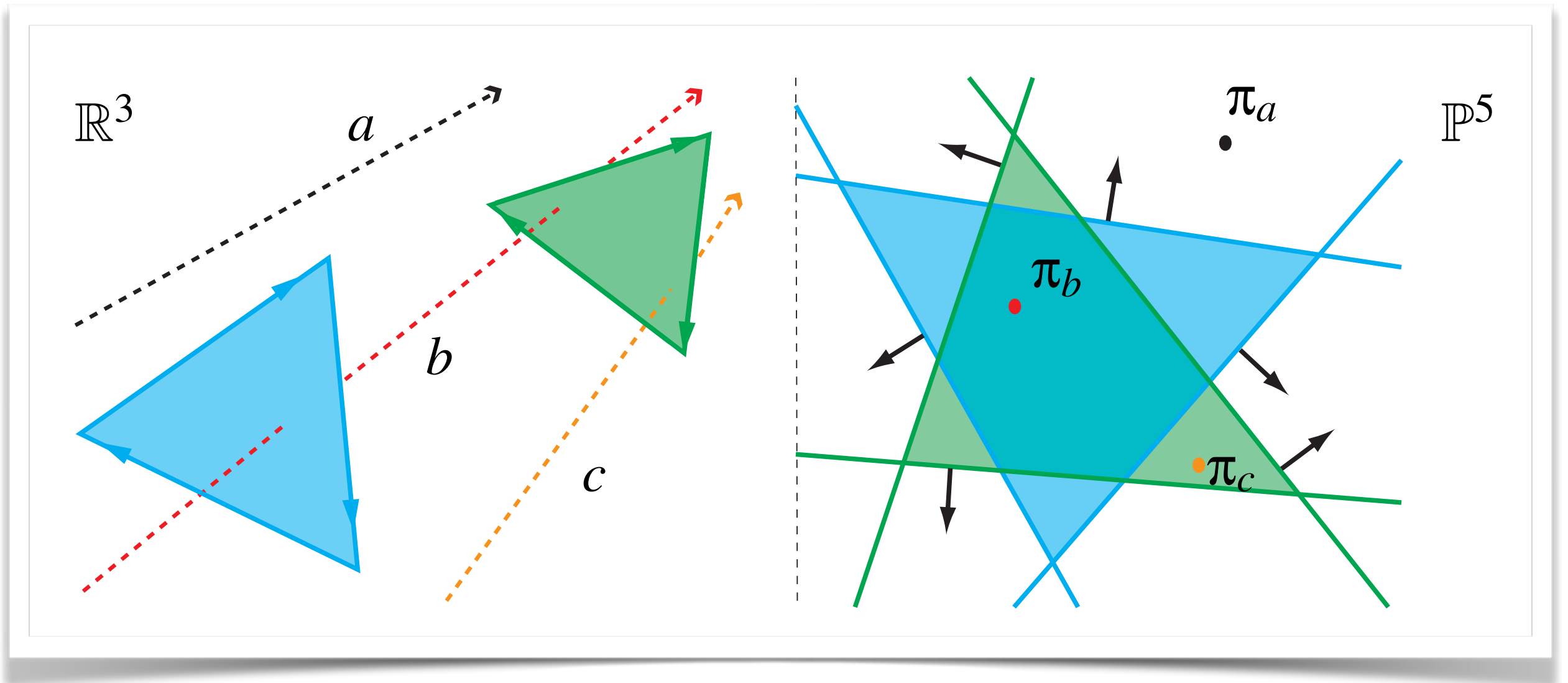


# Espace de Plucker > généralisation



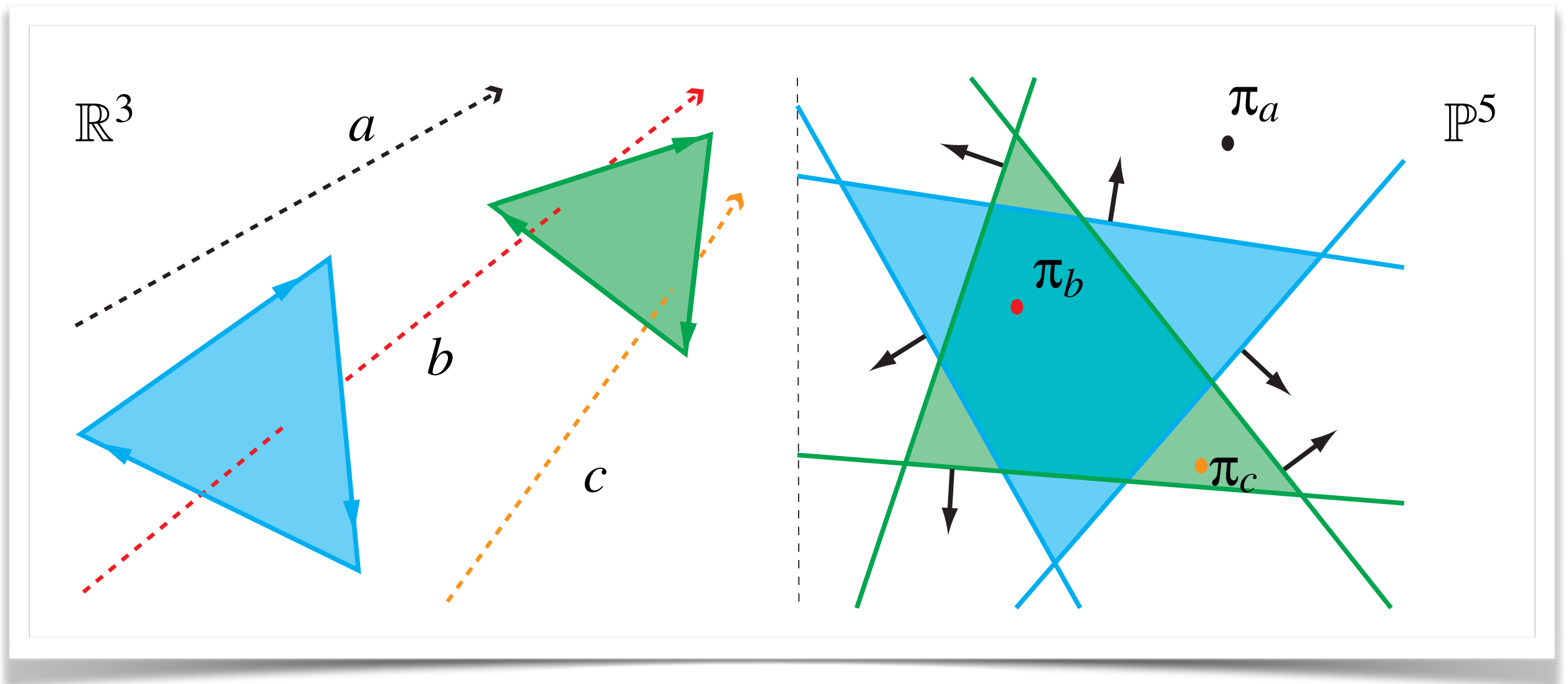
- ajoutons un autre triangle et 3 droites dans diverses configurations

# Espace de Plucker > généralisation



- la représentation duale des droites supports des arêtes des triangles forme dans l'espace de Plucker un arrangement d'hyperplans

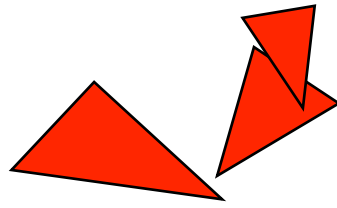
# Espace de Plucker > généralisation



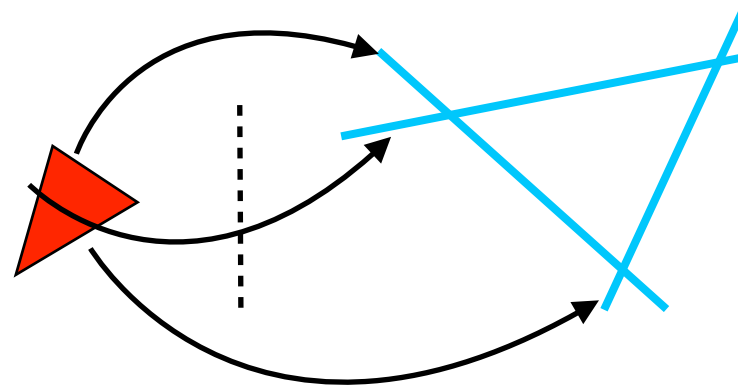
- cet arrangement induit une partition de l'espace de Plucker
- chaque cellule de cette partition contient des droites qui possèdent les mêmes orientations vis à vis des droites supports des triangles

# Espace de Plucker > généralisation, résumé

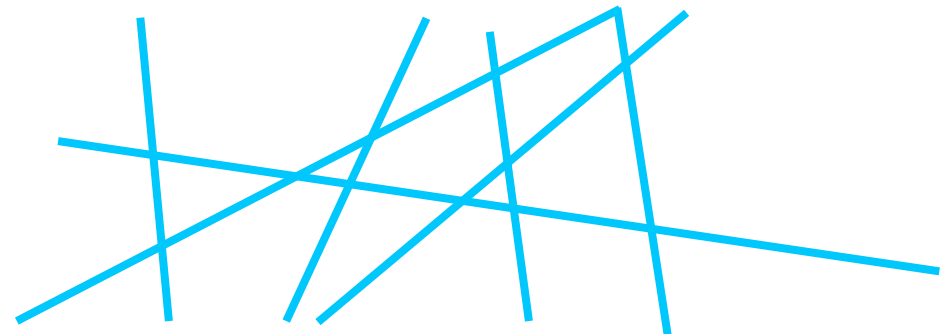
- étant donné des triangles



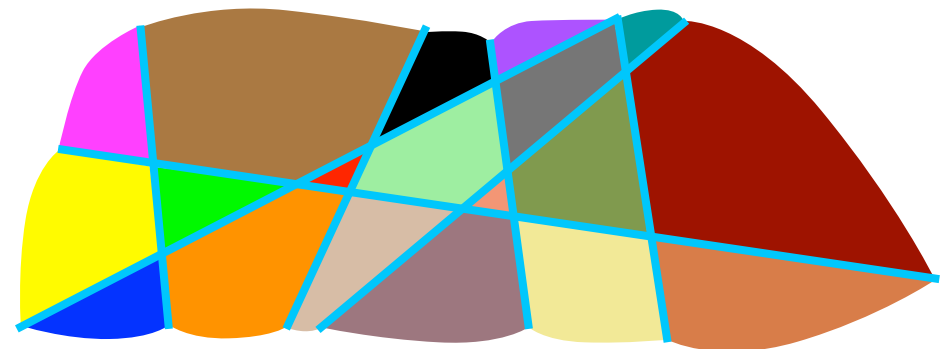
- plonger toutes les droites supports des arêtes sous forme d'hyperplans



- cela définit un arrangement d'hyperplans dans l'espace de Plucker

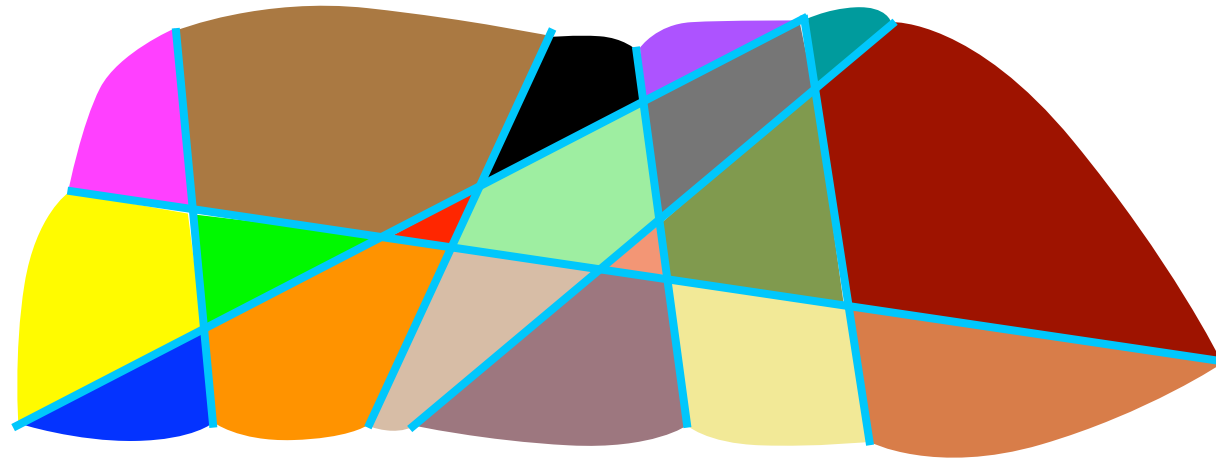


- chaque cellule représente une classe d'équivalence, regroupant les droites qui intersectent le même sous ensemble de triangles



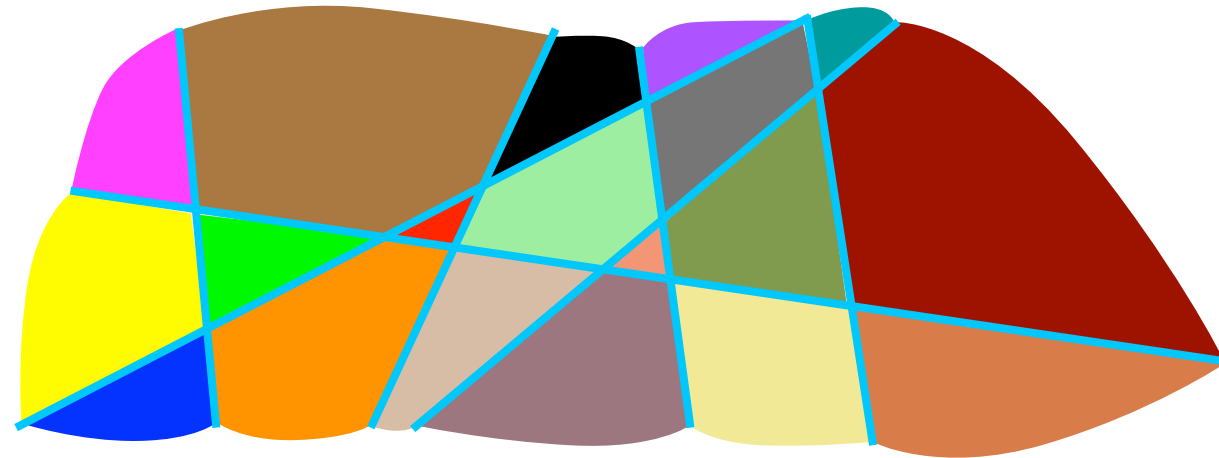


# Espace de Plucker > fin de l'histoire (?)



- on dispose donc d'une description générale et analytique de la visibilité !
- ceci étant, quelle est la complexité d'un arrangement de  $n$  hyperplans dans un espace de dimension  $d$  ?
  - autrement dit, combien de cellules peuvent former  $n$  hyperplans ?

# Espace de Plucker > fin de l'histoire (?)



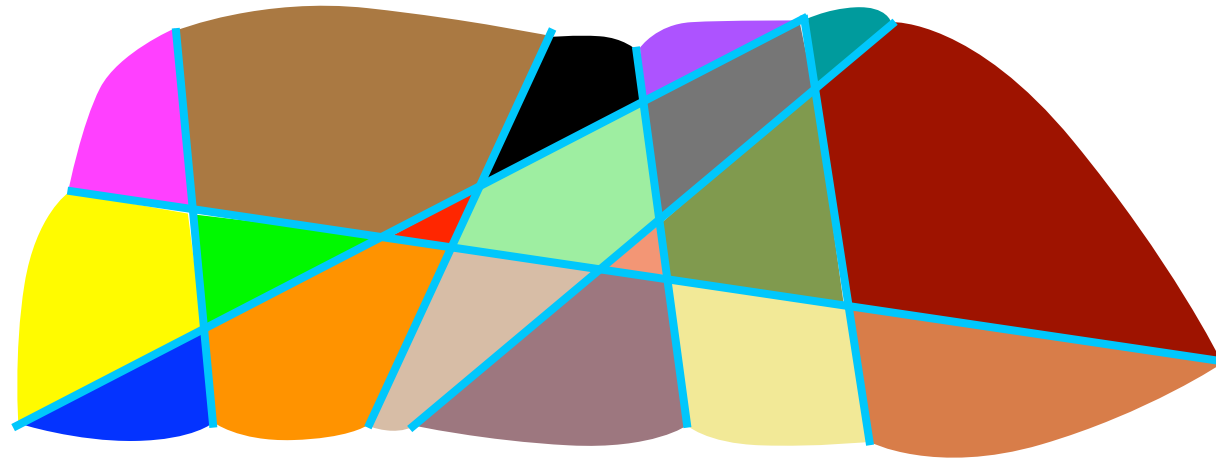
- on dispose donc d'une description générale et analytique de la visibilité !
- ceci étant, quelle est la complexité d'un arrangement de  $n$  hyperplans dans un espace de dimension  $d$  ?
  - autrement dit, combien de cellules peuvent former  $n$  hyperplans ?

$$O(n^d)$$

$$O(n^5)$$

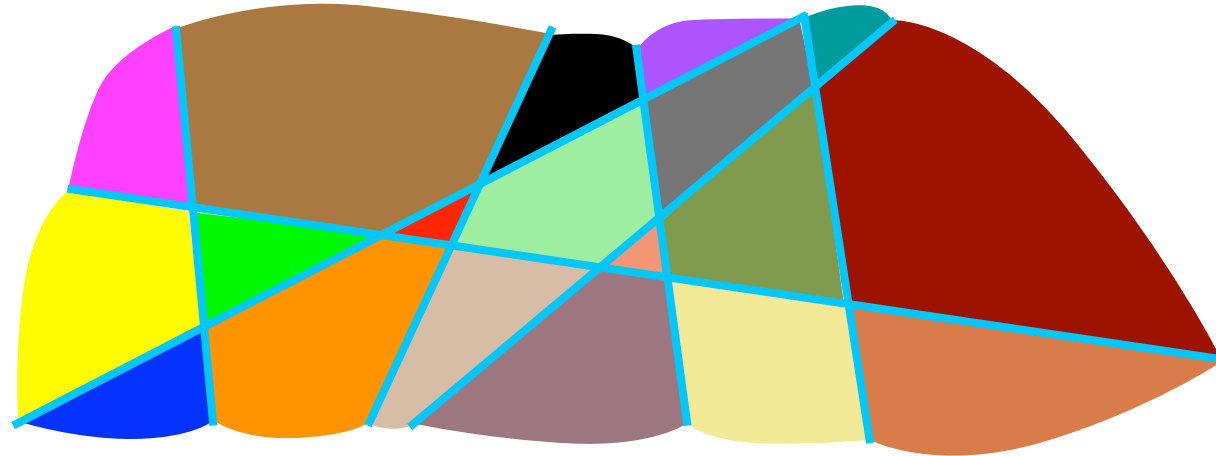
$$O(n^4 \log(n))$$

# Espace de Plucker > fin de l'histoire (?)



- $O(n^4 \log(n))$  ça pique un peu...
  - soit une scène de 100 triangles, donc 300 hyperplans : plus de 37 milliards...
- algorithmiquement parlant, c'est une complexité calculatoire et mémoire

# Espace de Plucker > fin de l'histoire (?)

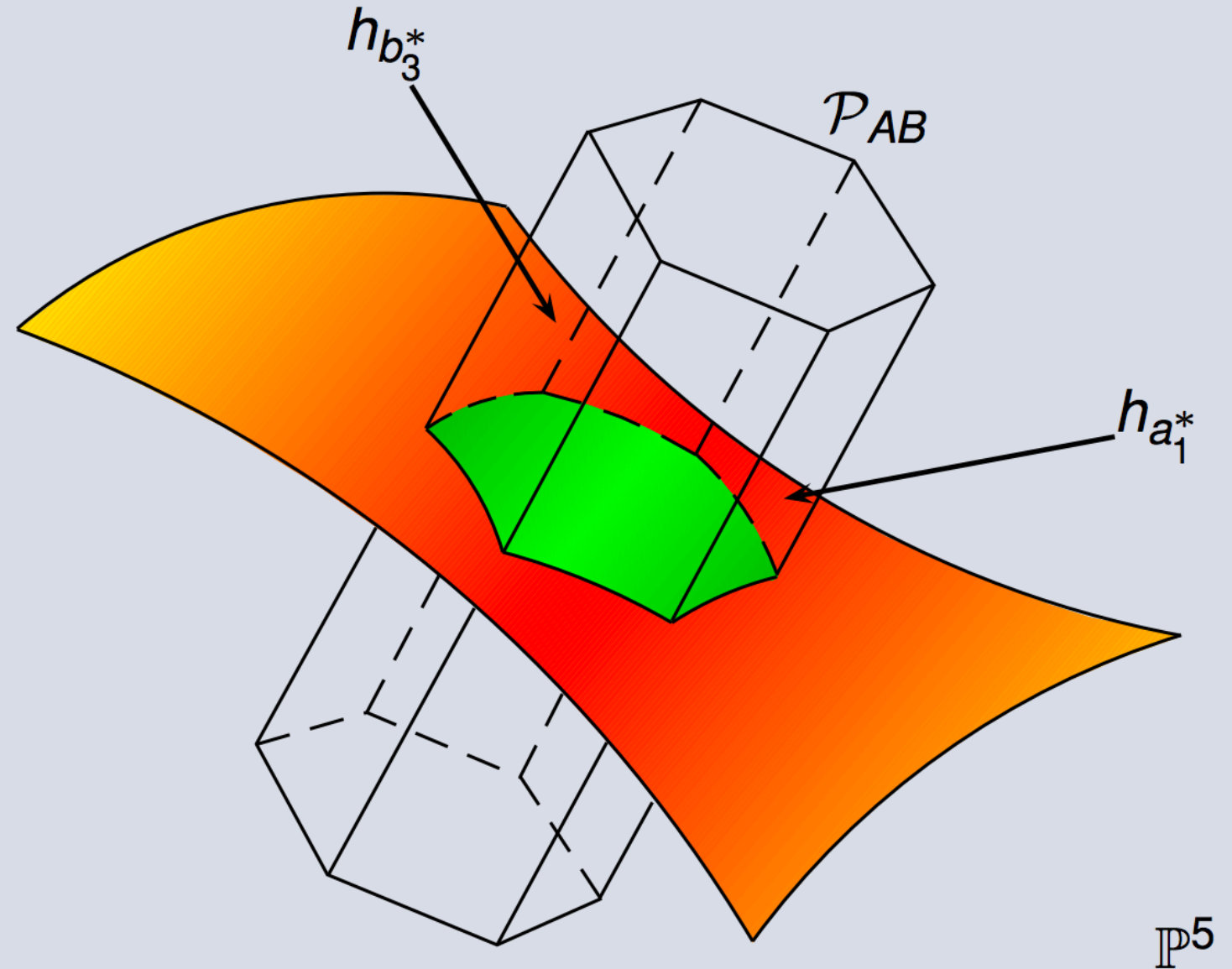
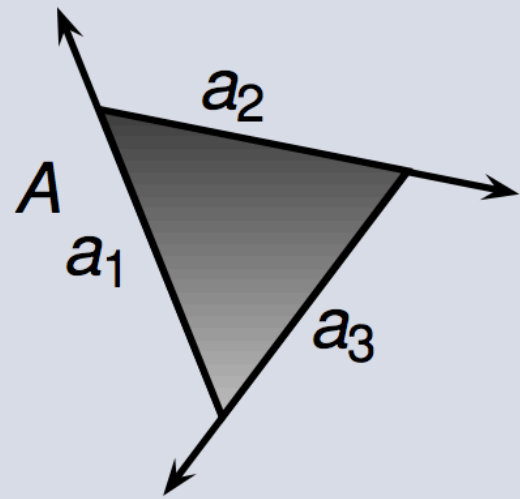
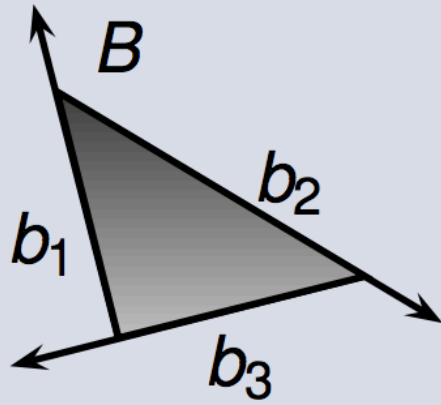


- $O(n^4 \log(n))$  ça pique un peu...
  - soit une scène de 100 triangles, donc 300 hyperplans : plus de 37 milliards...
- algorithmiquement parlant, c'est une complexité calculatoire et mémoire
- **mais**, c'est une complexité « au pire »
  - positions quelconques des hp versus géométrie ordonnée des scènes 3D
  - on n'est peut être pas obligé de tout calculer à la fois



# Espace de Plucker > visibilité polygone à polygone

$\mathbb{R}^3$

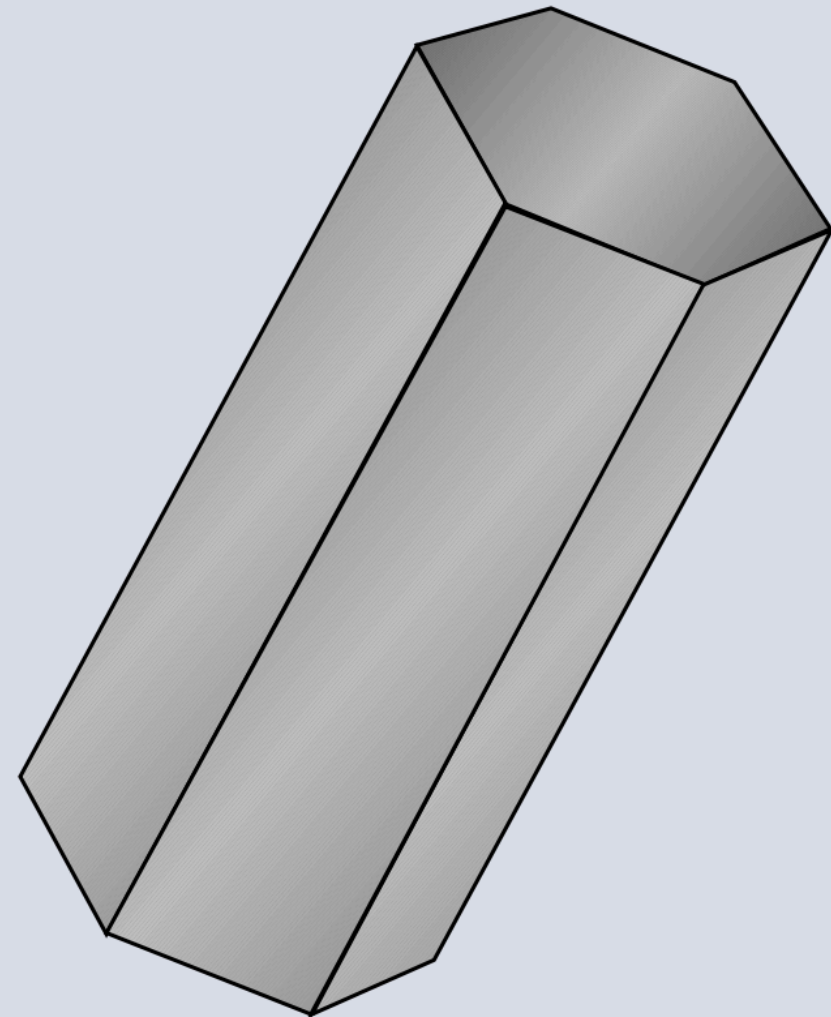
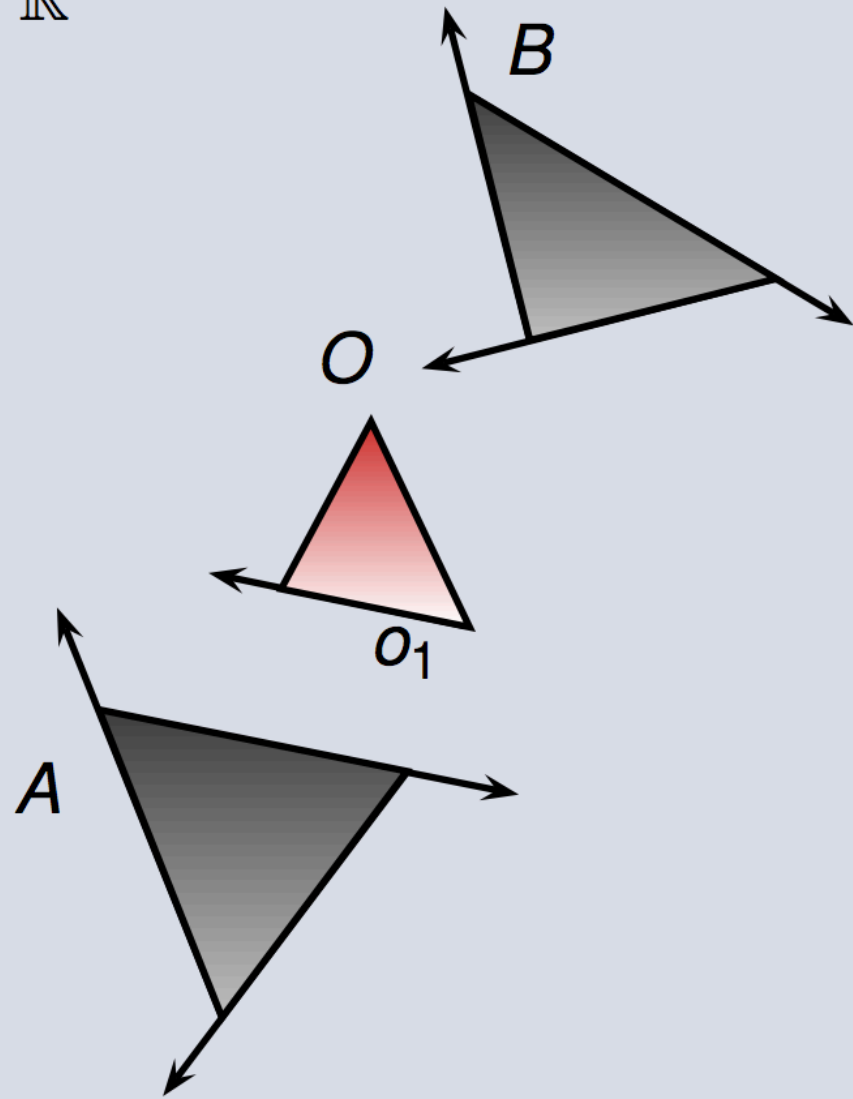


$\mathbb{P}^5$

- construction d'un polytope contenant les droites intersectant A et B

# Espace de Plucker > visibilité polygone à polygone

$\mathbb{R}^3$

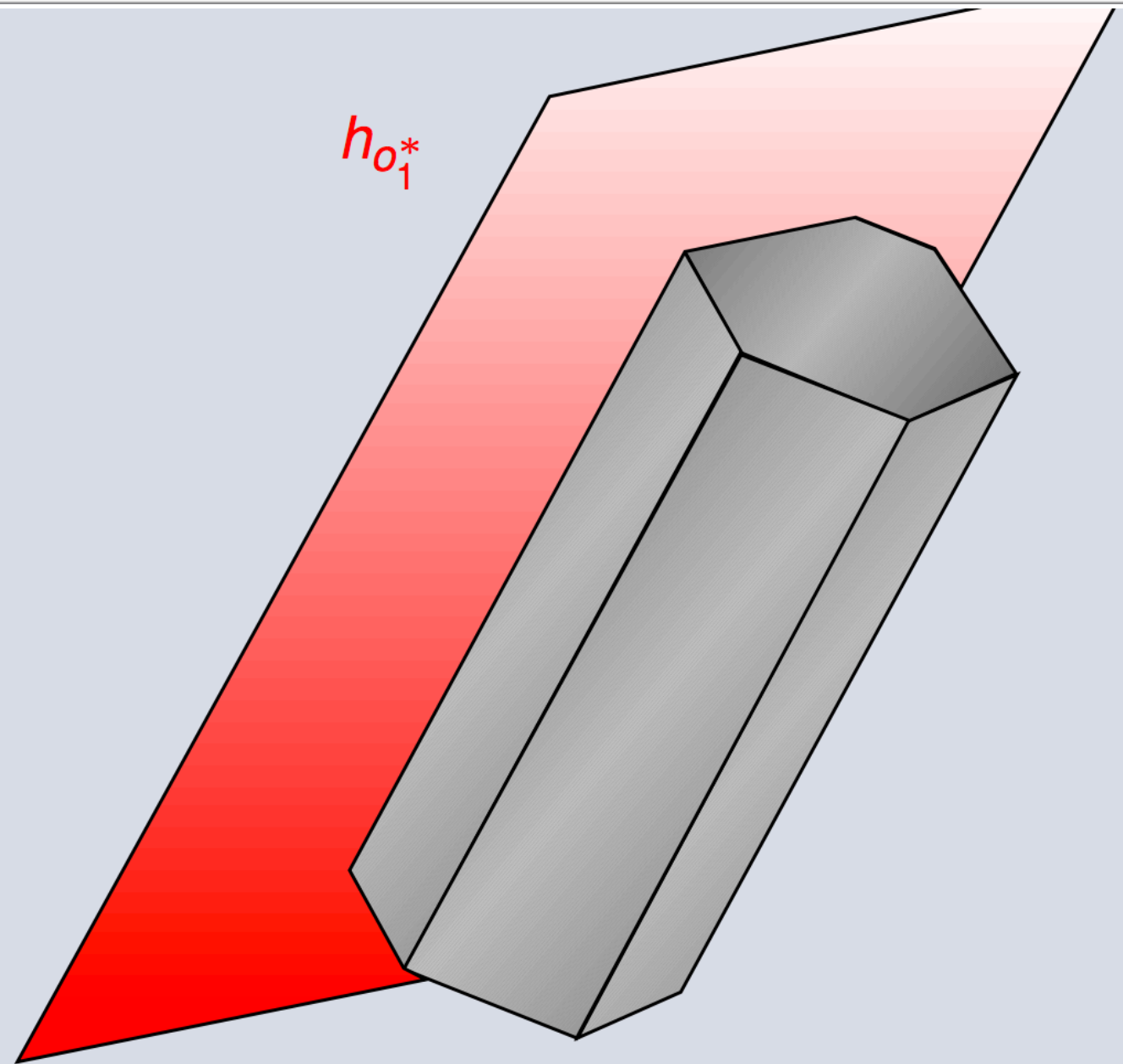
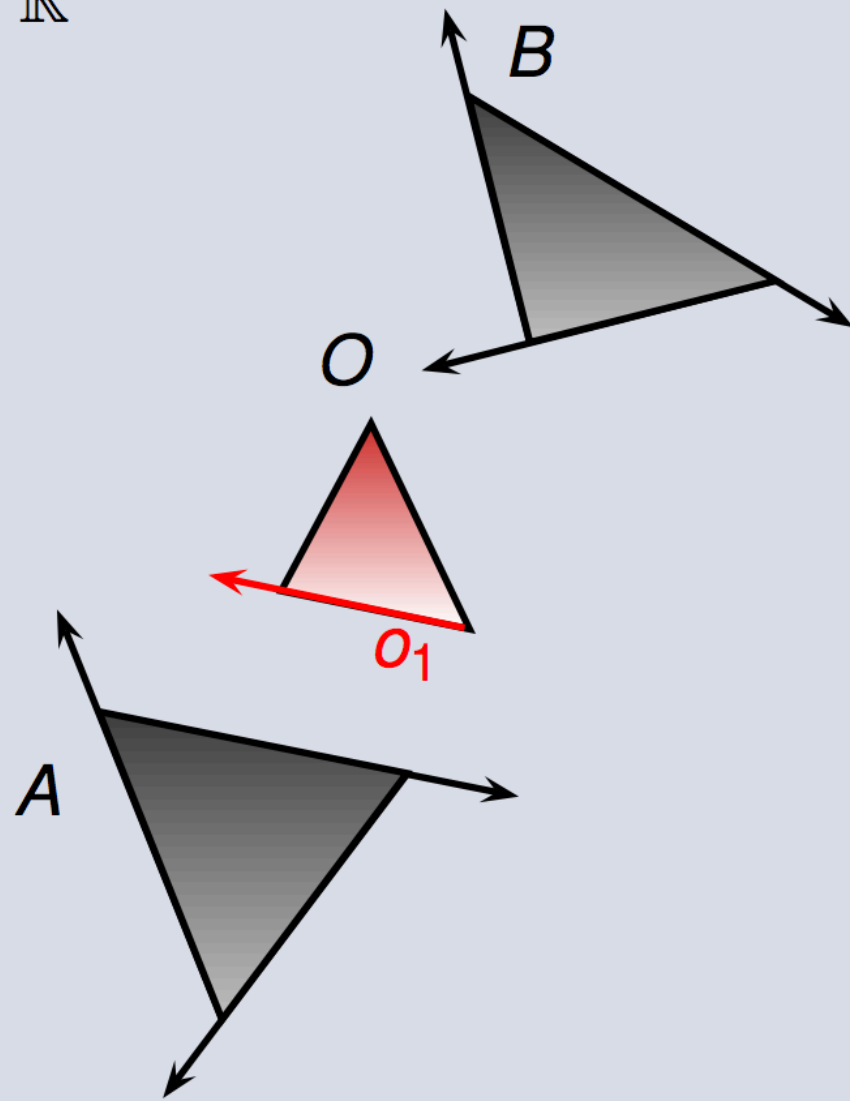


$\mathbb{P}^5$

- comment prendre en compte un bloqueur O qui nuit à la visibilité de A et B ?

# Espace de Plucker > visibilité polygone à polygone

$\mathbb{R}^3$

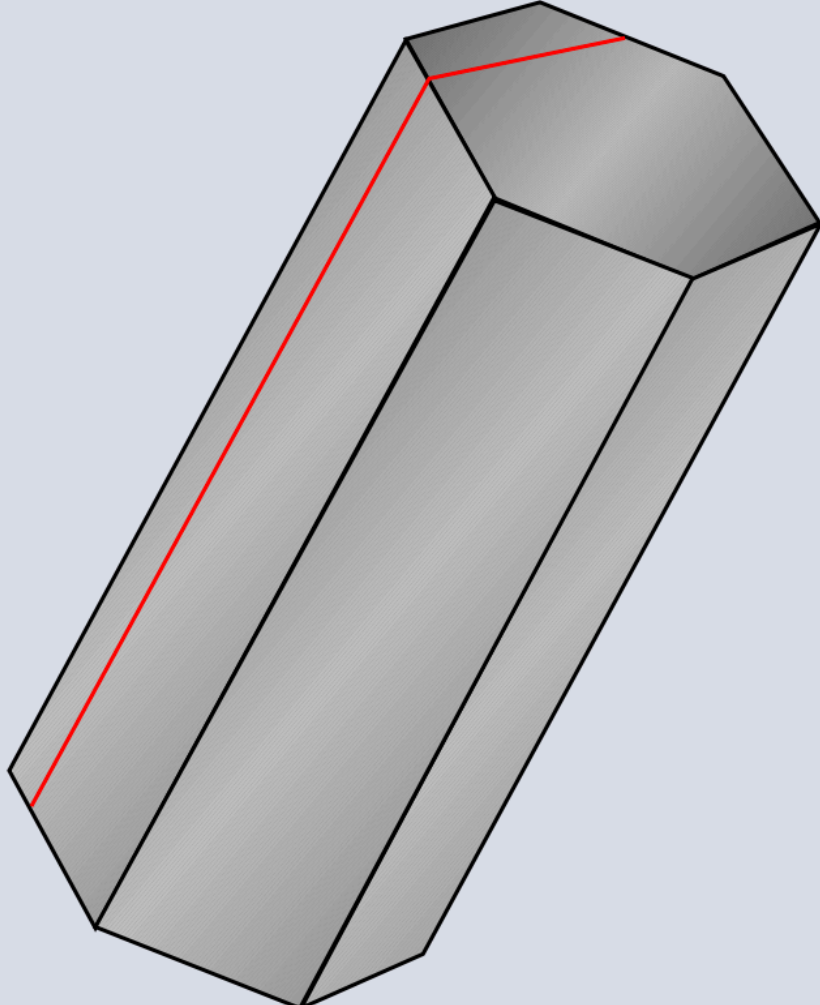
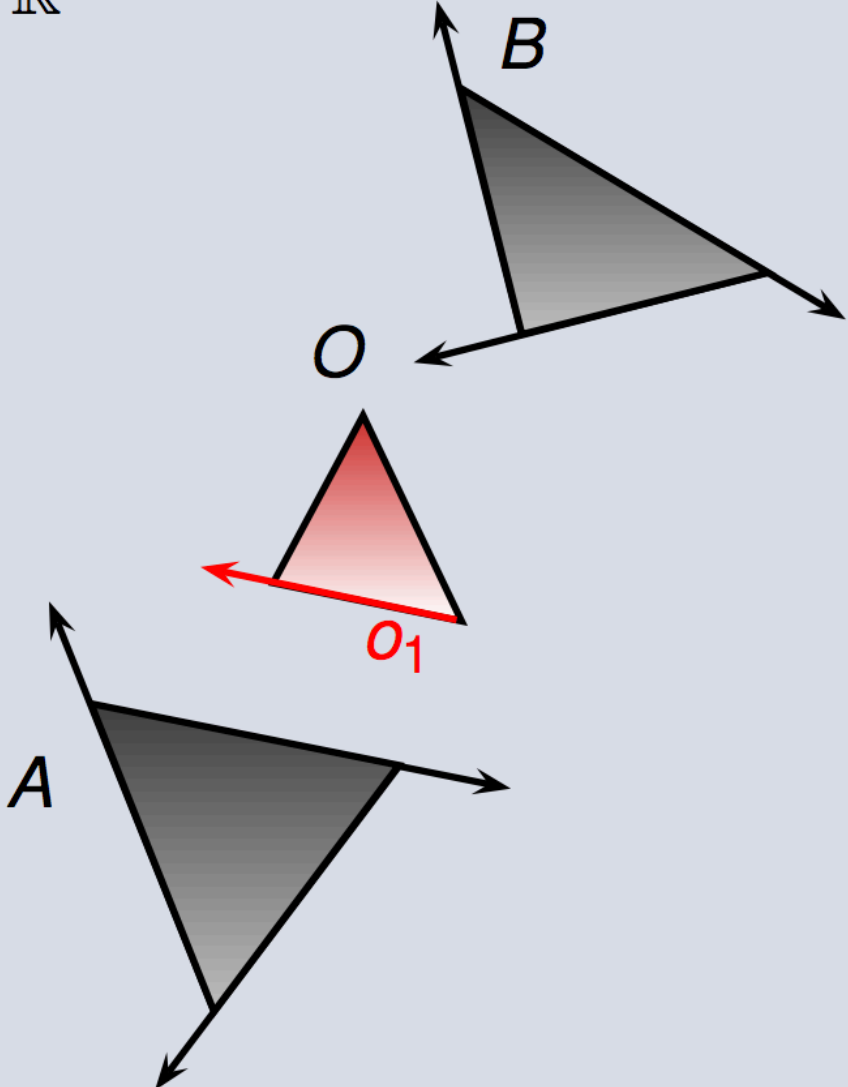


$\mathbb{P}^5$

- premier hp issu de la droite support de la première arête du bloqueur
- intersection du polytope par l'hyperplan

# Espace de Plucker > visibilité polygone à polygone

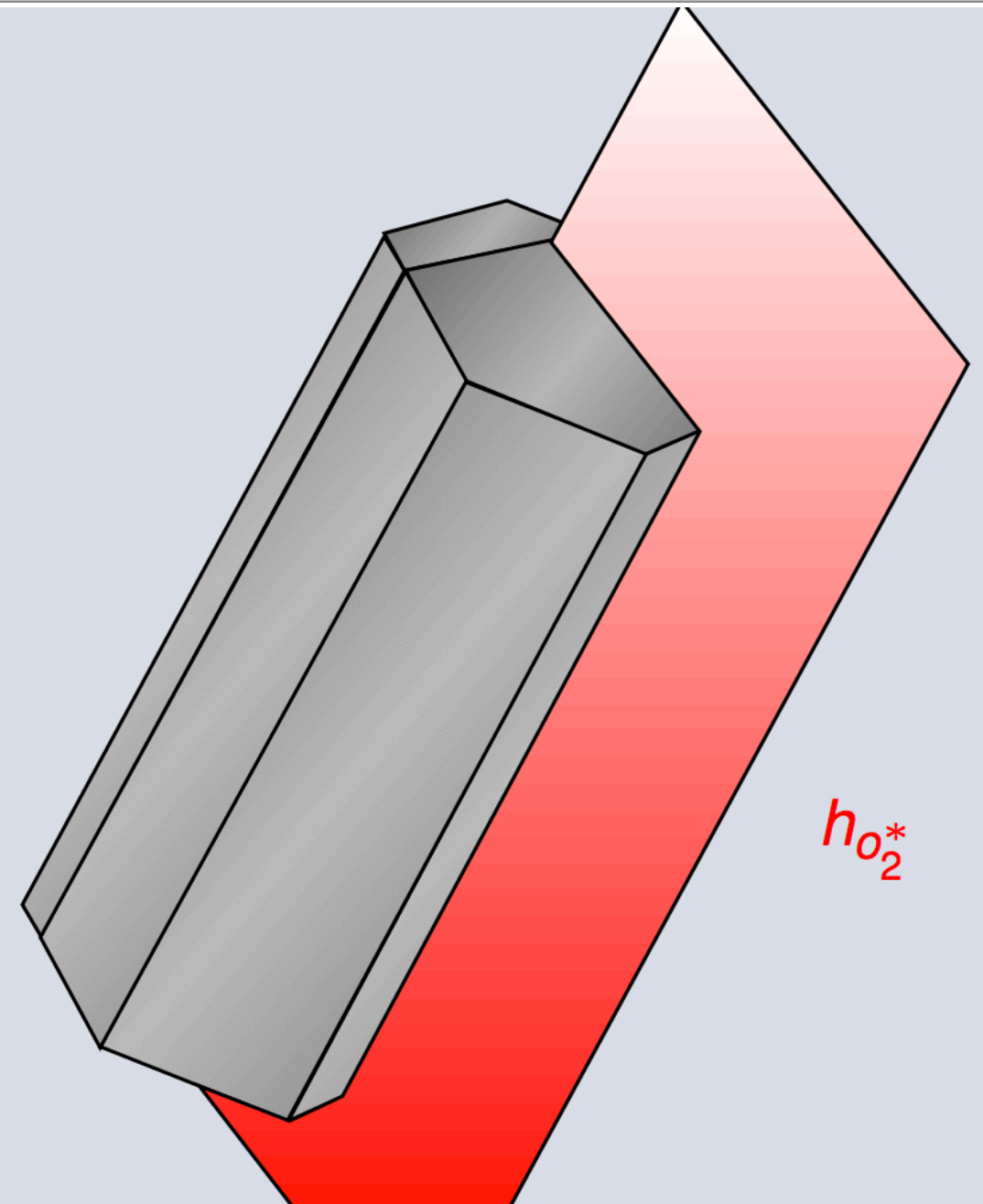
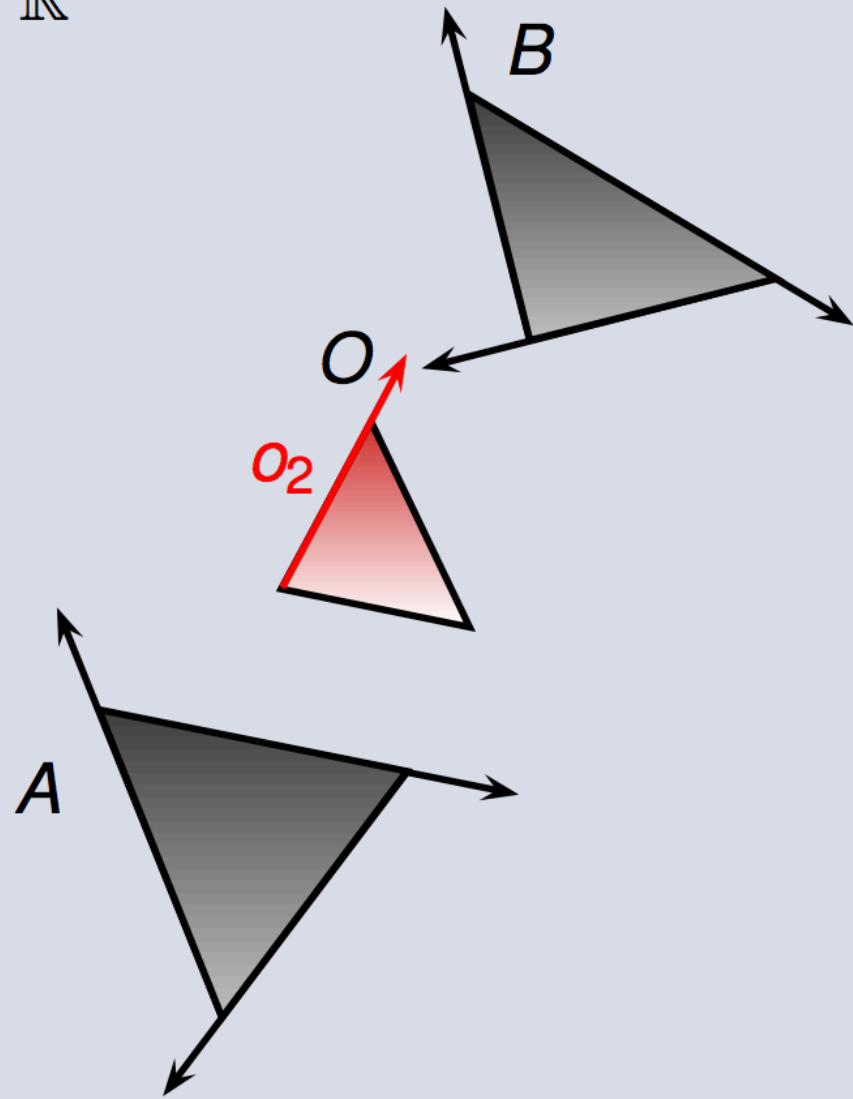
$\mathbb{R}^3$





# Espace de Plucker > visibilité polygone à polygone

$\mathbb{R}^3$

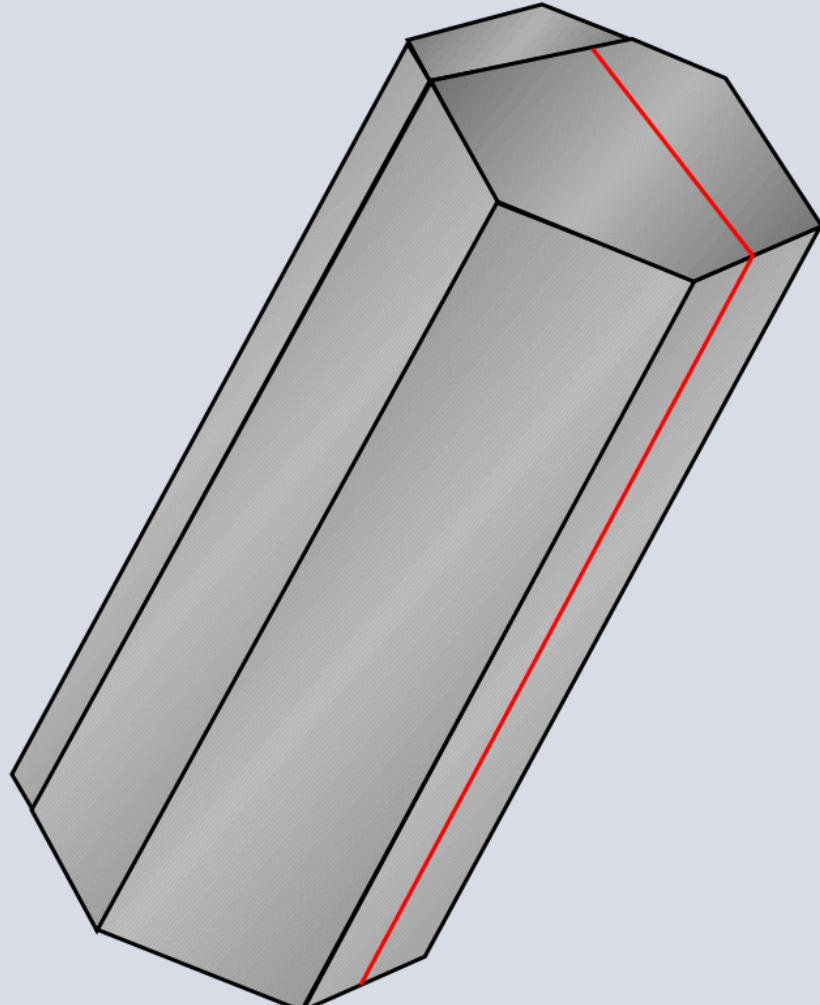
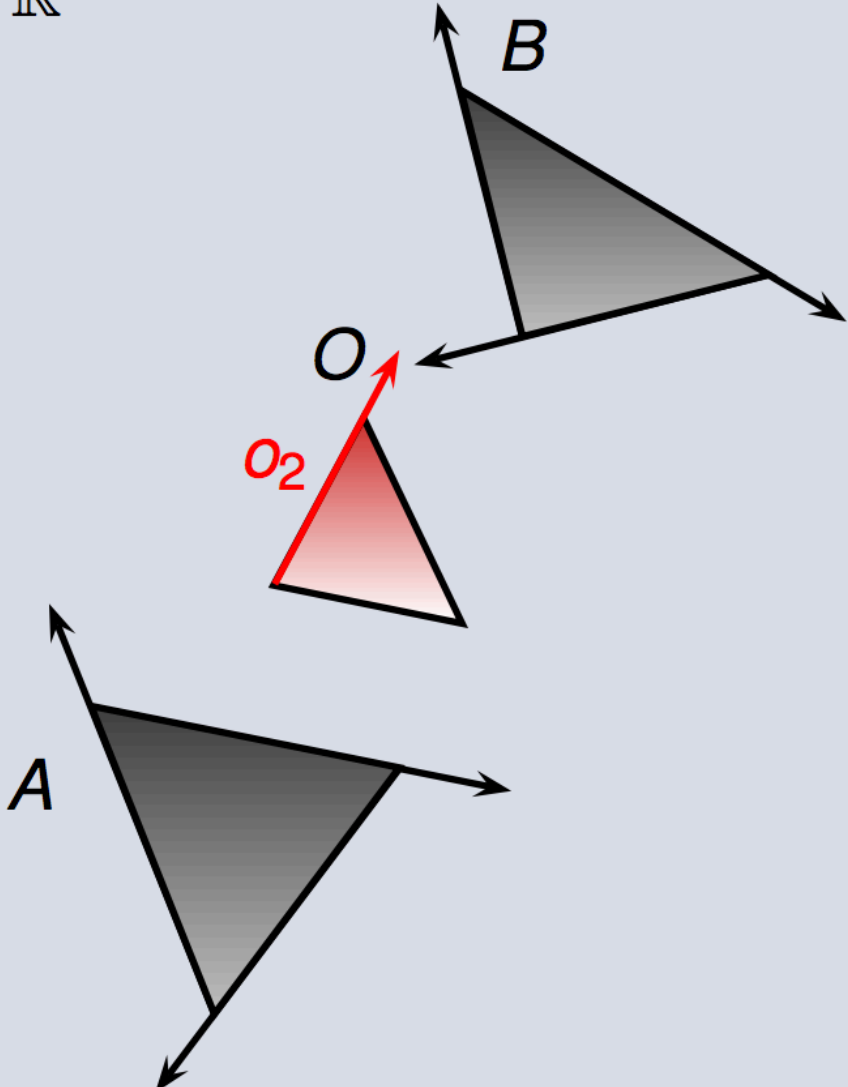


$\mathbb{P}^5$

- second hp issu de la droite support de la seconde arête du bloqueur
- intersection du polytope par l'hyperplan

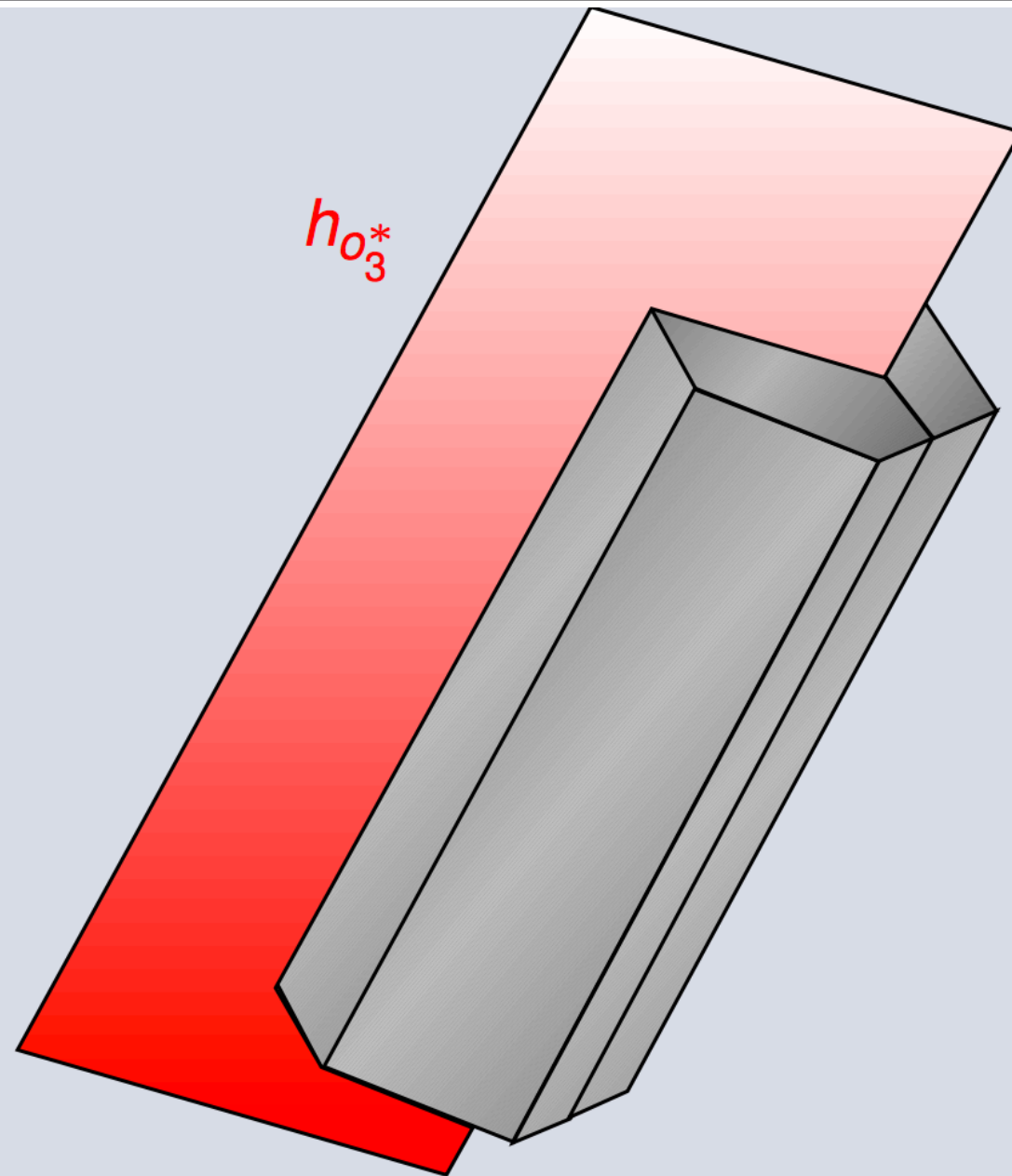
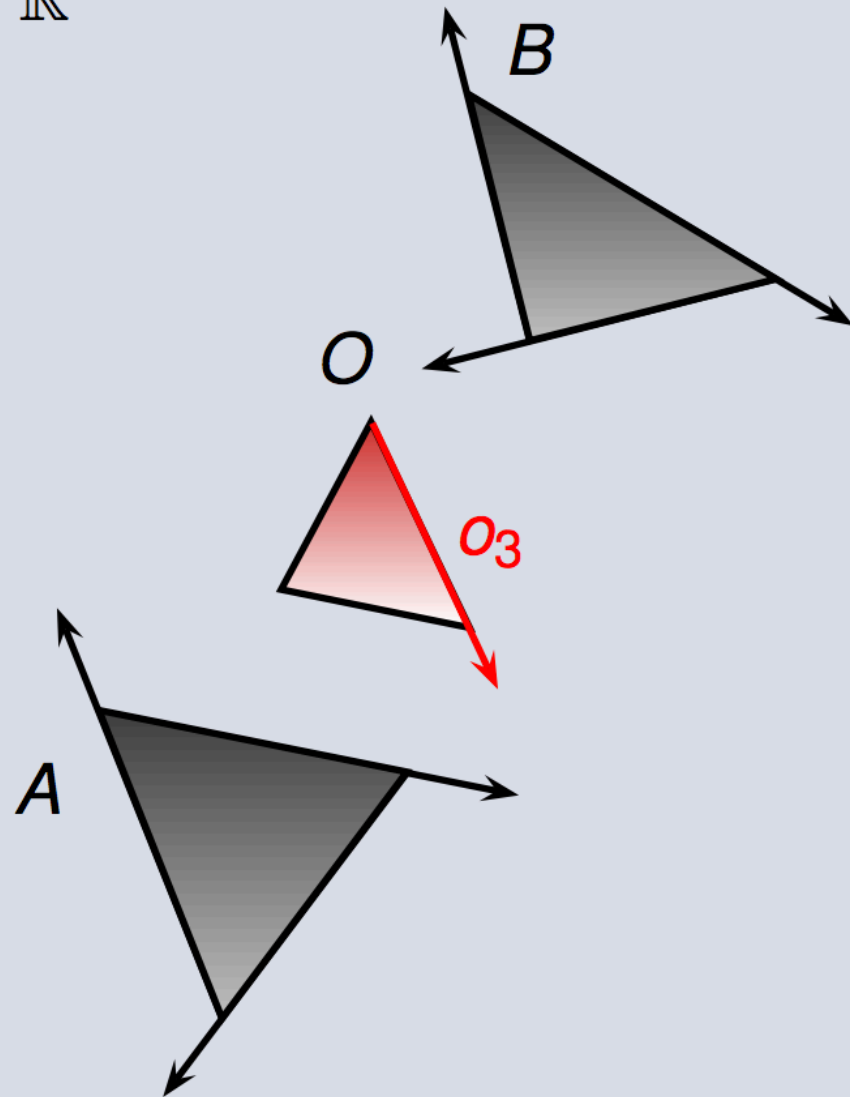
# Espace de Plucker > visibilité polygone à polygone

$\mathbb{R}^3$



# Espace de Plucker > visibilité polygone à polygone

$\mathbb{R}^3$

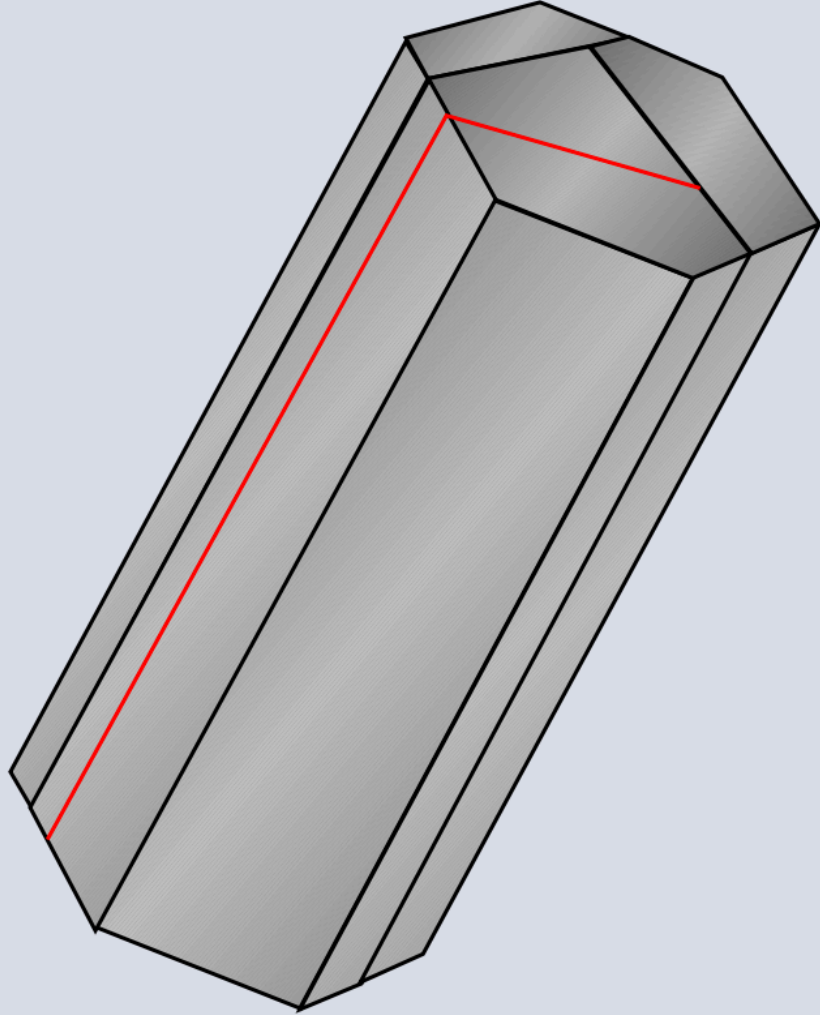
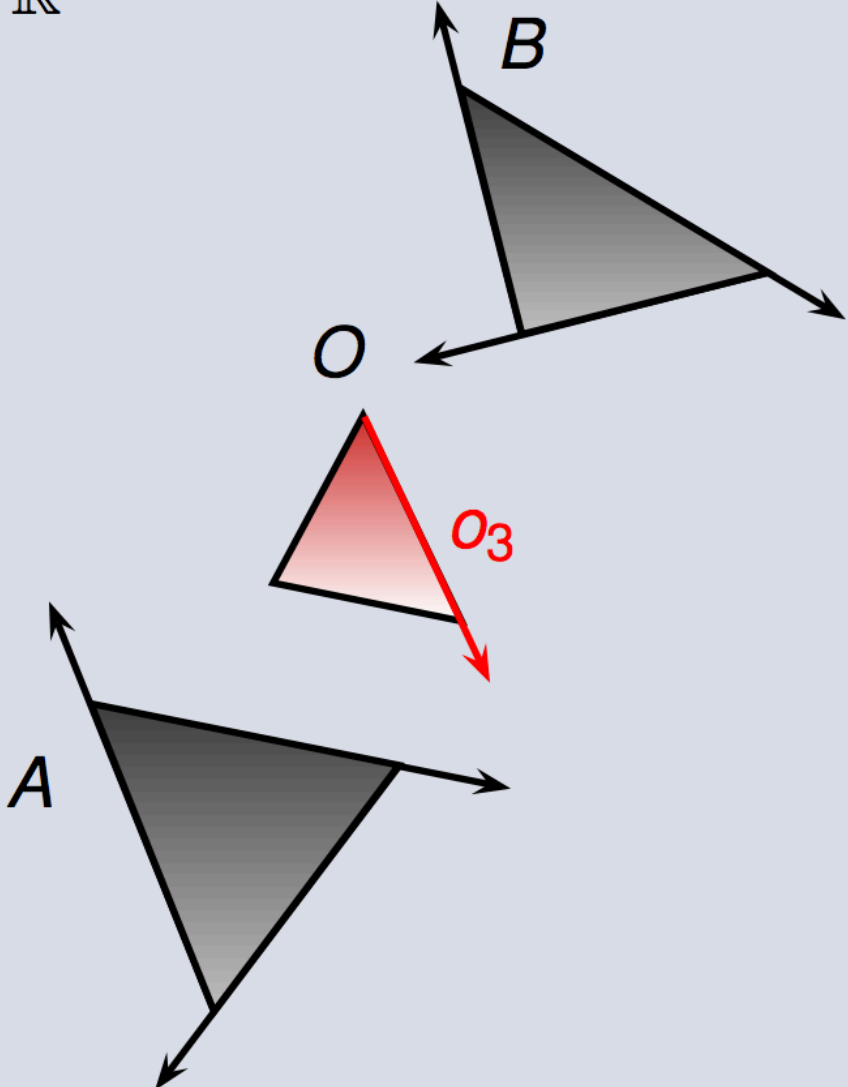


$\mathbb{P}^5$

- troisième hp issu de la droite support de la troisième arête du bloqueur
- intersection du polytope par l'hyperplan

# Espace de Plucker > visibilité polygone à polygone

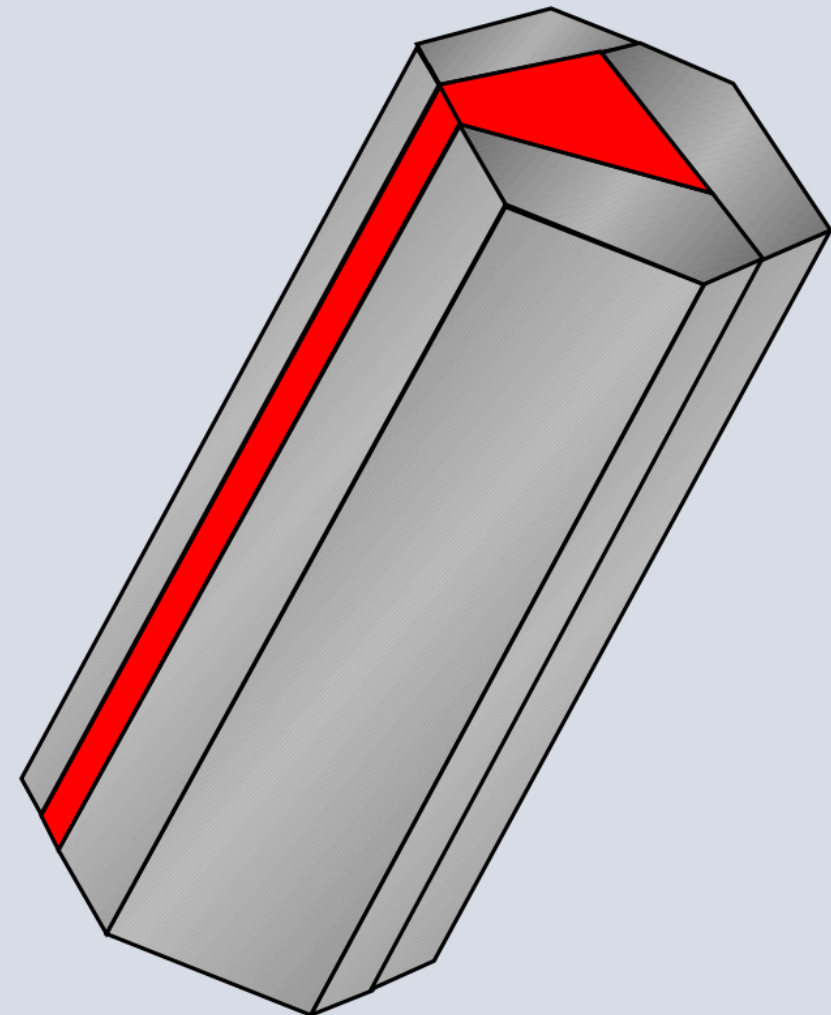
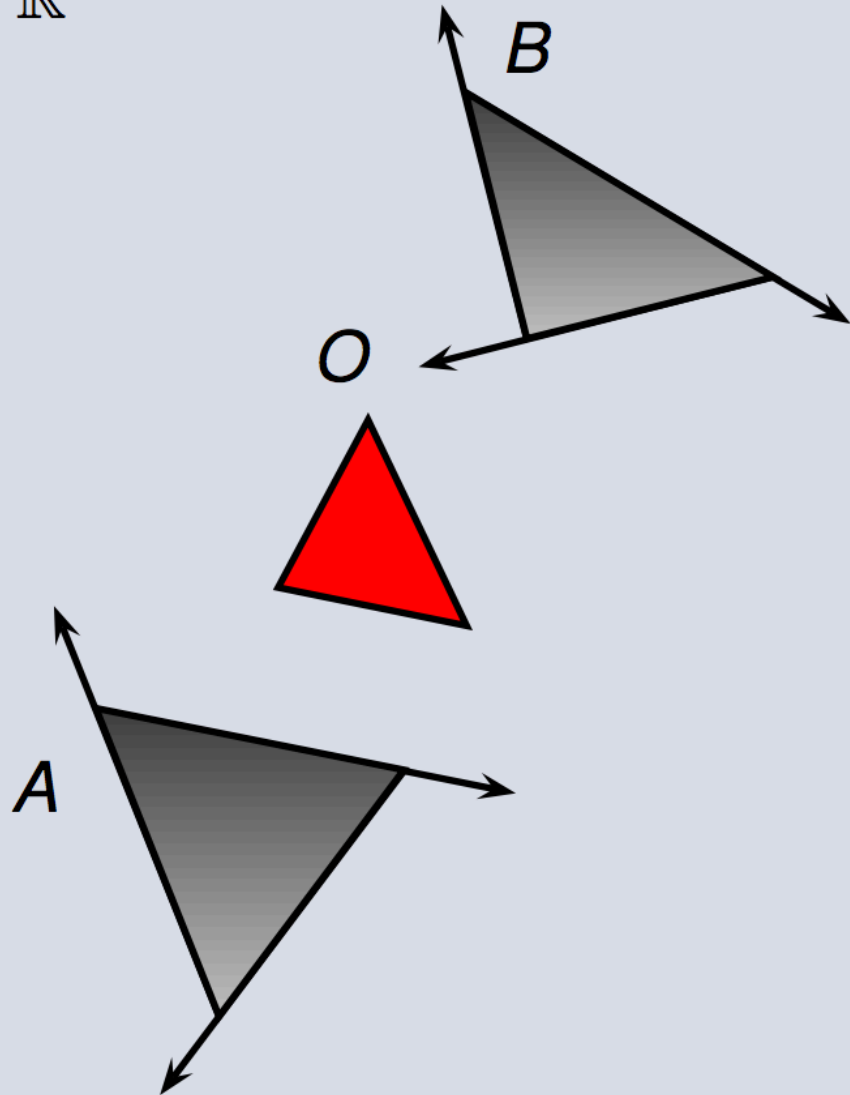
$\mathbb{R}^3$





# Espace de Plucker > visibilité polygone à polygone

$\mathbb{R}^3$

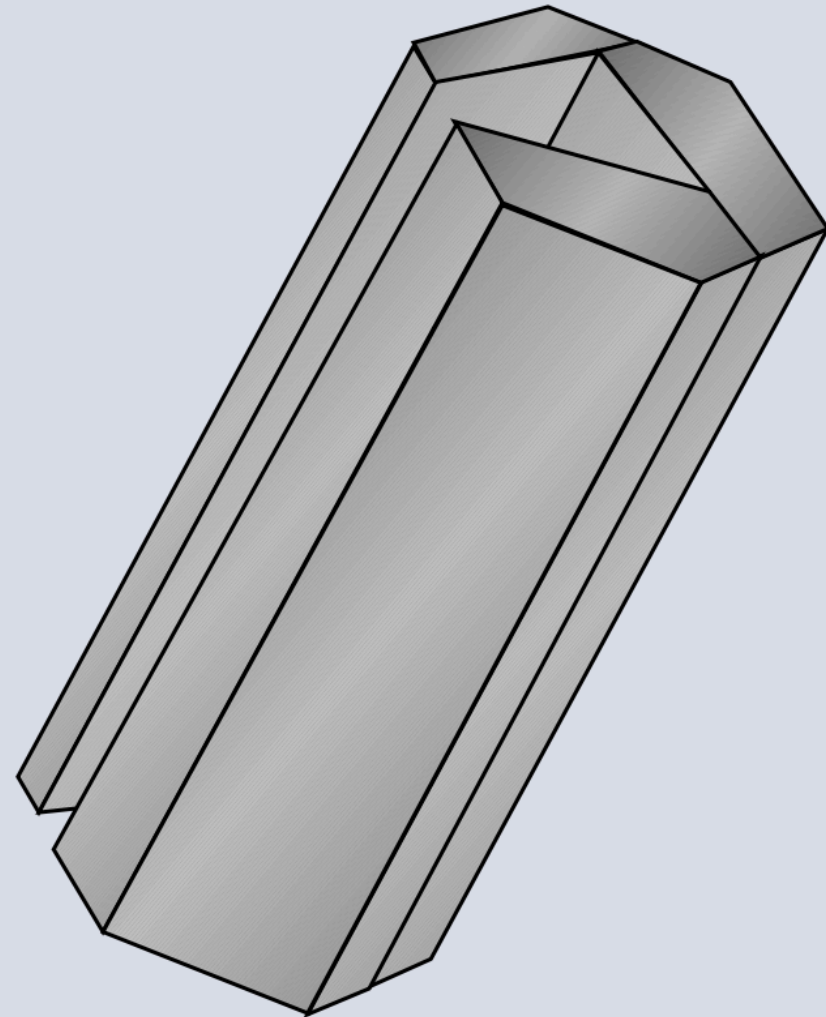
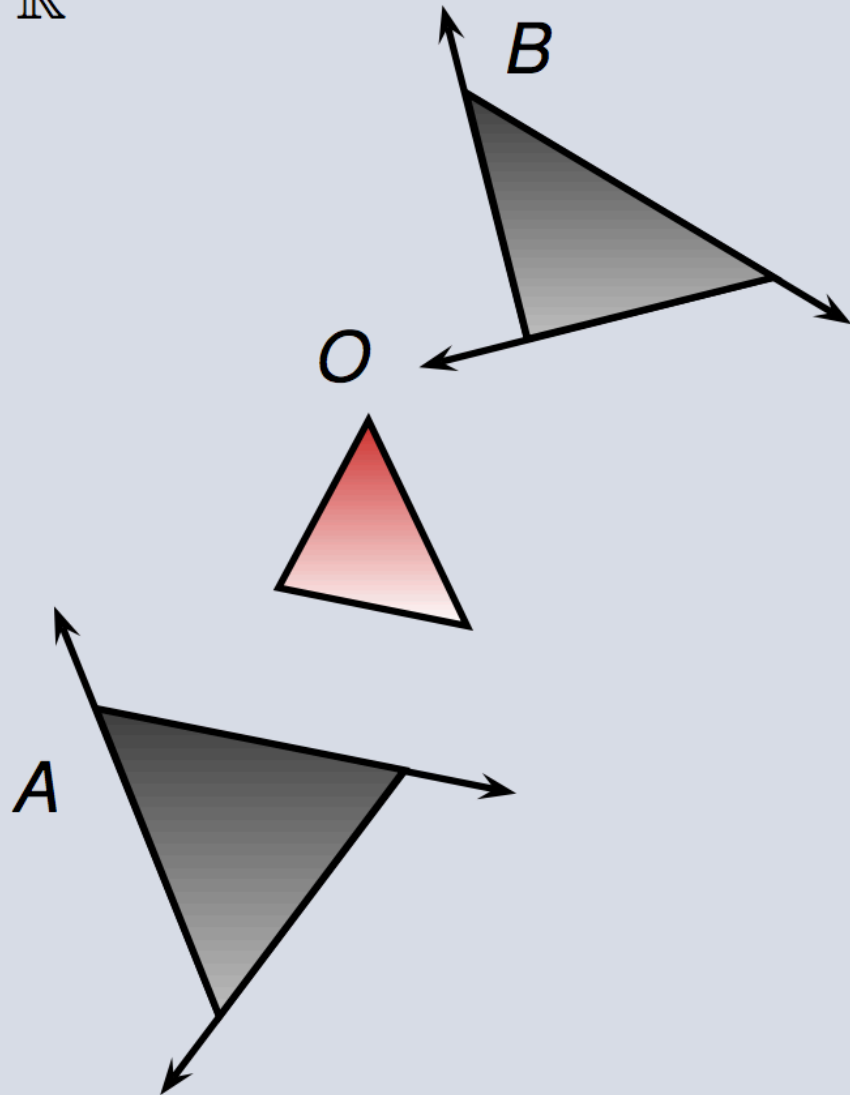


$\mathbb{P}^5$

- le résultat est un complexe de polytopes
- leurs intersections avec la quadrique de Plucker forment les classes d'équivalence
- polytope « rouge » : les droites intersectant A, O, B

# Espace de Plucker > visibilité polygone à polygone

$\mathbb{R}^3$

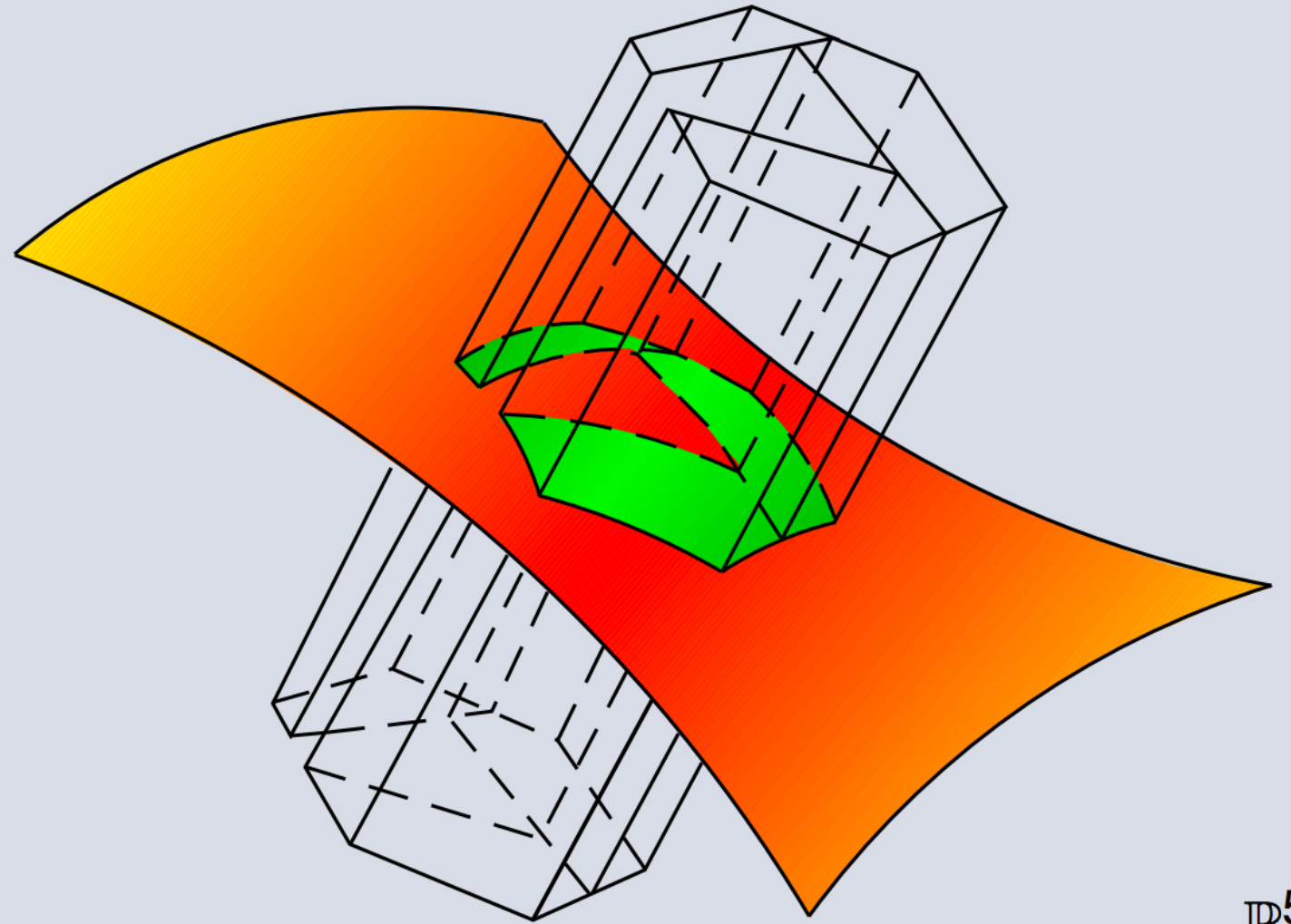
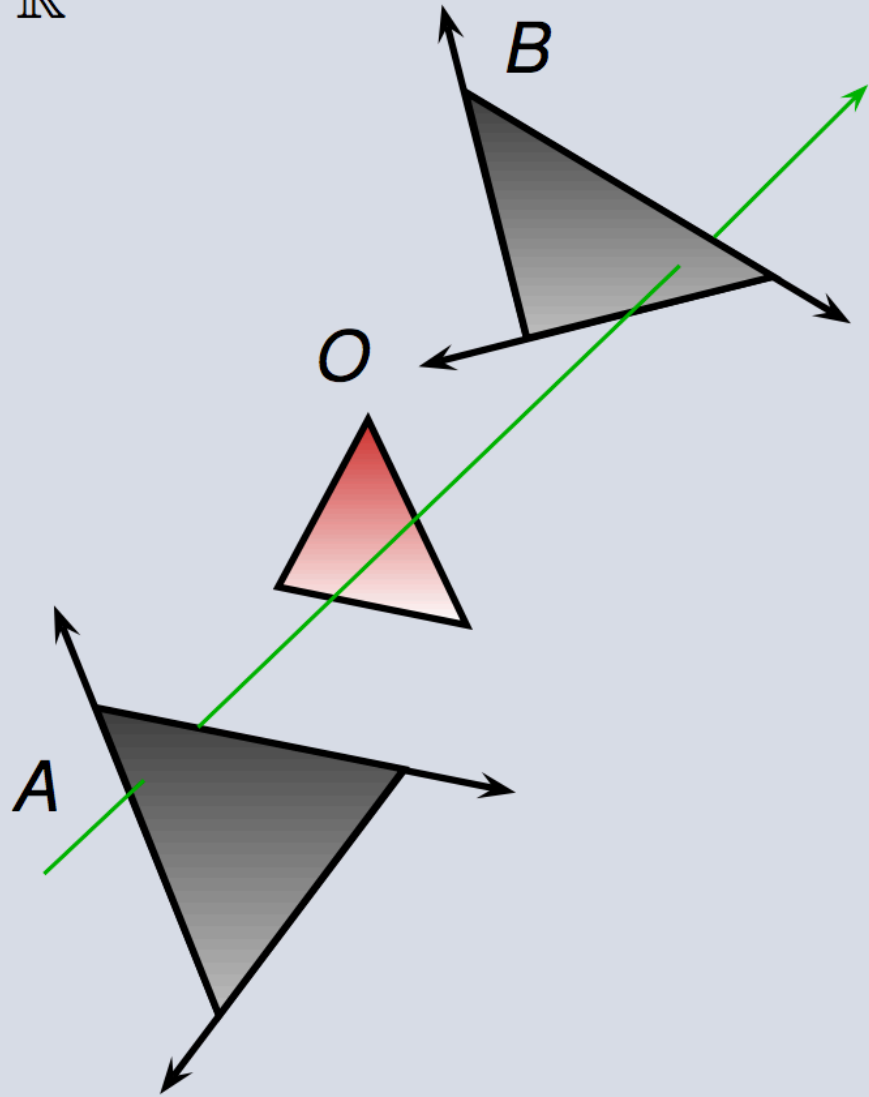


$\mathbb{P}^5$

- suppression des droites occultées
- on a calculé  $\mathcal{P}_{AB} - \bigcap_1^3 h_{o_i}^+$

# Espace de Plucker > visibilité polygone à polygone

$\mathbb{R}^3$

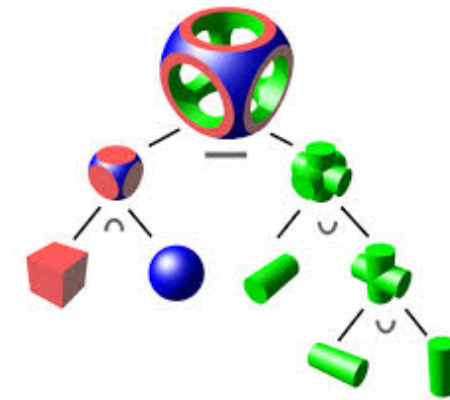


$\mathbb{P}^5$

- suppression des droites occultées
- on a calculé  $\mathcal{P}_{AB} - \bigcap_1^3 h_{o_i}^+$

# Espace de Plucker > en pratique

- ni plus ni moins que des opérations CSG
- mais en 5D...



Deux approches :

- **numérique** : résolution de système d'équations linéaires
- **géométrique / topologique**

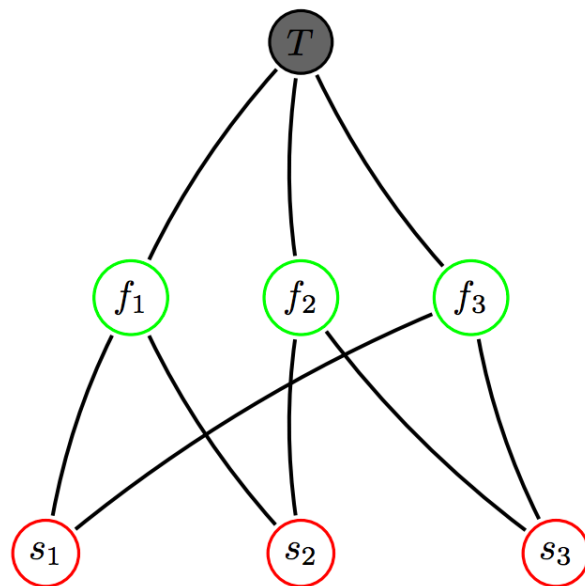
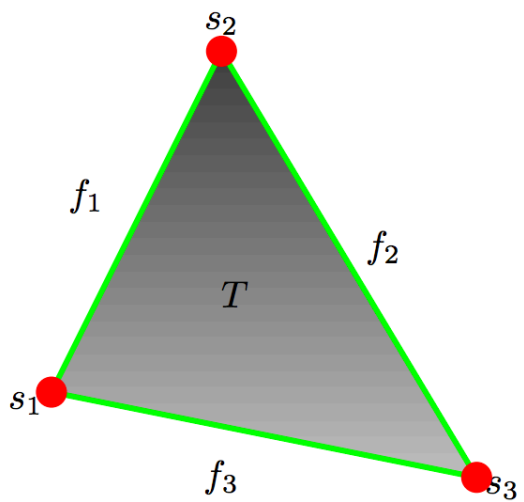


# Espace de Plucker > en pratique

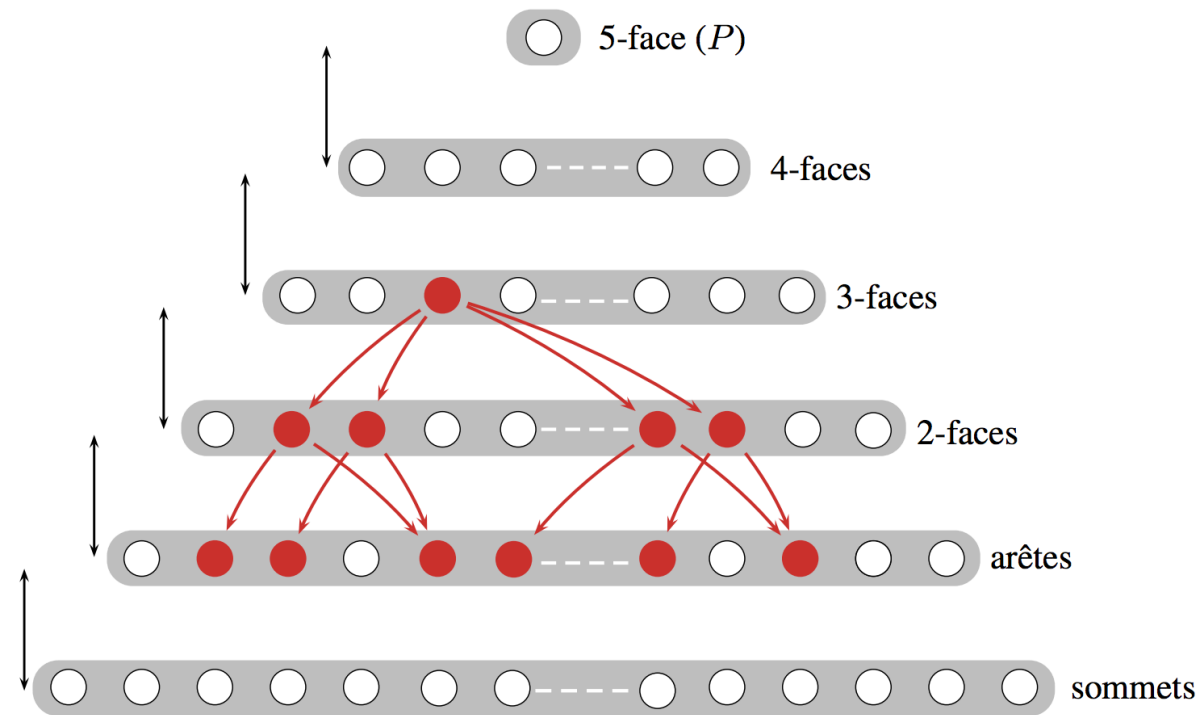
Un polytope se caractérise par

- sa H-représentation (ses hyperplans)
- sa V-représentation (ses sommets)

A partir des relations d'incidence entre la H et V-représentation, on peut calculer le graphe d'incidence d'un polytope :



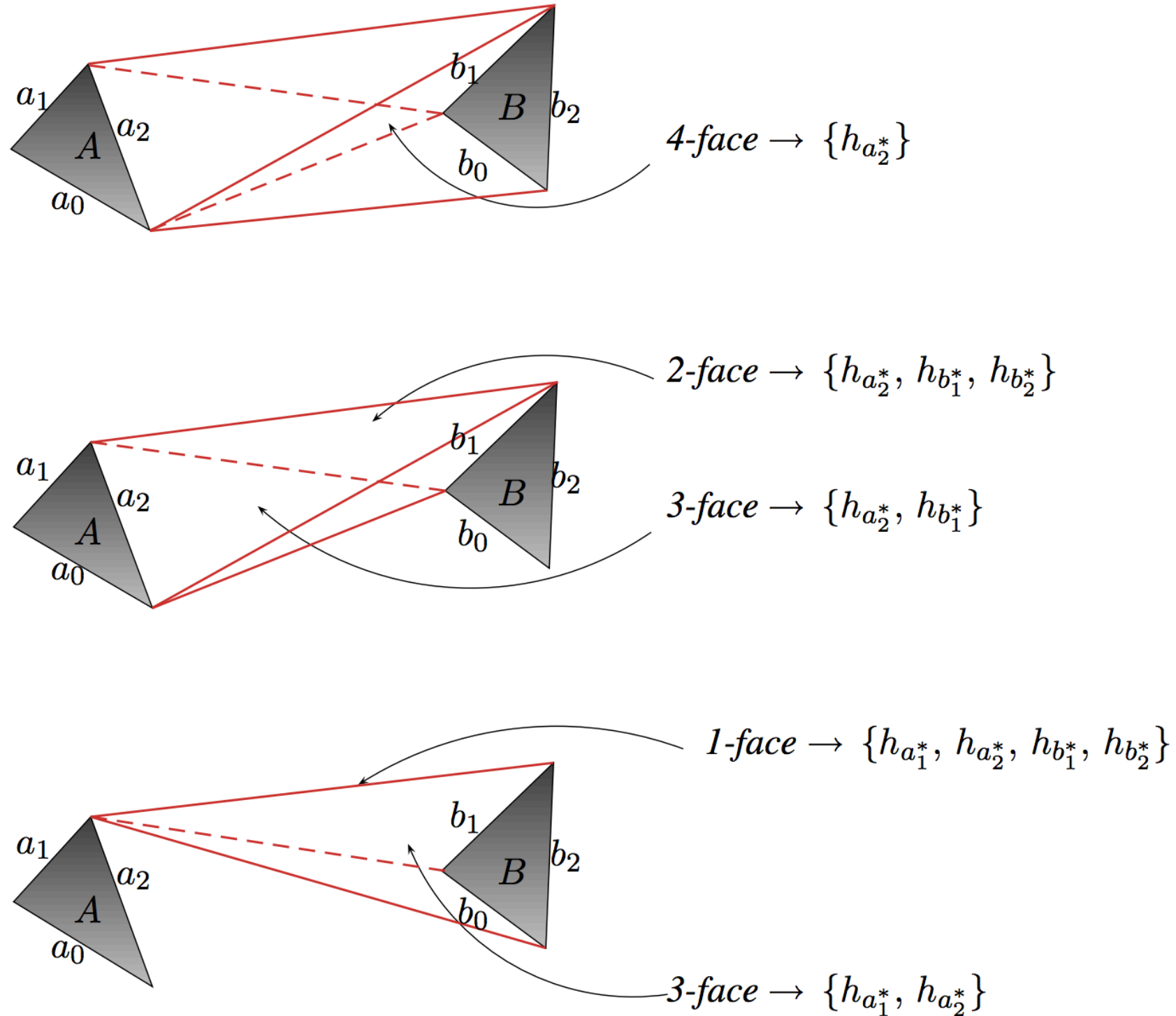
*exemple en 2D*



*exemple en 5D*

# Espace de Plucker > en pratique

Faces d'un de nos polytopes et interprétation en 3D

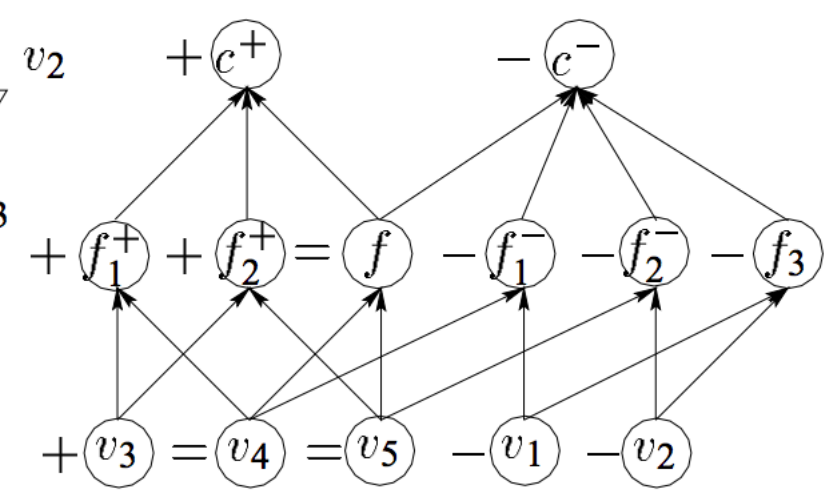
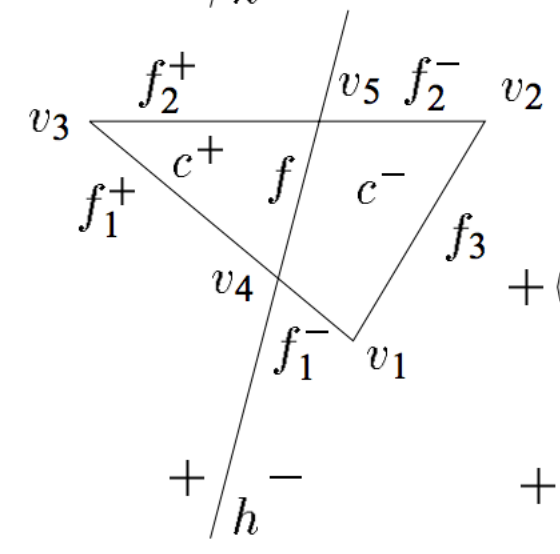
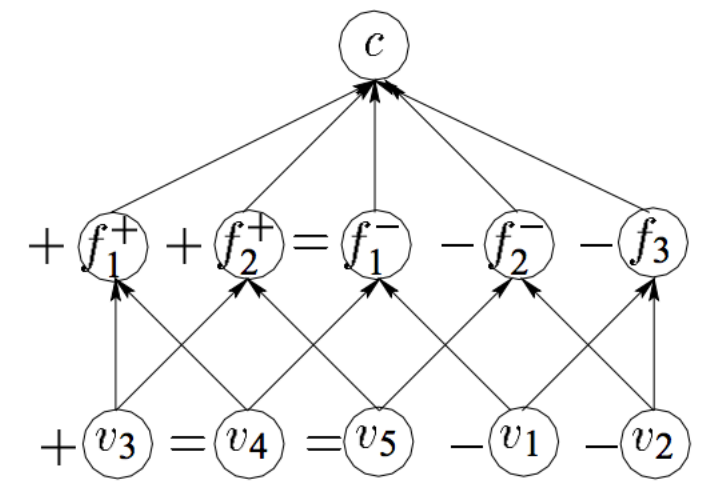
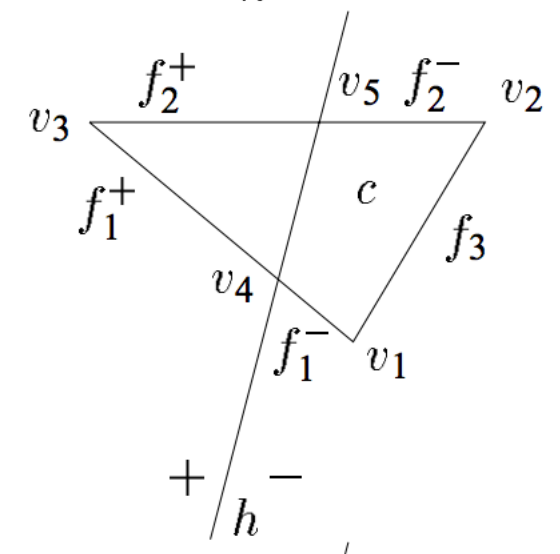
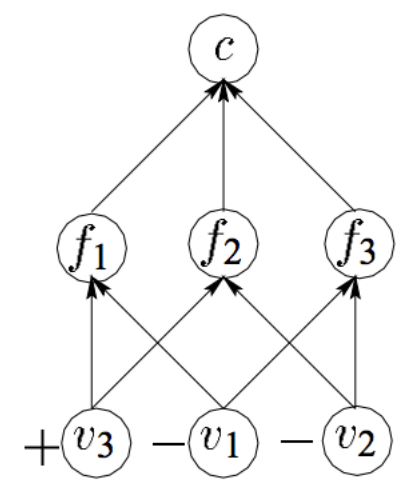
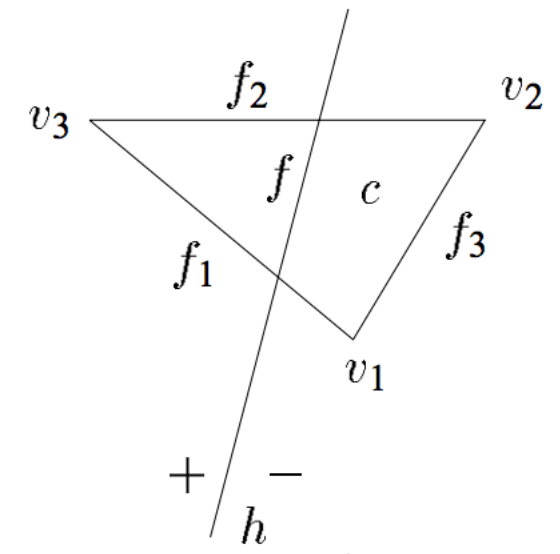


# Espace de Plucker > en pratique

On sait ensuite calculer l'intersection de polytopes par un hyperplan en se basant uniquement sur la classification initiale de ses sommets

Avantages :

- plus robuste numériquement
- fonctionne en toute dimension

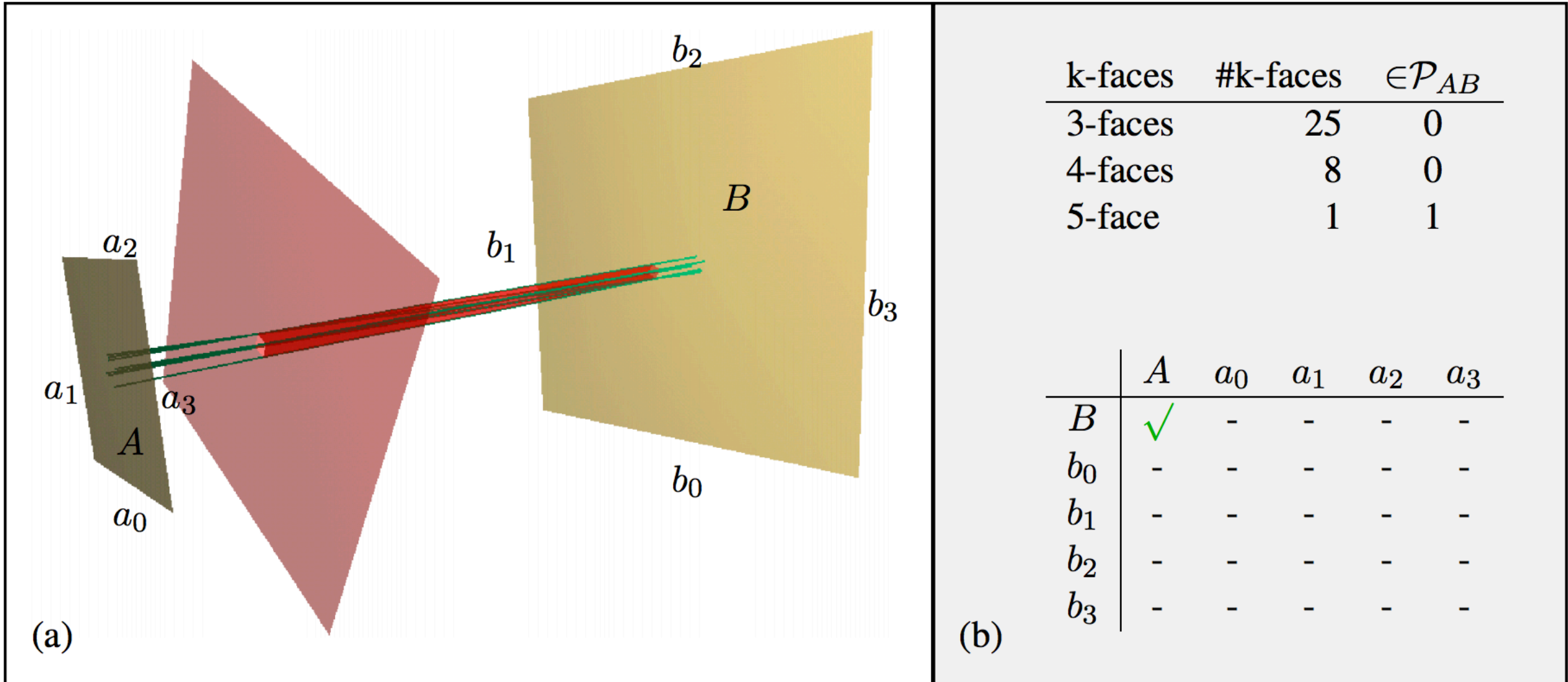


# Espace de Plucker > en pratique

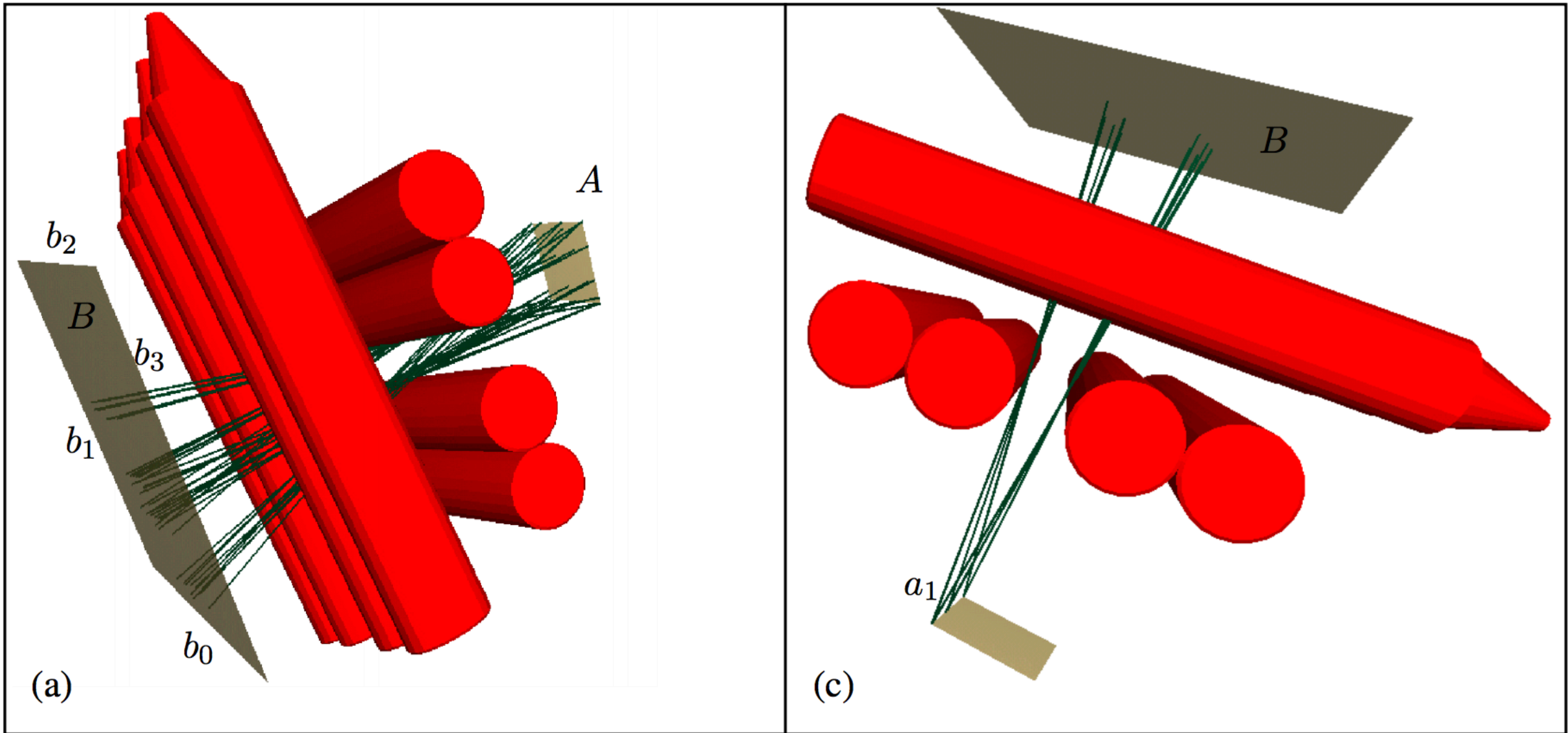
<p>Diagram showing a plane <math>\mathcal{P}</math> and a curve. A dashed red line <math>h_1</math> is tangent to the curve at a point on the plane.</p>	$  \begin{array}{c}  \mathcal{P}, h_1 \\  \swarrow \quad \searrow \\  \mathcal{P} \cap h_1^- \qquad \mathcal{P} \cap h_1^+  \end{array}  $
<p>Diagram showing a plane <math>\mathcal{P}</math> and a curve. A dashed red line <math>h_2</math> is tangent to the curve at a point on the plane. Another dashed red line <math>h_1</math> is also shown.</p>	$  \begin{array}{c}  \mathcal{P}, h_1 \\  \swarrow \quad \searrow \\  \mathcal{P} \cap h_1^- \qquad \mathcal{P} \cap h_1^+, h_2 \\  \qquad \qquad \swarrow \quad \searrow \\  \mathcal{P} \cap h_1^+ \cap h_2^- \qquad \mathcal{P} \cap h_1^+ \cap h_2^+  \end{array}  $
<p>Diagram showing a plane <math>\mathcal{P}</math> and a curve. A dashed red line <math>h_2</math> is tangent to the curve at a point on the plane. Another dashed red line <math>h_1</math> is also shown.</p>	$  \begin{array}{c}  \mathcal{P}, h_1 \\  \swarrow \quad \searrow \\  \mathcal{P} \cap h_1^- \qquad \mathcal{P} \cap h_1^+, h_2 \\  \qquad \qquad \swarrow \quad \searrow \\  \text{invisible} \qquad \mathcal{P} \cap h_1^+ \cap h_2^+  \end{array}  $



# Espace de Plucker > interprétation des k-faces



# Espace de Plucker > interprétation des k-faces



(a)

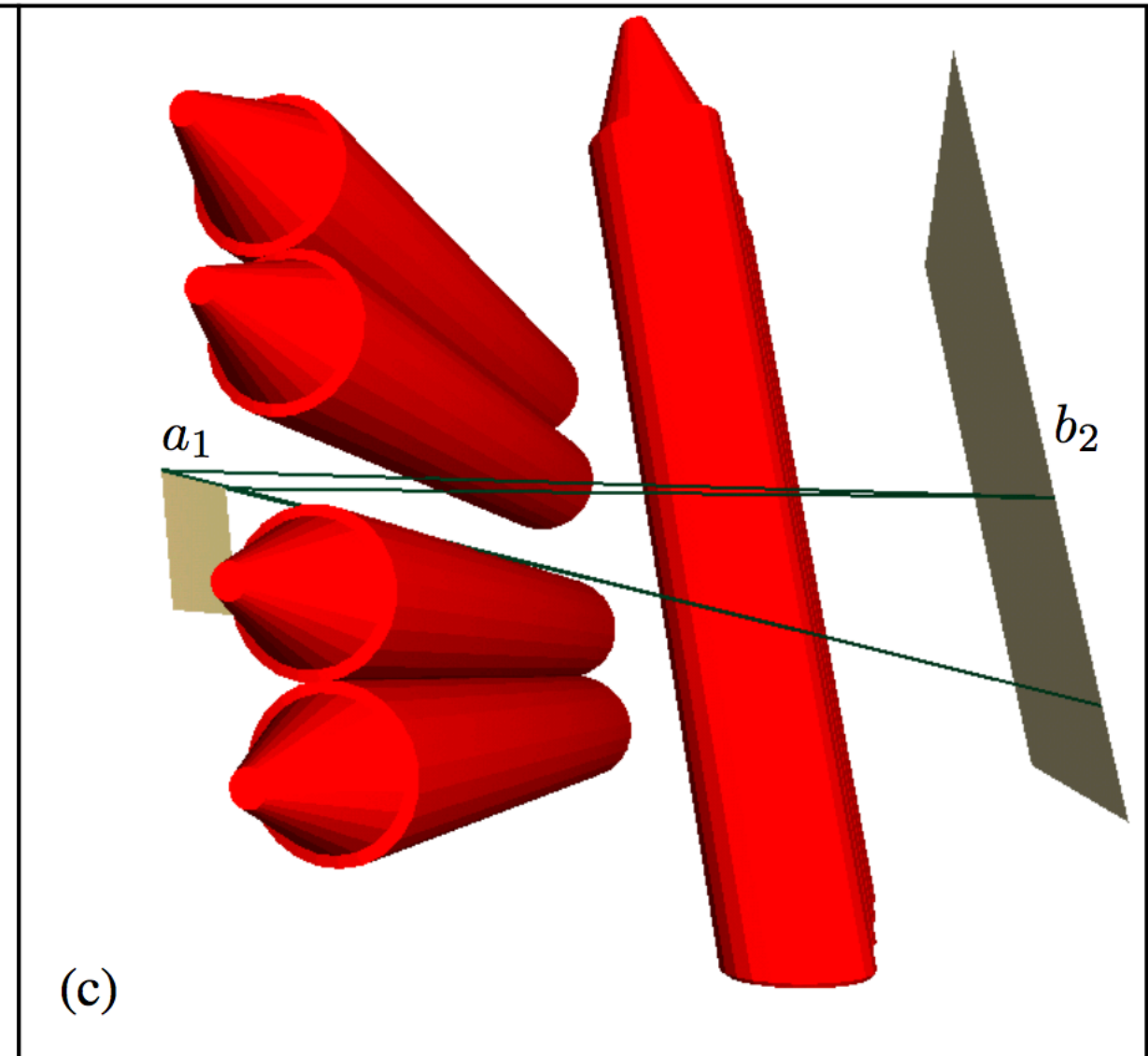
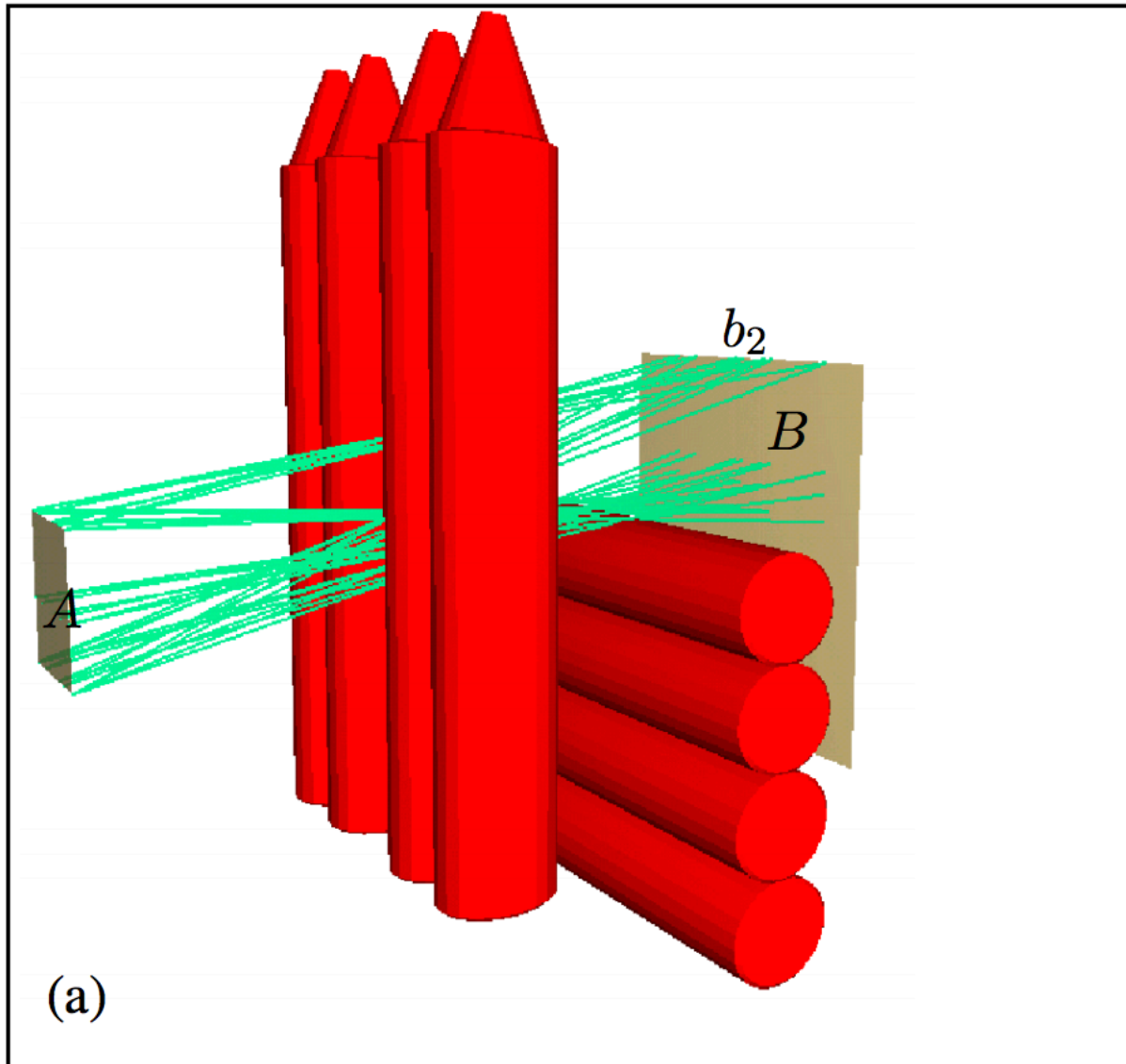
(c)

(b)

k-faces	#k-faces	$\in \mathcal{P}_{AB}$
3-faces	206	0
4-faces	27	4
5-face	1	1

	$A$	$a_0$	$a_1$	$a_2$	$a_3$
$B$	✓	✓	✓	✓	✓
$b_0$	-	-	-	-	-
$b_1$	-	-	-	-	-
$b_2$	-	-	-	-	-
$b_3$	-	-	-	-	-

# Espace de Plucker > interprétation des k-faces



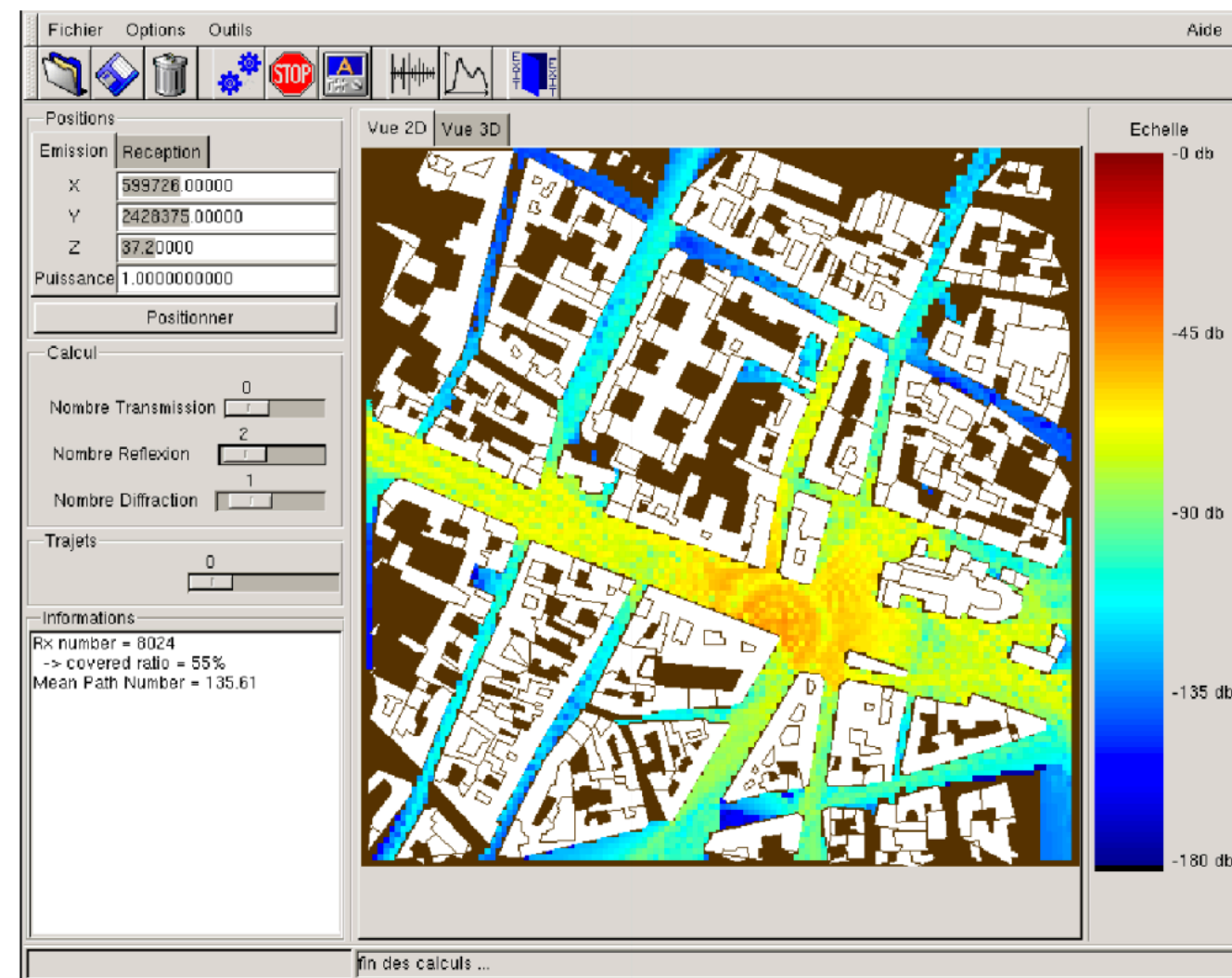
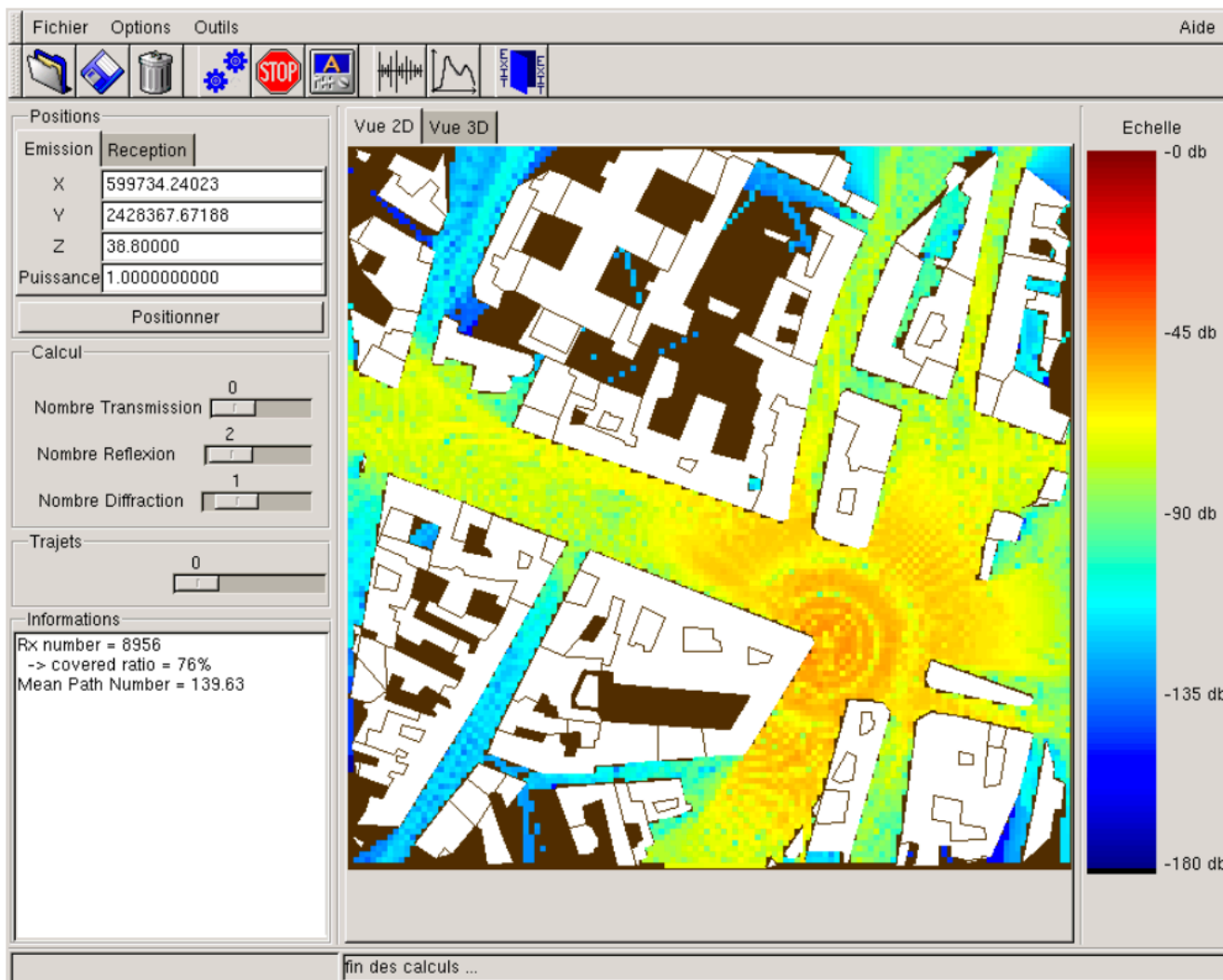
k-faces	#k-faces	$\in \mathcal{P}_{AB}$
3-faces	145	4
4-faces	22	5
5-face	1	1

	$A$	$a_0$	$a_1$	$a_2$	$a_3$
$B$	✓	✓	✓	✓	✓
$b_0$	-	-	-	-	-
$b_1$	-	-	-	-	-
$b_2$	✓	✓	✓	✓	✓
$b_3$	-	-	-	-	-

(b)

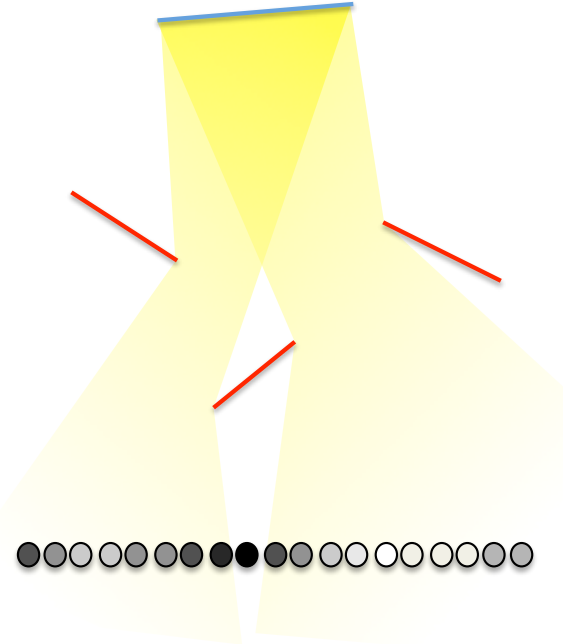
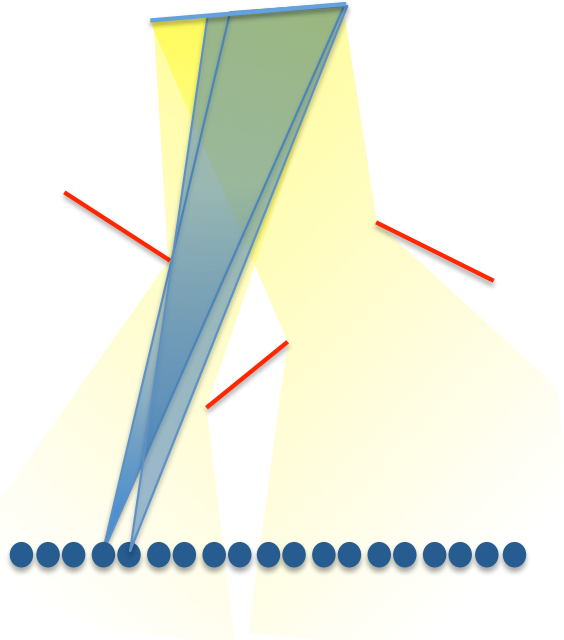
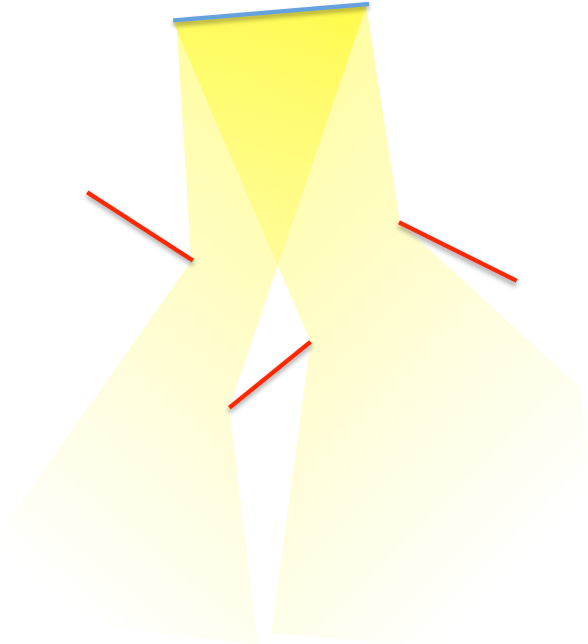
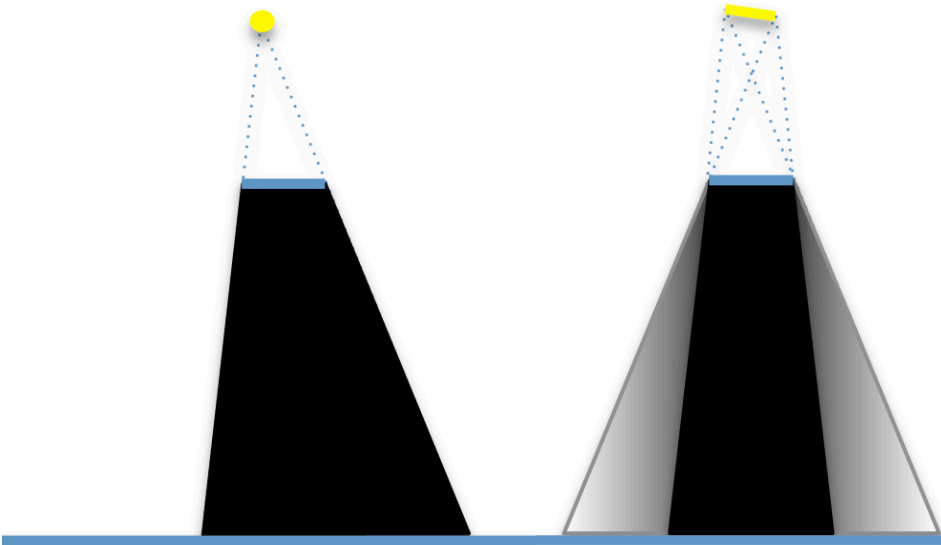
# Applications > propagation électromagnétique



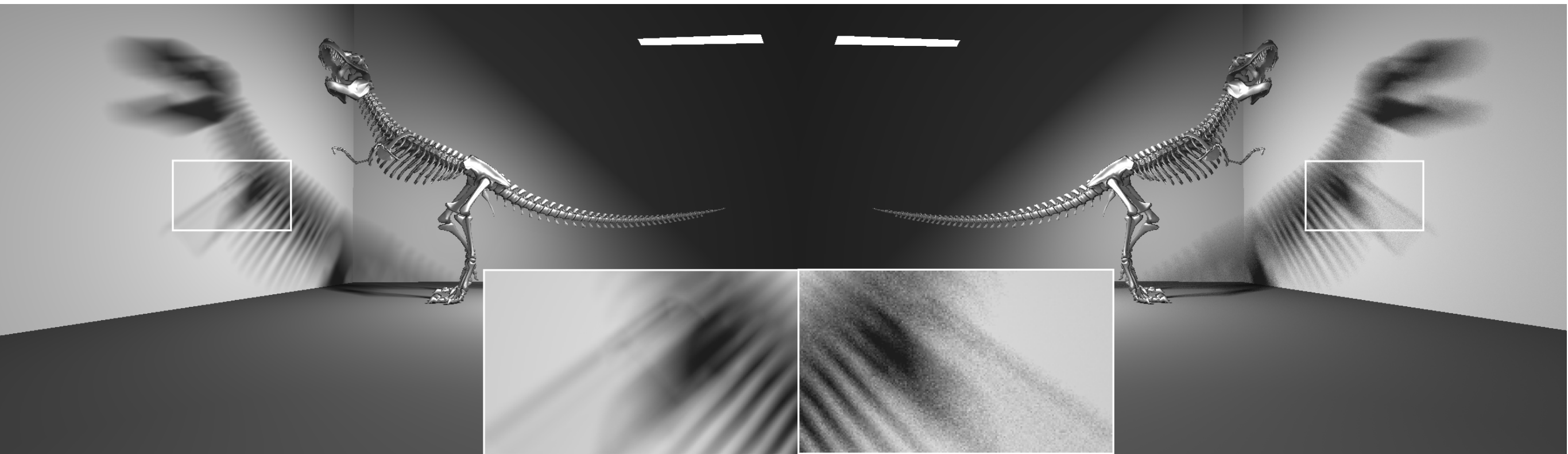
Interactions	Paris A (8983 récepteurs)		Paris B (8024 récepteurs)	
	Avec GV	Sans GV	Avec GV	Sans GV
1R 0D	3s	10s	4s	26s
2R 0D	36s	2h 55min 24s	34s	> 1j 8h
2R 1D	3h 18min	> 3 ans	7h 16min	-
3R 0D	23min 18s	> 8 mois	34min 23s	-



# Applications > ombre douces analytiques



# Applications > ombre douces analytiques

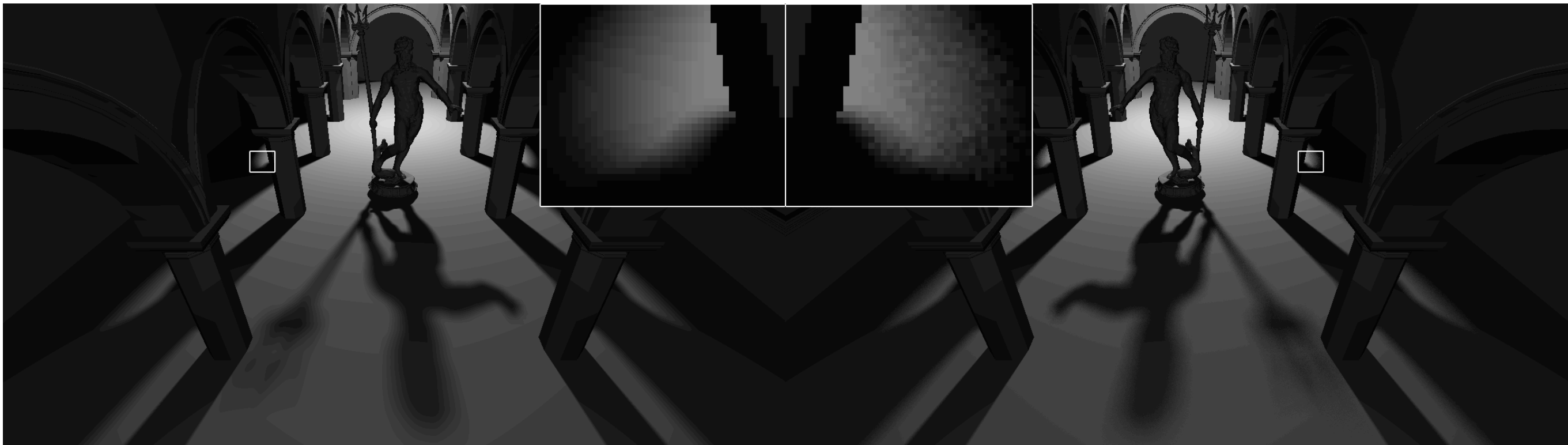


**T-Rex (26K triangles)**

**Time : 6.5s**  
**Memory : 19 MB**

**Time : 7s**  
**32 samples**

# Applications > ombre douces analytiques



**Sponza with Neptune (1 15K triangles)**

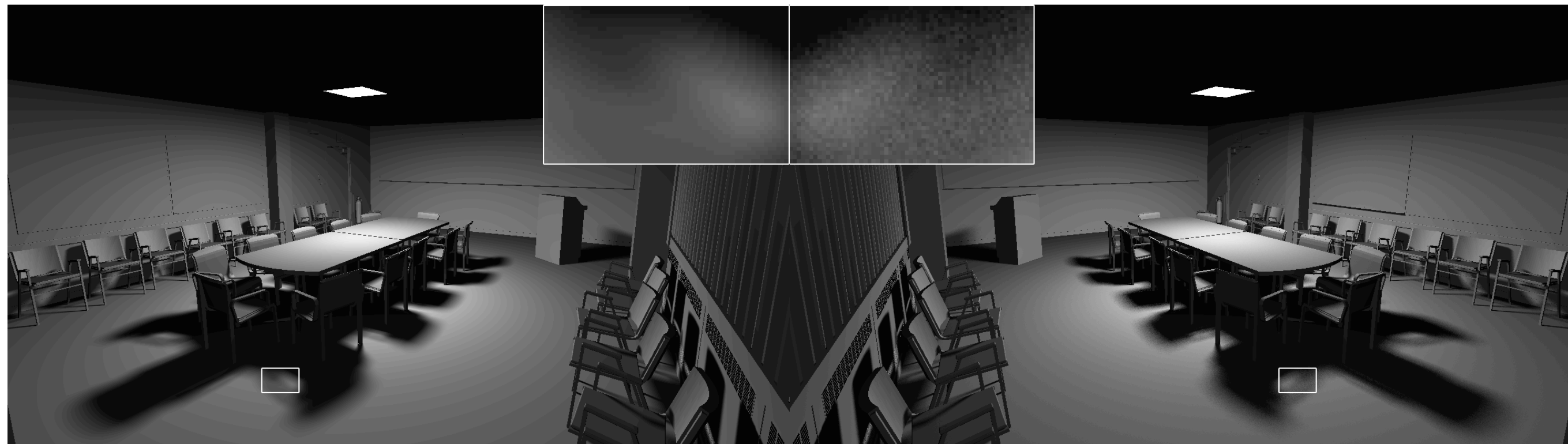
**Time : 7s**

**Memory : 16 MB**

**Time : 7s**

**32 samples**

# Applications > ombre douces analytiques



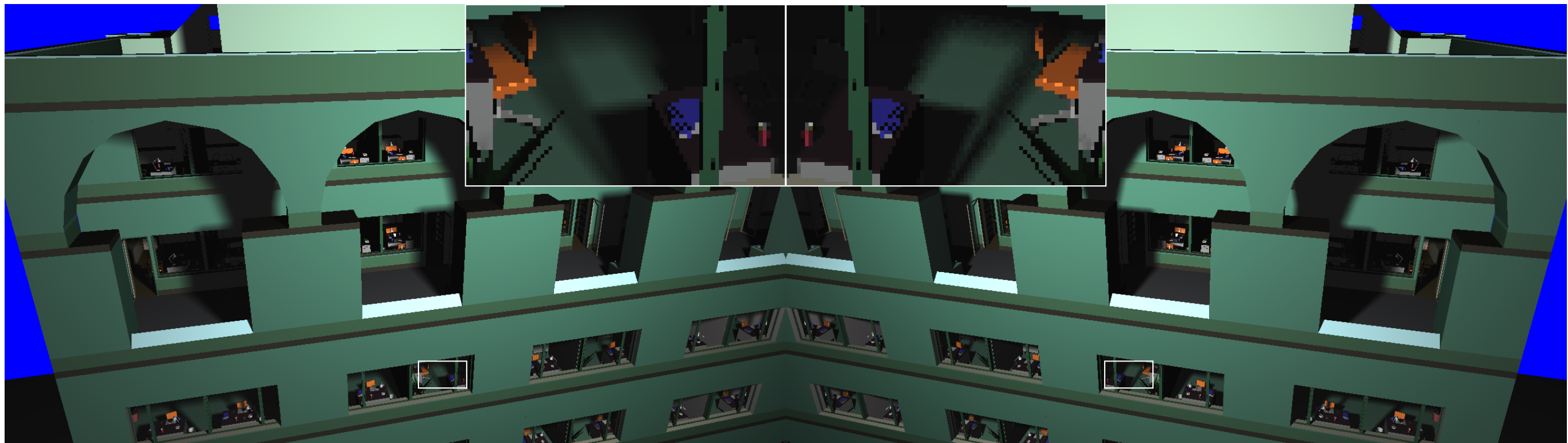
## Conference (282K triangles)

Time : 6s  
Memory : 20 MB

Time : 6s  
32 samples



# Applications > ombre douces analytiques



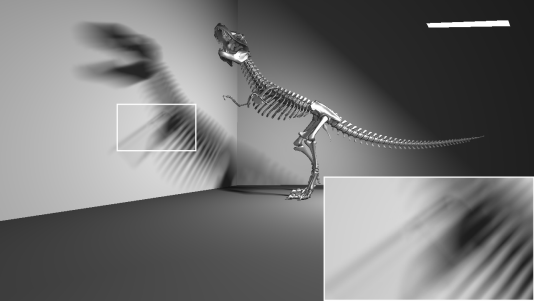
## Soda Hall (2147K triangles)

Time : 5s  
Memory : 20 MB

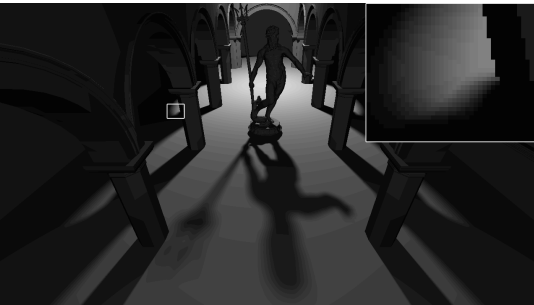
Time : 8s  
32 samples

# Applications > ombre douces analytiques

■ Ours      ■ RT



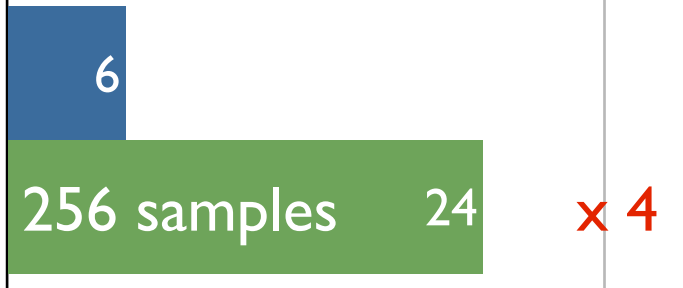
T-Rex



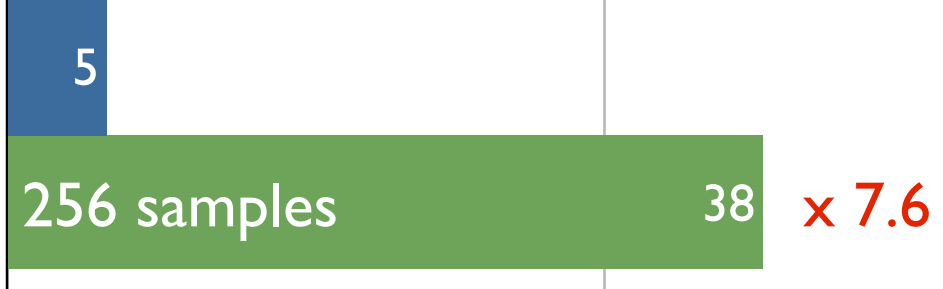
Sponza



Conf.

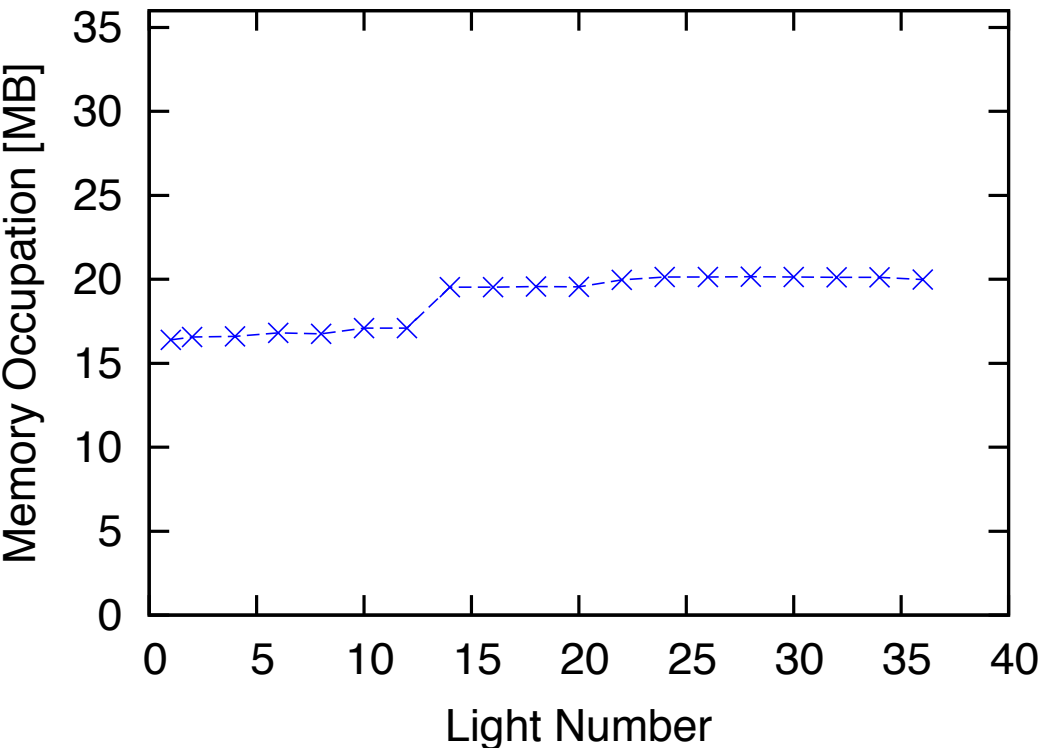
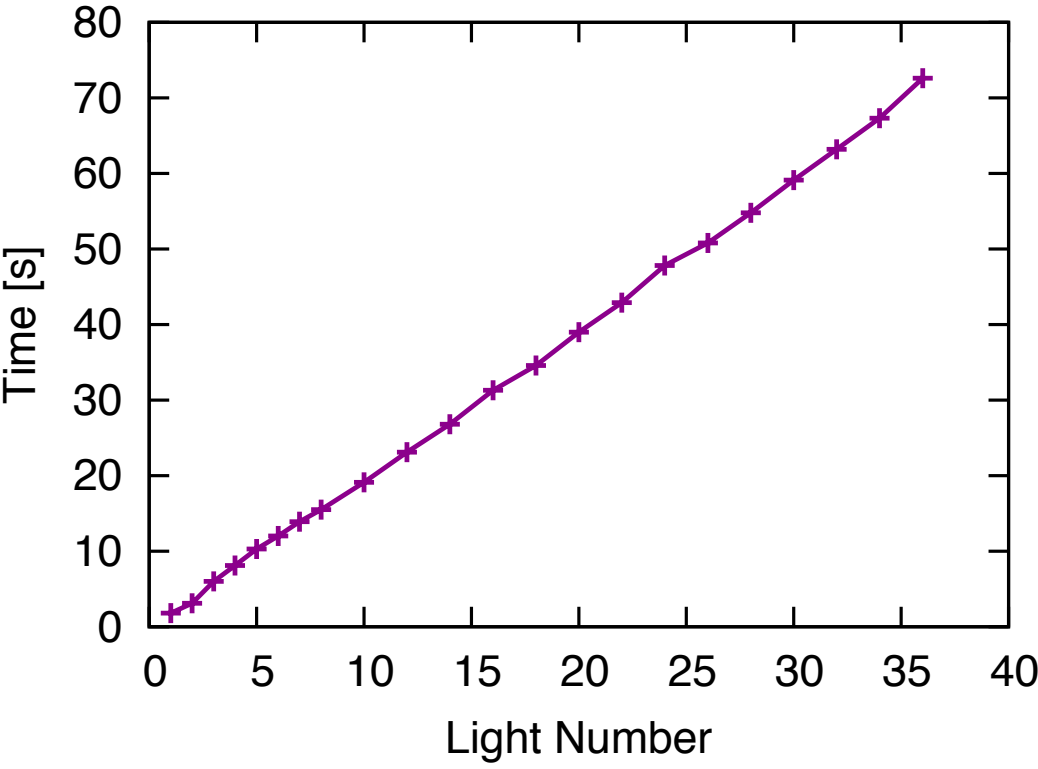
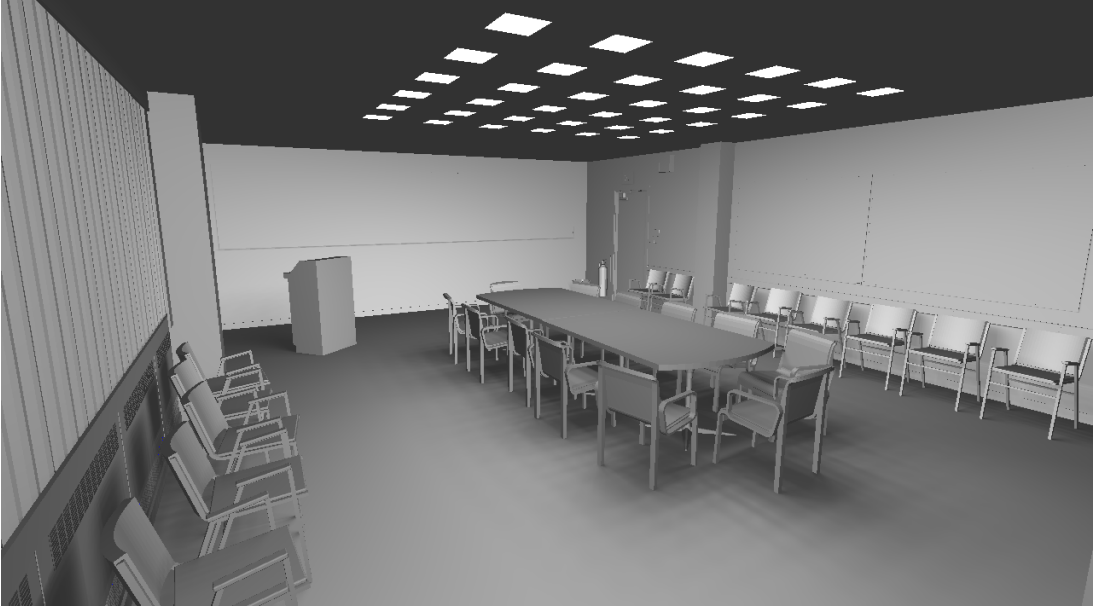


Soda.

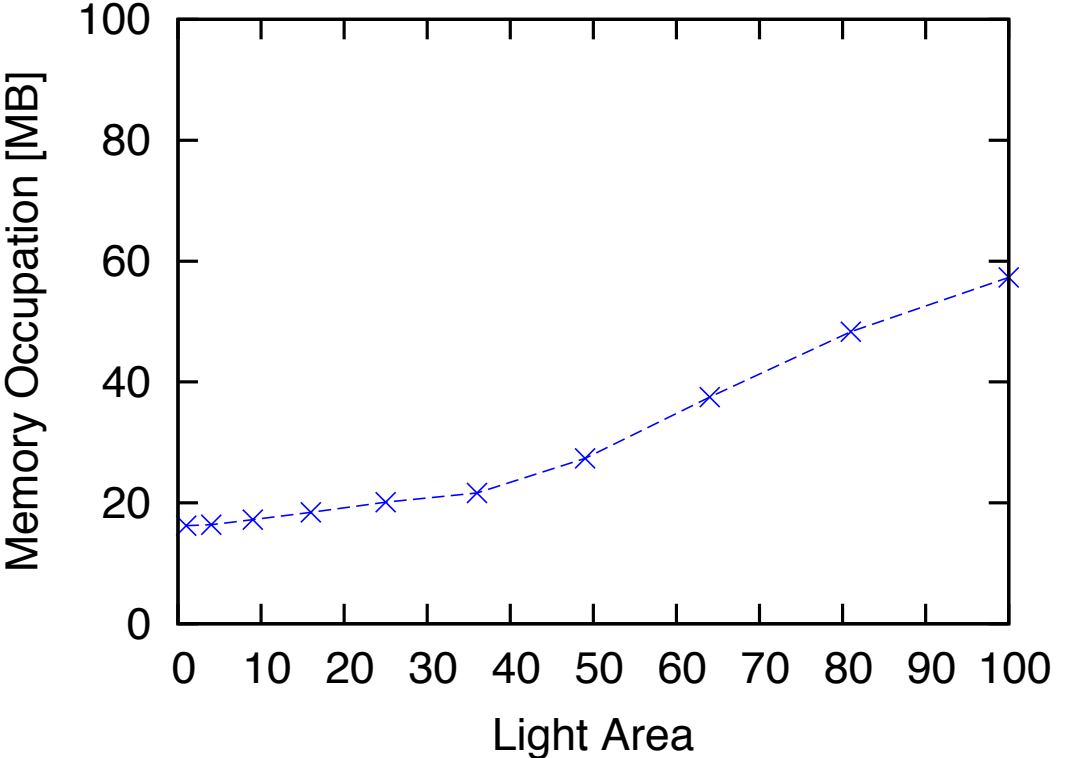
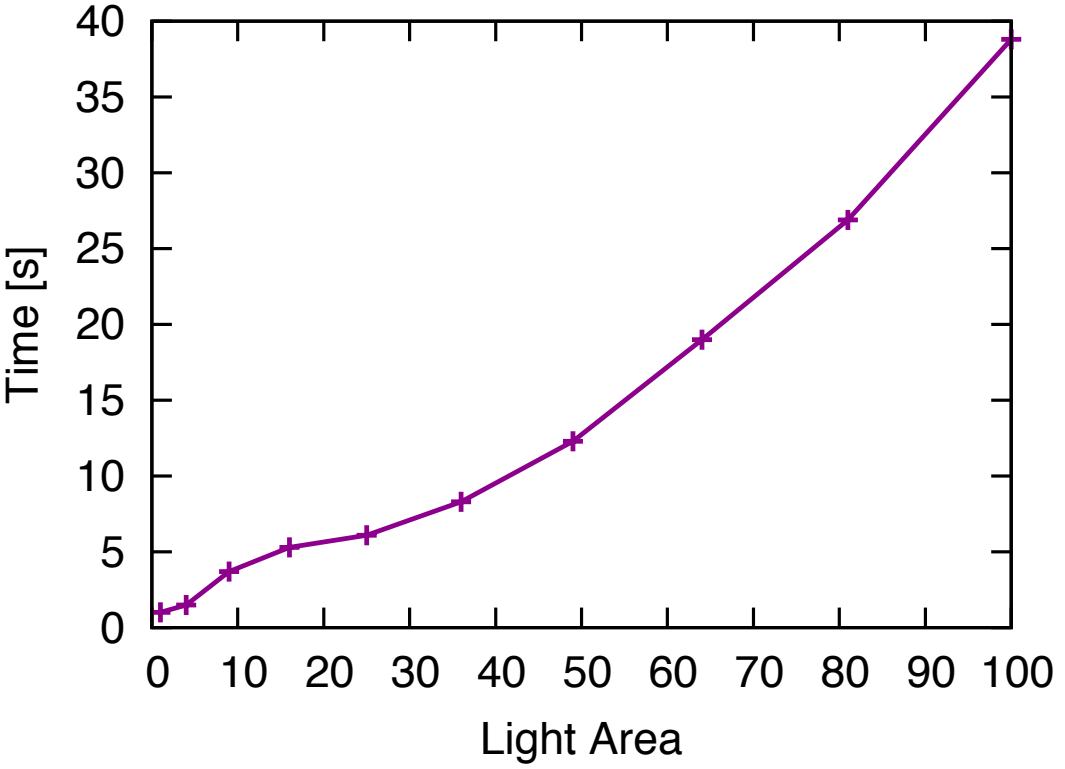
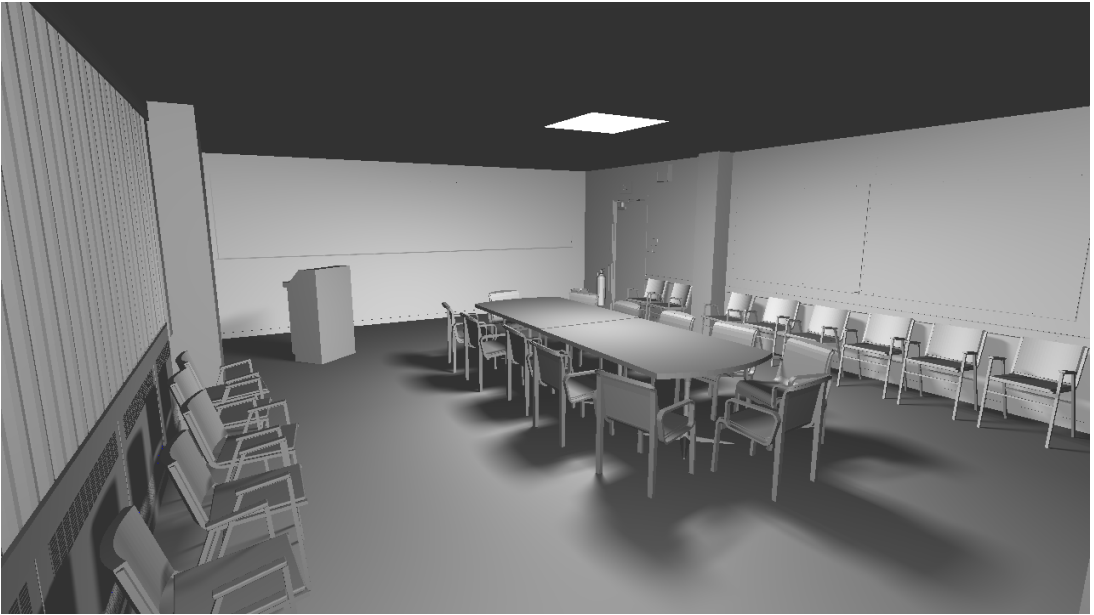


0      30      60      90

# Applications > ombre douces analytiques

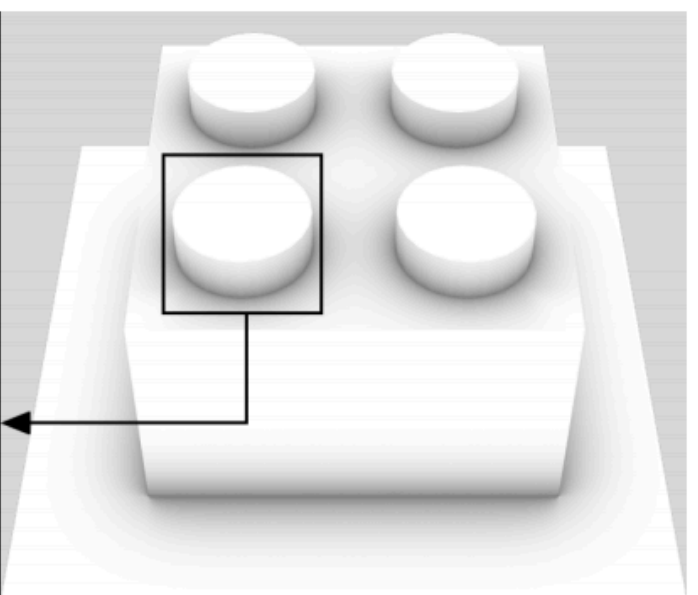
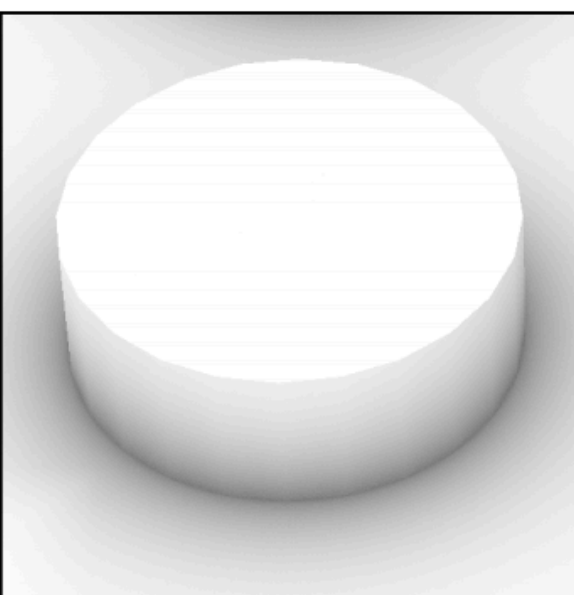
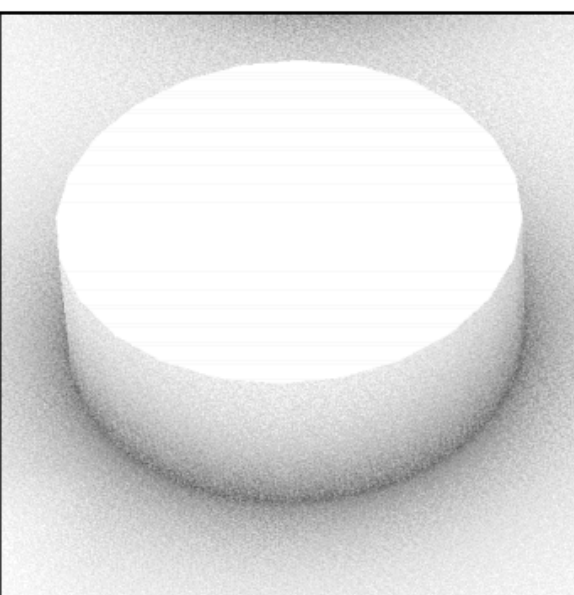
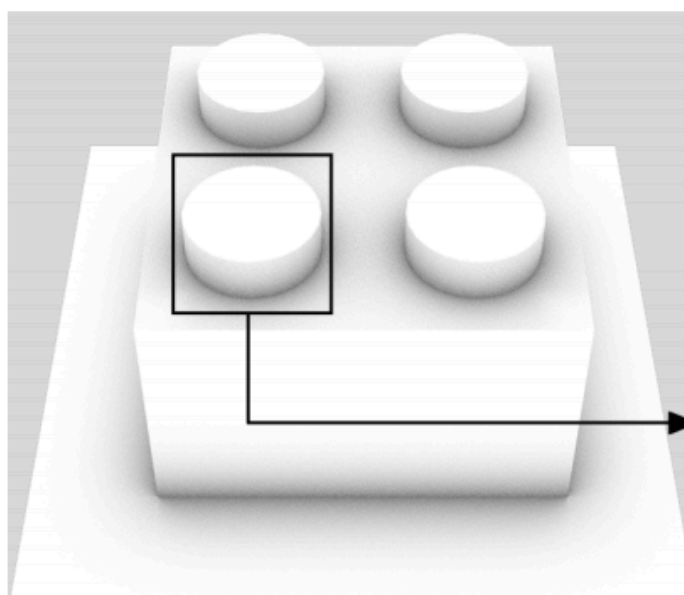
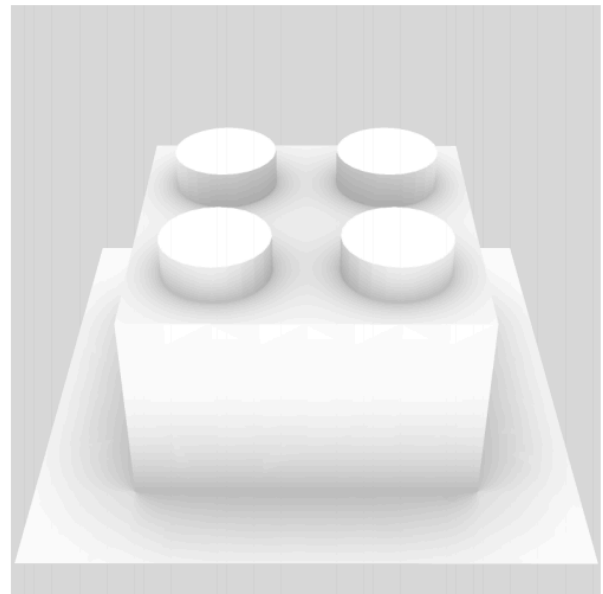
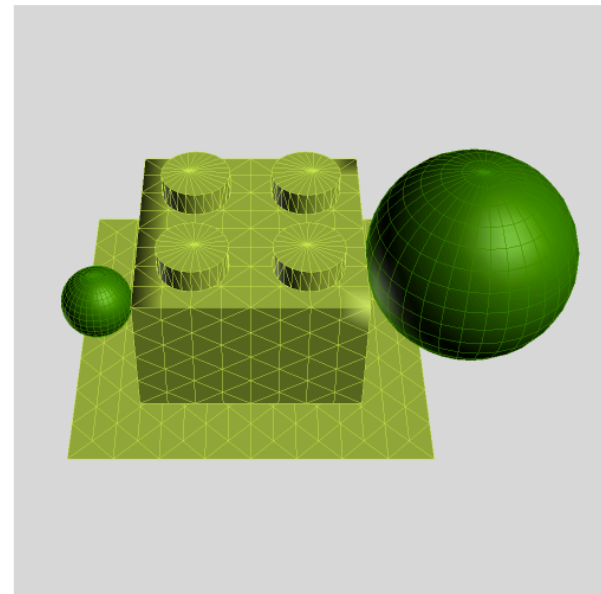
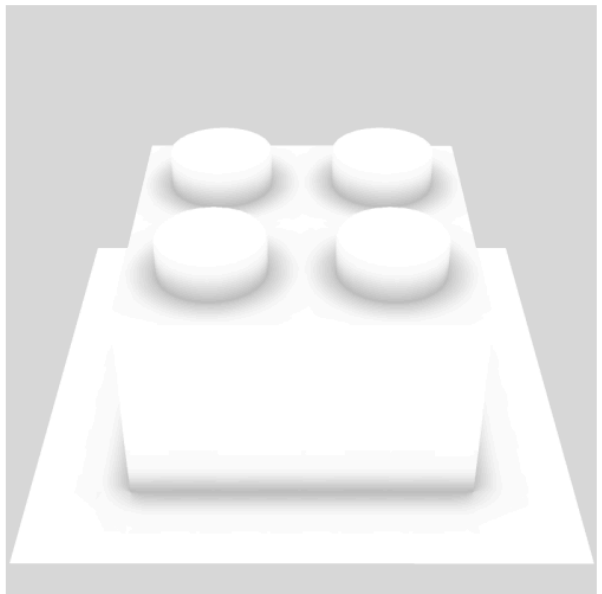
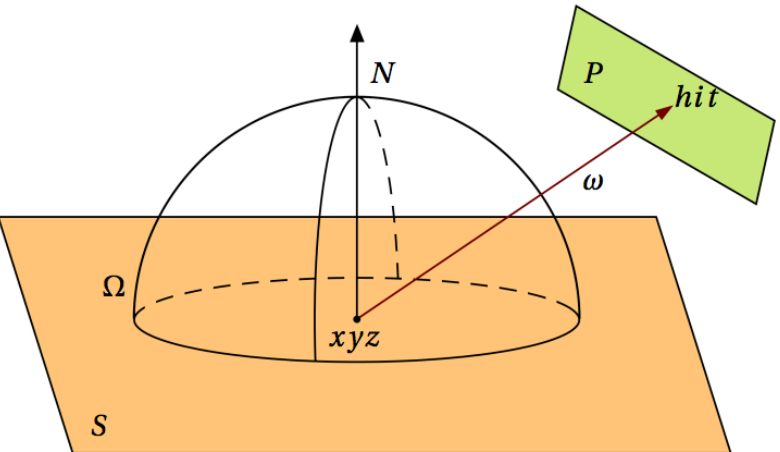


# Applications > ombre douces analytiques





# Applications > occlusion ambiante analytique



*a) 8 rays / pixel*

*b) 8 rays / pixel  
(zoom)*

*c) 256 rays / pixel  
(zoom)*

*d) 256 rays / pixel*

# Applications > occlusion analytique

*House*

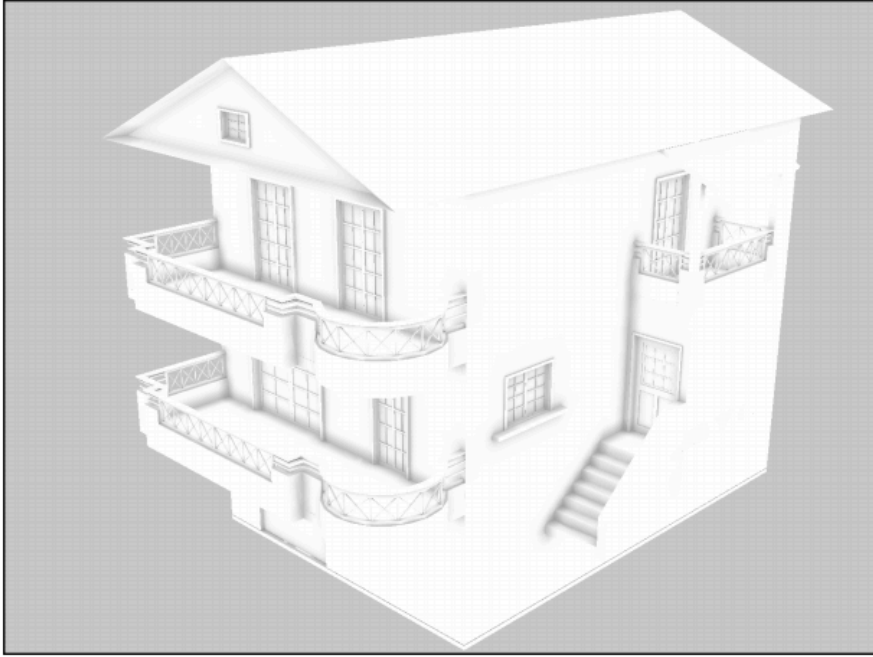
(19K triangles)

*Mental Ray®*



221 seconds

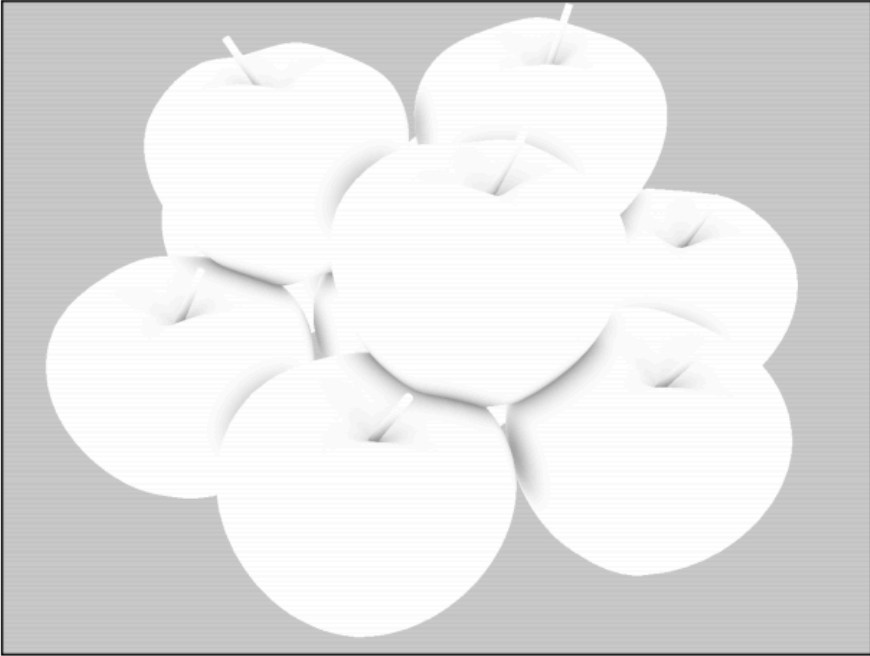
*Our method*



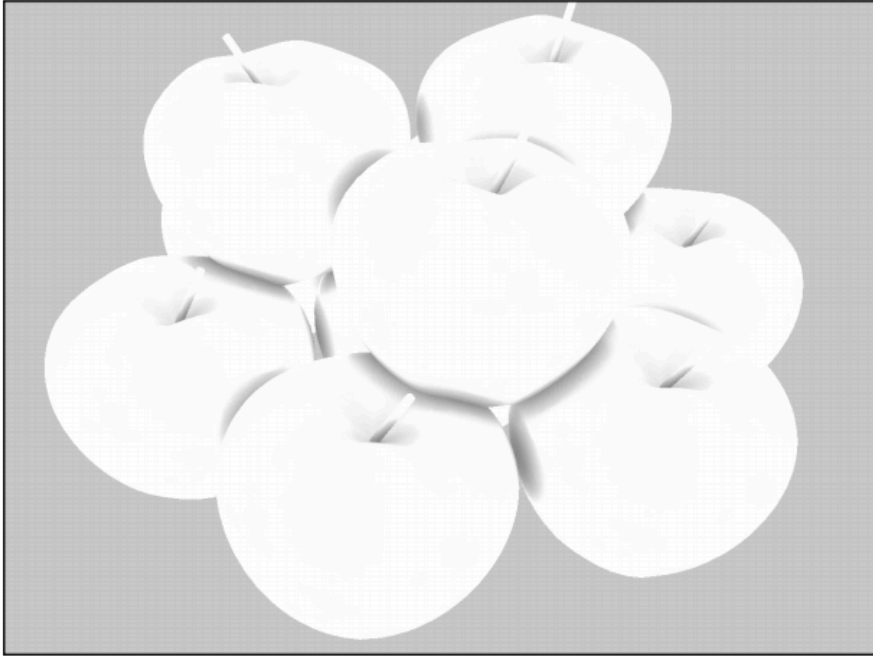
27 seconds

*Apples*

(32K triangles)



325 seconds



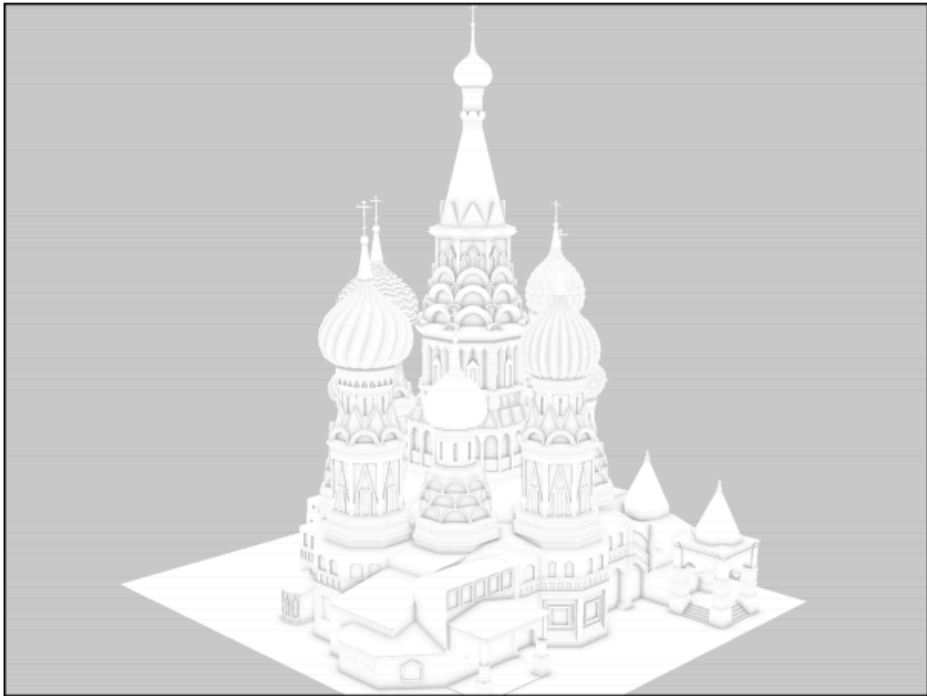
26 seconds

# Applications > occlusion ambiante analytique

*StBasil*

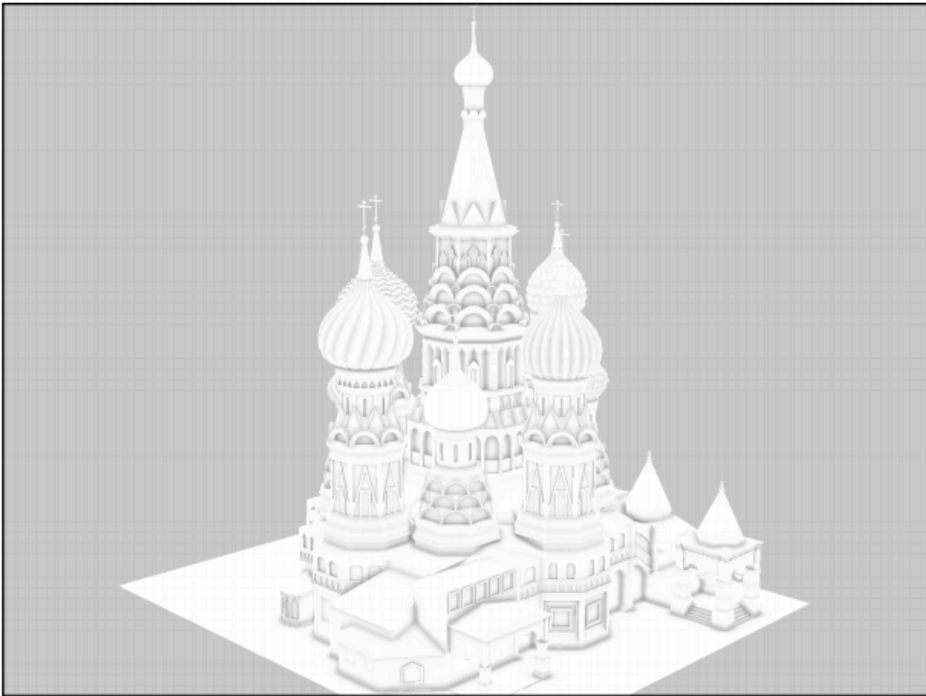
(100K triangles)

*Mental Ray*<sup>®</sup>



145 seconds

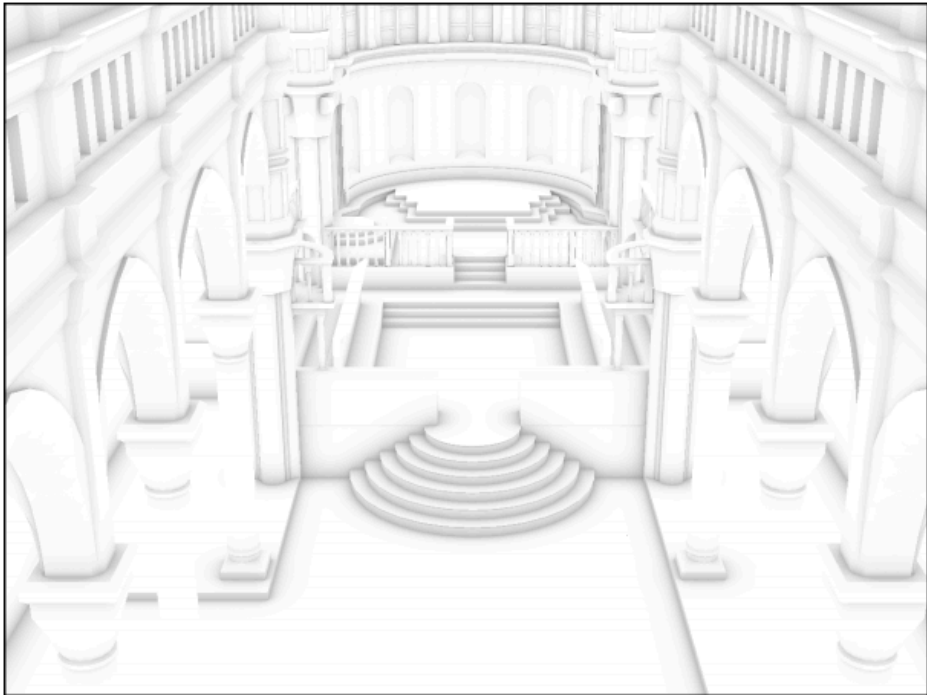
*Our method*



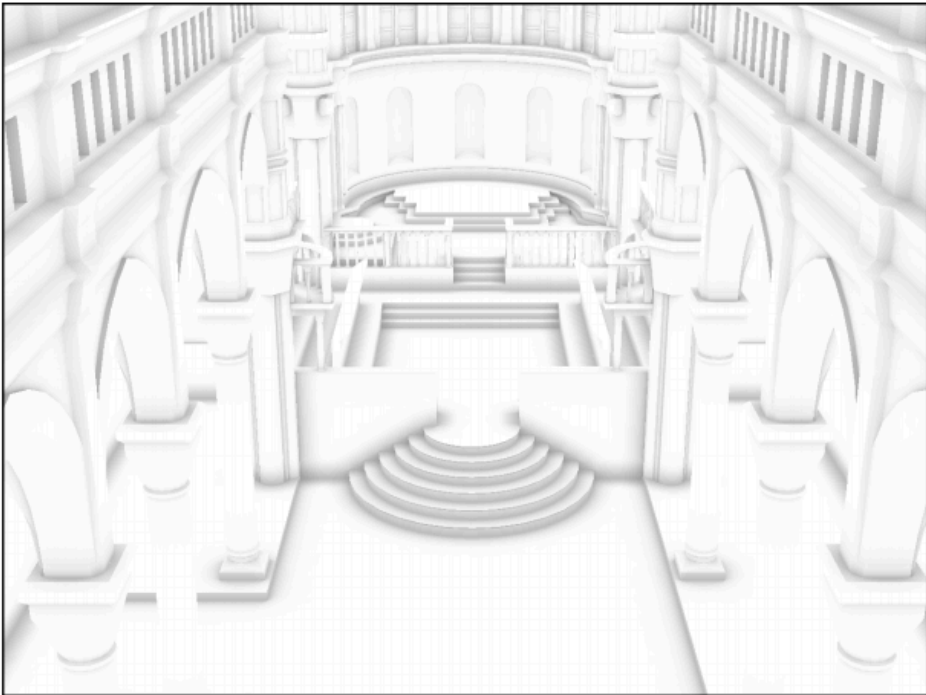
17 seconds

*Sibenik*

(150K triangles)



547 seconds



49 seconds